

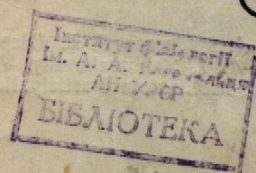
ISSN 0201 - 8489

Физиологический  
журнал

Том XXVII

1981

5



CONTENTS

<i>Moibenko A. A., Butenko G. M.</i> Immune Lesions of the Heart and Vessels . . . . .	587
<i>Gurevich M. I.</i> Experimental Models of Arterial Hypertension and Present-Day Ideas of Hypertonic Disease Pathogenesis . . . . .	595
<i>Mchedlishvili G. I.</i> Study of Vascular Effects as a Key Problem of Normal and Pathologic Physiology of Blood Circulation . . . . .	603
<i>Furkalo N. K.</i> Evolution of Pathogenetic Mechanisms of the Heart Ischemia . . . . .	607
<i>Butylin Yu. P.</i> Disputable Problems of Myocardium Infarction Pathogenesis . . . . .	611
<i>Orlova N. N., Garkusha L. N., Bratus V. V.</i> Heart Contractile Function and Lipid Metabolism in the Myocardium Under Dosed Limitation of Coronary Blood Supply . . . . .	617
<i>Kazmin S. G., Izakov V. Ya., Protsenko Yu. L., Bershtskaya O. N., Blyachman F. A.</i> Effects of Inotropic Influences on the Rabbit Papillary Muscle Under Variation in Its Initial Length and Temperature . . . . .	623
<i>Stroganova N. P., Shavaras S. S.</i> Contractile Function of the Heart Left Ventricle Myocardium Under Experimental Hypercholesterolemia . . . . .	628
<i>Akopyan N. S., Baklavadzhyan O. G., Vartanyan G. S., Oguritsyan S. K.</i> Effect of Adrenergic Substances on the Cardiac Rhythm and Electrical Activity of the Brain in Rabbits Under Hypoxia . . . . .	633
<i>Barinov E. F.</i> Diagnosis of Cardiac Transplant Latent Failure Under Biological Preservation . . . . .	640
<i>Pronchuk N. T., Khomutovsky O. A.</i> Morphological Characteristics of Newborn Rat Myocardial Cells in Culture . . . . .	645
<i>Soloviev A. I.</i> Spontaneous and Evoked Contractile Activity of Vascular Smooth Muscles at Different Temperatures of Perfusion . . . . .	650
<i>Potebnja A. V.</i> Dependence of the Artificial Intra-Aortal Rheogram Amplitude on Arterial Pressure . . . . .	654
<i>Bershtein S. A., Onopchuk Yu. N., Soloviev A. I.</i> Dynamics of Vascular Wall Oxygen Regime Under Functional Hyperemia of Skeletal Muscles and Arterial Hypoxemia . . . . .	658
<i>Navakatikyan M. A., Tsybenko V. A.</i> Kinetic Analysis of Epinephrine, Norepinephrine and Neoepinephrine Interaction with Adrenoreceptors of Systemic and Pulmonary Circulation . . . . .	663
<i>Lanovenko I. I.</i> Effect of Volumetric Perfusion Rate on Hemodynamics of Organism Resuscitated After Long Heart Fibrillation . . . . .	668
<i>Mudraya I. S.</i> Changes in the Systemic and Regional Hemodynamics with a Dosed Limitation of Coronary Blood Flow . . . . .	676
<i>Lobunets K. A.</i> Histological Changes in Animal Viscera Following Hemorrhage and Transfusion of Modified Globin and Gelatinol . . . . .	683
<i>Vashchenko E. A., Doloman L. B.</i> Peculiarities of Hemodynamics in Patients with Hypothalamic Syndrome . . . . .	688

Surveys

<i>Kazmin S. G., Moibenko A. A.</i> Experimental Tamponade of the Heart as a Model for Studying Interaction of Main Mechanisms for the Heart Activity Regulation . . . . .	692
--	-----

Brief Notes

<i>Gurevich M. I., Evdokimov I. R., Frolikis I. V.</i> Concerning Insulin Effect on Femoral Artery Smooth-Muscle Cells . . . . .	701
<i>Markova E. A., Vadzyuk S. N.</i> Peculiarities of Cardiac Rhythm Regulation in Rats with Different Resistance to Hypoxia . . . . .	703
<i>Kazuk L. I.</i> Hemodynamic Effects of Dibazol and Papaverine Under Conditions of Adrenergic Blockade with Chronic Experimental Hypertension . . . . .	706
<i>Krasnikov N. P., Agadzhanyan N. A., Efimenko A. M., Shirayev V. V.</i> Effect of Hypoxic Training on Rheoencephalogram Parameters in Sportsmen . . . . .	709

Procedures

<i>Bugaenko V. V.</i> A Device for Recording Electrocardiotopogram . . . . .	713
<i>Nazaruk I. A., Litovchenko L. P., Evdokimov I. R.</i> A Device for a Microelectrode Study of Isolated Warm-Blooded Preparation . . . . .	713

Reviews

<i>Baraboy V. A., Meyerson F. Z.</i> Adaptation, Stress and Prophylaxis . . . . .	718
<i>Khomazyuk A. I., Zakharchevsky V. B.</i> Nerve Control of Coronary Circulation. Cortical Mechanism Participation in the Myocardium Blood Supply Control . . . . .	720

ФИЗИО  
Ж

Т  
СЕ

Наг  
Е

КИЕВ



АКАДЕМИЯ НАУК УКРАИНСКОЙ ССР  
ОРДЕНА ТРУДОВОГО КРАСНОГО ЗНАМЕНИ ИНСТИТУТ ФИЗИОЛОГИИ  
им. А. А. БОГОМОЛЬЦА

Heart and Vessels . . . . .	587
Tension and Present-Day	595
Problem of Normal and	603
the Heart Ischemia . . . . .	607
Reaction Pathogenesis . . . . .	611
Vascular Function and Lipid	617
Formation of Coronary Blood	
. . . . .	
<i>Sitkaya O. N., Blyach-</i>	
Rabbit Papillary Muscle	623
Tissue . . . . .	
<i>The Heart Left Ventricle</i>	628
<i>mia</i> . . . . .	
<i>Ogurtsyan S. K. Effect</i>	633
<i>and Electrical Activity of</i>	
Failure Under Biological	640
Characteristics of Newborn	645
. . . . .	
Activity of Vascular Smooth	650
Muscle . . . . .	654
<i>Oral Rheogram Amplitude</i>	
<i>kinematics of Vascular Wall</i>	658
<i>Skeletal Muscles and Ar-</i>	
<i>teries</i> . . . . .	
<i>of Epinephrine, Norepine-</i>	
<i>receptors of Systemic and</i>	
<i>Hemodynamics of Orga-</i>	663
<i>nisms</i> . . . . .	668
<i>with a Dosed</i> . . . . .	
<i>Drug</i> . . . . .	676
<i>Following Hemorrhage</i> . . . . .	683
<i>Hemodynamics in Patients with</i>	688
<i>Arteriosclerosis</i> . . . . .	
<i>of the Heart as a Model</i>	
<i>for the Heart Activity Re-</i>	
<i>gulation</i> . . . . .	692
<i>ing Insulin Effect on Fe-</i>	
<i>thhythim Regulation in Rats</i>	701
<i>Under Conditions of</i>	
<i>Obesity</i> . . . . .	703
<i>Shiryayev V. V. Effect of</i>	
<i>Physical Activity on Heart</i>	709
<i>Function in Sportsmen</i> . . . . .	
<i>Electrocardiogram</i> . . . . .	
<i>Device for a Microelectrode</i>	713
<i>for Recording Cardiac</i>	
<i>Electrogram</i> . . . . .	718
<i>Topogram</i> . . . . .	719
<i>Device for a Microelectrode</i>	
<i>for Recording Cardiac</i>	
<i>Electrogram</i> . . . . .	720
<i>Prophylaxis</i> . . . . .	721
<i>of Coronary Circulation.</i>	
<i>Control of Blood Supply</i>	722

# ФИЗИОЛОГИЧЕСКИЙ ЖУРНАЛ

TOM XXVII, № 5, 1981

## СЕНТЯБРЬ—ОКТЯБРЬ

*Научно-теоретический журнал  
Выходит шесть раз в год  
Основан в 1955 г.*

КИЕВ

«НАУКОВА ДУМКА»



УДК 612.17

А. А. М

## РЕДАКЦИОННАЯ КОЛЛЕГИЯ

Ф. Н. Серков (главный редактор)

В. А. Березовский, Н. В. Братусь, М. И. Гуревич, Б. Е. Еспенко, Н. В. Ильчевич,  
Н. Н. Зайко, П. Г. Костюк, А. А. Мойбенко (зам. главного редактора), Н. И. Путилин,  
В. В. Фролькис, В. А. Черкес, З. А. Сорокина (ответственный секретарь)

## Редакционный совет

П. В. Бирюкович	А. В. Квасницкий	E. Н. Панасюк
Г. М. Бутенко	К. В. Кованов	В. С. Райцес
Ф. П. Ведяев	В. П. Комиссаренко	П. И. Сябро
Н. Н. Горев	А. О. Навакатикян	Г. И. Федорович
З. С. Донцова	В. Н. Никитин	Г. А. Хасабов
В. Н. Казаков		А. И. Хомазюк

Адрес редакции: 252024, Киев, ул. Богомольца, 4  
тел. 91-20-84

Редактор В. В. Войтенко  
Художественный редактор Т. М. Немировская  
Технический редактор О. В. Дивуля  
Корректор С. И. Колесник

Сдано в набор 29.06.81. Подп. в печ. 28.08.81. БФ 00605. Формат 70×108/16. Выс. печ. Усл. печ. л. 11,9.  
Усл. кр.-отт. 12,4. Уч.-изд. л. 13,51. Тираж 920 экз. Заказ 1-362.

Издательство «Наукова думка», 252601, ГСП, ул. Репина, 3.  
Киевская книжная типография научной книги. 252004, Киев-4, Репина, 4.

© Издательство «Наукова думка», «Физиологический журнал», 1981

## ИММУННЫЕ ПОВ

Проблемы иммунологии занимают большое место в научном изложении работы, посвященной проблемам, как патогенеза, гипериммунитета и аллергии [3, 4]. Роль иммунных механизмов резко возросла [2, 10], во-первых, отсутствием членов семейства иммунных застороженных антител, атеросклероза сосудов, гипертонии, вытекающей из этого осложнения, дальнейших исследований факторов, указывающих на механизмы и патологию, относящиеся, во-вторых, к заболеваниям сердца, в том числе к аутоантителам [2, 10, 12, 24].

Целым рядом авторов показано, что иммунные механизмы, аутоантитела как на некротических участках сердца. В этой связи с циркулирующими аутоантами изменениями в течении инфаркта миокарда [12].

Показано сочетание (гипертрофия, перикардит, и, в частности, с хроническим инфарктом миокарда) [12].

Известно, что при инфаркте миокарда болезни Чагаса, цианозные агенты перекрестья сердца, эндокардит, реакция, как следует из эксперимента, человеческого сердца [14].

Вместе с тем необходимые исследования являются косвенными механизмами в развитии патологии и особенно механизма, требуют проведения дополнительных исследований.

Разработано несколько способов воспроизведения хронического инфаркта миокарда [14].

УДК 612.17

А. А. Мойбенко, Г. М. Бутенко

## ИММУННЫЕ ПОВРЕЖДЕНИЯ СЕРДЦА И СОСУДОВ

Проблемы иммунологии и сердечно-сосудистой патологии занимают большое место в научном наследии А. А. Богомольца. Его перу принадлежат работы, посвященные таким актуальным аспектам этих проблем, как патогенез, гипертонической болезни и шока, природа иммунитета и аллергии [3, 4, 5, 6]. В настоящее время интерес к вопросу о роли иммунных механизмов в развитии повреждений сердца и сосудов резко возрос [2, 10, 12, 24, 25, 27, 34, 39, 42]. Это обусловлено, во-первых, отсутствием четких представлений об этиологии и патогенезе таких важнейших заболеваний сердечно-сосудистой системы как атеросклероз сосудов, гипертоническая болезнь, инфаркт миокарда и вытекающей из этого обстоятельства настоятельной необходимости дальнейших исследований в этом направлении; с другой — появлением фактов, указывающих на взаимосвязь между иммунологическими механизмами и патологией сердца и сосудов. К числу таких факторов относится, во-первых, наличие в циркулирующей крови при целом ряде заболеваний сердца, в том числе инфаркте миокарда, противосердечных аутоантител [2, 10, 12, 24, 32].

Целым рядом авторов [1, 9, 13] показана возможность фиксации аутоантител как на некротизированных, так и относительно интактных участках сердца. В этой связи следует отметить, что колебания уровня циркулирующих аутоантител в крови могут совпадать по времени с изменениями в течении патологического процесса и, в частности, отмечено уменьшение циркулирующих аутоантител с появлением некоторых осложнений заболеваний сердца, например, кардиогенного шока при инфаркте миокарда [12].

Показано сочетание заболеваний с признаками аутоиммунности (гипертриеоидизм, пернициозная анемия, диабет) с патологией сердца и, в частности, с хроническим сердечным блоком [34] и обнаружен специфический эффект противосердечных антител на проводящую систему сердца.

Известно, что при инфицировании организма стрептококком и возбудителем болезни Чагаса образующиеся аутоантитела против инфекционных агентов перекрестно реагируют с антигенами мышечных клеток сердца, эндокардом, интерстициальной тканью [30, 37]. Эта реакция, как следует из данных, полученных на культуре клеток человеческого сердца [44], может приводить к цитотоксическому эффекту.

Вместе с тем необходимо отметить, что все представленные сведения являются косвенными доказательствами участия иммунных механизмов в развитии патологических процессов в сердце. Вопросы природы и особенно механизмов развития иммунных повреждений сердца требуют проведения интенсивных и особенно экспериментальных исследований.

Разработано несколько основных экспериментальных подходов:  
1) воспроизведение хронического аутоиммунного процесса при имму-

ПЛЕГИЯ  
(автор)

Б. Е. Еспенко, Н. В. Ильчевич,  
(главного редактора), Н. И. Пути-  
лина (ответственный секретарь)

звет

Е. Н. Панасюк  
В. С. Райцес  
П. И. Сабро  
Г. И. Федорович  
Г. А. Хасабов  
А. И. Хомазюк

л. Богомольца, 4

геровская  
туля

0×108/16. Выс. печ. Усл. печ. л. 11,9.  
экз. Заказ 1-362.

ул. Репина, 3.  
04, Киев-4, Репина, 4.

рнал», 1981

низации животных гомологичным или гетерологичным антигеном [29, 47]; 2) воспроизведение повреждений сердца при введении антигена в предварительно сенсибилизированный организм [28, 45]; 3) воспроизведение инфекционно-аллергического повреждения сердца при иммунизации животных стрептококками или смесью сердечного антигена и стрептококков [27]; 4) повреждения сердца, воспроизводимые с помощью кардио-цитотоксических иммунных сывороток [2, 21, 22, 25, 26].

В настоящей работе представлены материалы, полученные на двух моделях иммунного повреждения сердца и сосудов: при использовании прицельного введения антикардиальной цитотоксической сыворотки и при иммунизации животных сердечным антигеном с адьювантом Фрейнда.

При моделировании повреждений сердца с помощью иммунной цитотоксической сыворотки чрезвычайно важным представляется ограничение области воздействия антител преимущественно территорией сердца. Это достигалось путем введения небольших доз антикардиальной цитотоксической сыворотки (титр в реакции РСК 1:800) непосредственно в одну из ветвей левой коронарной артерии в острых и полухронических экспериментах на собаках с невскрытой грудной клеткой [11, 16]. Как показали исследования с использованием иммунофлюоресцентного метода Кунса и ауторадиографического метода [18, 20], вводимые антитела фиксировались именно в том участке миокарда, в сосуды которого вводили антикардиальную сыворотку, и практически отсутствовали в других отделах сердца. Это позволило четко локализовать область первичного действия иммунных факторов на сердце, что в свою очередь дало возможность путем сопоставления степени повреждения в различных отделах сердца («поврежденном» и «интактном») в известной мере разделить влияния на сердце, обусловленные действием собственно иммунных факторов и связанных с экстракардиальными (нервными и гуморальными) влияниями на сердце.

Второе важное преимущество использованной нами модели состояло в том, что в условиях контролируемой перфузии одного из участков сердца можно было воспроизводить в этом участке комбинированное действие различных патологических влияний, например, дозированной гипоксии миокарда и цитотоксического воздействия на сердце.

В результате комплексных функциональных, гистохимических и электронномикроскопических исследований, проведенных в течение 24 ч после иммунного воздействия на сердце, было установлено, что при этом развиваются массивные зональные повреждения сердца и резко выраженные явления сердечно-сосудистой недостаточности по типу кардиогенного шока. Наиболее интенсивные повреждения сердца полностью совпадали по своей локализации с местами фиксации антител — областью непосредственного действия внутрикоронарно вводимой антисыворотки. В этих участках обнаружено:

- 1) повреждение стенки мелких и мельчайших коронарных сосудов, очаговый тромбоз коронарных сосудов, резкое увеличение проницаемости сосудистой стенки для крупномолекулярных соединений, быстро наступающий вне- и внутриклеточный отек с последующим развитием гипоксии миокарда и очагов некробиоза [20];

- 2) значительное уменьшение содержания фосфатов высоких энергий (АТФ), гликогена, норадреналина [8, 17], уменьшение активности ряда ферментов (фосфорилазы, сукцинатдегидрогеназы, цитохромоксидазы) [17, 18];

- 3) быстрое повреждение клеточной оболочки миоцитов сарколем-

мы и сократительного апрактурные сокращения и тация и разрывы миофibr миокарда [18].

Как показали морфометода Нахласа, повреждение объема левого желудочка воздействия на сердце участка гипоксии (7—10 мин аутотома последующее введение цитотоксической сыворотки увеличению объема повреждения захватывал 50 и более случаев. Более выраженным было и электронномикроскопическое введение миокарда, нарушений сократимости сердца.

Следовательно, предложенная модель иммунного повреждения сердца сама по себе не имеет существенных стойких повреждений, но введение миокарда повреждающий элемент, потенцирование могло быть усилено ширением коронарных сосудов, площасти функционирующего миокарда могла вести к его транспорту и тем самым способствовать проникновению антител к миокарду.

Во всяком случае, например, гипоксия миокарда может возникать в процессе транспорта и тем самым способствует реализации действующих в крови.

Пусковым механизмом иммунного повреждения сердца является функция левого желудочка миокарда, склонность к гипоксии, зарегистрированная в сердце тензометрическими датчиками, движение скорости нарастания индексов сократимости миокарда.

Определенное значение иммунного повреждения сердца может иметь и нарушение сокращений (политонические сокращения), которые были особенно отчетливы при воздействии гипоксии и имелись в виде сокращений, что было обнаружено, что чем сильнее гипоксия, тем сильнее были сокращения. Вместе с тем существенные изменения сдвигов играли нервные, приводящие к изменениям тонуса миокарда.

Как показали данные исследований, существует по крайней мере три вида нарушений функции миокарда: 1) иммунное повреждение сердца, 2) гипоксия миокарда, 3) политонические сокращения.

## Иммунные повреждения сердца

иологичным антигеном [29], при введении антигена анизм [28, 45]; 3) воспроизведения сердца при иммунностью сердечного антигена, воспроизводимые с поворотом [2, 21, 22, 25, 26].

риалы, полученные на двух сосудах: при использовании цитотоксической сыворотки антигеном с адьювантом

и с помощью иммунной кным представляется ограниченно терриорией больших доз антикардиальной РСК 1:800) непарной артерии в острых иах с невскрытой грудной с использованием имму радиографического метода с именно в том участке кардиальную сыворотку, иах сердца. Это позволило ствия иммунных факторовность путем сопоставления сердца («поврежденном» влияния на сердце, обус faktorov и связанных с альными) влияниями на

анной нами модели состояния фузии одного из участков участке комбинированное, например, дозированной действия на сердце.

льных, гистохимических и проведенных в течение це, было установлено, чтое повреждения сердца и истой недостаточности появные повреждения сердца с местами фиксации анти внутрикоронарно вводимой

йших коронарных сосудов, кое увеличение проникающих соединений, быстро с последующим развитием

и фосфатов высоких энергий, уменьшение активности гидрогеназы, цитохромоксигеназы миоцитов сарколем-

мы и сократительного аппарата клеток сердца (миоцитолизис, контрактурные сокращения и участки перерастяжения волокон, фрагментация и разрывы миофibrилл) и уменьшение зональной сократимости миокарда [18].

Как показали морфометрические исследования с использованием метода Нахласа, поврежденные участки миокарда захватывали до 35 % объема левого желудочка сердца. Если предварительно, до иммунного воздействия на сердце участок миокарда подвергался кратковременной гипоксии (7—10 мин аутоперфузия гипоксической венозной кровью), то последующее введение в сосуды этого участка антикардиальной цитотоксической сыворотки в той же дозе приводило к значительному увеличению объема поврежденного миокарда, который в отдельных случаях захватывал 50 и даже 75 % от объема левого желудочка сердца. Более выраженным были в этих экспериментах гистохимические и электронномикроскопические проявления повреждений сократительного аппарата миокарда, нарушения кардио- и гемодинамики и показателей сократимости сердечной мышцы.

Следовательно, предварительная умеренная гипоксия миокарда, которая сама по себе не могла являться причиной сколько-нибудь существенных стойких повреждений сердца, в значительной мере потенцировала повреждающий эффект иммунного воздействия на сердце. Это потенцирование могло быть обусловлено, во-первых, существенным расширением коронарных сосудов при гипоксемии и увеличением общей площади функционирующего капиллярного сосудистого русла, подвергающегося воздействию повреждающего фактора. Во-вторых, гипоксия миокарда могла вести к изменению интенсивности транскапиллярного транспорта и тем самым способствовать более глубокому и быстрому проникновению антител к структурам миокарда.

Во всяком случае, наши данные показывают, что даже кратковременная гипоксия миокарда, которая, по-видимому, достаточно легко может возникать в процессе приспособительных реакций организма, способствует реализации патологического действия антител, циркулирующих в крови.

Пусковым механизмом развития нарушений кровообращения при иммунном повреждении сердца являлось ослабление сократительной функции левого желудочка, что выражалось в снижении систолического напряжения, зарегистрированном с помощью фиксированных на сердце тензометрических датчиков, уменьшении фракции выброса, снижении скорости нарастания давления в полости левого желудочка и индексов сократимости миокарда [16].

Определенное значение в развитии нарушений общей гемодинамики могли иметь и нарушения проводимости в сердце и ритма сердечных сокращений (политонная экстрасистолия, бигеминия и др.), которые были особенно отчетливо выражены в случаях комбинированного воздействия гипоксии и иммунных факторов. В наших исследованиях было обнаружено, что чем больше был объем поврежденного миокарда, тем значительнее были стойкие нарушения кардио- и гемодинамики. Вместе с тем существенную роль в развитии резких гемодинамических сдвигов играли нервные [16] и гуморальные [19] механизмы, приводящие к изменениям тонуса периферических сосудов и депонированию крови.

Как показали данные функциональных и морфологических исследований, существует по крайней мере два основных механизма развития нарушений функции сократительного аппарата миокарда при иммунном повреждении сердца. Во-первых, это непосредственный пов-

реждающий эффект иммунных факторов на мембранные миоциты и протеофibrillы саркомера. Данные о быстрой фиксации вводимых антикардиальных антител на сарколемме миоцита и в субсарколеммальном пространстве на вставочных дисках, т. е. в местах с наиболее вероятным расположением специфических антигенов сердца [7, 33, 43], свидетельствуют в пользу существования такого механизма. Наиболее вероятной точкой приложения повреждающего действия иммунных факторов является обмен кальция в мышечных клетках сердца. Быстро наступающие (в течение первых 2–5 мин) контрактуры мышечных волокон, миоцитолизис, фрагментация миофibrилл являются характерными признаками так называемых «кальциевых» некрозов миокарда, обусловленных избыточным накоплением кальция в миоците [15, 23, 36].

Избыточное накопление кальция, по-видимому, связано как с увеличением проницаемости мембранных миоцитов вследствие ее повреждения [18], так и нарушением энергозависимого процесса «откочки» ионов кальция в саркоплазматический ретикулум, обеспечивающего расслабление сердечной мышцы.

В пользу последнего предположения свидетельствует чрезвычайно быстрое — в течение первой минуты реакции нарушение диастолического расслабления миокарда; уменьшение скорости снижения давления в левом желудочке ( $dp/dt_{min}$ ) в значительной части случаев было первым нарушением кардиодинамики; другие изменения — снижение давления в левом желудочке и скорость его нарастания наступали позднее.

Второй причиной, приводящей к снижению сократительной функции миокарда, безусловно явилась гипоксия сердечной мышцы, обусловленная нарушением коронарного кровообращения в участке прямого действия антител и тромбозом коронарных сосудов. Коронарное сосудистое сопротивление сразу же после введения антикардиальной цитотоксической сыворотки резко увеличивалось, наблюдались быстро наступающие изменения ЭКГ (смещение интервала ST и появление комплексов QS), тест на ишемию миокарда [40] был положительным.

Таким образом, на основании полученных данных можно прийти к заключению, что в ответ на развитие реакции антиген — антитело в ограниченном участке сердца развиваются локальные его повреждения с нарушением метаболизма и сократимости миокарда, которые по своему характеру и локализации следует рассматривать как инфарктоподобные. Особенностью данной формы патологии сердца является быстрое развитие структурных нарушений сократительного аппарата миокарда, что сближает иммунные повреждения сердца с «кальциевыми некрозами» миокарда, например катехоламиновыми повреждениями сердца. Гипоксия миокарда потенцирует повреждающее действие иммунных факторов на сердце.

Ряд исследователей в последние годы указывают на роль иммунных факторов и в возникновении повреждения сосудов [14, 42, 46]. Толчком к этому послужили наблюдения о том, что сосуды трансплантированного сердца в случае их замедленного отторжения поражались резким атеросклеротическим процессом [35]. Экспериментально было показано, что при иммунизации животных аутологичной, аллогенной либо ксеногенной аортой в 65—100 % случаев возникают поражения артериальной стенки. Интересно, что иммунизация и другими антигенами в 15—25 % случаев также сопровождается повреждением артериальной стенки [48]. Это обстоятельство заставляет предположить каузальную роль в поражении сосудов не только аутоантител, но и циркули-

рующих иммунных комплексов в кровотоке кроликов с частицами туши, показавших проницаемости интимы аорты гемодинамически напряженные липидные бляшки при воспалении атеросклероза роскопии таких участков эндотелиального покрова сосудов [42]. Контакт же тромбоподлежащей соединительной ткани с повышенной проницаемостью и к вы свобождению тромбогенное размножение гладкоклеточных

В исследованиях нашего ведения аутоиммунного перекрестного иммунопротекторного процесса антиФрейнда было обнаружено, что фиксируются иммуноглобулины, зарегистрированы функциональные для воспалительного карда можно было наблюдать воспаления и заместительного твердения интимы и образование липидов и холестерина.

Эти изменения сосудов выражены у старых (4—4,5 и захватывали различную от 0,6 до 19,6 %. При микроскопии были обнаружены в 53 % участках очаговом утолщении и инфильтрации. У старых же в 73 %, были более распространения характерных бляшек с наличием пенистых клеток и в предположить, что особенности организма благоприятствуют дегенерации, а также образование комплексов, что создает устойчивую и последующую ее полную обнаруженнную связь между частотой обнаружения аутогематических, например, молоку, яйцам иностью от инфаркта миокарда HLA-B8, которые также являются иммунным заболеванием [49].

Таким образом, приведенные иммунитета могут оказывать участие в возникновении разнообразных хронических заболеваний. С появлением аутоиммунными антигенами, чаще в виде изменившихся патологий перекрестной иммунной системы и сосудов могут играть та-

мембранны миоцита и профикации вводимых антигена и в субсарколеммальном местах с наиболее вероятных сердца [7, 33, 43], свидетельствующего действия иммунных клеток сердца. Быстро контрактуры мышечных фибрill являются характерными некрозов миокарда кальция в миоците [15,

димому, связано как с увеличением вследствие ее повреждения процесса «откачки» ионов, обеспечивающего расслаб-

вительствует чрезвычайно нарушение диастолической скорости снижения давления в части случаев было первые изменения — снижение давления нарастания наступали

ию сократительной функции дечной мышцы, обусловленная в участке прямого действия. Коронарное сосудистое идиомиокардиальной цитотоксичности наблюдалась быстро наступала ST и появление комплекса ST-T был положительным.

ных данных можно прийти к реакции антиген — антитела локальные его повреждения миокарда, которые поассматривать как инфарктологии сердца является сократительного аппарата кремния сердца с «кальциево-холаминовыми» повреждениями повреждающее действие

указывают на роль иммунного сосудов [14, 42, 46]. том, что сосуды трансплантации поражались резким экспериментально было показано, что аллергической, аллогенной либо возникают поражения артерий и другими антигенами и повреждением артериального патологического предположить каузальную аутоантител, но и циркулиру-

### Иммунные повреждения сердца

ирующих иммунных комплексов. Действительно, эксперименты, в которых в кровоток кролику вводили иммунные комплексы вместе с частицами туши, показали, что при этом возникает повышение проницаемости интимы аорты, с отложением частиц туши в наиболее гемодинамически напряженных местах: там, где чаще всего образуются липидные бляшки при воспроизведении экспериментального гиперхолестеринового атеросклероза [38]. При сканирующей электронной микроскопии таких участков было обнаружено нарушение целостности эндотелиального покрова сосудов и скопление тромбоцитов и лейкоцитов [42]. Контакт же тромбоцитов с поврежденными клетками либо подлежащей соединительной тканью ведет не только к возникновению повышенной проницаемости эндотелия и воспалительным изменениям, но и к высвобождению тромбоцитарного фактора роста, стимулирующего размножение гладкомышечных клеток и фибробластов [49].

В исследованиях нашего сотрудника А. П. Зайченко при воспроизведении аутоиммунного поражения сердца у кроликов путем многократной иммунизации антигеном аллогенного сердца с адьювантом Фрейнда было обнаружено, что в сердечной мышце и интиме аорты фиксируются иммуноглобулины. При этом в сердечной мышце были зарегистрированы функциональные и морфологические изменения, характерные для воспалительно-дистрофических поражений. Так, в миокарде можно было наблюдать зоны фуксинофильной дегенерации, воспаления и заместительного склероза. В аорте же обнаружены утолщения интимы и образование склеротических бляшек с отложением липидов и холестерина.

Эти изменения сосудов, равно как и поражения сердца, были более выражены у старых (4—4,5 года), чем у молодых (8—10 мес) кроликов и захватывали различную площадь внутренней поверхности сосудов — от 0,6 до 19,6 %. При микроскопическом исследовании такие изменения были обнаружены в 53 % у молодых кроликов и выражались в небольшом очаговом утолщении интимы и сравнительно небольшой липидной инфильтрации. У старых же животных эти изменения регистрировались в 73 %, были более распространены и проявлялись в виде образования характерных бляшек, инфильтрированных липидами с появлением пенистых клеток и выпадением кристаллов холестерина. Можно предположить, что особенности иммунной реактивности стареющего организма благоприятствуют возникновению аутоиммунных повреждений, а также образованию и длительной циркуляции иммунных комплексов, что создает условия для их отложения в сосудистой стенке и последующего ее повреждения. С этой точки зрения интересна обнаруженная связь между частотой ишемической болезни сердца и частотой обнаружения аутоантител к некоторым пищевым продуктам (например, молоку, яйцам) [31], а также корреляция между смертностью от инфаркта миокарда и частотой антигенов гистосовместимости HLA-B8, которые тесно ассоциированы со склонностью к аутоиммунным заболеваниям [41].

Таким образом, приведенные данные указывают на то, что факторы иммунитета могут оказаться важным патогенетическим звеном в возникновении разнообразных повреждений сердца и сосудов острого и хронического характера. Эти иммунные механизмы могут быть связаны с появлением аутоиммунности вследствие аутоиммунизации собственными антигенами, чаще всего расположенных внутриклеточно, либо видоизмененных патологическим процессом, а также вследствие наличия перекрестной иммунной реакции. Большую роль в патологии сердца и сосудов могут играть также циркулирующие иммунные комплексы,

которые образуются как на экзогенные антигены микробного либо пищевого происхождения, так и вследствие протекания аутоиммунных реакций. Во всех этих случаях последующее подключение таких механизмов как активация комплемента, выделение биологически активных веществ, воспаление и пролиферация соединительнотканых элементов в ответ на первичный иммунный конфликт, присоединяющаяся гипоксия и нарушение микроциркуляции еще более усложняют и запутывают картину первоначально возникшего повреждения, приводя к ряду вторичных явлений. Поэтому экспериментальное изучение различных видов патологии сердца и сосудов, давая возможность получить процесс в упрощенной, модельной форме, может оказаться чрезвычайно полезным для анализа наблюдавшихся в клинике заболеваний сердечно-сосудистой системы.

A. A. Moibenko, G. M. Butenko

### IMMUNE LESIONS OF THE HEART AND VESSELS

#### Summary

The paper is concerned with generalization of the data of morphologic, functional and immunological studies of the heart and vessels under reproduction of their immune lesions. A new model of myocardial infarction of immune genesis is described. Basic mechanisms of the heart immune lesions development are analyzed.

A. A. Bogomoletz Institute of  
Physiology, Academy of Sciences,  
Ukrainian SSR, Kiev

#### Список литературы

- Алексеева Т. А., Медуницын Н. В. Аутоаллергия при экспериментальном инфаркте миокарда.—Вестник АМН СССР, 1967, № 2, 43—45.
- Антоненко В. Т. Патологическая физиология иммунных повреждений сердца. К.: Наукова думка, 1979. 264 с.
- Богомолец А. А. К вопросу о микроскопическом строении и физиологическом значении надпочечниковых желез в здоровом и больном организме. Дис. на степень доктора медицины, 1909.—В кн.: О. О. Богомолец «Вибрані праці», Київ: Наукова думка, 1969, с. 25—224.
- Богомолец А. А. Артериальная гипертония. Очерк патогенеза. М.: Госмедиздат, 1929.
- Богомолец А. А. Учение об иммунитете. 1930.—В кн.: Избранные труды. Киев, 1957, с. 444—478.
- Богомолец А. А. Актуальные проблемы шока.—В кн.: Шок. Киев: Изд-во АН УССР, 1938.
- Бородюк Н. А. Изучение антигенов в экстрактах, полученных из препаратов миокарда, содержащих сарколемму.—Журн. микробиологии, эпидемиол. иммунологии, 1971, № 5, с. 130—133.
- Бураков И. Е. Содержание катехоламинов в различных участках сердца при острой дистрофии миокарда.—Фізіол. журн. АН УРСР, 1976, 22, № 6, 738—743.
- Виноградский О. В. Иммунологические исследования при инфаркте миокарда и постинфарктном синдроме.—Кардиология, 1968, 8, № 8, с. 37—41.
- Гватуа Н. А., Вайсман С. Г. Иммунологические сдвиги при инфаркте миокарда.—Кардиология, 1973, 13, № 11, с. 140—148.
- Горев Н. Н., Повжитков М. М., Король С. А., Сагач В. Ф., Зайченко А. П. Экспериментальные цитотоксические некрозы миокарда. Моделирование и гемодинамическая характеристика острого кардиоцитотоксического шока.—Кардиология, 1973, 13, № 2, с. 11—18.
- Кацман Р. Ф., Савенков П. М. Иммуноглобулин и тканевые гормоны в патогенезе и клинике инфаркта миокарда.—В кн.: Труды 2-го Московского медицинского института, 1974, т. 34, серия «Терапия», № 2, с. 37—50.
- Керчер М. И., Данилова Т. А., Калашникова Т. А., Сотскова Т. В. Клинико-иммунологические и электрокардиографические параллели при инфаркте миокарда.—Кардиология, 1976, 16, № 7, с. 107—110.
- Климов А. Н. Иммунологический метод. СССР, 1974, № 2, с. 29—36.
- Меерсон Ф. З., Уголов А. А. Известия Академии наук СССР, Серия биологическая, 1974, № 1, с. 68—75.
- Мойбенко А. А., Повжитков М. М. Аутоаллергия сердца и кардиогенный шок. К.: Наукова думка, 1979.
- Мойбенко А. А., Коркач В. С., Буряков И. Е., Быченко И. А. Патогенез иммунных повреждений сердца и сосудов при кардиоцитотоксической инфарктирующей атаке. Бюл. эксп. биол. и мед., 1980, № 2, с. 151—155.
- Попович Л. Ф. Характеристика иммунных повреждений сердца и сосудов при кардиоцитотоксической инфарктирующей атаке. Бюл. эксп. биол. и мед., 1980, № 2, с. 151—155.
- Сиротина М. Ф. Состояние иммунной системы при инфаркте миокарда. Автореф. докторской диссертации. М.: Медицина, 1980.
- Супоницкая Ф. М. О патогенезе иммунных повреждений сердца и сосудов. Автореф. кандидатской диссертации. М.: Медицина, 1980.
- Уварова Н. А., Школьник Р. И. О механизмах иммунных повреждений сердца и сосудов. Бюл. эксп. биол. и мед., 1980, № 2, с. 291—292.
- Шаров В. Г., Орлова П. Р. О механизмах иммунных повреждений сердца и сосудов. В кн.: Цитотоксическая терапия. М.: Медицина, 1980.
- Юренев П. Н., Семенович Н. А. Патогенез иммунных повреждений сердца и сосудов. М.: Медицина, 1980.
- Янич Р. И. Электрофизиологические изменения на сердечную мышцу при иммунных повреждениях. Автореф. кандидатской диссертации. М.: Медицина, 1980.
- Aaronson D., Patterson R. Immunological response of the canine heart to an antigenic stimulus. Int J Immunopharmacol, 1980, 2, 101—106.
- Annand I. S., Ganguly N. K. Immunological responses of the canine heart to an antigenic stimulus. Int J Immunopharmacol, 1980, 2, 101—106.
- Capurro N., Levi R. The heart as a target organ in immunological diseases. Int J Immunopharmacol, 1980, 2, 101—106.
- Chaturvedi U. C., Mehrotra R. Immunological changes in the heart during anaphylaxis. Indian J. Med. Res., 1980, 79, 293—295.
- Cossio P. M., Diez L., Szarfman A. Immunological changes in the heart during anaphylaxis. Indian J. Med. Res., 1980, 79, 293—295.
- Davies D. F. Immunological changes in the heart during anaphylaxis. Indian J. Med. Res., 1980, 79, 293—295.
- Dornbusch S. The value of the animal model in the study of immunological problems. Intern. Arch. Allergy Appl. Immunol., 1980, 63, 101—106.
- Espinosa E., Kaplan M. H. Immunological changes in the heart during anaphylaxis. Indian J. Med. Res., 1980, 79, 293—295.
- Fairfax A. J. Immunological changes in the heart during anaphylaxis. Indian J. Med. Res., 1980, 79, 293—295.
- Graham A. F., Shroeder J. S. Immunological changes in the heart during anaphylaxis. Indian J. Med. Res., 1980, 79, 293—295.
- Jennings R. B. Effect of immunotherapy on the heart. Indian J. Med. Res., 1980, 79, 293—295.
- Kaplan M. H., Meyserian M. Immunological changes in the heart during anaphylaxis. Indian J. Med. Res., 1980, 79, 293—295.
- Knicker W. T., Cochran C. H. Experimental serum sickness in the dog. Indian J. Med. Res., 1980, 79, 293—295.
- Lessof M. Immunological changes in the heart during anaphylaxis. Indian J. Med. Res., 1980, 79, 293—295.
- Lie G. T., Holley K. E. Immunological diagnosis of early myocardial infarction. Indian J. Med. Res., 1980, 79, 293—295.
- Mathews Y. D. Ischaemic heart disease. Indian J. Med. Res., 1980, 79, 293—295.

антигены микробного либо  
е протекания аутоиммунных  
ее подключение таких меха-  
ение биологически активных  
инительнотканых элементов  
т, присоединяющаяся гипок-  
более усложняют и запуты-  
овреждения, приводя к ряду  
альное изучение различных  
возможность получить про-  
режет оказаться чрезвычайно  
инике заболеваний сердечно-

utenko

T AND VESSELS

The data of morphologic, functional and reproductive characteristics of their immune system genesis is described. Basic principles are analyzed.

Typ 5L

при экспериментальном инфаркте 45.  
мунных повреждений средца. К. :  
троении и физиологическом значе-  
м организма. Дис. на степень док-  
«Вибрані праці», Київ : Наукова  
шерк патогенеза. М. : Госмедиздат,  
кл. Избранные труды. Киев, 1957,  
- В кн.: Шок. Киев : Изд-во АН  
, полученных из препаратов мио-  
логии, эпидемiol. иммунологии,  
личных участках сердца при ост-  
СР, 1976, 22, № 6, 738—743.  
ания при инфаркте миокарда и  
№ 8, с. 37—41.  
двиги при инфаркте миокарда.—

гач В. Ф., Зайченко А. П. Экспериментальное моделирование и гемодинамическое значение шока.—Кардиология, 1973, № 1.

и тканевые гормоны в патогенезе  
2-го Московского мединститута,

4. Сотскова Т. В. Клинико-иммуно-  
лели при инфаркте миокарда.—

14. Климов А. Н. Иммунологические механизмы развития атеросклероза.— Вестн. АМН СССР, 1974, № 2, с. 29—36.

15. Миронов Ф. З., Уголов А. А. Нарушение мембранных транспорта кальция как общее звено патогенеза различных форм недостаточности сердца.— Кардиология, 1980, № 1, с. 68—75.

16. Мойбенко А. А., Повжиков М. М., Бутенко Г. М. Цитотоксические повреждения сердца и кардиогенный шок. К.: Наукова думка, 1977. 141 с.

17. Мойбенко А. А., Коркач В. Ф., Сагач В. Ф., Франциузова С. Б., Грабовский Л. А., Буряков И. Е., Быченко И. Г. Энергетический обмен и сократительная активность миокарда при кардиотоксическом повреждении.— Бюл. эксперим. биологии и медицины, 1980, № 2, с. 151—153.

18. Попович Л. Ф. Характеристика морфофункциональных изменений в миокарде и коронарных сосудах при локальном воздействии антикардиальных антител на сердце: Автореф. дис. ... канд. биол. наук. Киев, 1980. 25 с.

19. Сагач В. Ф. О механизмах депонирования крови у собак при цитотоксическом повреждении сердца.— Бюл. эксперим. биологии и медицины, 1979, № 6, с. 533—536.

20. Сиротина М. Ф. Состояние капиллярного русла при некоторых видах сосудистой патологии: Автореф. дис. ... доктора мед. наук. Киев, 1977. 38 с.

21. Супоницкая Ф. М. О патогенетическом значении цитотоксинов в неинфекционной иммунологии.— В кн.: Цитотоксины в современной медицине. К., 1967, с. 169—175.

22. Уварова Н. А., Школьник Р. Я., Самойлов А. В. Влияние противосердечных и противоабразийных антител на пульсирующие клетки сердца в культуре.— В кн.: Механизмы повреждения резистентности, адаптации и компенсации. Ташкент, 1976, с. 291—292.

23. Шаров В. Г., Орлова Ц. Р., Сакс В. А. Ультраструктурные основы сердечной недостаточности, не связанной с нарушением ритма.— Арх. патологии, 1978, 40, № 10, 3—14.

24. Юрьев П. Н., Семенович Н. И. Клиника и терапия аллергических поражений сердца и сосудов. М.: Медицина, 1972. 251 с.

25. Янчич Р. И. Электрофизиологическое исследование действия антикардиальных антител на сердечную мышцу: Автореф. дис. ... канд. биол. наук. Киев, 1980. 24 с.

26. Aaronson D., Patterson R., Wennmark J., Levi M. Biologic effects of heterologous antisera to canine heart.— Int. Arch. Allergy, 1969, 36, N 6, p. 523—529.

27. Annand J. S., Ganguly N. K., Mohan C., Chakravazti R. N., Nahai P. L. Pathogenesis of immune mediated carditis in monkeys.— J. Molec. Cell. Cardiol., 1980, 12, Suppl 1, p. 7.

28. Capurro N., Levi R. The heart as a target organ in systemic allergic reactions. Comparison of cardiac anaphylaxis in vivo and in vitro.— Circulat. Res., 1975, 36, N 4, p. 520—528.

29. Chaturvedi U. C., Mehrotra R. M. L. Experimental produced immunologic cardiac lesions.— Indian J. Med. Res., 1967, 55, N 1, p. 21—28.

30. Cossio P. M., Diez L., Szarfman A., Kreutze E., Candiolo B., Arana R. M. Chagasic cardiopathy: demonstration of a serum gamma-globulin factor which reacts with endocardium and vascular structure.— Circulat., 1974, 49, p. 13—21.

31. Davies D. F. Immunological aspects of atherosclerosis.— Proc. Nutr. Soc., 1976, 35, N 3, p. 293—295.

32. Dornbusch S. The value of the gel-precipitation method for the study of autoimmune problems.— Intern. Arch. Allergy and Appl. Immunol., 1957, 2, N 3, p. 206.

33. Espinosa E., Kaplan M. H. Antigenic analysis of human heart tissue. Further characterization of an organspecific antigen of heart-tissue.— J. Immunol., 1971, 106, N 3, p. 611—618.

34. Fairfax A. J. Immunological aspects of chronic heart block: a review.— Proc. Roy. Soc. Med., 1977, 70, N 5, p. 327—329.

35. Graham A. F., Shroeder J. S., Grupp R. B., Stinson E. B., Harrison D. C. Does cardiac transplantation significantly prolong life and improve its quality?— Circulat., 1973, 48, N 1, Suppl. 3, p. 116—119.

36. Jenniegs R. B. Effect of reperfusion of ischemic tissue.— J. Molec. Cell. Cardiol., 1980, 12, Suppl. 1, p. 63.

37. Kaplan M. N., Meyserian M. An immunological cross-reaction between group-A streptococcal cells and human heart tissue.— Lancet, 1962, N 1, p. 706—710.

38. Knicker W. T., Cochran Ch. C. The localization of circulating immune complexes in experimental serum sickness.— J. Exp. Med., 1968, 127, N 1, p. 119—135.

39. Lessof M. Immunological reactions in heart disease.— Brit. Heart J., 1978, 40, p. 211—214.

40. Lie G. T., Holley K. E., Kampa W. R., Titus G. T. New Histochemical method for morphologic diagnosis of early stages of myocardial ischemia.— Mayo Clin. Proc., 1971, 46, N 5, p. 319—327.

41. Mathews Y. D. Ischaemic heart diseases: possible genetic markers.— Lancet, 1975, 2, p. 681—682.

42. Minick C. R., Alonso D. K., Ronkin L. Role of immunologic arterial injury in atherosclerosis.—Thromb. and Haemorrh., 1978, 39, N 2, p. 304—311.
43. Nickolson G. C., et al. A classification of anti-heart anti-bodies: differentiation between heart specific and heterophile antibodies.—Clin. Immunol. and Immunopath., 1977, N 7, p. 349—363.
44. Noborn J. Cytotoxicity assay against cultured heart cell in rheumatic heart disease.—Jap. Circul. J., 1978, 42, p. 887—892.
45. Pavek K., Piper P. J., Smedegard G. Anaphylatoxin-induced shock and two patterns of anaphylactic shock: hemodynamics and mediators.—Acta physiol. scand., 1979, 105, p. 293—403.
46. Poston R. P., Davies D. F. Immunity and inflammation in the pathogenesis of atherosclerosis.—Atherosclerosis, 1974, 19, N 3, p. 353—367.
47. Rani S., Maneshwari H. B., Nigam P. D., Kumar S. Experimental production of cardiac lesion by immunologic means.—Indian J. Exper. Biol., 1975, 13, p. 532—537.
48. Rehais Y., Hadjücki P., Scébat J. Aspects immunologiques de l'atherosclerose.—In: Probl. actuels biochim. appl. Paris, 1976, p. 203—210.
49. Ross R. The pathogenesis of atherosclerosis.—Mech. Ageing Develop., 1979, N 9, p. 435—440.

Институт физиологии  
им. А. А. Богомольца АН УССР, Киев;  
Институт геронтологии АМН СССР, Киев

Поступила в редакцию  
4.XI 1980 г.

УДК 612.8:612.12—108.331.1

## ЭКСПЕРИМЕНТАЛНАЯ ГИПЕРТЕНЗИЯ И О ПАТОГЕНЕЗЕ

Основными заболеваниями нашего времени, являются болезни сердца и сосудов, которые занимают первое место среди хронических заболеваний у 10 % населения земного шара.

А. А. Богомолец [3], в своем исследовании, показал, что эти болезни являются следствием длительного воздействия на организм факторов окружающей среды.

Несмотря на огромные усилия ученых многих странах, до настоящего времени не удалось точно определить причину возникновения и дальнейшего развития этих заболеваний.

В разрешении неясных проблем, связанных с этиологией и патогенезом артериальной гипертензии, большое значение имеет проведение экспериментальных исследований на животных. Такие исследования позволяют изучать механизмы возникновения и развития болезни, проводить исследование возможностей ее лечения и профилактики.

Не задаваясь целью изучения всех факторов, влияющих на развитие артериальной гипертензии, мы попытались выделить основные факторы, способствующие ее развитию.

### I Нейрогенные

1) Нарушение афферентных и efferentных нервных путей, ведущих к сердцу и почкам, может привести к развитию артериальной гипертензии. Такие нарушения могут быть вызваны различными факторами, включая стресс, инфекции, воспаление и т. д.

### II Почечные (вазорефлексные)

1) Сужение почечных артерий, ведущих к почкам, может привести к развитию артериальной гипертензии. Это может быть вызвано различными факторами, включая воспаление, инфекции, стресс и т. д.

### III Выводимые наружу

1) Надпочечники выделяют различные гормоны, которые могут влиять на кровообращение и развитие артериальной гипертензии. Такие гормоны, как адреналин и норадреналин, могут стимулировать сердце и суживать почечные артерии.

### IV Генетические (спадчевые)



А. А. Мойбенко, Г. М. Битенка

ФИЗИОЛОГИЧЕСКИЙ ЖУРНАЛ

1981, t. XXVII, № 5

immunologic arterial injury in atherosclerosis. 304-311.  
Heart anti-bodies: differentiation between Clin. Immunol. and Immunopath.,  
Heart cell in rheumatic heart disease.—

n-induced shock and two patterns of s.—Acta physiol. scand., 1979, 105

ation in the pathogenesis of atheros-  
67.

S. Experimental production of car-  
per. Biol., 1975, 13, p. 532—537.  
nologiques de l'atherosclerose.— In:  
0.

Jeh. Ageing Develop., 1979, N 9.

УДК 612.8:612.12—108.331.1

М. И. Гуревич

## ЭКСПЕРИМЕНТАЛЬНЫЕ МОДЕЛИ АРТЕРИАЛЬНОЙ ГИПЕРТЕНЗИИ И СОВРЕМЕННЫЕ ПРЕДСТАВЛЕНИЯ О ПАТОГЕНЕЗЕ ГИПЕРТОНИЧЕСКОЙ БОЛЕЗНИ

Основными заболеваниями, определяющими уровень смертности в наше время, являются болезни сердечно-сосудистой системы. Среди них особое место занимает артериальная гипертензия (АГ) — наиболее частое из хронических заболеваний человека. По данным ВОЗ, примерно у 10 % населения земного шара артериальное давление (АД) повышенено.

А. А. Богомолец [3, 4], указывая на важнейшие препятствия к достижению человеком нормального долголетия, относил к ним АГ.

Несмотря на огромное число исследований, проводимых во многих странах, до настоящего времени не представляется возможным точно определить причину и механизм развития АГ. Проблема значительно осложняется в связи с тем, что пусковые механизмы и механизмы поддержания и стабилизации АД различаются.

В разрешении неясных и спорных вопросов патогенеза АГ экспериментальным исследованиям принадлежит существенная роль. Для углубленного изучения причин и механизмов развития различных форм АГ у человека используют модели АГ на животных. Моделирование АГ позволяет изучать патологический процесс, причины которого известны; проводить исследования в динамике его развития; иметь широкую возможность выбора воздействий с целью предупреждения его прогрессирования, снижения уже повышенного АД и борьбы с последствиями длительного и стойкого повышения АД.

Не задаваясь целью описать все существующие модели АГ, мы коснемся методов воспроизведения и механизмов развития некоторых наиболее распространенных, доступных и апробированных моделей. Все их можно разделить на четыре группы.

## I Нейрогенные

- 1) Нарушение афферентации сосудов и сердца; 2) функциональные нарушения корково-подкорковых взаимоотношений (экспериментальные неврозы, эмоциональный стресс); 3) электро- и хемостимуляция корково-подкорковых структур; 4) нарушение мозгового крово- и лимфообращения (центрогенная, «каолиновая»); 5) повреждение структур центральной нервной системы (ЯСТ артериальная гипертензия и др.).

#### **II Почекные (вазо-рениальные)**

- 1) Сужение почечных артерий: а) две почки — два зажима; б) две почки — один зажим; в) одна почка — один зажим; 2) перевязка ветвей почечной артерии; 3) сужение брюшной аорты выше отхождения почечных артерий; 4) обертывание почек целлофаном, резиной.

### III Вызванные нарушением гормонального равновесия

- 1) Надпочечниковые (ДОК-солевая, альдостероновая); 2) надпочечниково-регенеративная; 3) другие гормонально-гуморальные.

#### IV Генетические (спонтанно гипертензивные крысы, СГК)

1) СКГ Окамото-Аоки; 2) СГК, склонные к мозговым инсультам; 3) миланская гипертензивная порода; 4) СГК Колетского; 5) СГК новозеландской породы; 6) СГК линии Даля.

**Нейрогенные модели.** Рефлексогенная модель. Ученники Геринга [32] путем двусторонней перерезки аортальных и синусных нервов у животных вызывали развитие у них длительного повышения АД, сопровождавшегося тахикардией, расширением полостей сердца и другими изменениями в сердечно-сосудистой системе. Эта модель получила название рефлексогенной (нейрогенной). Начиная с 1936 года по предложению А. А. Богомольца исследования этой модели на собаках и кроликах широко проводятся в СССР под руководством Н. Н. Горева [5–12, 14, 22]. Была показана возможность при условии хорошего методического обеспечения воспроизводить таким путем длительную АГ у собак и кроликов.

Хотя детали механизма развития рефлексогенной АГ, несмотря на огромное число исследований, недостаточно ясны, идея о роли изменений механорецепторов сосудистой системы в развитии АГ и общности патогенеза различных по своему происхождению форм АГ продолжает привлекать внимание исследователей.

Роль функциональных изменений механорецепторов сосудов в развитии АГ отмечал П. К. Анохин [1], считавший, что адаптация сосудистых механорецепторов к высокому АД является центральным патогенетическим механизмом развития и поддержания стойкой АГ. Не все положения этой гипотезы получили экспериментальное подтверждение. Показано [22], что при почечной гипертензии у кроликов депрессорные реакции с механорецепторов каротидного синуса сохранены и даже усилены. Последующие исследования [31] привели к предположению, что механизм участия механорецепторов сердечно-сосудистой системы в развитии АГ состоит в их переустройстве (resetting). Этим термином обозначают состояние механорецепторов, при котором повышение АД в области рецепторной зоны приводит к усилинию аfferентной импульсации, однако пик частоты и длительности разрядов достигается при более высоком АД. В основе resetting, как полагают, лежат не столько изменения механических характеристик сосудов, сколько иннервационные и метаболические изменения в их стенах.

Такое представление позволяет понять обратимый характер resetting. Для клиники возможность воздействия на уровень АД путем электростимуляции области каротидного синуса может быть одним из приемов борьбы с гипертоническими кризами.

**ЯСТ артериальная гипертензия.** В 1973 г. показано [26], что двустороннее электролитическое разрушения ядра солитарного тракта (ЯСТ) у крыс приводит к развитию АГ. При этом АД достигает 200 мм рт. ст. и более и связано с усилением вазоконстрикции нейрогенной природы. Вазоконстрикция наиболее выражена в коже, мышцах и тонком кишечнике. Одновременно усиливается выброс катехоламинов (КА) из надпочечников. Резкое длительное повышение ОПС приводит к развитию острой сердечной недостаточности: возрастают давление в левом желудочке, затем снижается сердечный выброс, повышается центральное венозное давление и обычно в течение 4–5 ч развивается отек легких и животное погибает. Такова картина «молниеносной артериальной гипертензии» у крыс.

Интересно отметить, что развитие ЯСТ АГ зависит от целостности структур коркового и подкоркового уровня, так как дезеребрация на уровне серых бугров среднего мозга может ослаблять развитие ЯСТ

АГ. Введение 6-гидроксида дотвращает развитие или останавливает развитие АГ. Большинство кошек погибает. У выживших животных сохраняется лабильностью АД, пертензии, повышением сосудистого тонуса и поведенческие сдвиги, связанные с усилением барорецепторных рефлексов, что приводит к деструкции норадреналиновых терминалов.

**Центральная «каолиновая» модель АГ.** Центробежная «каолиновая» модель АГ у собак посредством введения каолина в небольшом количестве после такого введения отмечено повышение АД на 70–80 %. Эту модель можно использовать для изучения механизма действия каолина при повышении АД. Каолин, захватывающий оболочки кровеносных сосудов, усиливает деятельность сердечно-сосудистой системы, что приводит к улучшению кровообращения и к возникновению стойкой АГ.

**Кортикальные модели АГ.** Кортикальные модели АГ у крыс считаются близкими к человеческим. Они послужили одним из основных источников информации о механизмах гипертензии ГБ, сформулировавшие основу этих моделей при создании экспериментальных методов диагностики и лечения гипертензии.

М. А. Усиевич и сотр. [16] показали, что кортикальные модели АГ у крыс являются близкими к человеческим. Они послужили одним из основных источников информации о механизмах гипертензии ГБ, сформулировавшие основу этих моделей при создании экспериментальных методов диагностики и лечения гипертензии.

**Почечная (вазо-рениальная) модель АГ.** Почки содержат экстракт коры почек, называемый ренином. С точки зрения человека важная роль принадлежит почкам. Интерес исследований в области генеза почечной гипертензии артериальной гипертензии [30] способом получения почечных артерий, предложил упрощенную методику. На почечные артерии были нанесены экспериментальные изменения почки в целлофане и сдавливанию пальцами.

За последние десятилетия уточнились и расширены

клонные к мозговым инсультам; 4) СГК Колетского; 5) СГК Гильяровского.

Я модель. Ученники Геринга и синусных нервов участвующих в гипертензии АД, со временем полостей сердца и других систем. Эта модель полуавтоматическая. Начиная с 1936 года построена этой модели на собаках под руководством Н. Н. Гомберга. Возможность при условии ходить таким путем длительное время.

Этот экспериментальный АГ, несмотря на то что ясны, идея о роли изучения в развитии АГ и общего происхождению форм АГ проходит.

Ханорецепторов сосудов вчитавший, что адаптация со временем является центральным поддержания стойкой АГ. Не экспериментальное подтверждение гипертензии у кроликов дегидратированного синуса сохранения [31] привели к предупреждению экспериментальных изменений в их

Я обратимый характер изменения на уровень АД путем инсула может быть одним из ами.

В 1926 г. показано [26], что дважды солитарного тракта. При этом АД достигает максимума вазоконстрикции нейрона выражена в коже, мышечной ткани. Выброс катехоламинов повышение ОПС достаточности: возрастает сердечный выброс, особенно в течение 4–5 минут. Такова картина «молчания» АГ.

АГ зависит от целостности так как децеребрация на ослабляет развитие ЯСТ

АГ. Введение 6-гидроксидопамина (6ОН-ДА) в цистерны мозга предотвращает развитие или ослабляет течение АГ.

Большинство кошек переносят разрушение ЯСТ лучше, чем крысы. У выживших животных развивается хроническая АГ, характеризующаяся лабильностью АД с последующим развитием устойчивой гипертензии, повышением сосудистой реактивности на факторы внешней среды и поведенческие ситуации, тахикардией, отсутствием или ослаблением барорецепторных рефлексов. Введение 6-ОН-ДА в ЯСТ вызывает деструкцию норадреналиновых волокон и сходный синдром.

Центрогенная «каолиновая» модель АГ. Разработана [25] модель стойкой АГ у собак посредством инъекции в cisterna cerebellomedullaris небольшого количества взвеси каолина. Уже на второй-третий день после такого введения отмечается повышение давления ликвора и АД на 70–80 %. Этую модель можно рассматривать как образец АГ, возникающей при повышении внутрисердечного давления и тканевой гипоксии, захватывающей область структур, участвующих в регуляции деятельности сердечно-сосудистой системы (ССС). Возможно, что АГ в таких условиях носит компенсаторный характер и вначале способствует улучшению кровоснабжения мозга. Последующее ее развитие приводит к возникновению патологических изменений в ССС.

Кортикальные модели АГ. Кортикальные модели по их происхождению считаются близкими к гипертонической болезни человека (ГБ). Они послужили одним из обоснований неврогенной теории происхождения ГБ, сформулированной Лангом [15] и Мясниковым [17, 18]. За основу этих моделей принимались описанные И. П. Павловым простейшие подобия сложных невротических состояний, так называемые экспериментальные неврозы.

М. А. Усиевич и сотр. [21], изучая изменения высшей нервной деятельности при экспериментальных неврозах и проекции этих сдвигов на сердечно-сосудистую систему, показали, что переделка сигнального значения ассоциированной пары условных раздражителей у собак инертного типа приводит к довольно длительному повышению АД. Вскоре такая возможность была отчасти подтверждена нами [11] в лаборатории Н. Н. Горева. Однако оказалось, что применением «ошибок» и «переделок» можно вызвать в основном лишь транзиторное повышение АД. Серийное воспроизведение таким путем стойкой АГ нам не удавалось. Кортикальную модель получают на обезьянах посредством столкновения оборонительных, половых, пищевых реакций или извращением суточного режима освещения в сочетании с аллергической сенсибилизацией [16].

Почекочная (вазо-ренальная) модель АГ. В 1898 г. в водно-солевом экстракте коры почек было обнаружено [35] прессорное вещество, названное ренином. С созданием надежных методов измерения АД у человека важная роль почек в развитии АГ была признана многими авторами. Интерес исследователей к вопросу о значении почек в патогенезе артериальной гипертензии резко возрос после того, как был описан [30] способ получения стойкой АГ у животных путем умеренного сдавления почечных артерий специальными зажимами. Горев [8] предложил упрощенную методику воспроизведения АГ с помощью наложения на почечные артерии серебряных разрезных колец. В литературе описаны экспериментальные АГ, вызванные посредством заключения почки в целлофановые мешочки, что приводит к развитию пери-нефрита и сдавливанию почечной ткани.

За последние десятилетия наши сведения о ренине значительно уточнились и расширились. В настоящее время вопрос этот в общих

чертах представляется в следующем виде. Ренин является энзимом, который секретируется в ответ на снижение САД или перфузии почек. При поступлении в кровь он вступает во взаимодействие с альфа-глобулином плазмы — ангиотензиногеном (гипертензиногеном). В результате этого взаимодействия образуется ангиотензин I, относительно слабо активный декапептид, который под влиянием превращающего фермента в присутствии ионов хлора превращается в активный прессорный октапептид — ангиотензин II, с которым, в основном, и связан гипертензивный эффект. Вначале было установлено прямое констрикторное влияние ангиотензина II на сосудистые гладкие мышцы. Затем было доказано его центральное действие. В крови имеется также фермент или комплекс ферментов, ангиотензиназа — обладающие способностью разрушать ангиотензин II. Существует связь между содержанием в плазме крови ангиотензина II и гормона коры надпочечников альдостерона. Ангиотензин II стимулирует выработку альдостерона. Усиление секреции альдостерона ведет к повышению реабсорбции натрия в почечных канальцах. В результате увеличивается содержание натрия в гладких мышцах артериол, что сопровождается задержкой в них воды, набуханием стенки, уменьшением просвета артериол и повышением чувствительности адренорецепторов сосудистой стенки к констрикторному действию катехоламинов.

Как показали многочисленные исследования [5, 9, 10, 16 и др.], существует тесная связь между функциональным состоянием центральной нервной системы и почечным гуморальным механизмом: изменения симпатической активности влияют на выделение ренина почками; в свою очередь, ангиотензин II проникает через гематоэнцефалический барьер в основном в области *area postrema*, изменяя функциональное состояние симпатического отдела вегетативной нервной системы.

**Ренопривная артериальная гипертензия.** АГ возникает у животных с удаленными почками. Развитие ренопривной артериальной гипертензии связано, главным образом, с отсутствием антигипертензивных почечных гуморальных факторов. Предполагают, что к числу таких факторов относятся кинины и простагландины. Изменения в ренин-ангиотензин-альдостероновой системе играют существенную роль в развитии рено-васкулярной, адрено-кортикалной и других форм АГ.

**Гормональные модели АГ. Надпочечниковая (ДОКА-солевая, альдостероновая) модель.** Показано [13], что прошивание надпочечников шелковой лигатурой или проволокой вызывает у собак и кроликов длительное повышение АД, эта модель названа «надпочечниковой». Эффект приписан раздражению коркового слоя надпочечников. Эти данные были в дальнейшем подтверждены. Было показано, что при введении животным ДОКА или имплантации таблеток ДОКА под кожу одновременно с заменой питьевой воды раствором поваренной соли развивается АГ. Сходный эффект оказывает введение в организм альдостерона. Эти модели оказались особо полезными при изучении патогенеза АГ, связанной с развитием аденона надпочечников.

Интерес представляет также модель АГ, развивающейся в период регенерации энуклеированного надпочечника — надпочечниково-регенерационная гипертензия. Основным патогенетическим механизмом этой модели считают нарушение баланса между секрецией кортикостерона и альдостерона, усиление продукции альдостерона регенерирующей клеточной зоной и нарушение электролитного обмена.

**Спонтанные, генетические обусловленные модели АГ.** Началом разработки такой модели следует считать 1958 год [24, 34], хотя эти работы в то время не привлекли должного внимания исследователей. За-

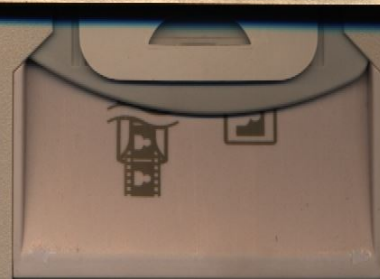
тем среди крыс линий Виски АД и путем инбридинга линия спонтанно гипертензия достигла возраста 10—12 кг АГ. Нейрогенный фактор бильной АГ. Обменные и стимуляции поддержанию и стабилизации динамику патологии.

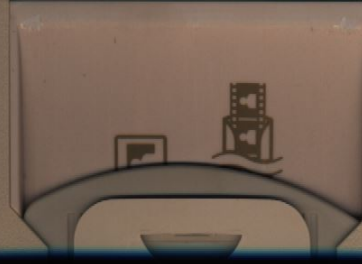
От СГК этой линии отличаются характеристиками. Среди крыс к мозговым инсультам, генетическая линия крыс — крых АГ не достигает очень высокий генез. Выведена по ким уровнем АД, тщательно с СГК гипертензия протекает этих крыс установлен дефект держания простагландин-15 разующийся в результате вазоконстрикторный эффект СГК особо чувствительные предрасположенные к артериям.

Модели СГК позволяют изучать последовательных системах и органах, как сдвигов. Одно из затруднений выборе контроля, так как функциональные особенности возможно считать их «аналогами», как это указывают Киприанов и другие.

**Структурная адаптация высокого АД и общего состояния АД.** Было выдвинуто предположение, что АД может быть результатом капиллярных сосудов. Следующий просвета этих сосудов указал А. А. Богомолец [2], что резистивных сосудов приводит к стенке к радиусу просвета сосудов под влиянием фарингита остается повышенной быстрой и вначале рог чувствительности к нормальной амплитуде констрикторного участка исследования [29]. Мере в ранний период развитии доказательства того, что резистивные как к длительному стабилизации резистивной адаптации в создании общности патологий.

Сопоставление результатов клиническими наблюдениями и полезным для выработки ГБ («эссенциальной гипертензией»).





де. Ренин является энзимом, ние САД или перфузии почек, взаимодействие с альфа-глоби-пертензиногеном). В результате ангиотензин I, относительно од влиянием превращающегося в активный прес-торым, в основном, и связан становлено прямое констрик-истые гладкие мышцы. Затем В крови имеется также фер-миназа — обладающие способ-ствует связь между содержанием коры надпочечников и выработку альдостерона. повышению реабсорбции на-е увеличивается содержание сопровождается задержкой в просвета артериол и повы-и сосудистой стенки к кон-

лования [5, 9, 10, 16 и др.], альным состоянием централь-  
ным механизмом: изменения  
деление ренина почками; в  
через гематоэнцефалический  
так, изменяя функциональное  
ивной нервной системы.  
ия. АГ возникает у живот-  
привной артериальной гипер-  
тствием антигипертензивных  
лагают, что к числу таких  
ины. Изменения в ренин-ан-  
г существенную роль в раз-  
ной и других форм АГ.  
**мод**  
**овая (ДОКА-солевая, альдо-**  
прошивание надпочечников  
ает у собак и кроликов для  
«надпочечниковой». Эффект  
почечников. Эти данные были  
но, что при введении живот-  
ДОКА под кожу одновременно  
енной соли развивается АГ.  
анизм альдостерона. Эти мо-  
еции патогенеза АГ, связан-

Г, развивающейся в период ка — надпочечниково-регенеретическим механизмом этой секрецией кортикостерона и герона регенерирующей клетки обмена.

тем среди крыс линии Вистар были выделены [33] животные с высоким АД и путем инбридинга в двадцатом поколении получена чистая линия спонтанно гипертензивных крыс (СГК). У крыс этой линии при достижении возраста 10—12 нед вначале лабильное АД сменяется стойкой АГ. Нейрогенный фактор играет существенную роль в развитии лабильной АГ. Обменные и структурные нарушения сосудов способствуют поддержанию и стабилизации высокого АД. Эта модель позволяет изучать динамику патологических сдвигов, связанных с развитием АГ.

От СГК этой линии получено несколько подвидов с различными характеристиками. Среди СГК были выделены [33] животные, склонные к мозговым инсультам. В 1968—1974 гг. была выведена еще одна генетическая линия крыс — миланская гипертензивная порода, у которых АГ не достигает очень высокого уровня и имеет, по-видимому, почечный генез. Выведена порода СГК Колетского, отличающаяся высоким уровнем АД, тучностью и гиперлипидемией. У новозеландских крыс с СГК гипертензия протекает в относительно мягкой форме. В почках этих крыс установлен дефект в ферментативной системе — снижение содержания простагландин-15-гидроксидегидрогеназы. Возможно, что образующийся в результате этого избыток простагландина потенцирует вазоконстрикторный эффект норадреналина. Существуют также линии СГК особо чувствительные к избытку в пище поваренной соли, и СГК, предрасположенные к артериолипоидозу.

Модели СГК позволяют наблюдать процесс становления хронической АГ, изучать последовательность возникновения изменений в различных системах и органах, исследовать биохимическую характеристику сдвигов. Одно из затруднений при изучении этих моделей состоит в выборе контроля, так как разные линии здоровых крыс имеют свои функциональные особенности. При всей ценности СГК моделей неправомерно считать их «аналогом эссенциальной гипертензии человека», как на это указывают Кипров [13].

Структурная адаптация резистивных сосудов, ее роль в стабилизации высокого АД и общности патогенеза различных моделей АГ. Было выдвинуто предположение [28], что стабилизация высокого уровня АД может быть результатом структурной перестройки стенок пресипиллярных сосудов. Следует отметить, что на важную роль изменений просвета этих сосудов в регуляции уровня АД одним из первых указал А. А. Богомолец [2, 3, 4]. Структурная перестройка стенок резистивных сосудов приводит к утолщению меди. Существенно возрастает показатель, характеризующий отношение толщины сосудистой стенки к радиусу просвета сосудов. Даже при максимальной дилатации сосудов под влиянием фармакологических препаратов сосудистое сопротивление остается повышенным. Такие изменения возникают относительно быстро и вначале имеют обратимый характер. При этом порог чувствительности к норадреналину, по-видимому, не изменен, но амплитуда констрикторного ответа возрастает. Проведенные с нашим участием исследования [29] показали, что эти изменения, по крайней мере в ранний период развития АГ, обратимы. Таким образом получены доказательства того, что стенки резистивных сосудов быстро адаптируются как к длительному повышению, так и к снижению АД. Структурная адаптация резистивных сосудов, несомненно, играет важную роль в создании общности патогенеза различных форм хронической АГ.

Сопоставление результатов экспериментальных исследований с клиническими наблюдениями и исследованиями может быть чрезвычайно полезным для выработки правильных представлений о патогенезе ГБ («эссенциальной гипертензии»). Схему развития патологического

процесса при ГБ можно представить примерно в такой последовательности: ранняя транзиторная фаза характеризуется циркуляторными сдвигами, напоминающими кортико-гипоталамическую защитную реакцию. Возбуждение адренергических структур приводит к положительному ино- и хронотропному эффекту на сердце и констрикции сосудов сопротивления, при этом не суживаются лишь сосуды скелетных мышц и мозга. Косвенным подтверждением роли такого механизма являются данные о том, что введение 6-ОН-ДА в желудочки мозга, приводя к разрушению центральных адренергических нейронов, так же как иммунологическое разрушение периферических симпатических нейронов, предотвращает развитие АГ. Но если АГ уже развились и существует достаточно долгое время, то ни химическая, ни иммунологическая симпатэктомия не снижают уровня АД до исходного.

Несмотря на некоторое сужение почечных артериол, в начальный период ГБ почечный кровоток, благодаря повышению АД, может не снижаться, а даже возрастать. Однако усиление симпатических влияний приводит к стимуляции юкстагломеруллярного аппарата и усилинию выработки ренина. В дальнейшем развивающаяся вазоконстрикция почечных сосудов ведет к артериогиалинозу и значительному сужению артериол, что усиливает гиперфункцию и гипертрофию юкстагломеруллярного аппарата. Увеличение содержания ангиотензина II стимулирует выработку альдостерона, последний повышает чувствительность адренергических рецепторов сосудов, приводит к задержке натрия, набуханию стенок резистивных сосудов и повышению сосудистого сопротивления. Ангиотензин II оказывает констрикторное влияние и через центральную нервную систему. Следует учитывать и соудосуживающий эффект изменения уровня простагландинов ПГА и ПГЕ.

Вначале различные механизмы повышения АД существенно тормозятся благодаря обратной связи с mechanорецепторами сосудов. Затем происходит «перенастройка» в рецепторном аппарате сердца и сосудов и давление сохраняется на высоком уровне. На определенном этапе развития ГБ включается механизм структурной адаптации сосудистых стенок, высокое АД стабилизируется и процесс прогрессирует.

Такой представляется на основе анализа экспериментальных данных в упрощенном виде наиболее вероятная схема развития самой распространенной формы АГ — гипертонической болезни. Дальнейшие исследования позволят детализировать, дополнить и, возможно, подправить эту схему.

Клинические наблюдения и исследования, представляя исходные данные для разработки экспериментальных моделей, в то же время являются критерием правильности выводов, сделанных на основе экспериментальных исследований. Лишь совместные усилия экспериментаторов и клиницистов могут способствовать разрешению одной из сложнейших проблем современной медицинской науки — пониманию патогенеза ГБ, что является необходимым условием для разработки методов ее профилактики и лечения. Одним из первых исследователей, привлекших внимание к необходимости экспериментального изучения патогенеза этого тяжелого и распространенного страдания, был А. А. Богомолец.

## EXPERIMENTAL MODELS AND PRESENT-DAY IDEAS

Experimental research plays problems of arterial hypertension results with clinical observations a mechanism of hypertonic disease pa

A. A. Bogomoletz Institute of Phys Academy of Sciences, Ukrainian SS

### Список

1. Анохин П. К. Физиологическая болезнь.— В кн.: Тр.
2. Богомолец А. А. О давлении лярам) при нормальных и нек 1911, № 4, с. 1—11.
3. Богомолец А. А. Артериальная
4. Богомолец А. А. О происхождении сосудах. (К проблеме генеза а с. 787—791.
5. Вышатина А. И. О функциональной гипертонии.— Арх
6. Горев Н. Н. Об эксперименте УССР, 1939, 9, вып. 2, с. 317—
7. Горев Н. Н. Некоторые вопр с. 765—770.
8. Горев Н. Н. Очерки изучения
9. Гуревич М. И. О нейрогуморе. Автореф. дис ... канд. мед. науки, 1960, 115 с.
10. Гуревич М. И. Исследования 1. Киев, 1960.
11. Гуревич М. И., Безуско А. Г. Генезе рефлексогенной артериальной гипертонии. Механизмы возникновения осложнений. 1979, с. 42—49.
12. Кипров Д. Экспериментальная с. 115—128.
13. Комиссаренко В. П. Роль кортизистой системы.— Врач. дело,
14. Кондратович М. А. Некоторые экспериментальные гипертонии. и
15. Ланг Г. Ф. О гипертонии.— А 1, с. 16—24.
16. Марков Х. М. Патофизиология гипертонии.
17. Мясников А. Л. Патогенез гипертонии. с. 1—7.
18. Мясников А. Л. Гипертоническая болезнь. Стражов А. Б. Влияние изменений на уровне кровяного
19. Стражов А. Б. Влияние изменений на уровне кровяного давления на гипертонию. 1951, 1, вып. 4, с. 539—546.
20. Судаков К. В. Церебральная Кардиология, 1976, № 5, с. 12
21. Усевич М. А. Роль функций головного мозга при развитии гипертонии и гипертонической болезни.
22. Черкасский Л. П. К характеристике гипертонии: Автореф.
23. Черниговский В. Н. Интерцепт
24. Alexander N. (1959) cit. по of a wistar rat colony.— Proc.
25. Dixon W., Heller H. Experim Druckes.— Arch. f. exper. Pathol.

именно в такой последовательности актируется циркуляторными галамической защитной рефлексами приводит к положительно-длительной и констрикции сосудов сокращением мышц и и такого механизма являются желудочки мозга, приводя к их нейронов, так же как импульсы симпатических нейронов, уже развилась и существует иммунологическая симметричного.

Чечных артериол, в начальный период повышению АД, может не усиление симпатических влияния на рулевого аппарата и усиливаясь вазоконстрикция и значительному сокращению и гипертрофию юкстасосудистого содержания ангиотензина II последний повышает чувствительность сосудов, приводит к задержке сосудов и повышению сосудистого давления. Следует учитывать и сокращения простагландинов ПГА

изменения АД существенно тормозят рецепторов сосудов. Затем в аппарате сердца и сосудов внешне. На определенном этапе турной адаптации сосудистых процесса прогрессирует.

Лиза экспериментальных данных схема развития самой болезни. Дальнейшее, дополнить и, возможно,

вания, представляя исходные модели, в то же время ов, сделанных на основе эксклюзивные усилия экспериментировать разрешению одной из щинской науки — пониманию тем условием для разработки одним из первых исследователей экспериментального изучения распространенного страдания, был

## M. I. Gurevich EXPERIMENTAL MODELS OF ARTERIAL HYPERTENSION AND PRESENT-DAY IDEAS OF HYPERTONIC DISEASE PATHOGENESIS

### Summary

Experimental research plays an important role in solving obscure and disputable problems of arterial hypertension pathogenesis. A comparison of experimental studies results with clinical observations are useful for understanding certain links of a complex mechanism of hypertonic disease pathogenesis and for creating correct ideas of its nature.

A. A. Bogomoletz Institute of Physiology,  
Academy of Sciences, Ukrainian SSR, Kiev

### Список литературы

1. Анохин П. К. Физиологические предпосылки к пониманию патогенеза гипертонической болезни.— В кн.: Тр. IV сессии АМН СССР, М., 1948, с. 30—34.
2. Богомолец А. А. О давлении крови в мелких артериях и венах (близких к капиллярам) при нормальных и некоторых патологических условиях.— Харьк. мед. журн., 1911, № 4, с. 1—11.
3. Богомолец А. А. Артериальная гипертония.— М.: Медгиз, 1929. 48 с.
4. Богомолец А. А. О происхождении и физиологическом значении давления крови в сосудах. (К проблеме генеза артериальной гипертонии).— Врач. дело, № 7—8, 1940, с. 787—791.
5. Вышатина А. И. О функциональном состоянии почек при рефлексогенной экспериментальной гипертонии.— Арх. патологии, 1954, № 3, с. 27—34.
6. Горев Н. Н. Об экспериментальной артериальной гипертонии.— Мед. журн. АН УССР, 1939, 9, вып. 2, с. 317—323.
7. Горев Н. Н. Некоторые вопросы патогенеза гипертонии.— Врач. дело, 1949, № 9, с. 765—770.
8. Горев Н. Н. Очерки изучения гипертонии. Госмедиздат УССР, Киев, 1959. 262 с.
9. Гуревич М. И. О нейрогуморальных сдвигах при экспериментальной гипертонии: Автореф. дис... канд. мед. наук, Киев, 1948. 12 с.
10. Гуревич М. И. Исследования патогенеза артериальной гипертонии. Изд-во АН УССР, Киев, 1960. 115 с.
11. Гуревич М. И., Безусько А. Г. О соотношениях нервного и почечного механизмов в генезе рефлексогенной артериальной гипертонии.— В кн.: Нервные и гуморальные механизмы возникновения основных заболеваний сердечно-сосудистой системы. Полтава, 1979, с. 42—49.
12. Кипров Д. Экспериментальные модели гипертонии.— Сог. et vasa 1980, 22, № 1/2, с. 115—128.
13. Комиссаренко В. П. Роль коры надпочечников в регуляции функции сердечно-сосудистой системы.— Врач. дело, 1950, № 3, с. 221—228.
14. Кондратович М. А. Некоторые вопросы регуляции кровообращения в условиях экспериментальной гипертонии. Изд-во АН УССР, 1956. 112 с.
15. Лане Г. Ф. О гипертонии.— Арх. гос. клин. ин-та усовершенствования врачей, 1922, 1, с. 16—24.
16. Марков Х. М. Патофизиология артериальной гипертонии. София, 1970. 375 с.
17. Мясников А. Л. Патогенез гипертонической болезни.— Сов. медицина, 1949, № 2, с. 1—7.
18. Мясников А. Л. Гипертоническая болезнь. М., 1954. 392 с.
19. Страхов А. Б. Влияние изменения функционального состояния коры больших полушарий на уровне кровяного давления у собак.— Журн. высш. нерв. деятельности, 1951, 1, вып. 4, с. 539—546.
20. Судаков К. В. Церебральные механизмы патогенеза артериальной гипертонии.— Кардиология, 1976, № 5, с. 12—18.
21. Усевич М. А. Роль функциональных нарушений деятельности больших полушарий головного мозга при развитии гипертонических состояний.— В кн.: Пробл. эксперим. гипертонии и гипертон. болезни. 1953, 23, с. 5—9.
22. Черкасский Л. П. К характеристике интероцептивных рефлексов при экспериментальной гипертонии: Автореф. дис... канд. мед. наук. Киев, 1954. 11 с.
23. Черниговский В. Н. Интероцепторы. М.: Медгиз, 1960. 659 с.
24. Alexander N. (1959) цит. по: Alexander N. Psychosocial hypertension in members of a wistar rat colony.— Proc. Soc. Exp. Biol. Med., 1974, 146, p. 163—169.
25. Dixon W., Heller H. Experimentelle Hypertonie durch Erhöhung des intracranien Druckes.— Arch. f. exper. Pathol. u. Pharmacol., 1932, 166, S. 265—272.

26. Doba N., Reis D. J. Acute fulminating neurogenic hypertension produced by brainstem lesions in the rat.—Circulat. Res., 1973, **32**, N 3, p. 584—593.
  27. Folkow B., Grimby G., Thulesius O. Adaptive structural changes of the vascular walls in hypertension and their relation to the control of the peripheral resistance.—Acta physiol. scand., 1958, **44**, p. 255—272.
  28. Folkow B., Sivertsson R. Adaptive changes in reactivity and wall lumen ration in cat blood vessels exposed to prolonged transmural pressure difference.—Life Sci., 1968, **7**, Part 1, p. 1283—1289.
  29. Folkow B., Gurevich M., Hallbäck M., Lundgren Y., Weiss L. The hemodynamic consequences of regional hypotension in spontaneously hypertensive and normotensive rats.—Acta physiol. Scand., 1971, **83**, p. 532—541.
  30. Goldblatt H., Lynch J., Hanzal R., Summerville W. Studies on experimental hypertension. 1. The production of persistent elevation of systolic blood pressure by means of renal ischemia.—J. Exper. Med., 1934, **59**, p. 347—379.
  31. Kezdi P. Resetting of carotid sinus in experimental renal hypertension.—In: Baroreceptors and Hypertension. Pergamon press, 1967, p. 301—306.
  32. Koch E., Mies H. Chroniacher arterieller Hochdruck durch experimentelle Dauerausschaltung der Blutdruckatügler.—Krankheitsforschung, 1929, N 7, S. 241—248.
  33. Ocamoto K., Aoki K. Development of a strain of spontaneously hypertensive rats.—Jap. Circulat. J., 1963, **27**, p. 282—293.
  34. Smirk F. H., Hall W. H. Inherited hypertension in rats.—Nature, 1958, **182**, p. 727—728.
  35. Tigerstedt R., Bergmann P. Niere und Kreislauf.—Scand. Arch. Physiol., 1898, N 8, S. 223—225.

Институт физиологии им. А. А. Богомольца  
АН УССР, Киев

Поступила в редакцию  
25.XII 1980 г.

# ИЗУЧЕНИЕ СОСУДОВ ПРОБЛЕМА НОВЫХ ФИЗИОЛОГИЧЕСКИХ МЕТОДОВ

Понятие сосудистных питающих изменения физиологических стимулов тока при нормальных условиях при патологии. Тактиров регулирования необходим, а также вызывающие ясняется прежде всего при нарушениях кровотока при

Эта проблема впервые работал в 1909—1910 гг. ского университета в Одессе, никованная как на русском языке, ставляет интерес с двух точек зрения: национальная методика, позволяющая наряду с сосудистым диаметром судостого русла (этот метод измерения давления головного мозга [11]). Разные уровни артериального давления характеризуются функциональное значение

В. В. Воронин и его нормальной и патологиче-  
ния и микроциркуляции, он опубликовал специаль-  
ника, в которой писал о  
сделать из его работ, в  
русле артерии среднего  
функцию: если первые у-  
вообращения, связанных  
ые принимают участие в  
жения ткани [3].

Ученики и сотрудник им лабораториях в Тбил аспекте выяснения специ ферической кровеносной А. А. Богомольца были сосудистых реакций в уш тах были выявлены [4] с калибра в коже. Еще бо изучении нами совместно го мозга.

hypertension produced by brainstem  
584—593.  
structural changes of the vascular walls  
of the peripheral resistance.—Acta  
activity and wall lumen ration in cat  
pressure difference.—Life Sci., 1968,

Y., Weiss L. The hemodynamic con-  
sensus hypertensive and normotensive  
Studies on experimental hyperten-  
of systolic blood pressure by means  
7—379.  
nental renal hypertension.—In: Ba-  
967, p. 301—306.  
uck durch experimentelle Dauerauss-  
hung, 1929, N 7, S. 241—248.  
of spontaneously hypertensive rats.—  
in rats.—Nature, 1958, 182, p. 727—  
—Scand. Arch. Physiol., 1898, N 8,

Поступила в редакцию  
25.XII 1980 г.

УДК 612.8:612.143

Г. И. Мчедлишвили

## ИЗУЧЕНИЕ СОСУДИСТЫХ ЭФФЕКТОРОВ — КЛЮЧЕВАЯ ПРОБЛЕМА НОРМАЛЬНОЙ И ПАТОЛОГИЧЕСКОЙ ФИЗИОЛОГИИ КРОВООБРАЩЕНИЯ

Понятие сосудистых эффекторов включает в себя механизмы, обеспечивающие изменение просвета кровеносных сосудов под влиянием физиологических стимулов и обуславливающих регулирование кровотока при нормальных условиях, а также его нарушения и компенсацию при патологии. Таким образом, для выяснения функции эффекторов регулирования необходимо изучать поведение кровеносных сосудов, а также вызывающие его физиологические стимулы. При этом выясняется прежде всего роль тех или иных сосудов в регулировании и нарушениях кровотока при естественных условиях.

Эта проблема впервые изучалась А. А. Богомольцем, когда он работал в 1909—1910 гг. на кафедре общей патологии Новороссийского университета в Одессе под руководством В. В. Воронина. Опубликованная как на русском, так и немецком языках [1, 10], она представляет интерес с двух точек зрения. В ней была использована оригинальная методика, позволившая измерять уровень кровяного давления, наряду с сосудистым диаметром, в разных точках периферического сосудистого русла (этую методику с успехом применили в дальнейшем при измерении давления в мелких пиальних артериях на поверхности головного мозга [11]). Наряду с этим, впервые было показано, что разные уровни артериальных ветвлений периферического сосудистого русла характеризуются разными реакциями и имеют неодинаковое функциональное значение.

В. В. Воронин и его ученики, много работавшие над проблемами нормальной и патологической физиологии регионарного кровообращения и микроциркуляции, развивали эти идеи [2]. Несколько позже он опубликовал специальную статью, посвященную памяти своего ученика, в которой писал о тех важных выводах, которые можно было сделать из его работ, в частности — в периферическом сосудистом русле артерий среднего и мелкого калибра выполняют неодинаковую функцию: если первые участвуют преимущественно в изменениях кровообращения, связанных с центральными нервными влияниями, то вторые принимают участие прежде всего в местных процессах кровоснабжения ткани [3].

Ученники и сотрудники В. В. Воронина, работавшие в руководимых им лабораториях в Тбилиси, проводили свои исследования именно в аспекте выяснения специфической вазомоторики разных частей периферической кровеносной системы. Результаты упомянутой работы А. А. Богомольца были повторены и развиты [5] при исследованиях сосудистых реакций в ушной раковине кролика. Далее, в экспериментах были выявлены [4] функциональные особенности артерий разного калибра в коже. Еще более широкое развитие эти идеи получили при изучении нами совместно с сотрудниками кровеносной системы головного мозга.

В процессе исследований физиологии мозгового кровообращения были разработаны методики, благодаря которым удалось изучить функциональное поведение разных частей артериальной системы головного мозга при различных физиологических и патологических условиях. В качестве экспериментальных моделей условия патологии имели особые преимущества, так как функциональное поведение артерий в виде компенсаторных реакций проявляется гораздо более четко, чем в физиологических условиях. В результате многолетних исследований удалось выяснить, что в головном мозге имеется по крайней мере три подсистемы артерий, характеризующихся неодинаковыми функциональными особенностями: магистральные артерии мозга (внутренние сонные и позвоночные артерии, а также прилегающие к ним крупные артерии у основания черепа), пialные артерии, ветвящиеся и анастомозирующие на поверхности полушарий головного мозга, и ветвления наиболее мелких артерий и артериол в толще мозговой ткани.

С очевидностью показано, что при исследовании кровоснабжения головного мозга не подтвердилось широко распространенное среди физиологов представление, будто именно артериолы\* являются основными резистивными сосудами в периферическом сосудистом русле. В действительности они оказались наименее активными сосудистыми сегментами при регулировании кровообращения в головном мозге. Кстати, это соответствовало одному из важнейших выводов, вытекающих из упомянутой работы А. А. Богомольца, которые сформулировал В. В. Воронин. В кровеносной системе головного мозга функциональное поведение магистральных и пialных артерий было изучено при всех известных типах регулирования мозгового кровообращения. Еще в начале 60-х гг. было показано, что каждая из этих сосудистых подсистем является эффектором<sup>влияния</sup> при определенных типах регулирования мозгового кровообращения. Посредством магистральных артерий мозга обеспечивается постоянство мозгового кровотока при изменениях уровня общего артериального давления, а также устраняется избыточное кровенаполнение сосудов головного мозга. Посредством пialных артерий обеспечивается постоянство  $P_{O_2}$  и  $P_{CO_2}$  в мозге при изменении содержания кислорода и углекислого газа в крови, а также регулируется адекватное кровоснабжение мозговой ткани в соответствии с ее метаболическими потребностями. Таким образом оказалось, что как магистральные артерии мозга, так и пialные артерии являются специфическими эффекторами при определенных видах регулирования мозгового кровообращения, выявляя неодинаковый характер поведения при своем функционировании. Наиболее характерной реакцией магистральных артерий мозга оказалась вазоконстрикция, обусловливающая повышение сосудистого сопротивления, тогда как для пialных артерий типична прежде всего вазодилатация с соответствующим уменьшением сосудистого сопротивления в этих сосудах [6, 7].

Идентификация сосудистых эффекторов регулирования в кровеносной системе головного мозга и характерных для них сосудистых реакций при тех или иных типах регулирования мозгового кровообращения оказалась необходимым условием, способствовавшим весьма интенсивным исследованиям механизмов регулирования просвета этих сосудов. С одной стороны, с середины 60-х гг. началось быстрое накопление физиологических данных относительно нейрогенного меха-

\* Согласно классическому определению, «артериолами» следует называть только мельчайшие прекапиллярные артерии с одним слоем гладкомышечных клеток в составе сосудистой стенки.

низма регулирования времени категорически отвергнуто. С другой стороны, начали выявляться факторы, которые, возникнув в тканях, вызывают метаболизм в тканях сосудистых эффекторов мозга, позволили проанализировать именно этих эффекторов, называемой «ауторегулацией». Выяснение эффекторов кровообращения создало новые проблемы физиологии.

Далее, знание особенностей артериальной системы, локализации аngiospазма, возникновение спазма в артериях с особенностями их функционирования. Поэтому, впервые были выявлены именно мелкие, пialные, артерии. Это в свою очередь, позволило сформулировать экспериментальную модель мозговых артерий и способствовать дальнейшим исследованиям его патологии. Удалось, в частности, выявить, какие условия способствуют также каким именно механизмам гладких мышц. Все это, в свою очередь, послужило основой для устранения, что является важной неврологией иней.

Наконец, изучение механизма регулирования кровообращения головного мозга послужило основой для патофизиологических механизмов. Разработанные ранее механизмы, факторы, которые могли влиять на мозг или же компенсировать его развитие. Полученные механизмы развития от роли сосудистой проницаемости на основе стали развивать новые факторы, которые влияют на воду во внутренней среде организма. Все это, в свою очередь, послужило основой для изучения механизма отека головного мозга.

Итак, выяснение функций артериол мозга явилось важной вехой в изучении механизма регулирования мозгового кровообращения, которые лежат в основе дальнейшего развития.

Таким образом, равное значение для развития нейробиологии имеет первые работы, в которых были выявлены механизмы регулирования кровообращения в мозге. Такие концепции (возможно, что это были только артериолы) показали, что существуют различные механизмы регулирования кровообращения в системе периферической нервной системы.

и мозгового кровообращения, оторвом удалось изучить функциональной системы головных и патологических условий. Условия патологии имели альное поведение артерий в гораздо более четко, чем в многолетних исследований имеется по крайней мере три неодинаковыми функциональными артерии мозга (внутренние прилегающие к ним крупные артерии, ветвящиеся и анальные головного мозга, и ветвящиеся мозговой ткани). Исследование кровоснабжения распространено среди фибропаренхимы\*, являются основным сосудистым руслом. В ее активными сосудистыми артериями в головном мозге, жнейших выводов, вытекающих из артерии, которые сформулированы головного мозга функциональных артерий было изучено мозгового кровообращения. Каждая из этих сосудистых определенных типах регулированием магистральных мозгового кровотока при давления, а также устраняя головного мозга. Посредством  $P_{O_2}$  и  $P_{CO_2}$  в а и углекислого газа в кровоснабжение мозговой ткани ребенка. Таким образом и мозга, так и пиальные артерии при определенных артериях, выявляя неодинакование. Наиболее мозга оказалась вазодилататором мозгового сопротивления, прежде всего вазодилатации мозгового сопротивления.

Регулирования в кровеносных для них сосудистых артериях мозгового кровообращения, способствовавшим весьма регулирования просвета этих артерий. началось быстрое нарушение нейрогенного механизма» следует называть только гладкомышечных клеток в составе

### Изучение сосудистых эффекторов

низма регулирования мозгового кровообращения, который до того времени категорически отрицали ведущие специалисты в этой области. С другой стороны, начались интенсивные исследования метаболических факторов, которые, возможно, обеспечивают сопряжение кровотока и метаболизма в ткани головного мозга. Наконец, знание специфических сосудистых эффекторов регулирования в кровеносной системе мозга позволило проанализировать миогенные ответы на растяжение именно этих эффекторов и выяснить их действительную роль в так называемой «ауторегуляции» мозгового кровообращения [9]. Итак, выяснение эффекторов при каждом типе регулирования мозгового кровообращения создало необходимые условия для выяснения фундаментальных проблем физиологии кровоснабжения головного мозга.

Далее, знание особенностей функционирования различных частей артериальной системы мозга привело к выяснению закономерностей локализации ангиоспазма в его сосудистой системе. Оказалось, что возникновение спазма в тех или иных мозговых артериях тесно связано с особенностями их функционирования при регулировании мозгового кровообращения. Поэтому характерным локусом развития ангиоспазма оказалась именно магистральные и другие крупные, но не пиальные, артерии. Это в свою очередь позволило разработать адекватную экспериментальную модель для анализа развития ангиоспазма мозговых артерий и способствовало систематическим и разносторонним исследованиям его патофизиологических механизмов. С ее помощью удалось, в частности, выяснить, какие физиологические стимулы и при каких условиях способствуют развитию спазма мозговых артерий, а также какие именно мембранные и внутриклеточные процессы в сосудистых гладких мышцах лежат в основе развития ангиоспазма [7]. Все это, в свою очередь, способствует разработке эффективных методов его устранения, что является одной из актуальнейших проблем современной неврологии и нейрохирургии.

Наконец, изучение сосудистых эффекторов в кровеносной системе головного мозга послужило важным стимулом для успешного изучения патофизиологических механизмов развития отека в головном мозге. Разработанные ранее методы позволили выяснить роль циркуляторных факторов, которые могут способствовать развитию отека головного мозга или же компенсировать (то есть ослаблять или даже устранять) его развитие. Полученные данные вместе с учетом общепатологических механизмов развития отека позволили по-новому подойти к выяснению роли сосудистой проницаемости в мозге при развитии отека. На этой основе стали развиваться исследования, касающиеся значения тканевых факторов, которые оказались наиболее важной причиной накопления воды во вне- и внутриклеточных отделах мозговой ткани при развитии отека головного мозга [8].

Итак, выяснение функции сосудистых эффекторов в головном мозге явилось важной вехой в изучении физиологических механизмов регулирования мозгового кровообращения, а также тех фундаментальных процессов, которые лежат в основе его нарушений при патологии.

Таким образом, ранние работы А. А. Богомольца имели существенное значение для развития представлений в области нормальной и патологической физиологии кровообращения. С одной стороны, это были первые работы, в которых поставлены под сомнение старые физиологические концепции (возникшие еще в середине прошлого столетия), будто только артериолы являются основными резистивными сосудами, и показано, что существует определенная функциональная организация в системе периферического сосудистого русла. Выяснение этих особенностей

ностей функционирования разных отделов артериальной системы в головном мозге позволило эффективно изучать те фундаментальные процессы, которые лежат в основе физиологии и патологии мозгового кровообращения, что в свою очередь чрезвычайно важно для медицинской практики. Вполне очевидно, что исследования других периферических отделов кровеносной системы в организме, проводимые в аналогичном направлении, будут способствовать успешному прогрессу нормальной и патологической физиологии кровообращения.

### *Список литературы*

- Богомолец А. А. О давлении крови в мелких артериях и венах (близких к капиллярам) при нормальных и некоторых патологических условиях.—Харьк. мед. журн., 1911, № 4.
  - Воронин В. В. Руководство по патологической физиологии. Часть I. Тбилиси : Груз. медгиз, 1947. 505 с.
  - Воронін В. В. Праці О. О. Богомольця з гемодинаміки.—Фізiol. журн., 1956, 2, № 3, с. 29—30.
  - Гедеванишвили И. Д., Бегашвили Т. В. Особенности сосудорасширяющего действия ацетилхолина на периферические артерии и артерио-венозные анастомозы уха белой мыши.—Патол. физиология и эксперим. терапия, 1960, 4, № 4, с. 21—25.
  - Заалишвили И. М. О ритмических сокращениях сосудов.—В кн.: Труды посвящ. 60-летию науч.-пед. деятельности В. В. Воронина. Тбилиси 1952, с. 103—108.
  - Мchedlishvili Г. И. Функция сосудистых механизмов головного мозга. Ленинград : Наука, 1968. 204 с.
  - Мchedlishvili Г. И. Спазм артерий головного мозга. Тбилиси : Мецниереба, 1977. 182 с.
  - Мchedlishvili Г. И. О патогенезе постишемического отека головного мозга.—Анестезиология и реаниматология, 1980, № 2, с. 47—49.
  - Мchedlishvili Г. И. Регуляция мозгового кровообращения. Тбилиси : Мецниереба, 1980. 158 с.
  - Bogomolez A. Über den Blutdruck in den kleinen Arterien und Venen (den Kapillaren nebstehenden) unter normalen und gewissen pathologischen Verhältnissen.—Pflügers Archiv, 1911, 141, S. 118—132.
  - Dieckhoff D., Kanzow E. Über die Lokalisation des Strömungswiderstandes im Hirnkreislauf.—Pflügers Archiv, 1969, 310, S. 75—85.

Институт физиологии АН ГССР,  
Тбилиси

Поступило в редакцию  
4.XI 1980 г.

ФИЗИОЛОГИЧЕСКИЙ ЖУРН

УДК 616.127—005.4—092

## ПАТОГЕН ИШЕМИЧ

Коронарное кровообращение единую функциональную избежно влечет за собой:

Основными гемодинамическими энергетическими затратами на паренарное кровотока являются сокращения левого желудочка и сопровождающие их изменения в артериальной системе [9, 12].

Во время систолы линия приближается к внутреннему коронарному кровотоку. миокарда сопротивление диастолы уменьшается, оно к значительному усилению имеет важное значение для миокарда, испытывающее в условиях патологии миокарда. В условиях патологии миокарда, испытывающее в условиях патологии миокарда, имеющие механизмы саморегуляции, посыпки для ухудшения

В настоящей работе  
рассмотрены гемодинами-  
ка в кислороде, сократи-  
тельные и реологические свойства  
сердца в зависимости от  
тяжести течения заболевания.  
Показано, что при остром инфаркте миокарда  
вентрикулография, апексо-  
графия миокарда кислород-  
содержащих цитов, эритроцитов, систоли-  
ческая способность сердца и т. д.

В экспериментальной ограничения объема перегородки левой коронарной ветви левой коронарной тер расслабления миокарда, скорость его распространения. После прекращения регуляции тканей из ишемии, с помощью исследованием кальцикулума (СПР), сконструированного

При сопоставлении с основными показателями, что при суммарном происходит нарастание 49 %, конечного систолического

ов артериальной системы в изучать те фундаментальные логии и патологии мозгового вычайно важно для медицин-следования других перифери-гранизме, проводимые в ана-зововать успешному прогрессу и кровообращения.

## атуры

ртериях и венах (близких к капил-  
лярных условиям).—Харьк. мед. журн.,  
физиологии. Часть I. Тбилиси : Груз-  
одинамики.—Фізіол. журн., 1956, 2,  
чиности сосудорасширяющего дейст-  
вия артерио-венозные анастомозы уха  
терапия, 1960, 4, № 4, с. 21—25.  
х сосудов.—В кн.: Труды посвящ.  
на. Тбилиси 1952, с. 103—108.  
измов головного мозга. Ленинград :  
мозга. Тбилиси : Мецниереба, 1977.  
кого отека головного мозга.—Апес-  
кообращения. Тбилиси : Мецниереба,  
Arterien und Venen (den Kapillaren  
thologischen Verhältnissen).—Pflügers  
n des Strömungswiderstandes im  
85.

Поступило в редакцию  
4.XI 1980 г.

УДК 616.127—005.4—092

Н. К. Фуркало

## ПАТОГЕНЕТИЧЕСКИЕ МЕХАНИЗМЫ ИШЕМИЧЕСКОЙ БОЛЕЗНИ СЕРДЦА

Коронарное кровообращение и сократимость миокарда составляют единую функциональную систему, и изменение одного из звеньев неизбежно влечет за собой нарушение состояния другого.

Основными гемодинамическими детерминантами работы сердца, его энергетических затрат, потребности в кислороде и адаптации коронарного кровотока являются конечный диастолический объем (КДО) левого желудочка и сопротивление изgnанию крови в аорту [1, 2, 4, 8, 9, 12].

Во время систолы левого желудочка интрамиокардиальное давление приближается к внутрижелудочковому, вследствие чего происходит почти полное сжатие мелких сосудов и ослабление перфузионного коронарного кровотока. С увеличением сократительной активности миокарда сопротивление кровотоку в коронарных сосудах в период диастолы уменьшается, особенно в субэндокардиальном слое, приводя к значительному усилению кровотока [6, 11, 15]. Это обстоятельство имеет важное значение для кровоснабжения субэндокардиального слоя миокарда, испытывающего сильное сжатие во время систолы [5, 10]. В условиях патологии может нарушаться совершенство функционирования механизмов саморегуляции деятельности сердца, создавая предпосылки для ухудшения коронарного кровотока [3, 7, 12].

В настоящей работе приведен анализ основных параметров внутрисердечной гемодинамики, коронарного резерва, потребности миокарда в кислороде, сократимости и процесса расслабления миокарда и реологических свойств крови у 154 больных ишемической болезнью сердца в зависимости от выраженности коронарного атеросклероза и тяжести течения заболевания. В исследованиях была использована коронаро- и вентрикулография, эхокардиография, велоэргометрия, радиокардиография, апекскардиография; рассчитывали индекс потребления миокардом кислорода, изучали функциональные свойства тромбоцитов, эритроцитов, систему гемостаза и вязкость крови.

В экспериментальных исследованиях на собаках изучено влияние ограничения объема перфузии миокарда на 50, 70 и 90 % в огибающей ветви левой коронарной артерии на сократительную функцию и характер расслабления миокарда. Регистрировали внутрижелудочковое давление, скорость его нарастания —  $dp/dt_{max}$  и снижение —  $dp/dt_{min}$ . После прекращения регистрации указанных параметров производился забор ткани из ишемизированной зоны левого желудочка с последующим исследованием кальций-зависимой АТФазы саркоплазматического ретикулума (СПР), скорость связывания и поглощения кальция СПР.

При сопоставлении выраженности атеросклероза венечных артерий с основными показателями внутрисердечной гемодинамики было отмечено, что при суммарном поражении более 50 % венечных артерий происходит нарастание конечного диастолического объема (КДО) на 49 %, конечного систолического объема (КСО) левого желудочка на

102 % и снижение фракции изгнания (ФИ) на 24,6 %. Проба с увеличением преднагрузки приводит к дальнейшему увеличению КДО на 18 %, КСО — на 31 % и снижению ФИ — на 7 %. Снижались при этом также скорость укорочения циркуляторных волокон миокарда с 1,1 до 0,8 окр./с ( $p < 0,001$ ) и процент уменьшения передне-заднего размера левого желудочка с 35,1 до 28,3 ( $p < 0,01$ ). Конечное диастолическое давление (КДД) в левом желудочке также повышалось, особенно при суммарном поражении венечных артерий выше 75 % и наличии зон асинергии. Однако выраженная зависимость между КДД, КДО и КСО прослеживалась не всегда. В ряде случаев повышение КДД не сопровождалось существенным увеличением КДО и КСО.

При анализе длительности периода изоволюмического расслабления отмечена его высокая коррелятивная связь с количеством и степенью поражения венечных артерий сердца — 0,102 с у лиц с измененными и 0,08 с — у лиц с интактными и малоизмененными венечными артериями.

В экспериментальных исследованиях ограничение объема перфузии в системе левой огибающей венечной артерии на 30 % сопровождалось уменьшением скорости снижения давления в полости левого желудочка в диастолу на 15 %. Аналогично происходило и снижение скорости нарастания давления в желудочке при его систоле. При уменьшении объема перфузии на 70 % и особенно на 90 % скорость нарастания давления в желудочке снижалась на 27 %, а уменьшение скорости снижения давления в процессе диастолы — на 32 %. Ограничение кровоснабжения миокарда, как это видно из приведенных данных, приводит к нарушению не только сократительной функции миокарда, но и процесса расслабления. Проведенные биохимические исследования свидетельствуют о значительном снижении эффективности кальциевого насоса, проявляясь более чем двукратным торможением активности кальций-зависимой АТФазы СПР.

При ограничении коронарного кровотока на 70 и на 90 % прогрессирующее снижалась способность фрагментов СПР к связыванию и поглощению кальция, достигая в зоне ишемии 25—30 % исходного уровня.

Таким образом, ишемия приводит к выраженному нарушению кальций-транспортирующей и в еще большей степени кальций-связывающей и кальций-поглащающей способности СПР, что может рассматриваться как одна из ведущих причин замедления процесса релаксации миокарда. Продолжительность периода и полнота диастолического расслабления в свою очередь могут существенно влиять на интенсивность интрамиокардиального коронарного кровотока [13, 14].

При равнозначном атеросклеротическом поражении венечных артерий коронарный резерв, определяемый по толерантности к физической нагрузке, был достоверно снижен у больных со значительным увеличением КДО (211 мл) по сравнению с больными, у которых КДО был повышен незначительно (121 мл), соответственно 26,4 и 65,6 Вт ( $p < 0,01$ ). Изменения внутрисердечной гемодинамики при уменьшении коронарного резерва и снижении расширительной способности венечных сосудов становятся одними из основных факторов, определяющих коронарный кровоток [1, 7, 10, 15]. Показатель интрамиокардиального напряжения, являющийся основной детерминантой потребления кислорода миокардом, составлял  $252 \cdot 10^3$  дин/см<sup>2</sup> у больных, у которых КДО составлял в среднем 121 мл, и  $301 \cdot 10^3$  дин/см<sup>2</sup> ( $p < 0,05$ ) у больных, у которых КДО достигал 211 мл.

Соответственно изменился кислород с 223,3 до 124,3 больных ИБС с интактными венечными артериями. Высокие свойства крови и микроциркуляторы как у больных с интактными склеротическим их поражением и угнетение фибринолитических атеросклеротическим поражением выше 50 %.

Установлено, что нарушение на уровне микроциркуляции ИБС и сопутствующих ей осложнений.

С прогрессированием атеросклероза на пороговые концентрации (адреналин, гистамин) и усиление концентрации вазоактивных веществ в проявлениях заболевания дигитонаина (с 8,9 до 17,8 мкг/мл и 13 мкг/мл соответственно).

Таким образом, при употреблении таких факторов как повышенное время диастолы, увеличение реологических свойств веществ в крови, явления нарушения, могут включаться в существенно влияя на уровень коронарного кровотока, миокарда в кислороде и его

#### PATHOGENETIC MECHANISMS

The dynamics of enddiastole of the left ventricle of the heart, oxygen consumption and concentration of physiologically active substances in the blood and coronary blood flow. It is shown that the progressing atherosclerosis of the coronary vessels is essentially affecting the level and rate of increasing the disbalance between

Institute of Cardiology, Kiev

Cp

- Аронова Г. Н. Коронарно-ишемическая болезнь сердца. М., 1970. 207 с.
- Дьяконова И. Н., Косицкий А. А. Атеросклероз коронарных артерий. М., 1977, с. 85—135.
- Каверина Н. В. Фармакология коронарной ишемии. М., 1963. 283 с.

И) на 24,6 %. Проба с увеличением КДО на 7 %. Снижались при этом волокна миокарда с 1,1 до 1,01. Конечное диастолическое же повышалось, особенно при свыше 75 % и наличии зон между КДД, КДО и КСО (если повышение КДД не сопровождалось КСО).

изоволюмического расслабления связь с количеством и степенью — 0,102 с у лиц с измененными малоизмененными венечными

ограничение объема перфузии сердца на 30 % сопровождалось я в полости левого желудочка происходило и снижение скорости его систоле. При уменьшении на 90 % скорость нарастания — 7 %, а уменьшение скорости — на 32 %. Ограничение кровообращения приведенных данных, приводит к функции миокарда, но и химические исследования свидетельствуют о высокой эффективности кальциевого торможением активности

тока на 70 и на 90 % прогрессировании СПР к связыванию ишемии 25—30 % исходного

к выраженному нарушению дальнейшей степени кальций-связанности СПР, что может расширять замедления процесса реperiод и полнота диастолы могут существенно влиять на коронарного кровотока

при поражении венечных артерий толерантности к физической активности больных со значительным риском, у которых КДО соответственно 26,4 и 65,6 Вт/мин/кг при уменьшении максимальной способности венечных факторов, определяющих артериальный интрамиокардиальный индекс потребления кислорода больных, у которых КДО  $10 \text{ л}/\text{мин} \cdot \text{м}^2$  ( $p < 0,05$ ) у больных,

### Патогенетические механизмы

Соответственно изменился и индекс миокардиального потребления кислорода с 223,3 до 124,3 ( $p < 0,05$ ). Наряду с этим у двух групп больных ИБС с интактными (31 больной) и атеросклеротически измененными венечными артериями (40 больных) были изучены реологические свойства крови. Выявленные нарушения реологических свойств крови и микроциркуляторные нарушения были почти равнозначными как у больных с интактными венечными артериями, так и при атеросклеротическом их поражении. Однако, свертывающие свойства крови и угнетение фибринолитической ее активности нарастают у больных с атеросклеротическим поражением венечных артерий при их суммарном поражении свыше 50 % и особенно — 75 %.

Установлено, что нарушения реологических свойств крови, реализующиеся на уровне микроциркуляции, создают предпосылки к развитию ИБС и сопутствующих ей осложнений.

С прогрессированием заболевания нарастают также реакция микрососудов на пороговые концентрации физиологически активных веществ (адреналин, гистамин). При этом выявлено значительное повышение концентрации вазопрессина (с 45,1 мкЕ/мл при начальных проявлениях заболевания до 86,7 мкЕ/мл при тяжелых формах), серотонина (с 8,9 до 17,8 мкг/мл соответственно) и гистамина (с 6,2 до 13 мкг/мл соответственно) в крови.

Таким образом, при уменьшении коронарного резерва при ИБС такие факторы как повышение КДО, КСО, КДД в левом желудочке, увеличение времени диастолического расслабления миокарда, нарушение реологических свойств крови, повышение концентрации вазоактивных веществ в крови, являясь важными показателями эволюции заболевания, могут включаться в патогенез коронарной недостаточности, существенно влияя на уровень и эффективность перфузионного миокардиального кровотока, увеличивая дисбаланс между потребностью миокарда в кислороде и его доставкой.

N. K. Furkalo

### PATHOGENETIC MECHANISMS OF THE HEART ISCHEMIA

#### Summary

The dynamics of enddiastolic volume, endsystolic pressure in the left ventricle of the heart, diastolic myocardium relaxation, rheologic properties of blood and concentration of physiologically active substances were studied in 154 heart ischemia patients and in the experiments on 40 dogs with a dosed 70-90 % limitation of coronary blood flow. It is shown that in the process of the heart ischemia evolution, under progressing atherosclerosis of coronary arteries and limitation of coronary blood flow pathogenesis of coronary insufficiency involves hemodynamical and mechanical factors essentially affecting the level and efficiency of perfusional myocardial blood flow and increasing the disbalance between the myocardium oxygen demand and oxygen delivery.

Institute of Cardiology, Kiev

#### Список литературы

- Аронова Г. Н. Коронарное кровообращение и его регуляция. М. : Медицина, 1970. 207 с.
- Дьяконова И. Н., Косицкий Г. И., Кузнецова Т. Е. Регуляция деятельности сердца, системного и коронарного кровообращения.— В кн.: Превентивная кардиология. М., 1977, с. 85—135.
- Каверина Н. В. Фармакология коронарного кровообращения. М. : Медгиз, 1963. 283 с.

4. Люсов В. А., Белоусов Ю. Б. Роль гемостаза и реологии крови в патогенезе ИБС.—Кардиология, 1977, № 5, с. 8—14.
  5. Лисенко Л. Т., Трубецкой А. В. Различия реакций коронарных сосудов при функциональной и реактивной вазодилатации.—Бюл. Всесоюз. кардиол. науч. центра АМН СССР, 1979, 2, № 1, с. 13—21.
  6. Новикова Е. Б. Значение механических факторов в происхождении коронарной недостаточности.—Кардиология, 1976, № 2, с. 147—156.
  7. Трубецкой А. В. Вопросы физиологии коронарного кровообращения в исследовании отечественных ученых последних лет.—В кн.: Коронарная недостаточность, М., 1977, с. 9—43.
  8. Фуркало Н. К. Современные концепции патогенеза ишемической болезни сердца.—Врач. дело, 1976, № 11, с. 19—23.
  9. Шхвациабад И. К. Ишемическая болезнь сердца. М.: Медицина, 1975, 400 с.
  10. Bruckberg G., Fixler D., Archic J. Experimental subendocardial ischemia in dogs with normal coronary arteries.—Circul. Res., 1972, 30, p. 67.
  11. Myers W., Honig C. Number and distribution of capillaries as determinants of myocardial oxygen tension.—Amer. J. Physiol., 1964, 207, p. 653—660.
  12. Obeid A., Smulian H., Eich R. Effects of stimulation and hypoxia on hemodynamics and coronary circulation.—Cardiovaso. Res., 1971, 5, p. 506.
  13. Parrat I. Recent advances in the pathophysiology and pharmacology of angina.—J. Pharmacol., 1975, 6, p. 247—251.
  14. Salisbury P., Cross C., Rieben P. Acute ischemia of inner layers of ventricular wall.—Amer. Heart J., 1963, 66, p. 650.
  15. Wiener L., Dwyer E., Cox I. Left ventricular hemodynamics in exercise-induced angina pectoris.—Circulation, 1968, 38, p. 240.

## Украинский институт кардиологии

Поступила в редакцию  
4 XI 1980 г.

УДК 616.127

## СПОРНЫЕ ИНФА

Представления о патогенезе инфаркта миокарда вновь подвергаются критике. Одни авторы трактуют как гипотезу некроз миокарда при сохранном кровотоке. Их попытка их разделения весомую достоверность убедительности го инфаркта миокарда, на долю которых приходится 53 % всех смертельных исходов.

Невольно вспоминаются А. А. Богомольца на общем «Не будучи клиницистом я такой, казалось бы прекрасной болезней сердца и сосудов, случаях вызываю недоумение страстным поборником патологии, научившимся управлять течением всемерно способствуя разра- ослабление или уничтожение и на усиление тех процессов, чение для устранения из организма, от которой зависит в конеч-

Повсеместный рост забо-  
 особенно в высокоразвитых  
 димая профилактическая те-  
 жели патогенетический хар-

Эта неэффективность с тельным преувеличением р инфаркта миокарда. «Спазм прежнему, считаются перв болезни, хотя в настоящее неваться в этом.

Итак, факт первый. Несмотря на то что коронарноактивных показателей в ИБС продолжает расти, коронаролитиками и антикоагулянтами показано [23], что эффективность антикоагулянтов при тяжелых стенозах сосудов сужающих артерии выше, чем среди тех, кто не имеет таких проблем.

а и реологии крови в патогенезе ИБС.—  
реакций коронарных сосудов при функции  
—Бюл. Всесоюз. кардиол. науч. центра  
сторов в происхождении коронарной не-  
147—156.  
шарного кровообращения в исследовани-  
В кн.: Коронарная недостаточность, М.,  
огенеза ишемической болезни сердца.—

одца. М.: Медицина, 1975, 400 с.  
al subendocardial ischemia in dogs with  
30, p. 67.  
of capillaries as determinants of myo-  
64, 207, p. 653—660.  
population and hypoxia on hemodynamics  
971, 5, p. 506.  
iology and pharmacology of angina.—  
nia of inner layers of ventricular wall.—  
hemodynamics in exercise — induced an-

Поступила в редакцию  
4.XI 1980 г.

УДК 616.127

Ю. П. БУТИЛИН

## СПОРНЫЕ ВОПРОСЫ ПАТОГЕНЕЗА ИНФАРКТА МИОКАРДА

Представления о патогенезе инфаркта миокарда в настоящее время вновь подвергаются пересмотру. Даже сам термин — инфаркт — одни авторы трактуют как гибель клеток в результате ишемии, а другие говорят о некрозе миокарда вследствие нарушений метаболизма при сохранном кровотоке. И хотя инфаркт и некроз — синонимы, сама попытка их разделения весьма симптоматична. Она подчеркивает недостаточную убедительность наших представлений о патогенезе острого инфаркта миокарда, на долю которого (по данным ВОЗ) приходится 53 % всех смертельных исходов.

Невольно вспоминаются поистине пророческие слова академика А. А. Богомольца на общем собрании АМН СССР в октябре 1945 г.: «Не будучи клиницистом я все же позволю себе сказать, что даже в такой, казалось бы прекрасно разработанной области, как терапия болезней сердца и сосудов, существующие методы лечения в некоторых случаях вызывают недоумение». Как известно, А. А. Богомолец был страстным поборником патогенетической терапии, которая «...должна научиться управлять течением патологического процесса в организме, всемерно способствуя разработке методов, направленных не только на ослабление или уничтожение болезнестворных агентов в организме, но и на усиление тех процессов, которые имеют самое существенное значение для устранения из организма причины, вызвавшей заболевание, от которой зависит в конечном счете течение и исход болезни».

Повсеместный рост заболеваемости ишемической болезнью сердца особенно в высокоразвитых странах позволяет утверждать, что проводимая профилактическая терапия носит скорее симптоматический, нежели патогенетический характер, и поэтому неэффективна.

Эта неэффективность обусловлена, с нашей точки зрения, значительным преувеличением роли коронарогенных факторов в развитии инфаркта миокарда. «Спазм», «тромбоз», «ишемия» и «гицоксия», по-прежнему, считаются первичными и главными звеньями в патогенезе болезни, хотя в настоящее время уже есть факты, заставляющие сомневаться в этом.

Итак, факт первый. Несмотря на широкое профилактическое применение коронароактивных препаратов и антикоагулянтов, заболеваемость ИБС продолжает расти. В Киеве за последние десять лет этот показатель вырос в два раза, именно на фоне превентивной терапии коронаролитиками и антикоагулянтами. На большой группе наблюдений показано [23], что эффективность интенсайна и плацебо при стенокардии напряжения и покоя была одинаковой. Отмечена [14] не только низкая эффективность, но и опасность применения коронаролитиков при тяжелых стенокардиях. Более того, у больных, принимавших сосудорасширяющие препараты, ИБС обнаруживалась достоверно чаще, чем среди тех, кто их никогда не употреблял. А во многих мало-развитых странах Африки и Латинской Америки, где профилактическая

терапия не проводится вообще, смертность от ИБС в 20 раз ниже, чем в высокоразвитых [23]. Факты чрезвычайно демонстративные. Их можно объяснить так называемым «феноменом обкрадывания» под влиянием коронаролитиков, которые расширяют здоровые и не изменяют тонус пораженных склерозом или уже расширенных сосудов в зоне ишемии.

**Факт второй.** По данным Ганса Селье [15] «У большого процента больных, умирающих от «острого сердечного приступа», свежие тромбы в сколько-нибудь крупных коронарных сосудах не обнаруживались. В подобных случаях стало обычным говорить о нетромботических инфарктах миокарда или метаболических кардиальных некрозах... Следовательно, возможны ситуации, когда метаболические нарушения в самой сердечной мышце создают повышенную потребность в кислороде и питательных веществах и недостаточное кровоснабжение не является решающим патогенетическим фактором».

**Факт третий.** Мы длительное время не могли объяснить, почему у некоторых больных при серийном определении креатин-фосфоркиназы (КФК) отмечались значительные пики активности этого фермента, хотя, по данным клиники и ЭКГ, поражение не было крупноочаговым. Сообщение из медицинского центра Седарс-Синай в Лос-Анжелесе (1979) ответило и на этот вопрос. Использование меченых антител кролика против креатин-фосфоркиназы показало, что активность КФК не отражает величину некроза сердечной мышцы. В 100 % случаев максимальная активность соответствует либо наиболее сильному приступу болей, либо пику тахиаритмии или гипотензии. А когда мышца некротизируется, то боли прекращаются и активность КФК падает. Поскольку максимум активности иммунореактивной формы фермента наблюдается через 20 мин после появления болей, можно думать, что некроз начинается с первичных поломок в звеньях энергетического обмена миофибрил.

Иначе и быть не может, ибо именно энергетический обмен определяет жизнь организма, поскольку любой патологический процесс характеризуется совершенно четкими ответными стереотипными реакциями, первыми из которых являются отрицательный энергетический баланс вследствие снижения энергообразующей функции митохондрий и перераспределение электролитов вследствие нарушения активного ионного транспорта [16, 18, 19].

Можно полагать, что к нарушениям энергетического обмена могут приводить не только дефицит или избыток кислорода и субстратов окисления, но и неправильное соотношение между инградиентами, поступающими в клетку. Особенно важную роль при этом играет содержание натрия, калия, кальция и магния, которые во многом определяют процессы поляризации и реполяризации мембран, сократимость миокарда и течение ферментативных реакций энергетического обмена [12, 20].

У всех госпитализированных в наше отделение по поводу инфаркта миокарда был выявлен выраженный дефицит калия и магния в плазме, эритроцитах и моче [4–7]. И это не случайно, ибо городские жители ежедневно недополучают с диетой от 50 до 70 % калия и магния и с избытком потребляют натрий и кальций.

Многолетние работы И. Шош и сотр. [22] показали, что дефицит калия и магния не только нарушает образование гликогена, но и резко снижает содержание витамина Е, уменьшая тем самым активность системы антиоксидантов биомембран и способствуя некрозу мышц. Если к этому добавить гипокалиемическое действие таких факторов

цивилизации, как химическое засорение почек, избыточное потребление лекарственных препаратов, то условия для грубых нарушений кровообращения и инфарктов миокарда создаются.

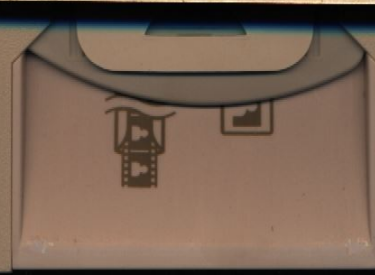
Четвертый факт касается гипоксии. Гипоксия также может стать причиной инфарктов миокарда. Активные формы кислорода, такие как анион-радикал ( $O_2^-$ ), перекись водорода и гидрохинон, представляют большую опасность для клеток. Они способны активировать окисление липидов, повреждать ДНК, деполимеризовать полисахариды, разрывать ряд важных низкомолекулярных мембранных белков. Следовательно, даже простое реоксигенирование сердца при инфаркте миокарда может быть одним из причин его возникновения.

Возможно также возникновение инфаркта миокарда в каком-либо участке миокарда. Наиболее уязвимой является периферическая зона инфаркта, где миокард делает компенсаторные усилия, чтобы поддерживать кислородный баланс (согласно закону Фика). Увеличение потребности в кислороде и снижение его доставки могут быть одним из причин инфаркта миокарда.

Логично было предполагать, что антиоксидантные свойства антиоксидантов — антиоксидантов, глюкозы, восстановленного глютатиона — являются оптимальными для инфаркта миокарда.

Мы определяли эти показатели практически здоровых людей в возрасте от 20 до 40 лет (30 чел.), у 50 больных с инфарктом миокарда и у 130 больных старше 46 лет с 1 по 21 день инфаркта. У больных система антиоксидантов была уменьшена вдвое по сравнению с здоровыми людьми, соответствующими по возрасту.

Обращает внимание очень большое различие между здоровыми и больными инфарктом миокарда. Суммарный уровень антиоксидантов в крови здоровых людей в среднем на 25 % выше, чем у больных инфарктом миокарда. Достоверной разницы между группами не удалось обнаружить. Но и здоровые, и больные инфарктом миокарда, независимо от его размера, имеют одинаковую концентрацию антиоксидантной системы в своем организме. Поэтому антиоксидантные свойства организма здоровых людей и больных инфарктом миокарда одинаковы. Но и здоровые, и больные инфарктом миокарда, независимо от его размера, имеют одинаковую концентрацию антиоксидантной системы в своем организме. Поэтому антиоксидантные свойства организма здоровых людей и больных инфарктом миокарда одинаковы.



ть от ИБС в 20 раз ниже, чем обычно демонстративные. Их еноменом обкрадывания подсчитывают здоровые и не изменившиеся расширенных сосудов в

ье [15] «У большого процента этого приступа», свежие тромбические сосудах не обнаруживались. Сорить о нетромботических инфарктальных некрозах... Следует отметить, что метаболические нарушения в ишемию потребность в кислороде и кровоснабжение не является

не могли объяснить, почему у делении креатин-fosфокиназы активности этого фермента, ходил не было крупноочаговым. Аддис-Синай в Лос-Анжелесе ользование меченных антител показало, что активность КФК мышцы. В 100 % случаев либо наиболее сильному признаку гипотензии. А когда мышца и активность КФК падает. О реактивной форме ферментания болей, можно думать, что в звеньях энергетического об

ного энергетический обмен определяет патологический процесс характерными стереотипными реакциями. Трилатентный энергетический обмен митохондрий в результате нарушения активного

энергетического обмена избыток кислорода и субстратное между инградиентами, но роль при этом играет соия, которые во многом определяют мембранные, сократительные реакции энергетического

отделение по поводу инфаркта. Дефицит калия и магния в это не случайно, ибо городской от 50 до 70 % калия и кальций.

[22] показали, что дефицит калия и магния, но и резко снижая тем самым активность, способствуя некрозу мышц. Действие таких факторов

цивилизации, как химическое загрязнение среды и пищевых веществ, избыточное потребление лекарств, то становится понятным, как создаются условия для грубых поломок метаболизма в критических ситуациях. На этом фоне стресс, гипоксия, избыток катехоламинов, свободных жирных кислот и т. п. могут привести к нетромботическому или метаболическому инфаркту миокарда.

Четвертый факт касается главного звена коронарной теории — нарушений снабжения миокарда кислородом. Оказалось, что гипероксия также может стать причиной инфаркта миокарда. У нескольких американских космонавтов, длительное время находившихся в атмосфере чистого кислорода, развился острый инфаркт миокарда. По мнению Гусева [10] и др., активные формы кислорода: супер-оксидный анион-радикал ( $O_2^-$ ), перекись водорода, OH-радикал и синглетный кислород представляют большую опасность для биологических структур. Они способны активировать и поддерживать реакции перекисного окисления липидов, повреждать молекулы белков и нуклеиновых кислот, деполимеризовать полисахариды, инактивировать ферменты, окислять ряд важных низкомолекулярных субстратов [3, 9, 13] и разрушать мембранные клеток. Следовательно, высокая степень оксигенации тканей и даже просто реоксигенация их после длительной ишемии или гипоксии могут быть одним из ключевых звеньев патогенеза повреждений сердца при инфаркте миокарда.

Возможно также возникновение «относительной» гипероксии. Если в каком-либо участке миокарда кровоток прекращается или резко снижается, то в соседних компенсаторно он должен возрастать. К этим отделам, следовательно, увеличивается поступление кислорода, что изменяет кислородный баланс (соотношение между поступающим кислородом и потребностью данного участка миокарда). Именно нарушение этого соотношения обуславливает размеры инфаркта [2].

Логично было предполагать, что при различных нарушениях гомеостаза первично повреждаются защитные механизмы биомембран. Наиболее уязвимой является система функционально связанных ферментов — антиоксидантов, (глютатион-пероксидаза, глютатино-редуктаза, восстановленный глютатион и супероксиддисмутаза), обеспечивающая оптимальный антиоксидантный потенциал организма.

Мы определяли эти показатели в эритроцитах и плазме крови у практически здоровых людей в возрасте 20—45 лет (20 чел.) и 46—60 лет (30 чел.), у 50 больных стенокардией напряжения, у 80 пациентов с мелкоочаговым и у 130 больных крупноочаговым инфарктом миокарда старше 46 лет с 1 по 21 день пребывания в стационаре. Оказалось, что у больных система антиоксидантов, по сравнению с практически здоровыми людьми соответствующего возраста, резко угнеталась.

Обращает внимание очень большая и абсолютно достоверная разница между здоровыми, больными стенокардией и очаговыми повреждениями миокарда. Суммарная активность системы снижалась в среднем на 25 % (при стенокардии) и на 60 % при инфаркте миокарда. Достоверной разницы между мелко- и крупноочаговым повреждением обнаружить не удалось. По нашему мнению, наличие очагового повреждения, независимо от его размеров, является признаком декомпенсации антиоксидантной системы. Активность системы снижается уже до своего минимума и поэтому нет реакции на величину некроза. Только после завершения острого периода инфаркта миокарда изученные показатели достигают уровня, который отмечался у больных стенокардией [7]. Есть указания на важную роль указанной системы в патогенезе инфаркта миокарда [7, 24, 25].

Несомненно, повреждающее действие свободных радикалов изменяет структуру, проницаемость, физико-химические свойства биомембран, а также транспорт электролитов. В результате этого страдают функциональные элементы клеток, и сама клетка переходит на другой уровень метаболизма. Только этим мы можем объяснить пеструю морфологическую картину в очаге некроза [8, 21]. Как еще можно объяснить наличие жизнеспособных участков в самом центре некроза, если он вызван окклюзией приводящего сосуда? По нашему глубокому убеждению,— только переходом клеток на другой уровень метаболизма. Особенno это характерно для так называемой перинекротической зоны, где кровоснабжение нарушается частично, а метаболизм в большинстве случаев — полностью. Дальнейшая судьба больного решается успехами терапии, направленной на коррекцию метаболизма. Попытки восстановления нарушенного кровоснабжения мало перспективны: ликвидировать очаг некроза практически невозможно, а доставка кислорода и субстратов окисления затруднена вследствие грубых нарушений микроциркуляции и сопутствующего отека. Следовательно, можно рассчитывать только на межклеточные связи, т. е. на поступление питательных веществ из здоровой клетки в больную через соприкасающиеся мембранны.

Еще в 1945 г. академик А. А. Богомолец писал: «Лишь сравнительно недавно обратили внимание на то обстоятельство, что, усиливая деятельность сердечной мышцы, необходимо одновременно обеспечить приток к ней энергетических материалов. С этой целью в настоящее время, например, применяются вливания значительных количеств глюкозы в кровь одновременно с применением строфанта. Хотя глюкоза вливается в кровь в довольно больших количествах, однако нормальное содержание сахара в крови и без этого вливания, казалось бы, совершенно ясно свидетельствует о том, что не недостаток содержания в крови глюкозы является причиной ослабления сердечной мышцы».

Необходимо было бы подумать о том, достаточно ли обеспечено в организме и, в частности, в сердечной мышце содержание сахарных эфиров фосфорной кислоты, в виде которых углеводы становятся энергетическим материалом для мышечной работы».

В 1960 г. Соди-Поларис с сотр. [цит. по 11] предложили для лечения инфаркта миокарда глюкозо-инсулиновую смесь, а Лабори [11] подтвердил, что активация анаэробного гликолиза и пентозного цикла высокими дозами глюкозы в сочетании с инсулином, калием и магнием могут обеспечить клетку минимальной энергией и предотвратить ее гибель в условиях гипоксии. Идея нормализации энергетического обмена показалась нам интересной, и мы начали применять раствор Лабори, изменив однако дозы его инградиентов и продолжительность введения, так как каждый больной требовал индивидуального подхода. В среднем за сутки больному вводили внутривенно 300 г глюкозы в виде 10—20 % раствора, 75—90 ед. инсулина и 125—180 ммоль калия. Такая интенсивная терапия продолжалась в течение всего катаболического периода, длительность которого, по данным азота мочи, составляла 8—10 дней. Одновременно изучали действие медикаментов, активирующих пентозный цикл, ускоряющих перенос калия в клетки и усиливающих систему антиоксидантов.

Под нашим наблюдением находилось 864 больных инфарктом миокарда, 81 % из которых были старше 60, а 60 % — старше 74. Только у 214 из них поражение было мелкоочаговым. По характеру терапии крупноочагового инфаркта миокарда выделены две группы. В первой (275 больных) лечение проводилось традиционными методами (антикоагулянты, коронаролитики, декстраны). Вторую (375 больных) со-

ставили пациенты, получавшие на коррекцию нарушенный натрия, вазоластин, сустенон-3.

Анализ полученных результатов II группы протекало более в I группе наблюдалась в 12,9 %). У больных II группы эффективности ферментов была доказана.

Особенно эффективным оказался этим препаратом, умерло 12,9 %. Эти факты позволили нам сделать вывод, что нарушение снабжения миокарда кровью не всегда главная причина инфаркта миокарда может возникнуть из-за дефицита кислорода (окклюзии (стеноз, эмболия), в результате первичных нарушений кровообращения инфаркт миокарда из-за первичной окклюзии наблюдался в 18,9 % случаев на 122 патологоанатомическом исследовании грубых нарушений кровообращения.

Мы сознаем, что предложенная высокая эффективность не оправдана, но надеемся, что она более патологически обоснована.

#### DISPUTABLE INFARCT

To substantiate the primary role of acute myocardium infarction and estimate the efficiency of different methods of its treatment were observed, 650 of the patients were divided into 2 groups according to the method of treatment: (275 patients) traditional treatment (dextran), and in the second one (hydroxybutyrate, vaselastin, sustenon-3). The number of complications in the second group was less; serious disorders in the course of therapy were more rare especially effective. Of 104 patients who died during hospitalization, 12,9 % were due to myocardial infarction.

Republican Clinical Hospital of Minsk

#### Снижение

1. Богомолец А. А. Значение реинфарктной терапии.—Речь на общем собрании научных работников МЗ СССР.
2. Браунвальд Е., Мюллер Д. Е. Традиционные и экспериментальные методы лечения инфаркта миокарда.—В кн.: Метаболизм миокарда.

е свободных радикалов изменили химические свойства биомембран. В результате этого страдают клетка переходит на другой ожидаемый пеструю морфологию [8, 21]. Как еще можно объяснить в самом центре некроза, если? По нашему глубокому убеждению, уровень метаболизма. Особенность перинекротической зоны, где метаболизм в большинстве больного решается успехами артериального кровообращения. Попытки восстановления перспективны: ликвидировать доставку кислорода и субстратов нарушений микроциркуляции, можно рассчитывать поступление питательных веществ к соприкасающимся мембранным. Альберт писал: «Лишь сравнительное исследование, что, усиливая деятельность, одновременно обеспечить этой целью в настоящее время чрезмерных количеств глюкозы организма. Хотя глюкоза вливается в кровь, однако нормальное сознание, казалось бы, совершенствует содержания в крови сердечной мышцы.

Достаточно ли обеспечено в течение суток содержание сахарных углеводов становятся энергии?»

по [11] предложили для лечения калиевую смесь, а Лаборатория гликогеноза и пентозного анионов с инсулином, калием и льюной энергией и предотвратила нормализации энергетических начали применять растворы и продолжительность индивидуального подхода. внутривенно 300 г глюкозы в минута и 125–180 ммоль калия.

в течение всего катаболического азота мочи, составляющие медикаментов, активировали калия в клетки и усилили

864 больных инфарктом миокарда 60% — старше 74. Только 15% больных. По характеру терапии выбраны две группы. В первой использованы методами (антикоагулянтами). Вторую (375 больных) сос

тавили пациенты, получавшие «метаболический комплекс», направленный на коррекцию нарушенного метаболизма миокарда (оксибутират натрия, вазоластин, сустенон-250, цитомак, унитиол).

Анализ полученных результатов показал, что заболевание у больных II группы протекало более благоприятно. Так, рецидивы инфаркта в I группе наблюдались в 25,4%, во II — в 15,2% случаев. Тяжелые нарушения сердечного ритма и проводимости отмечены в 92,4 и 76,4% соответственно. Такая же закономерность обнаружена и в отношении тромбоэмбологических осложнений (30,2 и 9,0%) и летальности (27,0 и 12,9%). У больных II группы степень и длительность повышения активности ферментов была достоверно меньше.

Особенно эффективным оказался унитиол. Из 104 больных, леченных этим препаратом, умерло 6 (5,7%).

Эти факты позволили нам сделать логическое предположение о том, что нарушение снабжения миокарда кислородом — не единственная и не всегда главная причина некроза сердечной мышцы. Несомненно, инфаркт миокарда может возникать как коронаротонным путем, вследствие дефицита кислорода и субстратов окисления из-за первичной окклюзии (стеноз, эмболия, тромбоз) коронарных сосудов, так и в результате первичных нарушений метаболизма. По нашим данным, инфаркт миокарда из-за первичной окклюзии коронарных сосудов и ишемии наблюдался в 18,9% случаев (23 обнаруженных коронаротромбоза на 122 патологоанатомических исследованиях). Остальные 81,1% были следствием грубых нарушений метаболизма в миокардиальных клетках.

Мы сознаем, что представляемая группа наблюдений невелика, однако высокая эффективность «метаболического комплекса» позволяет надеяться, что он более патогенетичен, чем традиционные методы терапии.

Ю. П. Butylin

#### DISPUTABLE PROBLEMS OF MYOCARDIUM INFARCTION PATHOGENESIS

#### Summary

To substantiate the primary nature of energy metabolism disorders in the genesis of acute myocardium infarction and activity of the system of antioxidants, as well as to estimate the efficiency of different therapeutic methods 864 patients with myocardium infarction were observed, 650 of them with a macrofocal lesion. The patients were separated into 2 groups according to the character of the therapy applied. In the first group (275 patients) traditional treatment methods were used (anticoagulants, coronarolytics, dextans), and in the second one (375 patients) «metabolic complex» was used (sodium hydroxybutyrate, vaselastin, sustenon-250, cytomak, unithiol). The disease course in the patients of the second group was more favourable: the frequency of infarction relapses was less; serious disorders in the cardiac rhythm and conductivity as well as thromboembolic complications were more rare. The difference in lethality is significant. Unithiol is especially effective. Of 104 patients treated with this preparation only 6 (5.7%) died. The results obtained permit a supposition that the «metabolic complex» is more pathogenetic than the traditional methods.

Republican Clinical Hospital of Main Board IV

#### Список литературы

- Богомолец А. А. Значение реактивности организма в вопросах восстановительной терапии. — Речь на общем собрании АМН СССР, 1945.
- Браунвальд Е., Мюллер Д. Е., Хиллес Дж. Д., Маклин Д., Марко П. Р. Экспериментальные и клинические исследования путей ограничения размеров инфаркта миокарда. — В кн.: Метаболизм миокарда, М.: Медицина, 1979, с. 380—387.

3. Бурлакова Е. Б., Алексеенко А. В., Молочкина М. М. Биоантиоксиданты в лучевом поражении и злокачественном росте. М., 1975. 267 с.
4. Бутылин Ю. П., Терновой К. С., Крашенинникова Н. Г. Сопоставление различных методов лечения острого периода инфаркта миокарда.—В кн.: Материалы I науч.-практич. конф. Тбилиси, 1977, с. 11—14.
5. Бутылин Ю. П., Дуэйна Л. И., Слободянк А. Н. Патофизиологическое обоснование интенсивной терапии при инфаркте миокарда.—В кн.: Материалы IX науч.-практич. конф. Киев, 1977, с. 6—8.
6. Бутылин Ю. П., Терновой К. С. Актуальные вопросы диагностики и интенсивной терапии инфаркта миокарда.—В кн.: Материалы II Всемир. конгр. по реанимации. Париж, 1977, с. 130.
7. Бутылин Ю. П., Годзева И. Н. Ферментативная оценка эффективности терапевтического применения цитомака при инфаркте миокарда.—В кн.: Современные проблемы лечения и реабилитации. Киев : Наук. думка, 1979, с. 23—24.
8. Вихерт А. М., Черпаченко Н. М. К вопросу об изменениях метаболизма неповрежденных отделов миокарда при инфаркте.—В кн.: Метаболизм миокарда. М. : Медицина, 1975, с. 373—386.
9. Владимиров Ю. А., Арчаков А. И. Перекисное окисление липидов в биологических мембранных. М. : Медицина, 1974. 276 с.
10. Гусев В. А. Исследование супероксиддисмутазы крови при гипероксии : Автореф. дис. ... канд. биол. наук. М., 1978. 22 с.
11. Лабори А. Регуляция обменных процессов. М. : Медицина, 1970.
12. Майер С. Е., Добсон Д. Г., Ингебретсен В. Р., Беккер Э., Фридман В. Ф., Росс Д. Ионный контроль биохимических ответов сердца на адренергические стимулы.—В кн.: Метаболизм миокарда. М. : Медицина, 1979, с. 37—53.
13. Меерсон Ф. З., Белкина Л. М., Уголев А. А., Голубева Л. Ю., Абдикалиев Н. А., Соломатина Е. С. Применение антиоксидантов для предупреждения экспериментального инфаркта миокарда и реоксигенационных нарушений функций сердца.—Кардиология, 1980, № 10, с. 81—88.
14. Мясников А. А., Метелица В. И. Дифференцированное лечение хронической ишемической болезни сердца. М. : Медицина, 1974. 206 с.
15. Селье Г. Стресс и сердечно-сосудистые заболевания.—В кн.: Актуальные проблемы физиологии и патологии кровообращения. М. : Медицина, 1976, с. 14—41.
16. Степанян Е. П., Ульянинский Л. С., Агапова Э. И. и др. Нарушения метаболизма и структуры миокарда при сердечных аритмиях гипоталамического происхождения.—В кн.: Ультраструктурные аспекты морфогенеза и регенерации в норме и патологии. М., 1976, с. 305—313.
17. Судаков К. В. Эмоциональный стресс и артериальная гипертензия. М. : Медицина, 1976. 217 с.
18. Ульянинский Л. С., Грицак А. В. О механизме возникновения периодов Лючиани при полной атрио-вентрикулярной блокаде.—В кн.: Проблемы общей и клинической физиологии сердечно-сосудистой системы. Киев, 1976, с. 149.
19. Ульянинский Л. С., Степанян Е. П., Агапова Э. И. и др. Сердечные аритмии гипоталамического происхождения.—Кардиология, 1978, № 4, с. 94—100.
20. Хехт А. Введение в экспериментальные основы современной патологии сердечной мышцы. М. : Медицина, 1975. 503 с.
21. Чазов Е. И., Смирнов В. Н., Мазаев А. В. и др. Коронарная артерио-венозная разница в содержании некоторых продуктов азотистого обмена у человека.—Кардиология, 1972, № 10, с. 11—17.
22. Шош И., Тати Т., Чалаи Л., Деши И. Патогенез болезней цивилизации. Будапешт, 1976. 154 с.
23. Шхвацкая И. К., Метелица В. И., Андерс Г., Бетига З. и др. Эпидемиология сердечно-сосудистых заболеваний. М. : Медицина, 1977. 365 с.
24. Щепотин Б. М. К обоснованию дифференцированного применения метаболической терапии при остром инфаркте миокарда.—В кн.: Современные проблемы лечения и реабилитации. Киев : Наук. думка, 1979, с. 108—109.
25. Щепотин Б. М. Изменения окислительно-восстановительных процессов в эритроцитах при остром инфаркте миокарда.—В кн.: Кислородная недостаточность у больных ишемической болезнью сердца. Киев, 1980, с. 48—59.

Республиканская клиническая больница  
IV Главного управления

Поступила в редакцию  
17.XII 1980 г.

УДК 616.124—008.3—07

Н. Н. Орлова, Л.

## СОКРАТИТЕЛЬ И ЛИПИДНЫЙ ОБМЕН В ОГРАНИЧЕНИИ КОРО

Свободные жирные кислоты энергетических субстратов даже при наличии достаточно их окисления обеспечивается б. При отсутствии или значительном СЖК даже незначительное употребление к резкому уменьшению в клетках миокарда и ослаблении активации углеводного обмена гликолиза, мобилизация и тканевых липидов способны в восполнить дефицит АТФ, поддерживать высокий уровень ме-

Активизация липидного компонентов общей стрессовой концентрации катехоламинов в системе аденилциклазы — цикл расщепляет триглицериды, приводящее к увеличению концентрации тому, что они становятся гла-зируемым сердцем — миокард пользует для энергетического [3, 15].

Однако, если в нормальном содержании катехоламинов в крови и миокарде коронарного кровотока в ишемизированном миокарде не является фактором, увеличивая функцию сердца за счет возрастания концентрации накопившихся в миокарде, которые могут оказывать выраженное цитотокическое действие в развитии дистрофии ишемии [2].

Мы изучали зависимость темной гемодинамики, сократительной способности миокарда и показателей липидного обмена СЖК в миокарде в условиях сердца.

### Метод

Исследования проведены в острый период инфаркта миокарда у крыс массой 15—20 г. Животных наркотизировано в физиологическом растворе по

3 — Физиологический журнал, № 5.

М. М. Биоантиоксиданты в лучевом  
67 с.  
това Н. Г. Сопоставление различных  
миокарда.— В кн.: Материалы I науч.

Н. Патофизиологическое обоснование  
— В кн.: Материалы IX науч.-практич.

вопросы диагностики и интенсивной  
ны II Всемир. конгр. по реанимации.

ная оценка эффективности терапев-  
тического миокарда.— В кн.: Современные  
думка, 1979, с. 23—24.

изменениях метаболизма неповреж-  
д.: Метаболизм миокарда. М.: Меди-

окисление липидов в биологических  
зы крови при гипероксии: Автореф.

Медицина, 1970.

Беккер Э., Фридман В. Ф., Росс Д.  
ца на адренергические стимулы.—  
79, с. 37—53.

Голубева Л. Ю., Абдиалиев Н. А.,  
для предупреждения эксперименталь-  
нарушений функций сердца.— Кар-

ированные лечение хронической иш-  
206 с.

вания.— В кн.: Актуальные пробле-  
М.: Медицина, 1976, с. 14—41.

И. И. и др. Нарушения метаболизма  
ных гипоталамического происхожде-  
генеза и регенерации в норме и па-

иальная гипертензия. М.: Медицина,

е возникновения периодов Лючиани  
кн.: Проблемы общей и клинической  
1976, с. 149.

И. и др. Сердечные аритмии гипота-  
78, № 4, с. 94—100.

ы современной патологии сердечной

р. Коронарная артерио-веноznая раз-  
ного обмена у человека.— Карио-

лез болезней цивилизации. Будапешт,

Бетига З. и др. Эпидемиология сер-  
1977, 365 с.

ванного применения метаболической  
кн.: Современные проблемы лечения

3—109.

новительных процессов в эритроци-

ицлородная недостаточность у боль-

с. 48—59.

Поступила в редакцию  
17.XII 1980 г.

УДК 616.124—008.3—07

Н. Н. Орлова, Л. Н. Гаркуша, В. В. Братусь

## СОКРАТИТЕЛЬНАЯ ФУНКЦИЯ СЕРДЦА И ЛИПИДНЫЙ ОБМЕН В МИОКАРДЕ ПРИ ДОЗИРОВАННОМ ОГРАНИЧЕНИИ КОРОНАРНОГО КРОВОСНАБЖЕНИЯ

Свободные жирные кислоты (СЖК) являются одним из важнейших энергетических субстратов миокарда. В физиологических условиях даже при наличии достаточного количества глюкозы в крови за счет их окисления обеспечивается более 70 % расходуемой сердцем энергии. При отсутствии или значительном уменьшении содержания в крови СЖК даже незначительное усиление деятельности сердца быстро приводит к резкому уменьшению количества макроэргических фосфатов в клетках миокарда и ослаблению их сократительной активности. Активизация углеводного обмена, дополнительное возрастание анаэробного гликолиза, мобилизация и окисление содержащихся в миокарде тканевых липидов способны в этих условиях лишь на короткое время восполнить дефицит АТФ, после чего сердце теряет способность поддерживать высокий уровень механической активности [10].

Активизация липидного обмена является одним из важнейших компонентов общей стрессовой реакции организма. Увеличение концентрации катехоламинов в крови и тканях активирует посредством системы аденилциклазы — циклической АМФ фермент липазу, который расщепляет триглицериды крови на СЖК и глицерин [1]. Последующее увеличение концентрации СЖК в крови и миокарде приводит к тому, что они становятся главным энергетическим субстратом, утилизируемым сердцем — миокард активно поглощает их из крови и использует для энергетического обеспечения своей возросшей функции [3, 15].

Однако, если в нормальных условиях повышение концентрации катехоламинов в крови и миокарде сопровождается значительным увеличением коронарного кровотока и увеличением доставки кислорода, то в ишемизированном миокарде повышение концентрации СЖК может явиться фактором, увеличивающим дефицит кислорода и ухудшающим функцию сердца за счет возрастания ишемии [11]. Жирные кислоты, накопившиеся в миокарде, который не способен их утилизировать, могут оказывать выраженное цитотоксическое действие, играя существенную роль в развитии дистрофических повреждений сердца при его ишемии [2].

Мы изучали зависимость между выраженностю нарушений системной гемодинамики, сократительной функции сердца и изменениями показателей липидного обмена — липополитической активности и уровня СЖК в миокарде в условиях частичного ограничения кровоснабжения сердца.

### Методика исследований

Исследования проведены в острых опытах на взрослых беспородных собаках массой 15—20 кг. Животных наркотизировали хлоралозой (80 мг/кг), вводимой внутривенно в физиологическом растворе после премедикации морфием (2,5 мг/кг).

Дозированное ограничение коронарного кровотока воспроизводили на животных с закрытой грудной клеткой посредством катетеризации и аутоперфузии огибающей ветви левой коронарной артерии. Необходимый объем перфузии обеспечивался насосом постоянной производительности. Адекватная исходная перфузия осуществлялась за счет поддержания давления крови в перфузационной системе на 1,3—1,9 кПа выше среднего давления в аорте. Необходимую степень ограничения коронарного кровотока достигали изменением производительности насоса под контролем величины объема перфузии с помощью электромагнитного флюметра.

Общую гемодинамику исследовали с учетом таких показателей как минутный (МОК) и ударный (УОК) объемы крови, давление в полостях сердца — систолическое (СД) и конечно-диастолическое (КДД), системное артериальное давление (САД) и частота сердечных сокращений (ЧСС). С этой целью проводили катетеризацию полостей магистральных сосудов, правого и левого желудочка. Для определения МОК использовали методику терморазведения.

Функции сердца исследовали посредством регистрации динамики лево- и правожелудочкового давления в различные фазы сердечного цикла и автоматического дифференцирования получаемых кривых с помощью двухканального дифференциатора. Показателем сократительной функции явилась максимальная скорость нарастания внутрижелудочкового давления ( $dp/dt_{\max}$ ). Об эффективности диастолы судили по скорости снижения давления в желудочках ( $dp/dt_{\min}$ ).

Все исследуемые показатели общей гемодинамики и сократительной функции левого и правого желудочков регистрировали при исходном адекватном режиме перфузии и в динамике 30 мин ограничения коронарного кровотока. Исследования проведены при 70 % ограничении объема перфузии, являющемся, по данным ряда авторов, пороговым для возникновения значительных изменений структуры и функции миокарда.

погорбом для возникновения значительных изменений структуры и функции миокарда. После истечения 30 мин периода перфузии сердца ограниченным объемом крови животное забивали и производили забор ткани левого и правого желудочков для биохимических исследований. Биохимическому исследованию подвергался миокард из области ишемии, области левого желудочка, расположенной вне зоны ишемии, и правого желудочка. Определяли липополитическую активность миокарда [2] и содержание СЖК [7].

## Результаты исследований и их обсуждение

Результаты проведенных исследований свидетельствуют о том, что 70 % ограничение объема перфузии не приводит на протяжении 30 мин к резким изменениям центральной гемодинамики. Выраженное снижение САД было отмечено лишь в четырех опытах из 19, в 10 опытах депрессорный ответ был умеренным, а в пяти не наблюдалось заметных изменений САД в ответ на изменение режима перфузии. По средним данным, изменения САД носили достоверный характер ( $p < 0,01$ ), хотя и были умеренно выражены (табл. 1).

Отсутствие заметных сдвигов САД определялось сохранением достаточно эффективных регуляторных влияний на функцию сердечно-сосудистой системы. В тех опытах, где возникало уменьшение МОК при ограничении объема перфузии, наблюдалось компенсаторное повышение общего периферического сопротивления — ОПС. Между изменениями МОК и ОПС обнаруживалась отчетливая обратная зависимость ( $\gamma = -0,77$ ), благодаря чему поддерживалось относительно устойчивое состояние системного артериального давления. Изменения насосной функции сердца были мало выражены — уменьшение МОК на 30 мин после ограничения объема перфузии возникло только в четырех опытах из 11, но во всех этих исследованиях развивалось отчетливое повышение системного сосудистого сопротивления. В целом по группе исследований изменения МОК были неоднородны, и, по средним данным, слабо выражены и недостоверны.

Довольно закономерно изменялась частота сокращений сердца — в 16 опытах из 19 отмечалось замедление ритма, однако выраженность реакции практически во всех опытах была умеренной. В среднем ЧСС уменьшалась на 12 % (табл. 1). Изменения УОК были мало выражены как в отдельных опытах, так и по средним данным.

## *Сократительная функция сердца*

Более отчетливый и показателей кардиогемодинамик мечалось выраженное уменьш снизилась в среднем на 24 давления (табл. 1). Отчетли сердца (в 17 из 19 опытов) крови снижалась скорость н лудочке. По средним величин

#### Параметры центральной гемодинамики сердца до (*A*) и через 30 мин

Параметры		A	B
САД (кПа)	$M_{\pm}$	13,3	10,
	$m$	0,5	0,
	$n$	19	19
	$p$		$<0,$
ЧСС (сокр./мин)	$M$	184	161
	$m_{\pm}$	6,8	7,
	$n$	19	19
	$p$		$<0,$
МОК (л/мин)	$M$	3,068	2,
	$m_{\pm}$	0,33	0,
	$n$	11	11
	$p$		$>0,$
УОК (мл)	$M$	17,0	17,
	$m_{\pm}$	1,9	2,
	$n$	11	11
	$p$		$>0,$
ОПС (кПа·с)	$M$	329,3	313,
	$m_{\pm}$	70,5	65,
	$n$	11	11
	$p$		$>0,$

были отчетливы и статистически значимы (26%). В процессе перфузии также и нарушение расслабления  $dp/dt_{min}$  уменьшалось в подменения были отчетливыми и не было уменьшение  $dp/dt_{min}$  дост

Таким образом, проведен  
что в результате 70 % органов  
30 мин в значительной части  
функция миокарда. Однако, в  
нность компенсаторных регуля-  
ние внешней работы сердца,  
насосной функции, о чем свидетельствует  
изменений КДД левого желудочка  
остается на достаточно высоком уровне.  
раженное уменьшение МОК  
риферических сосудов, увеличение  
ния, что препятствует снижению

отока воспроизводили на животных цин и аутоперфузии огибающей ветви перфузии обеспечивалась насосом дна перфузии осуществлялась за системе на 1,3—1,9 кПа выше среднечисленного коронарного кровотока до контроля величины объема пер-

таких показателей как минутный в полостях сердца — систолическое артериальное давление (САД) и проводили катетеризацию полости желудочка. Для определения МОК ис-

пользовали динамики лево- и правого цикла и автоматического дифрактального дифференциатора. Помощь скорости нарастания внутренности диастолы судили по скорости

и сократительной функции левого желудочка в адекватном режиме перфузии кровотока. Исследования проводились по данным ряда авторов, структуры и функции миокарда, ограниченным объемом крови левого и правого желудочков для даванию подвергался миокард из зажженной вне зоны ишемии, и прасть миокарда [2] и содержание

#### Обсуждение

свидетельствуют о том, что одит на протяжении 30 мин амики. Выраженное снижение в опытах из 19, в 10 опытах и не наблюдалось заметных изменений перфузии. По средним характер (p<0,01), хотя

определялось сохранением на функцию сердечно-влияло уменьшение МОКилось компенсаторное повышение — ОПС. Между изменявшая обратная зависимость было относительно устойчивое изменения. Изменения насосной енижение МОК на 30 мин только в четырех опытах алось отчетливое повышение в целом по группе исследований, и, по средним данным,

та сокращений сердца — в ма, однако выраженность меренной. В среднем ЧСС УОК были мало выражены данным.

Более отчетливый и закономерный характер носили изменения показателей кардиогемодинамики и сократительной функции сердца. Отмечалось выраженное уменьшение мощности левого желудочка (МЛЖ) снизилась в среднем на 24 %) и левожелудочкового систолического давления (табл. 1). Отчетливо изменялась сократительная функция сердца (в 17 из 19 опытов), при перфузии уменьшенным объемом крови снижалась скорость нарастания давления крови в левом желудочке. По средним величинам (табл. 1), изменения этого показателя

Таблица 1  
Параметры центральной гемодинамики, кардиогемодинамики и сократительной функции сердца до (A) и через 30 мин после 70% ограничения объема перфузии (B)

Параметры	A	B	Параметры	A	B	
САД (кПа)	M± <i>m</i> <i>n</i> <i>p</i>	13,3 0,5 19 <0,01	10,9 0,7 19	МЛЖ (ВТ) (БТ) <i>m</i> <i>n</i> <i>p</i>	0,684 0,093 11 11 <0,02	0,531 0,067 11
ЧСС (сокр./мин)	M <i>m</i> ± <i>n</i> <i>p</i>	184 6,8 19 <0,02	161 7,2 19	КСДЛЖ (кПа) <i>m</i> ± <i>n</i> <i>p</i>	17,8 0,8 11 11 <0,05	15,7 0,7 11
МОК (л/мин)	M <i>m</i> ± <i>n</i> <i>p</i>	3,068 0,33 11 >0,2	2,706 0,35 11	КДДЛЖ (кПа/с) <i>m</i> ± <i>n</i> <i>p</i>	0,506 0,079 11 11 >0,1	0,586 0,079 11
УОК (мл)	M <i>m</i> ± <i>n</i> <i>p</i>	17,0 1,9 11 >0,5	17,1 2,2 11	dp/dt <sub>max</sub> (кПа/с) <i>m</i> ± <i>n</i> <i>p</i>	387,4 21,6 19 19 <0,001	281,8 17,9 19
ОПС (кПа·с)	M <i>m</i> ± <i>n</i> <i>p</i>	329,3 70,5 11 >0,5	313,2 65,0 11	dp/dt <sub>min</sub> (кПа/с) <i>m</i> ± <i>n</i> <i>p</i>	268,9 15,9 19 19 <0,02	229,0 19,3 19

были отчетливы и статистически достоверны (dp/dt<sub>max</sub> уменьшилось на 26 %). В процессе перфузии уменьшенным объемом крови возникало также и нарушение расслабления миокарда левого желудочка — dp/dt<sub>min</sub> уменьшалось в подавляющей части исследований. Эти изменения были отчетливыми и носили закономерный характер; в среднем уменьшение dp/dt<sub>min</sub> достигало 15 % (табл. 1).

Таким образом, проведенными исследованиями было установлено, что в результате 70 % ограничения объема перфузии на протяжении 30 мин в значительной части наблюдений ухудшается сократительная функция миокарда. Однако, в связи с достаточно высокой эффективностью компенсаторных регуляторных влияний, несмотря на уменьшение внешней работы сердца, не происходит заметного ухудшения его насосной функции, о чем свидетельствует отсутствие закономерных изменений КДД левого желудочка, при этом сердечный выброс (СВ) остается на достаточно высоком уровне. Возникшее в ряде опытов выраженное уменьшение МОК компенсируется возрастанием тонуса периферических сосудов, увеличением системного сосудистого сопротивления, что препятствует снижению САД.

Биохимические исследования характера обмена липидов в миокарде позволили установить, что ограничение коронарного кровоснабжения

существенно влияет на содержание СЖК и липолитическую активность сердечной мышцы. Наиболее отчетливые изменения этих показателей отмечались непосредственно в зоне ишемии, где липолитическая активность миокарда значительно возрастала (по средним данным на 33 %,  $p < 0,02$ ). В зоне ишемии с большим постоянством обнаруживалось и было отчетливо выражено увеличение содержания СЖК (в среднем на 40 %; табл. 2).

Таблица 2  
Содержание свободных жирных кислот (СЖК) и липолитическая активность в миокарде собак в норме (А) и при 70% ограничении коронарного кровотока (Б)

Исследуемая область	Липолитическая активность (мэкВ/мл СЖК)		СЖК (ммоль/кг)	
	А	Б	А	Б
Зона ишемии левого желудочка	$M \pm m$ $p$	$3,6 \pm 0,37$ $<0,02$	$4,8 \pm 0,32$ $<0,02$	$28,0 \pm 1,85$ $<0,02$
Интактная зона левого желудочка	$M \pm m$ $p$	$3,6 \pm 0,37$ $<0,02$	$4,4 \pm 0,32$ $<0,02$	$28,0 \pm 1,85$ $<0,05$
Правый желудочек	$M \pm m$ $p$	$3,4 \pm 0,30$ $>0,05$	$3,6 \pm 0,20$ $>0,05$	$21,2 \pm 0,37$ $<0,05$
				$27,1 \pm 0,38$

Нарушения липидного обмена наблюдались и в областях, расположенных вне зоны ограниченного кровоснабжения. В миокарде левого желудочка, расположенного вдали от зоны ишемии, закономерно повышалась липолитическая активность (в среднем на 22 %;  $p < 0,02$ ) и увеличилось содержание СЖК (на 15 %;  $p < 0,05$ ). Закономерное и выраженное увеличение содержания СЖК отмечалось даже в миокарде интактного правого желудочка, хотя липолитическая активность его практически не изменялась. Эти данные свидетельствуют о том, что изменения липидного обмена в миокарде имеют генерализованный характер, т. к. локальное ограничение кровоснабжения части левого желудочка приводит к возрастанию концентрации СЖК практически во всех отделах сердца. Отмеченное в настоящей работе повышение липолитической активности миокарда и известное по данным литературы возрастание активности липопротеиновой липазы крови [3] являются непосредственной причиной значительного увеличения концентрации СЖК в миокарде при возникновении в нем очага ишемии. Эти изменения не являются прямым следствием ишемии, так как отмечены в областях, расположенных вдали от зоны нарушенного кровообращения. Изменения липидного обмена при ограничении кровоснабжения миокарда определяются, очевидно, генерализованными сдвигами нейрогуморальной регуляции его метabolизма.

Параллельно изменениям липидного обмена в миокарде, нарушение кровоснабжения участка левого желудочка вызывает ухудшение сократительной функции сердца, приводящее к уменьшению его внешней работы и некоторому снижению САД. Хотя как ослабление сократительной функции сердца, так и повышение концентрации СЖК в миокарде наблюдались с большим постоянством, математический анализ не позволил установить корреляционную связь между этими явлениями ( $r=0,44$ ). По-видимому, это закономерно, так как едва ли природа ухудшения сократительной функции сердца при нарушении коронарного кровообращения может быть сведена только к одной причине —

### Сократительная функция сердца

нарушению липидного обмена карда в условиях ишемии, наряду с метаболическими физиологическими белков, и изменениями кинетики ионов кальция и рядные данные указывают, что накопление СЖК довольно кровоснабжения миокарда и лексы явлений, вызывающих

В последние годы в литературе снижение способности миокарда к накоплению оказывают повре- вестно, что повышение концептивности инсулина и развитие является важнейшей причиной сокращения. Помимо этого, избыток СЖК, окисления и фосфорилирования вследствие чего нарушается в частности АТФ [3]. Избыточное образования АТФ в митохондриях АТФ через их мембранные [13]

Накопление избыточного ишемии приводит к нарушению способствует расширению зоны, нарушают высокую корреляцию. Течение липолиза оказывает въявление коронарной недостаточности. СЖК лежат, по-видимому, нарушение образования и транспорта.

Таким образом, усиление действия неутилизируемых СЖК, ишемия могут являться важными различиями зоны ишемического пограничной функции сердца.

1. Уменьшение кровоснабжения миокарда закономерным ухудшением со-

2. Параллельно ослабление миокарда возникают закономерные изменения, проявляющиеся в возрастании концентрации СЖК в миокарде избыточного количества.

3. Накопление СЖК в миокарде под действием различных факторов, приводящих к нарушению сократительной функции сердца.

N. N. Orlova, L.  
HEART CONTRACTILE FUNCTION  
IN THE MYOCARDIUM  
OF CORONARILY DISEASED DOGS

Development of coronary insufficiency is accompanied by a regular deterioration of reliable accumulation of free fatty acids in myocardium of dogs with coronary heart disease.

и липолитическую активность изменения этих показателей и, где липолитическая активность по средним данным на 33 %, гоянством обнаруживалось изржания СЖК (в среднем на

Таблица 2

ОСТЬ	СЖК (ММОЛЬ/КГ)	
	A	B
32	28,0±1,85	39,4±1,60
2		<0,02
32	28,0±1,85	32,1±0,96
2		<0,05
20	21,2±0,37	27,1±0,38
5		<0,05

дались и в областях, расположенных за зону ишемии, закономерно в среднем на 22 %;  $p < 0,02$ ;  $p < 0,05$ ). Закономерное изменение эпилитической активности его свидетельствуют о том, что имеют генерализованный характер. Нарушения кровоснабжения части левого желудочка СЖК практически во всем диапазоне работы повышение лигандного по данным литературы уровня концентрации и пазы крови [3] являются результатом увеличения концентрации очага ишемии. Эти изменения не являются следствием нарушенного кровообращения, а являются результатом кровоснабжения миокарда сдвигами нейропептидов в миокарде, нарушение которых вызывает ухудшение сократимости и уменьшению его внешней якобии как ослабление сократимости и концентрации СЖК в миокарде, математический анализ изъяна между этими явлениями так как едва ли природа при нарушении коронарной системы только к одной причине —

нарушению липидного обмена. Механизм ухудшения активности миокарда в условиях ишемии, несомненно, более сложен и включает, наряду с метаболическими факторами и нарушение функций сократительных белков, и изменение структуры мембранны клеток миокарда, кинетики ионов кальция и ряд других причин. Тем не менее, полученные данные указывают, что изменение обмена липидов в миокарде и накопление СЖК довольно закономерно сопровождают ограничение кровоснабжения миокарда и являются существенным звеном в комплексе явлений, вызывающих нарушение функции миокарда.

В последние годы в литературе начали появляться сведения о том, что снижение способности миокарда к окислению СЖК и их избыточное накопление оказывают повреждающее влияние на мышцу сердца. Известно, что повышение концентрации СЖК приводит к снижению активности инсулина и развитию инсулинерезистентности [6], что является важнейшей причиной снижения энергообразования в миокарде. Помимо этого, избыток СЖК является естественным разобщителем окисления и фосфорилирования в митохондриях кардиомиоцитов [2, 3], вследствие чего нарушается образование макроэргических соединений, в частности АТФ [3]. Избыток СЖК не только уменьшает скорость образования АТФ в митохондриях, но и ингибитирует транспорт АДФ и АТФ через их мембранны [13], блокируя фермент транслоказу [5, 14].

Накопление избыточного количества СЖК в миокарде при его ишемии приводит к нарушению сократительной функции сердца и способствует расширению зоны повреждения [12]. Их уровень обнаруживает высокую корреляцию с исходом инфаркта миокарда, а угнетение липолиза оказывает выраженный защитный эффект в условиях коронарной недостаточности [9]. В основе повреждающего действия СЖК лежат, по-видимому, повышение кислородного запроса и нарушение образования и транспорта энергии в клетках миокарда.

Таким образом, усиление липолиза и накопление большого количества неутилизируемых СЖК при нарушении коронарного кровообращения могут являться важными патогенетическими механизмами увеличения зоны ишемического повреждения миокарда и нарушения сократительной функции сердца.

## Выводы

1. Уменьшение кровоснабжения миокарда на 70 % сопровождается закономерным ухудшением сократительной функции сердца.
  2. Параллельно ослаблению функциональной активности сердца возникают закономерные изменения липидного обмена в миокарде, проявляющиеся возрастанием его липолитической активности и накоплением избыточного количества СЖК.
  3. Накопление СЖК в миокарде может явиться одним из важнейших факторов, приводящих к ухудшению сократительной функции сердца.

N. N. Orlova, L. N. Garkusha, V. V. Bratus

## HEART CONTRACTILE FUNCTION AND LIPID METABOLISM IN THE MYOCARDIUM UNDER DOSED LIMITATION OF CORONARY BLOOD SUPPLY

## Summary

Development of coronary insufficiency, confirmed by expressed changes in ECG is accompanied by a regular deterioration of the heart contractile activity and considerable reliable accumulation of free fatty acids in the myocardium. However, no direct

correlation was found between indices of the heart functional state and changes of lipid metabolism in the heart. Free fatty acid accumulation in the myocardium is not the only pathogenetic factor of disturbance in the heart contractile function under coronary insufficiency.

Laboratory of Experimental Cardiology,  
Ukrainian Institute of Cardiology, Kiev

УДК 612.172

С. Г. Казьми  
О. Н. Б

## ЭФФЕКТЫ НА ПАПИЛЛЯРНУЮ ЕЕ НАЧАЛЬН

1. Авакян О. М. Симпато-адреналовая система. Л.: Наука, 1977. 184 с.
2. Бельченко Д. И., Капустин А. В., Калинкин М. Н. и др. О механизмах склеротической смерти от ишемической болезни сердца.—Патол. физиология и экспериментальная терапия, 1979, № 3, с. 70—75.
3. Клибанер М. И., Нужный В. П. Некоторые вопросы патогенеза катехоламиновых повреждений миокарда.—Вестн. АМН СССР, 1978, № 1, с. 87—93.
4. Оганов Р. Г. Симпато-адреналовая система и ишемическая болезнь сердца.—Кардиология, 1979, 19, № 3, с. 10—18.
5. Сакс В. А., Смирнов В. Н., Черноусов Г. Б. и др. Механизм транспорта энергии в сердечных клетках. Функциональная характеристика креатинфосфориназных реакций в митохондриях и миофибриллах.—В кн.: Метаболизм миокарда. М., 1977, с. 201—237.
6. Coremuzynski L., Herbaczynska-Cedro K., Broniczewska-Qredelt B., et al. Evidence for the detrimental effect of adrenaline infused to the healthy dogs in doses imitating spontaneous secretion after coronary occlusion.—Cardiov. Res., 1978, 12, N 2, p. 179—188.
7. Duncombe N. The colorimetric determination of nonesterified fatty acids in plasma.—Clin. chim. acta, 1964, 9, N 2, p. 122—125.
8. Grafinetter D., Zemplenyi T. Влияние Са и Mn на липолитическую активность тканей.—Cor et Vasa, 1961, N 3, p. 66—68.
9. Kjekshus J. K., Mjös O. D. Effect of inhibition of lipolysis on infarct size after experimental coronary artery occlusion.—J. Clin. Invest., 1973, 52, N 12, p. 1770—1777.
10. (Kobajaschi K. A., Neely J. R.) Kobayashi K. A., Nihili D. R. Максимальные скорости образования энергии при гликолизе и окислении глюкозы в сердечной мышце.—В кн.: Метаболизм миокарда. М., 1979, с. 269—285.
11. Mjös O. D., Kjekshus J. K., Lekven J. Importance of free fatty acids as a determinant of myocardial oxygen consumption and myocardial ischemic injury during norepinephrine infusion in dogs.—J. Clin. Invest., 1974, 53, N 9, p. 1290—1296.
12. Opie L. H. Metabolism of free fatty acids, glucose and catecholamines in acute myocardial infarction.—Amer. J. Cardiol., 1975, 36, N 5, p. 938—946.
13. Opie L. H. Substrate metabolism of the normal and ischemic heart and its implications for hyperlimination.—South African Med. J., 1976, 50, N 42, p. 1705—1709.
14. Shargo E., Shug A. Z., Sul H., Brittar N., Folts J. D. Control of energy production in myocardial ischemia.—Circulat. Res., 1976, 38, Suppl. 1, p. 75—79.
15. Simonsen S., Kjekshus J. K. The effect of free fatty acids on myocardial oxygen consumption during atrial pacing and catecholamine infusion in man.—Circulation, 1978, 58, N 3, p. 484—491.

Лаборатория экспериментальной кардиологии  
Украинского института кардиологии, Киев

Поступила в редакцию  
30.XI 1979 г.

Одним из основных обрашения, вызванных уменьшением мышцы при тампонаде сердца, является сократимости миокарда [1]. Однако из существующих механизмов реагирования миокарда на тампонаду известно не так много. Одним из основных механизмов реагирования миокарда на тампонаду является изменение ее реaktivности.

Достаточно полное приведение миокарда к инотропным свойствам может дать различные воздействия, включая изменения длины мышцы. Однако из существующих механизмов изменения длины мышцы [2, 8, 9, 14] построены на основе малых агентов. К тому же результаты, полученные на препаратах миокарда крысы [2, 8, 9, 14] и волокнах миокарда [10], не могут быть отчасти объяснены тем, что волокна миокарда крысы не реагируют на стимуляции, а волокна миокарда крысы не реагируют на стимуляции.

Мы исследовали зависимость концентрации внеклеточной жидкости мышцы крысы от изменения соответствующих критериев на эту зависимость.

У гепаринизированных (50 мг/кг) крыс быстро извлекали сердце и измеряли его массу. Выводили 145 мкмоль NaCl, 4 мкмоль KCl, 25 мкмоль NaHCO<sub>3</sub>, 1,8 мкмоль NaH<sub>2</sub>PO<sub>4</sub>·2H<sub>2</sub>O.

Папиллярные мышцы из сердца крысы помещали в термостатир с объемной скоростью 5—10 мкм/мин. Выводили из термостата с помощью небольших петель из тонкой нити и микровинту. После 40—60 мкм выдерживали препарат при сокращении до 0,75 *I*<sub>max</sub>. При этом на протяжении 30 мин. Термостабилизацию реагирования миокарда на стимуляцию при температуре 32 °С. Переход на температуру 30 °С.



t functional state and changes of li-  
mulation in the myocardium is not  
e heart contractile function under co-

## атуры

: Наука, 1977. 184 с.  
И. Н. и др. О механизмах скоропо-  
да.— Патол. физиология и эксперим.

опросы патогенеза катехоламиновых  
78, № 1, с. 87—93.

ишемическая болезнь сердца.— Ка-  
и др. Механизм транспорта энергии  
ктеристика креатинфосфокиназных  
кн.: Метаболизм миокарда. М., 1977,

niczewska-Qredelt B., et al. Eviden-  
ed to the healthy dogs in doses imi-  
clusion.— Cardiov. Res., 1978, 12,

of nonesterified fatty acids in plas-  
на липолитическую активность тка-  
of lipolysis on infarct size after ex-  
. Invest., 1973, 52, N 12, p. 1770—

Чили Д. Р. Максимальные скорости  
ни глюкозы в сердечной мышце.—  
5.

ice of free fatty acids as a determi-  
nocardial ischemic injury during no-  
, 1974, 53, N 9, p. 1290—1296.

ucose and catecholamines in acute  
, N 5, p. 938—946.

and ischemic heart and its impli-  
d. J., 1976, 50, N 42, p. 1705—1709.

J. D. Control of energy production  
uppl. 1, p. 75—79.

fatty acids on myocardial oxygen  
mine infusion in man.— Circulation,

Поступила в редакцию  
30.XI 1979 г.

## ФИЗИОЛОГИЧЕСКИЙ ЖУРНАЛ

УДК 612.172

С. Г. Казьмин, В. Я. Изаков, Ю. Л. Проценко,  
О. Н. Бершицкая, Ф. А. Бляхман

**ЭФФЕКТЫ ИНОТРОПНЫХ ВОЗДЕЙСТВИЙ  
НА ПАПИЛЛЯРНУЮ МЫШЦУ КРОЛИКА ПРИ ИЗМЕНЕНИЯХ  
ЕЕ НАЧАЛЬНОЙ ДЛИНЫ И ТЕМПЕРАТУРЫ**

Одним из основных механизмов компенсации нарушений кровообращения, вызванных уменьшением пресистолической длины сердечной мышцы при тампонаде сердца, является нейрогуморальное повышение сократимости миокарда [4]. Анализ такого рода взаимодействия двух основных механизмов регуляции сердечной деятельности — механизма Франка — Старлинга и инотропных воздействий на миокард — усложняется тем, что с изменением длины сердечной мышцы может, видимо, изменяться ее реактивность к инотропным агентам.

Достаточно полное представление о характере связи реактивности миокарда к инотропным воздействиям с изменением его пресистолической длины может дать изучение зависимостей доза — эффект для различных воздействий, полученных при разных длинах сердечной мышцы. Однако из существующих в литературе данных о взаимосвязи эффектов изменения длины сердечной мышцы и инотропных воздействий [2, 8, 9, 14] построить такие зависимости не представляется возможным вследствие малого количества примененных доз инотропных агентов. К тому же результаты, полученные на сердце собаки [10], препаратах миокарда кролика [1], папиллярных мышцах кошки [9, 14] и волокнах миокарда крысы [11, 12], довольно противоречивы, что может быть отчасти обусловлено видовыми различиями. На препаратах миокарда кролика влияние их начальной длины на эффекты парной стимуляции не изучалось.

Мы исследовали зависимость инотропных эффектов увеличения концентрации внеклеточного кальция и парной стимуляции папиллярной мышцы кролика от изменения ее начальной длины путем построения соответствующих кривых доза — эффект, а также влияние температуры на эту зависимость.

**Методика исследований**

У гепаринизированных (500 е/кг) кроликов под нембуталовым наркозом (40 мг/кг) быстро извлекали сердце и помещали в раствор, в литре которого содержалось 145 ммоль NaCl, 4 ммоль KCl, 2,7 ммоль CaCl<sub>2</sub>, 1 ммоль MgCl<sub>2</sub>·6H<sub>2</sub>O, 4 ммоль NaHCO<sub>3</sub>, 1,8 ммоль NaH<sub>2</sub>PO<sub>4</sub>·2H<sub>2</sub>O, 10 ммоль глюкозы (рН 7,3—7,4).

Папиллярные мышцы из правого желудочка длиной 4—7 мм и сечением около 1 мм<sup>2</sup> помещали в терmostатируемую камеру и омывали раствором того же состава с объемной скоростью 5—10 мл/мин. Стимуляцию проводили прямоугольными сверхпороговыми импульсами длительностью 5 мс и частотой 0,3 Гц через массивные платиновые электроды, расположенные вдоль полоски миокарда. Концы препарата с помощью небольших петель из тонкой капровой нити крепили к механотрону 6МХ1С и микропинту. После 40—60 мин «врабатывания» устанавливали оптимальную длину препарата с точностью 50 мкм ( $l_{max}$  — длина, соответствующая максимальной силе, развиваемой препаратом при сокращении). При необходимости длину препарата изменяли до 0,75  $l_{max}$ . При этом на период переходных изменений отводилось от 15 до 30 мин. Термостабилизацию рабочей камеры осуществляли на уровне 22 °C с точностью 0,5 °C. Переход к 32 °C производили в течение 30 мин с последующим выдер-

живанием 30 мин до начала регистрации механической активности препарата. При изменении концентрации кальция в растворе механическую активность папиллярной мышцы регистрировали после установления 10–20 мин постоянства амплитуды развиваемой силы. Парную электростимуляцию осуществляли пачками импульсов по 8–12 пар в каждой с частотой следования парных импульсов 0,3 Гц и интервалом между пачками до 1 мин. С каждой последующей пачкой импульсов увеличивалось время задержки второго импульса в паре. Для построения кривых доз — эффект парной стимуляции («доза» — время задержки второго импульса) амплитуду развиваемой препаратом силы регистрировали после завершения переходных изменений. Нисходящие участки полученных кривых доза — эффект парной стимуляции аппроксимировали функцией вида  $y = Ae^{-\alpha t} + C$ , где  $y$  — абсолютный прирост амплитуды, развиваемой препаратом силы,  $t$  — время задержки второго импульса,  $e$  — основание натурального логарифма,  $A$ ,  $\alpha$ ,  $C$  — константы. Начальные значения коэффициента  $C(C_0)$  задавались приближенно. Начальные значения коэффициентов  $A$  и  $\alpha$  ( $A_0$  и  $\alpha_0$ ) определялись методом линейной регрессии для функции:  $\ln(y - C_0) = \ln A_0 - \alpha t$ . Итерационный расчет коэффициентов  $A$ ,  $\alpha$ ,  $C$  осуществляли в соответствии с методом Гаусса — Зайделя [7]. При обработке экспериментальных данных использовали ЭЦВМ М-4030.

### Результаты исследований и их обсуждение

Для оценки действия инотропных агентов использовали три вида показателей: абсолютный показатель — изменение амплитуды развиваемой препаратом силы в мГ ( $\Delta A$ ), относительный показатель — изменение амплитуды развиваемой препаратом силы в частях от исходной амплитуды ( $\Delta A/A$ ), показатели чувствительности препарата к инотропным воздействиям, определяемые из соответствующих зависимостей доза — эффект. Изменения этих показателей в процентах, вызванные уменьшением начальной длины папиллярной мышцы от оптимальной ( $l_{max}$ ) до 0,75  $l_{max}$ , представлены в таблице.

В серии опытов с парной стимуляцией папиллярной мышцы (7 опытов) увеличивали время задержки второго импульса в пачке последовательно от 150 до 1300 мс. В промежутках между пачками импульсов фоновая активность препарата полностью восстанавливалась. Длительность и форма переходных изменений амплитуды развиваемой силы в ответ на включение и выключение парной стимуляции практически не зависели от длины и температуры папиллярной мышцы. Крайние доза — эффект парной стимуляции строили в координатах «время задержки второго импульса — прирост амплитуды развиваемой препаратом силы». При двухвершинном контрактильном ответе прирост развиваемой силы оценивался по глобальному максимуму.

В качестве абсолютного показателя эффекта парной стимуляции принимали абсолютный прирост амплитуды развиваемой силы при оптимальном времени задержки второго импульса (вершина кривой до-

#### Изменение показателей реактивности папиллярной мышцы к инотропным воздействиям

Температура раствора	Изменение эффекта парной стимуляции			Изменение от 0,9
	$\Delta\%$ ( $\Delta A$ )	$\Delta\%$ ( $\Delta A/A$ )	$\Delta\% \alpha$	
			$\Delta\% (\Delta A)$	
32 °C	-81±2	-15±15*	107±17	-80±6
22° C	-59±9	97±41*	86±33	-75±31
Различие вариационных рядов при 32 и 22 °C, %	28±10	651±494*	51±60	14±7*

Примечание.  $A$  — амплитуда развиваемой препаратом силы до инотропного воздействия;  $\Delta A$  — абсолютное изменение амплитуды развиваемой силы,  $K_m$  — константа Михаэлиса,  $A_{max}$  — максимум, \* — изменение не достоверно по разностному методу ( $p > 0,05$ ).

за — эффект). Уменьшение длины препарата ( $l_{max}$  ( $\Delta A$ ), см. таблицу), при 22

Отношение абсолютной фоновой механической акции реакции препарата на пару при уменьшении длины и ( $\Delta A/A$ ), см. таблицу).

Нисходящая часть кривой аппроксимировалась корреляции был не ниже 0,75. Коэффициенты, оценивали мышцы к уменьшению врем

Рис. 1. Зависимость прироста силы папиллярной мышцы от времени задержки второго импульса парной стимуляции (данные одной оптимальной пары ( $l_{max}$ ), 2 — 0,75  $l_{max}$ ). По горизонтали — время задержки второго импульса в миллисекундах, по вертикали — прирост силы сокращений в его максимальной величине.

ние длины препарата приводило к парной стимуляции, что видно на рисунке 1. Коэффициент  $\alpha$  увеличивается при уменьшении длины препарата.

Аналогичные изменения прироста силы сокращений при парной стимуляции происходят при понижении температуры препарата. Амплитуда сокращений ( $\Delta A$ ) уменьшается с понижением температуры ( $\Delta A$ ).

В серии опытов с последовательным уменьшением длины

препарата при уменьшении ее начальной

эффекта увеличения концентрации  $\text{Ca}^{2+}$  до 2,7 ммол/л от 0,9

$\Delta\% (\Delta A/A)$   $\Delta\% A_{max}$

3±14*	
13±4	-83±
166±88*	

изменениями при уменьшении ее начальной

эффекта увеличения концентрации  $\text{Ca}^{2+}$  до 2,7 ммол/л от 0,9

$\Delta\% (\Delta A/A)$   $\Delta\% A_{max}$

3±14*	
13±4	-83±
166±88*	

ской активности препарата. При изометрическую активность папиллярной мышцы постоянства амплитуды разделяли пачками импульсов по 8—10 импульсов, 0,3 Гц и интервалом между пачками импульсов увеличивалось время действия кривых доз — эффект парной стимуляции (парной тульса) амплитуду развиваемой пре-переходных изменений. Нисходящие стимуляции аппроксимировали функцию амплитуды, развиваемой препарата,  $e$  — основание натурального логарифма коэффициента  $C(C_0)$  задавались  $A$  и  $a$  ( $A_0$  и  $a_0$ ) определяли методом  $\ln A_0 - a_0$ . Итерационный расчет проводился с методом Гаусса — Зайделя [7]. Результаты ЭЦВМ М-4030.

#### их обсуждение

Авторы использовали три вида изменения амплитуды развивающий показатель — изменение силы в частях от исходной чувствительности препарата,ляемые из соответствующего изменения этих показателей в про-длины папиллярной мышцы в таблице.

Изменение папиллярной мышцы (7-го импульса в пачке последующих между пачками импульсами восстановливалась, амплитуды развиваемой парной стимуляции практически папиллярной мышцы. Кри-троили в координатах «время — амплитуды развивающей препарата» в ответе прирост раз-максимуму.

эффекта парной стимуляции уды развивающей силы при импульса (вершина кривой до-

#### Эффекты инотропных воздействий

за — эффект). Уменьшение этого показателя при переходе от оптимальной длины препарата ( $l_{\max}$ ) к  $0,75 l_{\max}$ , выраженное в процентах ( $\Delta \%$  ( $\Delta A$ ), см. таблицу), при  $22^{\circ}\text{C}$  было достоверно меньшим, чем при  $32^{\circ}\text{C}$ .

Отношение абсолютного прироста развиваемой силы к амплитуде фоновой механической активности препарата (относительный показатель реакции препарата на парную стимуляцию) достоверно не изменялось при уменьшении длины и температуры папиллярной мышцы ( $\Delta \%$  ( $\Delta A/A$ ), см. таблицу).

Нисходящая часть кривой доза — эффект парной стимуляции хорошо аппроксимировалась функцией вида  $y = Ae^{-ax} + C$ . Коэффициент корреляции был не ниже 0,98. По коэффициенту  $a$ , отражающему крутизну экспоненты, оценивали изменение чувствительности папиллярной мышцы к уменьшению времени задержки второго импульса. Уменьше-

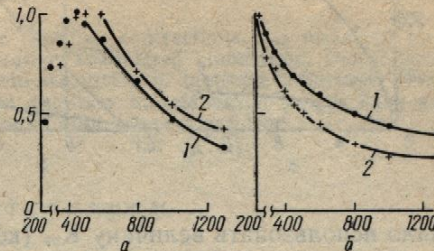


Рис. 1. Зависимость прироста силы, развиваемой папиллярной мышцей кролика, от времени задержки второго импульса при парной стимуляции (данные одного опыта).  $a = 32^{\circ}\text{C}$ ;  $b = 22^{\circ}\text{C}$ ; 1 — оптимальная длина препарата ( $l_{\max}$ ), 2 —  $0,75 l_{\max}$ . По горизонтали — время задержки второго импульса в мс, по вертикали — прирост силы сокращений в долях от его максимальной величины.

ние длины препарата приводило к повышению его чувствительности к парной стимуляции, что видно при сравнении кривых доза — эффект парной стимуляции при разных длинах препарата, нормированных на максимальную величину прироста амплитуды развивающей силы (рис. 1). Коэффициент  $a$  увеличивался в среднем приблизительно в два раза при уменьшении длины препарата до  $0,75 l_{\max}$ .

Аналогичные изменения чувствительности папиллярной мышцы к парной стимуляции происходили при уменьшении температуры раствора. Коэффициент  $a$  увеличивался в среднем приблизительно на 45 % при понижении температуры от  $32$  до  $22^{\circ}\text{C}$  (рис. 1). При уменьшении длины препарата достоверно увеличивался относительный прирост амплитуды сокращений ( $\Delta A/A$ ), вызванный уменьшением температуры раствора, и уменьшался абсолютный показатель реакции миокарда на уменьшение температуры ( $\Delta A$ , см. таблицу).

В серии опытов с последовательным увеличением концентрации ио-

#### ствиям при уменьшении ее начальной длины от оптимальной ( $l_{\max}$ ) до $0,75 l_{\max}$ ( $M \pm m$ , %)

Вид стимуляции	Изменение от 0%		Изменение эффекта уменьшения температуры от $32$ до $22^{\circ}\text{C}$			
	до 2,7 ммоль/л	от 0,9 до 13,5 ммоль/л	$\Delta \% (\Delta A/A)$	$\Delta \% l_{\max}$	$\Delta \% K_m$	$\Delta \% (\Delta A)$
$\Delta \% \alpha$	$\Delta \% (\Delta A)$					
$107 \pm 17$	$-80 \pm 6$		$3 \pm 14^*$			
$86 \pm 33$	$-75 \pm 31$		$13 \pm 4$	$-83 \pm 1$	$-42 \pm 7$	$-59 \pm 9$
$51 \pm 60$	$14 \pm 7^*$		$166 \pm 88^*$			$171 \pm 74$

Изменение силы до инотропного воздействия — константа Михаэлиса,  $A_{\max}$  — константа (р>0,05).

ствия,  $\Delta A$  — абсолютное изменение амплитуды развивающей силы,  $\Delta A/A$  — относительное изменение амплитуды развивающей силы в условиях максимального насыщения препарата кальцийем.

нов кальция в растворе от 0,67 до 13,5 ммоль/л уменьшение длины препарата значительно увеличивало время переходных изменений его механической активности, вызванных повышением концентрации кальция в растворе.

Кривые доза — эффект из изменения концентрации кальция в растворе строились по амплитуде развиваемой препаратом силы, регистрируемой после завершения ее переходных изменений. Полученные зависимости (рис. 2) были близки к гиперболическим — коэффициент корреляции между экспериментальными точками и уравнениями линейной регрессии в координатах  $1/A$  и  $1/[Ca^{2+}]_0$  был не менее 0,96. Это позво-

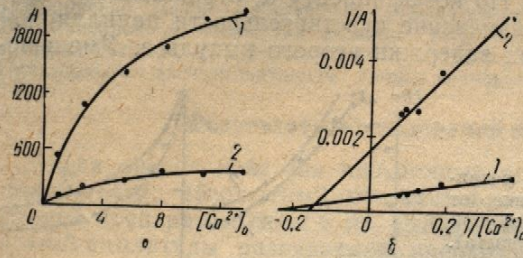


Рис. 2. Зависимость силы, развиваемой папиллярной мышцей кролика, от концентрации ионов кальция в растворе в прямых (а) и обратных (б) координатах (данные одного опыта).  
1 — оптимальная длина препарата ( $l_{\max}$ ); 2 — 0,75  $l_{\max}$ . А — амплитуда развиваемой препаратом силы в мН,  $[Ca^{2+}]_0$  — концентрация кальция в растворе в ммоль/л.

лило использовать величину  $K_m$  (концентрацию, соответствующую полу-максимальному эффекту) для оценки чувствительности препарата к изменению концентрации внеклеточного кальция [5]. Константу Михаэлиса ( $K_m$ ) определяли из графика, построенного в обратных координатах  $1/A$  и  $1/[Ca^{2+}]_0$  (где А — амплитуда сокращений,  $[Ca^{2+}]_0$  — концентрация кальция в растворе), по аналогии с методом Лайнуивера—Берка, используемого при анализе кинетики Михаэлиса—Ментен ферментативных реакций [5].

При уменьшении длины папиллярной мышцы  $K_m$  уменьшалась, что следует интерпретировать как повышение чувствительности полоски миокарда к изменению концентрации кальция в растворе.

Для оценки влияния изменения температуры раствора на зависимость относительного ( $\Delta A/A$ ) и абсолютного ( $\Delta A$ ) показателей реактивности папиллярной мышцы на изменение концентрации внеклеточного кальция от ее длины было проведено 11 опытов, в которых использовались две концентрации кальция в растворе — 0,9 и 2,7 ммоль/л. При уменьшении длины препарата величина  $\Delta A/A$  увеличивалась достоверно при 22 °С и не изменялась при 32 °С.

Уменьшение температуры раствора не вызывало достоверных изменений влияния длины препарата на  $\Delta A$  и  $\Delta A/A$  (см. таблицу).

Основные результаты, полученные в настоящем исследовании — вызванное уменьшением начальной длины папиллярной мышцы повышение ее чувствительности ко всем трем исследуемым инотропным воздействиям — соответствуют современным представлениям о существенном вкладе активационных эффектов в реализацию зависимости длина — сила сердечной мышцы [13]. Отсутствие в наших опытах достоверной зависимости от длины папиллярной мышцы относительных показателей ее реакции на изменение концентрации кальция в растворе при 32 °С и к парной стимуляции, объясняется, видимо, тем, что динамика одной точки на кривой доза — эффект инотропного воздействия может не отражать изменений чувствительности препарата к данному воздействию, для оценки которой необходимо учитывать динамику всей кривой доза-эффект.

S. G. Kaz'mi  
O. N. B.

EFFECTS OF INOTROPIC  
PAPILLARY  
INITIATION

The amplitude of rabbit papillary muscle contraction curves obtained show a rise in its initial length is decreased under variation of extracellular calcium concentration. This analogous influence on the inotropic effect of the heart muscle is observed at different temperatures.

- Изаков В. Я., Быков Б. Старлинга) от инотропного действия. С. 251—252.
- Изаков В. Я., Проценко ской и гетерометрической журн., 1981, 27, № 2, с. 245.
- Изаков В. Я., Шевелев Е. Г. Основы гемодинамики. Гуляторного механизма. 1971, 57, № 10, с. 1471—1476.
- Казьмин С. Г. Кардиогенный тонус в миокарде сердца. — Физиология сердца. — Оспорта, 1974.
- Круглов В. С., Руткевич В. А. Сердечная мышца. — В када. Свердловск, 1974, с. 7.
- Химмельблau Д. Анализ. 957 с.
- Allen D. G., Jewell B. R. The length-tension relation. 607.
- Bodem R., Skelton C. L. Dominant of the length-activity. Med., 1976, 168, N 1, p. 1—10.
- Bugge-Asperheim B., Lekan and end-systolic volume. J. Clin. and Lab. Invest. 1976, 35, 103—108.
- Fabiato A., Fabiato F. D. muscle cells on the sarcolemma. 12.
- Hibberd M. G., Jewell B. R. Calcium system to calcium in rat P31.
- Jewell B. R. A reexamination of the performance. — Circulat. Res. 1976, 38, 251—257.
- Lakatta E. G., Jewell B. R. Tension relation in cat heart. 1976, 38, 251—257.

Отдел экспериментальной ка Института физиологии им. И. П. Павлова АН УССР, Киев

моль/л уменьшение длины пре-  
переходных изменений его ме-  
шением концентрации кальция  
концентрации кальция в растворе-  
препаратором силы, регистриру-  
емых изменений. Полученные зависи-  
щеским — коэффициент корре-  
ции и уравнениями линейной  
был не менее 0,96. Это позво-

Рис. 2. Зависимость силы, раз-  
виваемой папиллярной мышцей  
кролика, от концентрации  
ионов кальция в растворе в  
прямых (а) и обратных (б) ко-  
ординатах (данные одного  
опыта).

1 — оптимальная длина препарата  
 $l_{\max}$ ; 2 — 0,75  $l_{\max}$ . А — ампли-  
туда развиваемой препаратором силы  
в м<sup>2</sup>,  $[Ca^{2+}]_0$  — концентрация каль-  
ция в растворе в ммол/л.

ацию, соответствующую полу-  
чительности препарата к из-  
менению [5]. Константу Михаэ-  
лссена в обратных координа-  
тических координатах,  $[Ca^{2+}]_0$  — концен-  
трация методом Лайнувера — Бер-  
Михаэлса — Ментен фермен-

мышцы  $K_m$  уменьшалась, что  
с чувствительности полоски  
ния в растворе на зависи-  
мого (ДА) показателей реак-  
ции концентрации внеклеточно-  
го опыта, в которых исполь-  
зование — 0,9 и 2,7 ммол/л. При  
ДА увеличивалась достовер-

вызывала достоверных изме-  
нений (см. таблицу).

настоящем исследовании —  
папиллярной мышцы повы-  
следуемым инотропным воз-  
действиям о существен-  
лизации зависимости длина  
в наших опытах достовер-  
ны относительных показа-  
ний кальция в растворе при  
видимо, тем, что динамика  
инотропного воздействия  
ности препарата к данному  
учитывать динамику всей

### Эффекты инотропных воздействий

Значительное снижение абсолютного эффекта инотропных воздействий при уменьшении начальной длины сердечной мышцы, происходящее несмотря на повышение ее чувствительности к инотропным агентам, может существенно ограничивать эффективность симпато-адреналовой компенсации нарушений кровообращения при тампонаде сердца.

S. G. Kazmin, V. Ya. Izakov, Yu. L. Protsenko,  
O. N. Bershitskaya, F. A. Blyachman

### EFFECTS OF INOTROPIC INFLUENCES ON THE RABBIT PAPILLARY MUSCLE UNDER VARIATION IN ITS INITIAL LENGTH AND TEMPERATURE

#### Summary

The amplitude of rabbit papillary muscle isometric contractions was measured under variation of extracellular calcium concentration and paired stimulation. Dose-effect curves obtained show a rise of papillary muscle sensitivity to inotropic influences when its initial length is decreased. Changes in the papillary muscle initial length have an analogous influence on the inotropic effects of the solution temperature drop.

### Список литературы

- Изаков В. Я., Быков Б. Л. Зависимость связи длина — сила (феномен Франка — Старлинга) от инотропного состояния миокарда. — Физiol. журн., 1981, 27, № 2, с. 251—252.
- Изаков В. Я., Проценко Ю. Л., Бершицкая О. Н. Взаимоотношения гомеометрической и гетерометрической систем регуляции сократимости миокарда. — Физiol. журн., 1981, 27, № 2, с. 249—250.
- Изаков В. Я., Шевелев В. М., Гнитько Р. В. Природа частотнозависимого саморегуляторного механизма сокращения клеток миокарда. — Физiol. журн. СССР, 1971, 57, № 10, с. 1471—1479.
- Казьмин С. Г. Кардиогемодинамика и сократительная активность миокарда при тампонаде сердца. — Физiol. журн. 1981, 27, № 2, с. 260—261.
- Корниш-Боуден Э. Основы ферментативной кинетики. М.: Мир, 1979. 280 с.
- Круглов В. С., Руткевич С. М., Мархасин В. С. Влияние температуры на свойства сердечной мышцы. — В кн.: Клеточные механизмы регуляции сократимости миокарда. Свердловск, 1974, с. 150—170.
- Химмельблau Д. Анализ процессов статистическими методами. М.: Мир, 1973. 957 с.
- Allen D. G., Jewell B. R., Murray J. W. The contribution of activation processes to the length-tension relation of cardiac muscle. — Nature, 1974, 248, N 5449, p. 606—607.
- Bodem R., Skelton C. L., Sonnenblick E. H. Inactivation of contraction as a determinant of the length-active tension relation in heart muscle of the cat. — Res. Exp. Med., 1976, 168, N 1, p. 1—13.
- Bugge-Asperheim B., Lekven J., Kill F. Effect of saline infusion on stroke volume and end-systolic volume at various levels of adrenergic activity in dogs. — Scand. J. Clin. and Lab. Invest. 1972, 29, N 1, p. 5—14.
- Fabiato A., Fabiato F. Dependence of the contractile activation of skinned cardiac muscle cells on the sarcomere length. — Nature, 1975, 256, N 5512, p. 54—56.
- Hibberd M. G., Jewell B. R. Length-dependence of the sensitivity of the contractile system to calcium in rat ventricular muscle. — J. Physiol., 1979, 290, May, p. P30—P31.
- Jewell B. R. A reexamination of the influence of muscle length on myocardial performance. — Circulat. Res., 1977, 40, N 3, p. 221—230.
- Lakatta E. G., Jewell B. R. Length-dependent activation. Its effect on the length-tension relation in cat ventricular muscle. — Circulat. Res., 1977, 40, N 3, p. 251—257.

УДК 616.1:616.127—008:616.13—004.6—092

Н. П. Стroganova, С. С. Шаваран

**СОКРАТИТЕЛЬНАЯ ФУНКЦИЯ МИОКАРДА  
ЛЕВОГО ЖЕЛУДОЧКА СЕРДЦА  
ПРИ ЭКСПЕРИМЕНТАЛЬНОЙ ГИПЕРХОЛЕСТЕРИНЕМИИ**

В литературе имеются указания на то, что в процессе развития экспериментального атеросклероза возникают выраженные изменения функционального состояния сердечно-сосудистой системы [1, 2, 5]. Вместе с тем вопрос о сократительной функции миокарда при экспериментальных гиперхолестеринемиях и атеросклерозе представляется малоизученным — имеются лишь единичные работы, посвященные исследованию изменений сократительной функции миокарда при экспериментальной гиперхолестеринемии [9] и возрастных особенностях этих изменений при экспериментальном атеросклерозе [8].

Мы изучали состояние сократительной функции миокарда левого желудочка сердца на ранних этапах воспроизведения экспериментальной гиперхолестеринемии.

**Методика исследований**

Эксперименты проведены на 44 кроликах репродуктивного возраста (8–12 мес), преимущественно самцах, массой 2–3 кг.

Экспериментальную гиперхолестеринемию воспроизводили по методу Н. Н. Аничкова посредством введения *per os* 50 % эмульсии холестерина в подсолнечном масле в количестве 0,3 г/кг в течение 30 дней. Содержание веществ в крови, в определенной степени отражающее состояние обмена липидов и белков в организме и имеющее значение для развития атеросклероза, определяли до начала эксперимента и через 30 дней содержания животных на атерогенном рационе. Исследовали содержание в сыворотке крови холестерина [10], суммарной фракции липопротенов низкой и очень низкой плотности ( $\beta$ - и пре  $\beta$ -фракции) турбидиметрическим методом [11] в модификации [4], триглицеридов [7], фосфолипидов [15]. Вычисляли коэффициенты холестерина/фосфолипиды и холестерина/триглицериды.

В острых опытах под нембуталовым (0,025 г/кг) или уретановым (0,75 г/кг) наркозом исследовали основные показатели системной гемодинамики и сократительной функции миокарда в норме (20 кроликов) и при экспериментальной гиперхолестеринемии (24 кролика). Среднее артериальное давление в дуге аорты и давление в полости левого желудочка (АД<sub>ср</sub> и ЛЖД в кПа) измеряли электроманометрически (ЕМТ-35) с помощью зондирования (зонды, заполненные гепарином, вводили через левую общую сонную артерию в полость левого желудочка и через правую общую сонную артерию в дугу аорты). Синхронную регистрацию АД<sub>ср</sub>, ЛЖД и его первой производной ( $dp/dt$  в кПа в с), ЭКГ во II стандартном отведении производили на чернильноструйном самописце «Минграф-81» со скоростью 5 и 500 мм/с. Во всех сериях опытов использована одна и та же катетерно-манометрическая система с постоянной частотой характеристики и одинаковая степень фильтрации сигнала ЛЖД при его регистрации и дифференцировании. В части опытов (39) определяли минутный объем кровообращения (МОК в мл/мин) методом термодиллюции, общее периферическое сопротивление рассчитывали по формуле Франка — Пузейля (ОПС в кПа·с/мл).

Сократительную активность миокарда левого желудочка сердца оценивали по показателям, отражающим соотношение между напряжением, развиваемым миокардом, физиологической мерой которого в известных пределах служит систолическое давление в полости левого желудочка, и скорость сокращения [14]. В качестве индексов сократимости использовали  $dp/dt_{\max}$  — максимальную скорость повышения давления в полости левого желудочка (кПа/с),  $t - dp/dt_{\max}$  — время, в течение которого достигается максимальная  $dp/dt$  (с),  $P - dp/dt_{\max}$  — давление, при котором регистрирует-

ся максимальная  $dp/dt$  (кПа), му давлению (индекс Верагут общему давлению в полости л фициента К=32 [12, 13].

**Результаты**

В соответствии с данной атерогенной диете (введенной провождалось развитием атеросклероза, пемии и повышением, выявленными фосфолипидов и триглицеридов (табл. 1).

Неоднородность пока у кроликов с экспериментальной гиперхолестеринемией делить две группы экспериментальные животные, у которых

Изменение показателей в зависимости от возраста при введении гиперхолестеринемии

Исследуемые показатели	1
Холестерин	
Триглицериды	
Фосфолипиды	
Липопротеиды	
Коэффициент холестерина/триглицериды	
Коэффициент холестерина/фосфолипиды	

Основные показатели в зависимости от экспериментальной гиперхолестеринемии

Показатели гемодинамики	1
АД <sub>ср</sub> , кПа	
ЧСС, уд/мин	2
ЛЖД, кПа	1
МОК, мл/мин	1
УО, мл	
ОПС, кПа·с/мл	64

Достоверность различий оценена методом  $t$ -теста:  
 $*p < 0,01$ , \*\* $p < 0,05$ .

ся максимальная  $dp/dt$  (кПа), отношение  $dp/dt_{\max}$  к соответствующему изометрическому давлению (индекс Верагута,  $V_w$ , в с<sup>-1</sup>) [16] и максимальное отношение  $dp/dt$  к общему давлению в полости левого желудочка ( $V_{pm}$ , в с<sup>-1</sup>) с использованием коэффициента  $K=32$  [12, 13].

### Результаты исследований и их обсуждение

В соответствии с данными литературы, содержание животных на атерогенной диете (введение избыточного количества холестерина) сопровождалось развитием значительной гиперхолестеринемии и гиперлипидемии и повышением, выраженным в несколько меньшей степени, уровня фосфолипидов и триглицеридов в сыворотке крови, что приводило к увеличению коэффициентов холестерин/фосфолипиды и холестерин/триглицериды (табл. 1).

Неоднородность показателей системной гемодинамики, выявленная у кроликов с экспериментальной гиперхолестеринемией, позволила выделить две группы экспериментальных животных. Первую подгруппу составили животные, у которых уровни среднего артериального давления

Таблица 1

Изменение показателей липидного обмена у кроликов репродуктивного возраста при введении 0,3 г/кг холестерина в течение 30 дней

Исследуемые показатели	Группы животных		
	интактные $n=25$	с экспериментальной гиперхолестеринемией $n=25$	$p$
Холестерин	54,81±9,03	310,0±32,0	<0,001
Триглицериды	31,31±9,34	55,48±13,26	<0,01
Фосфолипиды	66,31±6,37	141,32±16,65	<0,001
Липопротеиды	138,38±16,22	318,83±76,24	=0,02
Коэффициент холестерин/триглицериды	2,1±0,48	5,59±0,93	<0,001
Коэффициент холестерин/фосфолипиды	0,88±0,18	2,19±0,58	<0,05

Таблица 2

Основные показатели системной гемодинамики у животных с экспериментальной гиперхолестеринемией

Показатели гемодинамики	Группы животных		
	интактные $n=20$	с экспериментальной гиперхолестеринемией	
	с нормальным уровнем АДср $n=17$	с повышенным уровнем АДср $n=7$	
АДср, кПа	13,06±0,38	13,27±1,05	18,32±0,92*
ЧСС, уд/мин	257,0±5,4	279,0±9,9**	280,0±4,6*
ЛЖД, кПа	15,99±0,3	15,94±1,45	21,74±0,88*
МОК, мл/мин	131,8±5,6	148,9±22,8	171,6±29,0
УО, мл	0,52±0,03	0,53±0,05	0,67±0,11
ОПС, кПА·с/мл	642,4±30,6	577,5±30,1	755,5±97,7

Достоверность различий оценивается по сравнению с интактными животными:

\* $p<0,01$ , \*\* $p<0,05$ .

и давления в полости левого желудочка определялись в пределах колебаний этих показателей в группе интактных животных (17 кроликов), вторую — животные, у которых величина указанных показателей значительно превышала верхнюю границу контрольных величин. В литературе имеются указания на изменение уровня артериального давления в сторону его повышения у животных в ходе развития экспериментального атеросклероза [5]. На большом фактическом материале не обнаружено [2] существенных сдвигов в уровне артериального давления в процессе развития экспериментального атеросклероза, однако, отмечено появление некоторой лабильности артериального давления с колебаниями в сторону повышения в первые 1—2,5 мес введение холестерина.

Дальнейший анализ данных, полученных в опытах на кроликах с экспериментальной гиперхолестеринемией, проведен с учетом уровня артериального давления (табл. 2). Как видно из приведенных в табл. 2 данных, у животных отмечена некоторая тенденция к повышению МОК, что обусловлено преимущественно учащением ритма сердечных сокращений, сочетающимся со статистически недостоверным повышением ударного объема (УО, в мл). У животных второй подгруппы можно отметить также некоторую тенденцию к повышению ОПС.

Данные, характеризующие сократительную активность миокарда в условиях экспериментальной гиперхолестеринемии, суммированы в табл. 3, анализ которой позволяет отметить определенную зависимость направ-

Таблица 3

Основные показатели сократительной функции миокарда, левого желудочка сердца у животных с экспериментальной гиперхолестеринемией

Исследуемые показатели	Группы животных		
	интактные n=20	с экспериментальной гиперхолестеринемией	
		с нормальным уровнем АДср n=17	с повышенным уровнем АДср n=7
$dp/dt_{max}$ , кПа·с/мл	282,3±23,96	325,8±12,65	512,1±58,7*
$t-dp/dt_{max}$ , с	0,03±0,005	0,037±0,004	0,030±0,014
$P-dp/dt_{max}$ , кПа	8,59±1,21	7,34±1,05	9,9±1,97
$V_w$ , с <sup>-1</sup>	39,9±2,9	42,0±5,5	41,6±3,9
$V_{pm}$ , с <sup>-1</sup>	3,2±0,09	2,3±0,07**	2,89±0,04***

Достоверность различий оценивается по сравнению с интактными животными:  
\* $p<0,01$ ; \*\* $p<0,05$ ; \*\*\* $0,1>p>0,05$ .

ленности и степени выраженности изменений параметров, используемых для оценки сократительной активности миокарда, от уровня артериального давления.

В первой группе животных изменений величины индекса Верагута и максимальной  $dp/dt$  не выявлено. Однако отсутствие изменения  $dp/dt_{max}$  сочетается с некоторым удлинением  $t-dp/dt_{max}$  и снижением  $P-dp/dt_{max}$ . В этой подгруппе животных отмечено статистически достоверное уменьшение  $V_{pm}$ .

Следует отметить, что в этой серии опытов не обнаружено изменений величины конечно-диастолического давления в полости левого желудочка, в обратной зависимости от которой находится используемый

### Сократительная функция миокарда

индекс ( $V_{pm}$ ), в связи с чем нений сократительной функции меченные в этой подгруппе рое снижение  $P-dp/dt_{max}$  и лагать, что уже на ранних холестеринемии проявляется качества холестерина.

Во второй подгруппе эннонаправленные изменения с одной стороны, наблюдают рочением  $t-dp/dt_{max}$  и увеличением индекса Верагута оказывает тенденцию к снижению. Оце группе животных, следуя  $P-dp/dt_{max}$  отражают компоненты его сократительной активности рабочей нагрузки на соотношение исследуемых париального давления, указывающие сердца как целого, не может соответствующих изменений. Ранее [6] нами было проведено миокарда при реноваскуле, показано выраженное повышение процессе стабилизации артерий разнонаправленные изменения экспериментальной артериальной гиперхолестеринемии, сочетающим высказать предположение гиперхолестеринемии (как в нормального давления, так и в условиях достаточная для поддержки сердца (обеспечение неизмененного воображения) сократительная она, по-видимому, на фоне сократительного элемента миокарда.

Причиной снижения сократительных элементов миокарда является гиперхолестеринемией. Можно предположить, что после начала введения гиперхолестерина повреждение интрамуральных лимфатических сосудистых стенок количества Шик-положительных харидов, пролиферацией клеток измененная интима служит барьером, необходимых для нормального кровообращения, что является гипоксией. Гипоксическое повреждение гиперхолестеринемии подтверждается. Другим возможным механизмом гиперхолестеринемии, связанный с миокардом, является дестабилизация поверхности активного вещества, что приводит к нарушению сократительной функции миокарда и его утилизации ионами кальция.

определялись в пределах количеств животных (17 кроликов), указанных показателей значительных величин. В литературе артериального давления в де развития экспериментально-тическом материале не обнаружено артериального давления в атеросклероза, однако, отмечено артериального давления с колебанием 2,5 мес введения холестерина. Проведен с учетом уровня артерии из приведенных в табл. 2 тенденция к повышению МОК, изменением ритма сердечных сокращений недостоверным повышением в второй подгруппы можно отнести к повышению ОПС.

Активность миокарда в гиперхолестеринемии, суммированы в табл. 2, отражают зависимость направ-

## Сократительная функция миокарда

индекса ( $V_{pm}$ ), в связи с чем его изменения можно отнести за счет изменений сократительной функции миокарда. Совокупность изменений, отмеченных в этой подгруппе животных, — удлинение  $t - dp/dt_{max}$ , некоторое снижение  $P - dp/dt_{max}$  и достоверное снижение  $V_{pm}$ , — позволяет полагать, что уже на ранних стадиях развития экспериментальной гиперхолестеринемии проявляется повреждающее действие избыточного количества холестерина.

Во второй подгруппе экспериментальных животных отмечены разнонаправленные изменения используемых индексов сократимости — с одной стороны, наблюдается увеличение  $dp/dt_{max}$ , сочетающееся с укорочением  $t - dp/dt_{max}$  и увеличением  $P - dp/dt_{max}$ , с другой — величина индекса Верагута оказывается неизменной, а величина  $V_{pm}$  проявляет тенденцию к снижению. Оценивая изменения, выявленные в этой подгруппе животных, следует учитывать, что  $dp/dt_{max}$ ,  $t - dp/dt_{max}$ ,  $P - dp/dt_{max}$  отражают комплексную функцию миокарда, зависящую как от его сократительной активности, так и в не меньшей степени от условий рабочей нагрузки на соответствующий отдел сердца. В связи с этим увеличение исследуемых параметров в условиях высокого уровня артериального давления, указывая на усиление сократительной активности сердца как целого, не может расцениваться как прямое свидетельство соответствующих изменений механических свойств сердечной мышцы. Ранее [6] нами было проведено исследование сократительной активности миокарда при реноваскулярной гипертензии у кроликов, в котором показано выраженное повышение как индекса Верагута, так и  $V_{pm}$  в процессе стабилизации артериального давления на высоком уровне. Эти разнонаправленные изменения индекса Верагута и  $V_{pm}$  при экспериментальной артериальной гипертензии и при экспериментальной гиперхолестеринемии, сочетающейся с высоким уровнем АД, позволяют нам высказать предположение, что, хотя в условиях экспериментальной гиперхолестеринемии (как в группе с нормальным уровнем артериального давления, так и в условиях его некоторого повышения) сохраняется достаточная для поддержания необходимого уровня деятельности сердца (обеспечение неизмененных показателей минутного объема кровообращения) сократительная функция сердца как целого, осуществляется она, по-видимому, на фоне снижения функциональной способности сократительного элемента миокарда.

Причиной снижения сократительной способности сократительных элементов миокарда является поражение мышцы сердца, связанное с гиперхолестеринемией. Можно считать доказанным, что уже через 1 мес. после начала введения 0,25 г/кг и более холестерина отмечается повреждение интрамуральных сосудов сердца, проявляющееся в инфильтрации сосудистой стенки липидами и липопротеидами, увеличении количества Шик-положительных веществ и всех фракций мукополисахаридов, пролиферацией клеточных элементов интимы [2]. Утолщенная измененная интима служит барьера для питательных веществ и кислорода, необходимых для нормального функционирования органа, следствием чего является гипоксия, выраженная в той или иной степени. Гипоксическое повреждение миокарда в условиях экспериментальной гиперхолестеринемии подтверждается морфологическими данными [2]. Другим возможным механизмом повреждающего действия экспериментальной гиперхолестеринемии является нарушение ионных взаимоотношений в миоцитах, дестабилизация клеточных мембран под действием поверхностью активного вещества — холестерина, способного приводить к нарушению сократительной способности клетки по типу разобщения сокращения и утилизации ионов кальция [3].

и параметров, используемых для оценки миокарда, от уровня артериального

величины индекса Верагута. Однако отсутствие изменения величины  $t - dp/dt_{max}$  и снижение величины  $V_{pm}$  отмечено статистически достоверно.

Показатели не обнаружено изменения в полости левого желудочка находятся используемый

Таблица 3  
Индексы миокарда, левого желудочка и гиперхолестеринемии

Условия животных	
Экспериментальная гиперхолестеринемия	
Нормальным уровнем АДср $n=17$	с повышенным уровнем АДср $n=7$
$512,1 \pm 58,7^*$	$512,1 \pm 58,7^*$
$0,030 \pm 0,014$	$0,030 \pm 0,014$
$9,9 \pm 1,97$	$9,9 \pm 1,97$
$41,6 \pm 3,9$	$41,6 \pm 3,9$
$2,89 \pm 0,04^{***}$	$2,89 \pm 0,04^{***}$

Изменение с интактными животными

N. P. Stroganova, S. S. Shavarhan

CONTRACTILE FUNCTION OF THE HEART LEFT VENTRICLE  
MYOCARDIUM UNDER EXPERIMENTAL HYPERCHOLESTEROLEMIA

## Summary

The heart contractile function in rabbits with experimental hypercholesterolemia was found to depend on the blood pressure level. Changes in  $t \cdot dp/dt_{max}$ ,  $P \cdot dp/dt_{max}$  and  $V_{pm}$  indices testify to a certain decrease of the contractile function in rabbits with experimental hypercholesterolemia and normal blood pressure. In rabbits with experimental hypercholesterolemia and high blood pressure a lower value of  $V_{pm}$  reflects a decrease in the contractile state of the myocardium, the changes in  $dp/dt_{max}$ ,  $t \cdot dp/dt_{max}$ ,  $P \cdot dp/dt_{max}$  reflect the positive inotropic effect of high blood pressure level on the function of the heart.

Laboratory of Experimental Cardiology,  
Ukrainian Institute of Cardiology, Kiev

## Список литературы

1. Андреев С. В., Чечулин Ю. С. Очерки по реактивности сердечно-сосудистой системы. М.: Медицина, 1965. 256 с.
2. Горев Н. Н., Кожура И. М., Костюк Л. В. и др. Экспериментальный атеросклероз и возраст. М.: Медицина, 1972. 208 с.
3. Коднер А. С., Орлов В. В. Физиологические свойства гладкой мускулатуры сосудов при экспериментальном атеросклерозе. — Кардиология, 1978, № 4, с. 123—127.
4. Ледвина М. Определение β-липопротеидов сыворотки крови турбидиметрическим методом. — Лаб. дело, 1960, № 3, с. 13—17.
5. Ментова В. Н., Самойлова З. Т. Динамика развития сердечно-сосудистых нарушений и изменение липидов крови при воспроизведении экспериментального атеросклероза у собак. — Патол. физиология и эксперим. терапия, 1960, № 4, с. 32—37.
6. Строганова Н. П. Сократительная функция миокарда в условиях экспериментальной гипертонии различной гемодинамической структуры. — Физiol. журн., 1979, № 1, с. 23—30.
7. Ревуцкий Е. Л., Ционик В. А., Соловцева К. М., Бронштейн В. И. Использование при фенотипировании гиперлипопротеидемий микрометода определения содержания триглицеридов крови. — Врачеб. дело, 1975, № 5, с. 51—54.
8. Черкасский Л. П., Полинская В. И. О возрастных изменениях сократительной функции миокарда левого желудочка сердца при экспериментальном атеросклерозе. — Патол. физиология и эксперим. терапия, 1979, № 3, с. 47—50.
9. Шуберт Э. Сократительная функция у кроликов с алиментарной гиперхолестеринемией. — В кн.: Актуальные проблемы общей патологии и патофизиологии. М., 1976, с. 229—236.
10. Abell L., Levy B., Brodie B., Kandell F. A simplified method for estimation of total cholesterol in serum and demonstration of its specificity. — J. Biol. Chem., 1952, 195, N 2, p. 357—362.
11. Burstein M., Samaille J. Sur une nouvelle methode de dosage des lipoproteines sériques par l'heparin. — C. r. Acad. Sci., 1956, 243, N 9, p. 2185—2197.
12. Parmley W. The series elasticity of cardiac muscle. — Proc. Soc. Exp. Biol. Med., 1968, 127, N 2, p. 606—609.
13. Pollack G. H. Maximum velocity as an index of contractility in cardiac muscle. A critical evaluation. — Circulation Res., 1970, 26, N 1, p. 111—127.
14. Sonnenblick E. H. Implication of muscle mechanics in the heart. — Fed. Proc., 1962, 21, N 6, p. 975—990.
15. Svartberg A., Svenssonholm I. Plasma total lipid, cholesterol, triglycerides, phospholipids and free fatty acids in healthy Scandinavian population. — Acta med. scand., 1961, 169, N 1, p. 43—58.
16. Veragut U., Krayenbühl H. P. Estimation and quantification of myocardial contractility in the closed chest dog. — Cardiologia, 1965, 47, N 11, p. 96—113.

Лаборатория экспериментальной кардиологии  
Украинского института кардиологии, Киев

Поступила в редакцию  
28.XII 1979 г.

УДК 615.217.22.017:612.127.2

Н. С. Акопян, О. Г. Ба

ДЕЙСТВИЕ  
НА СЕРДЕЧНУЮ  
АКТИВНОСТЬ М

Адренергические строительные блоки различных адаптивных рефлексов сопровождаются активацией β-адренорецепторов, что приводит к увеличению кровообращения, улучшению кислородного питания мозга и мышц. По мнению других исследователей в крови отрицательно действуют кислородом, уменьшающие активность тканей, т. е. адренергическими факторами в регуляции сердечной деятельности.

Адренорецептивные формации, гипоталамус, венец многих физиологических процессов среди [5, 11, 12, 13].

Мы изучали влияние адренергических факторов на функционально-вегетативных уровнях острой гипоксии.

Исследования проведены на крысах с помощью биполярных электродов, закрепленных на спине и затылке. Введение электродов в кожу осуществлялось прямоугольными импульсами частотой 100—150 Гц. В один из исследований использовалась комбинация из 4000—6000 м, 8500—9000 м, 10000 м (5 мин) и при «спуске» в условиях гипоксии сразу два β-адренорецептора. Введение пропранолола, затем и тем же способом пропранолола. Интервал между введениями был 6—8 мин. При внутривенном введении мезатона — 800—1000 мкг, β-адренорецепторов — 1000—1500 мкг, внутримозгового введения изотропина — 20—25 мкг, фентоламина — 30 мкг. Электроэнцефалографические измерения проведены в разное время в зависимости от состояния мозга. На электроэнцефалограмме фиксированы волны барокамеры, скорость

S. Shavaran

HEART LEFT VENTRICLE  
HYPERCHOLESTEROLEMIA

with experimental hypercholesterolemia. Changes in  $t \cdot dp/dt_{max}$ ,  $P \cdot dp/dt_{max}$  the contractile function in rabbits with pressure. In rabbits with experimental lower value of  $V_{pm}$  reflects a decrease changes in  $dp/dt_{max}$ ,  $t \cdot dp/dt_{max}$ ,  $P$  high blood pressure level on the fun-

ратуры

активности сердечно-сосудистой системы. Экспериментальный атеросклероз свойства гладкой мускулатуры со- Кардиология, 1978, № 4, с. 123—127. протоки крови турбидиметрическим ме- азвития сердечно-сосудистых нарушений экспериментального атеросклероза. терапия, 1960, № 4, с. 32—37. иокарда в условиях экспериментальной структуры.—Физиол. журн., 1979,

М. Бронштейн В. И. Использование микрометода определения содержания в возрастных изменениях сократительной при экспериментальном атеросклерозе.—Физиол. журн., 1979, № 5, с. 51—54.

М. Бронштейн В. И. Использование микрометода определения содержания в возрастных изменениях сократительной при экспериментальном атеросклерозе.—Физиол. журн., 1979, № 5, с. 51—54.

amplified method for estimation of its specificity.—J. Biol. Chem., 1952, 187, p. 2185—2197.

method de dosage des lipoproteines sera.—J. Biol. Chem., 1952, 187, p. 2185—2197.

muscle.—Proc. Soc. Exp. Biol. Med., 1962, 111, p. 111—127.

anics in the heart.—Fed. Proc., 1962, 21, p. 111—127.

cholesterol, triglycerides, phospholipids in the serum of the avian population.—Acta med. scand., 1979, 205, N 11, p. 96—113.

quantification of myocardial contractility in the heart.—Fed. Proc., 1962, 21, p. 111—127.

Поступила в редакцию  
28.XII 1979 г.

УДК 615.217.22.017:612.127.2

Н. С. Акопян, О. Г. Баклаваджян, Г. С. Вартанян, С. К. Огмрцян

ДЕЙСТВИЕ АДРЕНЕРГИЧЕСКИХ ВЕЩЕСТВ  
НА СЕРДЕЧНУЮ ДЕЯТЕЛЬНОСТЬ И ЭЛЕКТРИЧЕСКУЮ  
АКТИВНОСТЬ МОЗГА КРОЛИКОВ ПРИ ГИПОКСИИ

Адренергические структуры играют важную роль в осуществлении различных адаптивных реакций организма. Стressовые состояния всегда сопровождаются активацией центральных и периферических адренергических механизмов. Так, например, установлено, что при стимуляции  $\beta$ -адренорецепторов улучшается ауторегуляция мозгового кровообращения, увеличивается поглощение кислорода в мозговой ткани, улучшается кислородный режим головного мозга, повышается возбудимость мезэнцефалической ретикулярной формации и др. [4, 14, 17]. По мнению других исследователей [7, 8], повышение уровня катехоламинов в крови отрицательно сказывается на снабжении организма кислородом, уменьшается оксигенация крови, поглощение кислорода тканями, т. е. адренергические вещества являются гипоксическими факторами в регуляции кислородного баланса [1].

Адренорецептивные нейроны, локализующиеся в ретикулярной формации, гипоталамусе, лимбической системе и др., определяют уровень многих физиологических функций при воздействии различных факторов среди [5, 11, 12, 14].

Мы изучали влияние адреномиметических и адренолитических веществ на функциональное состояние мозга и сердечную деятельность в условиях острой гипоксии.

Методика исследований

Исследования проведены на 18 кроликах в хроническом эксперименте. Раздражающие bipolarные электроды с хемитродом были вживлены в заднее гипоталамическое ядро (NHP), а отводящие monopolarные электроды на поверхности фронтальной, височной и затылочной областей коры больших полушарий. Индифферентный электрод закрепляли в костях лобной пазухи. Регистрировали частоту сердечных сокращений, дыхание, ЭЭГ и реакцию активации на раздражение гипоталамуса. Раздражение осуществляли прямоугольными импульсами длительностью 0,2—0,3 мс, амплитудой 5—8 В, частотой 100—150 Гц. В I серии регистрацию производили до и после введения каждого из исследуемых препаратов в динамике гипоксического воздействия: на «высоте» 4000—6000 м, 8500—9000 м, после кратковременной экспозиции на высоте 8500—9000 м (5 мин) и при «спуске» в условия обычного атмосферного давления. Во II серии были использованы сразу два  $\beta$ -адренергических препарата, в одном случае предварительно вводили пропранолол, затем изадрин, в другом случае вначале вводили изадрин, а затем пропранолол. Интервал между введениями первого и второго препаратов составлял 6—8 мин. При внутривенном введении дозы составляли:  $\beta$ -адреномиметика изадрин — 800—1000 мкг,  $\beta$ -адренолитика пропранолола — 1000—1500 мкг,  $\alpha$ -адреномиметика мезатона — 1000—1500 мкг и  $\alpha$ -адренолитика фентоламина — 1000—1500 мкг, а при внутримозговом введении изадрин — 15—20 мкг, мезатон — 15—20 мкг, пропранолол — 20—25 мкг, фентоламин — 30—35 мкг на 1 кг веса животного. I и II серии экспериментов проведены в разное время на одних и тех же животных. Регистрацию биоэлектрической активности мозга и вегетативных функций производили на 17-канальном электроэнцефалографе фирмы Nihon Kohden. Острую гипоксию создавали в условиях барокамеры, скорость «подъема» и «спуска» составляла 15—20 м/с.

### Результаты исследований

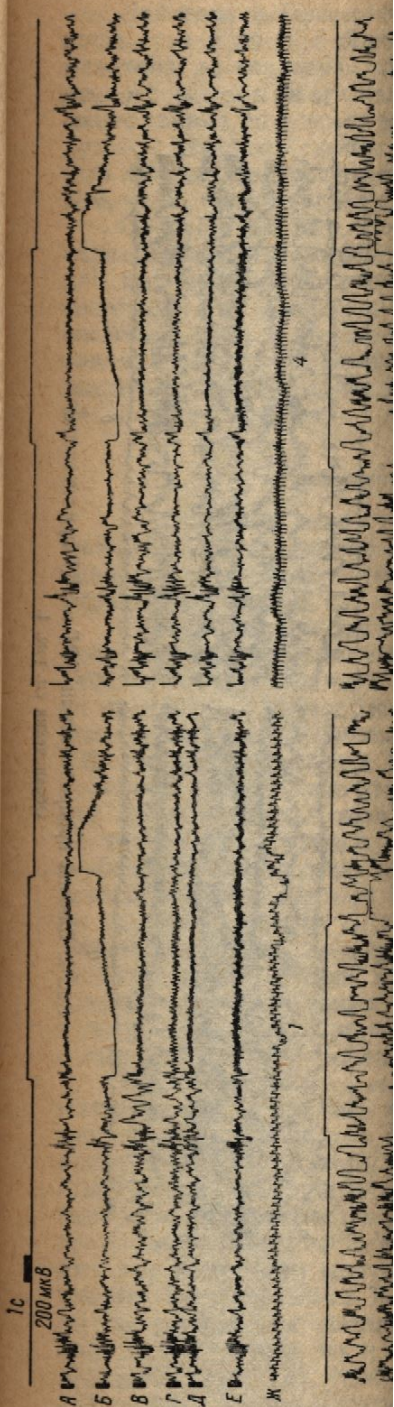
До «подъема» животных раздражение гипоталамуса вызывало реакцию активации на ЭЭГ (рис. 1,1), а также незначительное учащение сердечных сокращений (5—7 %). Аналогичные сдвиги сердечной деятельности на раздражение гипоталамуса были описаны также другими исследователями [6, 9, 10, 13]. При воздействии острой гипоксии, в начальной ее фазе (до 4000 м) также наступала активация ЭЭГ и некоторое увеличение частоты сердечных сокращений; раздражение гипоталамуса при этом оставалось без ответа. Сразу после «подъема» животного на максимальную высоту (8500—9000 м) сердечный ритм заметно урежался (35—40 %), а на ЭЭГ развивался медленный высоковольтный дельта-ритм, при этом раздражение гипоталамуса не оказывало активирующего влияния на кору больших полушарий (рис. 1,2). После кратковременной экспозиции животных на максимальной высоте фоновая ЭЭГ продолжала оставаться синхронизированной, а сердечный ритм учащался (30—40 %). При этом момент раздражения гипоталамуса сопровождался появлением реакции активации и более выраженным увеличением частоты сердечных сокращений (рис. 1, 3).

После регистрации исходных данных исследования были проведены с применением фармакологических средств. Так, введение  $\beta$ -адреномиметика изадрина до «подъема» контрольных животных вызывало резко выраженную тахикардию (15,9 %), а на фоновую ЭЭГ не оказывало заметного влияния (рис. 1,4). Сразу после «подъема» на «высоту» 8500—9000 м, так же как у интактных животных, наступало урежение сердечного ритма, но он продолжал оставаться на относительно высоком уровне, поскольку это происходило на фоне тахикардического эффекта изадрина. На этой «высоте», так же как до введения препарата, на ЭЭГ преобладали медленные высоковольтные дельта-волны, при этом раздражение гипоталамуса не вызывало реакции активации (рис. 1,5). Однако после кратковременной экспозиции животных на этой «высоте» фоновая картина ЭЭГ менялась в сторону заметного уменьшения медленного ритма, при котором раздражение гипоталамуса давало более выраженную и продолжительную реакцию активации (рис. 1, 6). В этом случае увеличивалась частота сердечных сокращений в ответ на раздражение гипоталамуса.

При введении  $\beta$ -адреноблокатора пропранолола до «подъема» животных наблюдалось некоторое урежение сердечного ритма, а фоновая ЭЭГ почти не менялась (рис. 2,4). На высоте 8500—9000 м и кратковременной экспозиции в этих условиях ЭЭГ продолжала оставаться синхронизированной, и, в отличие от контрольных животных, раздражение гипоталамуса не оказывало активирующего влияния (рис. 2,6).

Во II серии опытов, при введении сразу двух препаратов было обнаружено, что предварительное введение пропранолола лишь частично блокирует тахикардический эффект изадрина, а в условиях гипоксии, при кратковременной экспозиции животных на «высоте» 8500—9000 м, ЭЭГ была менее синхронизированной, при этом раздражение гипоталамуса давало выраженную реакцию активации.

В том случае, когда пропранолол вводили на фоне действия изадрина, происходило обратное — резкое уменьшение тахикардического воздействия и полное отсутствие реакции активации на раздражение гипоталамуса во время кратковременного пребывания животных на «высоте» 8500—9000 м, т. е. почти полное блокирование эффекта изадрина.



ваний

ие гипоталамуса вызывало также незначительное учащеподобные сдвиги сердечной деятельности. Были описаны также дружественные острой гипоксии, наступала активация ЭЭГ и сокращений; раздражение гипоталамуса. Сразу после «подъема» (до 8500—9000 м) сердечный ритм развивался медленный высокочастотный гипоталамус не оказывавший полушарий (рис. 1,2). На максимальной высоте на максимальной высоте синхронизированной, а сердечных сокращений в этот момент раздражения реакции активации и гипоталамуса вызывало раздражение гипоталамуса не оказывавший полушарий (рис. 1,2).

Исследования были проведены на животных. Так, введение  $\beta$ -адреномиметиков животных вызывало раздражение гипоталамуса не оказывавший полушарий (рис. 1,5). На максимальной высоте на максимальной высоте синхронизированной, а сердечных сокращений в ответ на действие препарата, на ЭЭГ

дельта-волны, при этом активации (рис. 1,5). Животных на этой «высоте» не заметного уменьшения гипоталамуса давало кцию активации (рис. 1,6). Сердечных сокращений в ответ

пропранолола до «подъема» сердечного ритма, а фоном на высоте 8500—9000 м и кратковременной ЭЭГ продолжала оставаться у больных животных, раздраженного действия (рис. 2,6). У двух препаратов было пропранолола лишь частична, а в условиях гипоксии, на «высоте» 8500—9000 м, в том раздражение гипоталамуса или на фоне действия изанчашение тахикардического активации на раздражение при пребывания животных на блокировании эффекта

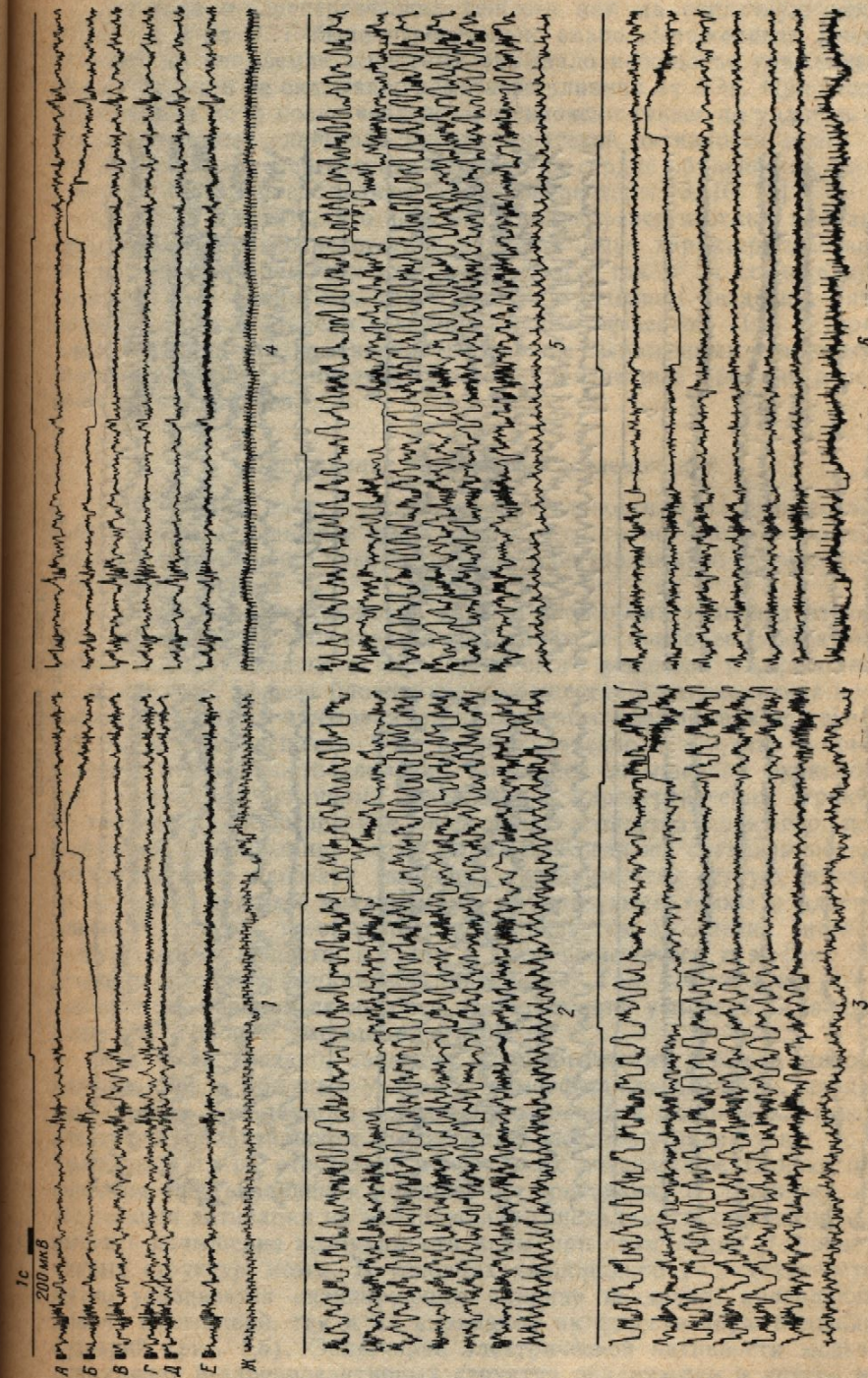


Рис. 1. Влияние изадрина на ЭЭГ и ЭКГ при гипоксии.  
1, 2, 3 — до введения препарата; 2 — до «подъема»; 3 — на «высоте» 8500—9000 м; 4, 5 — при кратковременной экспозиции на «высоте» 8500—9000 м, 6 — после кратковременной экспозиции на «высоте» 8500—9000 м. В каждой записи  $A$ ,  $B$ ,  $C$ ,  $D$ ,  $E$  — высочайшая,  $B$  — затычная,  $B$  — сенсомоторная,  $D$  — высочайшая,  $E$  — затычная, инспираторные;  $X$  — ЭКГ. На первой линии сверху — момент раздражения.

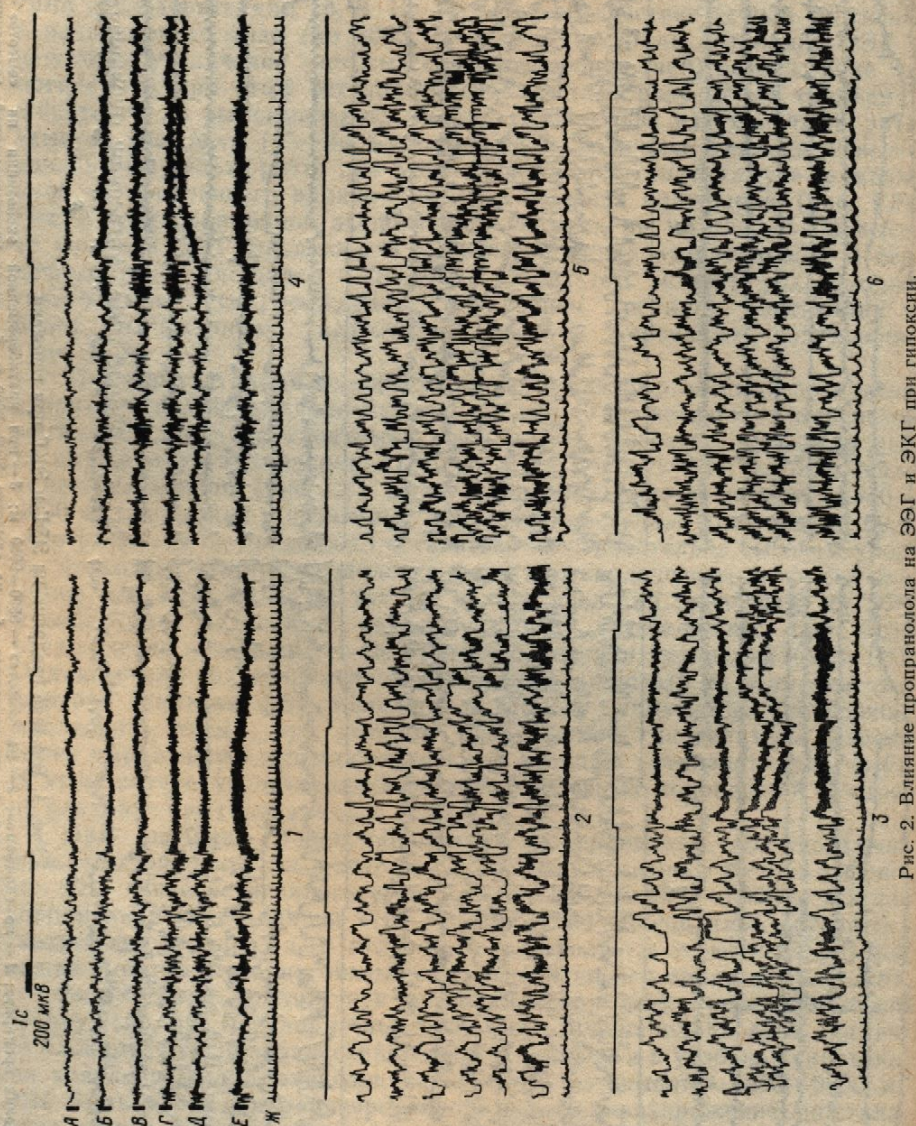


Рис. 2. Влияние пропранолола на ЭЭГ и ЭКГ при гипоксии.  
Обозначения см. рис. 1.

Действие  $\alpha$ -адренергичности, так и на ЭЭГ было мезатона до «подъема» ждечного ритма и не оказывало фентоламина до и после вручить заметных сдвигов бый эффект  $\alpha$ -адренергиче тем, что в сердце преоблад

Следует отметить, что через хемитрод непосредственность был таким же, состояла лишь в степени говом введении эти измене настоящей работе привод введении препаратов.

#### Обсужде

Характерные сдвиги тивности мозга в разные говорить об изменении чув адренорецепторов.

Следует указать также на давления прослежи действию возбуждающего ка изадрина. А эффект блокола повышается в условиях адренергических веществ. условиях атмосферного давления на организм не так велики, и выделен эффект их блокирования дополнительную нагрузку то наряду с другими механические структуры, по-видимому, возбуждающих веществ, в результате влияния экзоген повышенной нервной активации их, наоборот, уменьшается.

Как было указано, в находящимся в обычных характеристиках для данного электрической активности было говорить об отсутствии гипоксии, предъявляющая же реакция активации на выявить повышение возбудимых структур мозга. Естественно усиливается активность как на спонтанной, так и вспышкой (рис. 1, 6). Облегчение стимуляции  $\beta$ -адренорецепторов [5, 14, 15].

Отсутствие заметных

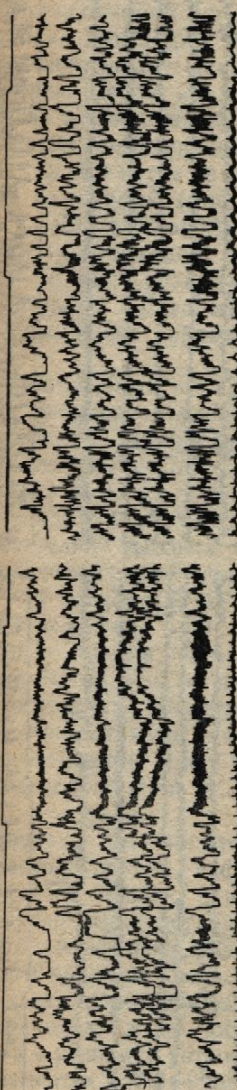


Рис. 2. Влияние пропранолола на ЭЭГ и ЭКГ при гипоксии.  
Обозначения см. рис. 1.

Действие  $\alpha$ -адренергических веществ как на сердечную деятельность, так и на ЭЭГ было относительно слабо выраженным. Введение мезатона до «подъема» животных вызывало небольшое урежение сердечного ритма и не оказывало заметного влияния на ЭЭГ. При введении фентоламина до и после воздействия гипоксии также не удалось обнаружить заметных сдвигов в биоэлектрической активности мозга. Слабый эффект  $\alpha$ -адренергических веществ на сердце объясняется, видимо, тем, что в сердце преобладают  $\beta$ -адренорецепторы [3, 16, 18].

Следует отметить, что при введении адренергических препаратов через хемитрод непосредственно в гипоталамус характер действия их как на биоэлектрическую активность мозга, так и на сердечную деятельность был таким же, как и при внутривенном введении, разница состояла лишь в степени вызываемых ими эффектов. При внутримозговом введении эти изменения были менее выражеными, поэтому и в настоящей работе приводятся данные, полученные при внутривенном введении препаратов.

#### Обсуждение результатов исследований

Характерные сдвиги сердечной деятельности и электрической активности мозга в разные фазы гипоксического воздействия позволяют говорить об изменении чувствительности центральных и периферических адренорецепторов.

Следует указать также на то, что в обычных условиях атмосферного давления прослеживается тенденция к наиболее эффективному действию возбуждающего адренергического вещества  $\beta$ -адреномиметика изадрина. А эффект блокирующего вещества  $\beta$ -адренолитика пропранолола повышается в условиях гипоксического воздействия при введении адренергических веществ. Это, видимо, связано с тем, что в обычных условиях атмосферного давления, когда нет повышенной функциональной нагрузки на организм, требования к адренергическим структурам не так велики, и выделение эндогенных агонистов понижено, потому эффект их блокирования слабо выражен. Когда же организм переносит дополнительную нагрузку (в наших экспериментах острую гипоксию), то наряду с другими механизмами мобилизуются также и адренергические структуры, по-видимому, увеличивается выделение эндогенных возбуждающих веществ, в связи с этим повышается и эффект блокирующего влияния экзогенных препаратов. Так установлено, что при повышенной нервной активности синтез аминов усиливается, а инактивация их, наоборот, уменьшается [20].

Как было указано, введение адренергических веществ животным, находящимся в обычных условиях атмосферного давления, не давало характерных для данного вещества изменений в фоновой картине биоэлектрической активности. Если судить по этому показателю, то надо было говорить об отсутствии эффекта их воздействия. Однако острая гипоксия, предъявляющая повышенные требования к организму, а также реакция активации на раздражение гипоталамуса дали возможность выявить повышение возбудимости коры при стимуляции  $\beta$ -адренореактивных структур мозга. В условиях кислородной недостаточности заметно усиливается активирующее влияние изадрина, проявляющееся как на спонтанной, так и на вызванной активности коры больших полушарий (рис. 1, б). Облегчение электрической активности мозга при стимуляции  $\beta$ -адренореактивных структур обнаружили и другие исследователи [5, 14, 15].

Отсутствие заметных изменений фоновой электрической актив-

ности коры больших полушарий при сопутствующих выраженных изменениях частоты сердечного ритма на введение  $\beta$ -адренергических веществ, несомненно, связано с выраженным периферическим влиянием этих препаратов на  $\beta$ -адренорецепторы миокарда. Более выраженная модуляция исходящего разряда по сравнению с восходящим разрядом гипоталамуса при введении  $\beta$ -адренергических веществ, видимо, связана с тем, что в нормальных условиях адренергические структуры гипоталамуса являются более важными для реализации исходящих влияний на вегетативные центры ствола мозга и спинного мозга, чем для активации коры больших полушарий [2].

При сравнительном анализе влияния  $\alpha$ - и  $\beta$ -адренергических и адреноблокирующих веществ на ЭЭГ коры мозга показано более выраженное влияние  $\beta$ -адренергических препаратов. Возможно, восходящие норадренергические пути гипоталамуса [21] реализуют свое активирующее влияние через  $\beta$ -адренергические нейроны коры. Об этом свидетельствуют данные по локализации  $\beta$ -адренорецепторов в коре мозга [19].

### Выводы

1. В условиях кислородной недостаточности возбуждающее действие изадрина и особенно тормозящее влияние пропранолола на биоэлектрическую активность мозга выражены сильнее, чем в условиях обычного атмосферного давления.

2. В условиях обычного атмосферного давления эффект воздействия изадрина как возбуждающего средства и на биоэлектрическую активность мозга, и особенно на сердечную деятельность, выше, чем тормозящих средств. В условиях гипоксии значительно повышается также тормозящее влияние  $\beta$ -адреноблокатора пропранолола на эти показатели.

3. Влияние  $\alpha$ -адренергических веществ по сравнению с  $\beta$ -адренергическими препаратами как на сердечную деятельность, так и на биоэлектрическую активность мозга менее выражено.

N. S. Акоруап, O. G. Baklavadzhyan, G. S. Vartanyan,  
S. K. Ogurtsyan

### EFFECT OF ADRENERGIC SUBSTANCES ON THE CARDIAC RHYTHM AND ELECTRICAL ACTIVITY OF THE BRAIN IN RABBITS UNDER HYPOXIA

#### Summary

The paper deals with the effect of  $\alpha$ - and  $\beta$ -adrenergic substances on the cardiac rhythm and electrical activity of the brain under conditions of hypoxia.  $\beta$ -adrenergic preparations are shown to have a stronger influence on these parameters. The action of neopinephrine is more pronounced before «lifting», while that of propranolol increases under «height» conditions. Neopinephrine was found to have a stimulating effect on the cerebral cortex under conditions of hypoxia.

Department of Physiology,  
State University, Yerevan

### Список литературы

1. Александровская М. М., Гейнисман Ю. Я., Самойлова Л. Г. Морфологические данные к анализу механизма действия аминалазина на центральную нервную систему.—Журн. высш. нерв. деятельности, 1964, 14, вып. 5, с. 911—919.

2. Баклаваджян О. Г. Вегетативная система. Наука, 1967. 203 с.
3. Бегека А. Д., Косенко А. Ф. Нервные системы в передаче гипоталамической информации. Проблемы физиологии гипоталамуса. Труды конференции. М., 1974, 37, № 3, с. 319—325.
4. Бекетов А. И., Гусев Г. Ф. Вегетативная и кислотно-щелочная регуляция. Биология, 1974, 37, № 3, с. 319—325.
5. Бендиков Э. А., Бутузов В. И. Вегетативные и центральные процессы регуляции. Биология, 1969, 32, № 6, с. 678—682.
6. Борисюк М. В. Характеристика транспорта кислорода при эпилептическом приступе.—В кн.: Физиология человека и животного к гипоксии. Справочник. М., 1970, 1, с. 302—306.
7. Голубева И. В. Влияние катехоламинов на адренергическую систему. В кн.: Влияние катехоламинов на адренергическую систему. М., 1970, 1, с. 302—306.
8. Голубева И. В. К сравнению на сосуды малого круга кровообращения. В кн.: Физиология человека и животного к гипоксии. Справочник. М., 1970, 1, с. 578—580.
9. Дорогова М. И. Изучение рефлексов, вызванных раздражением гипоталамуса. В кн.: Рефлексы гипоталамуса. Всесоюз. конф. по физиологии гипоталамуса. М., 1966, 1, с. 108—110.
10. Дугин С. Ф., Самонина Г. Е. Регуляция сердца.—В кн.: Методы изучения гипоталамической нервной системы. М., 1966, 1, с. 108—110.
11. Ильюченок Р. Ю. Нейрогуморальная регуляция мозга. М.: Наука, 1965. 75 с.
12. Кожечкин С. Н. Микронормирование нейронов зрительного нерва. В кн.: Микронормирование нейронов зрительного нерва. М., 1965, № 5, с. 549—551.
13. Косенко А. Ф., Бегека А. Д. Вегетативные и центральные процессы в передаче гипоталамических сигналов. В кн.: Четвертый Всесоюз. конф. по физиологии гипоталамуса. М., 1976, с. 162—165.
14. Лосев Н. А., Бородкин Ю. С. Влияние ряда адренергических средств на сердце и кровообращение при гипоксии мозга.—Фармакология и экспериментальная медицина, 1976, № 4, с. 510—515.
15. Манухин Б. Н., Волина Е. Б. Влияние различных адренергических средств на сердце и кровообращение при гипоксии мозга.—Фармакология и экспериментальная медицина, 1977, № 1, с. 510—515.
16. Манухин Б. Н., Волина Е. Б. Влияние различных адренергических средств на сердце и кровообращение при гипоксии мозга.—Фармакология и экспериментальная медицина, 1977, № 1, с. 510—515.
17. Майер Дж. С., Отт Э. О. Адренергическая регуляция сердца.—В кн.: Адренергическая регуляция сердца. М., 1976, № 10, с. 1518—1523.
18. Теплов С. И., Балуева Т. В. Влияние гипоксии на сердце и кровообращение.—В кн.: Влияние гипоксии на сердце и кровообращение. М., 1976, с. 231—239.
19. Atlas D., Sagal M. Simultaneous recordings of adrenoreceptors in pre- and postganglionic sympathetic fibers. J. Physiol. (Lond.), 1977, 274, p. 347—350.
20. Haggendal G., Malmfors F. T. Effect of propranolol on the release of norepinephrine into the adrenergic nerve terminals. Acta physiol. scand., 1971, suppl. 409, p. 28—32.
21. Ungerstedt U. Stereotaxic microdissection of the rat brain. Acta physiol. scand., 1971, suppl. 409, p. 33—38.

Кафедра физиологии  
Ереванского университета

тствующих выраженных извведение  $\beta$ -адренергических м периферическим влиянием иокарда. Более выраженнаянию с восходящим разрядомских веществ, видимо, связаннынергические структуры гиля реализации нисходящих мозга и спинного мозга, чем 2].

$\alpha$ - и  $\beta$ -адренергических и мозга показано более выаратов. Возможно, восходяа [21] реализуют свое актии нейроны коры. Об этом  $\beta$ -адренорецепторов в коре

ности возбуждающее действие пропранолола на био- сильнее, чем в условиях

давления эффект воздейст- и на биоэлектрическую ак- о деятельность, выше, чем и значительно повышается тора пропранолола на эти

по сравнению с  $\beta$ -адренер- деятельность, так и на био- ажено.

n, G. S. Vartanyan,

S ON THE CARDIAC  
ITY OF THE BRAIN  
POXIA

energic substances on the cardiac  
nditions of hypoxia.  $\beta$ -adrenergic  
n these parameters. The action of  
hile that of propranolol increases  
o have a stimulating effect on the

рова Л. Г. Морфологические дан- центральную нервную систему.— 911—919.

2. Баклаваджян О. Г. Вегетативная регуляция электрической активности мозга. Л.: Наука, 1967. 203 с.
3. Бегека А. Д., Косенко А. Ф. Об участии симпатической и парасимпатической нервной системы в передаче гипоталамических влияний на деятельность сердца.— В кн.: Проблемы физиологии гипоталамуса. Киев, 1978, с. 55—60.
4. Бекетов А. И., Гусев Г. Ф. Влияние изадрина и индерала на кровоснабжение, кислородный и кислотно-щелочной баланс головного мозга.— Фармакология и токсикология, 1974, 37, № 3, с. 319—325.
5. Бендиков Э. А., Бутузов В. Г., Мирзоян Р. С. О механизме действия пропранолола на центральные процессы регуляции кровообращения.— Фармакология и токсикология, 1969, 32, № 6, с. 678—682.
6. Борисюк М. В. Характеристика адаптивно-приспособительных реакций в системе транспорта кислорода при электрической стимуляции эмоциогенных структур гипоталамуса.— В кн.: Физиологические и клинические проблемы адаптации организма человека и животного к гипоксии, гипертермии, гиподинамии и неспецифические средства восстановления. М., 1978, с. 119—125.
7. Голубева И. В. Влияние катехоламинов на кислородный обмен при изменении тонуса адренергической системы.— Фармакология и токсикология, 1972, 35, № 3, с. 302—306.
8. Голубева И. В. К сравнительной характеристике влияния адренергических веществ на сосуды малого круга кровообращения.— Фармакология и токсикология, 1967, 30, № 5, с. 578—580.
9. Дорохова М. И. Изучение центральных адренергических механизмов сосудистых реакций, вызванных раздражением гипоталамуса.— В кн.: Материалы четвертой Всесоюз. конф. по физиологии вегетативной нервной системы. Ереван, 1976, с. 108—110.
10. Дугин С. Ф., Самонина Г. Е. Взаимоотношение симпатической и парасимпатической регуляции сердца.— В кн.: Материалы четвертой Всесоюз. конф. по физиологии вегетативной нервной системы. Ереван, 1976, с. 110—115.
11. Ильюченок Р. Ю. Нейрогуморальные механизмы ретикулярной формации ствола мозга. М.: Наука, 1965. 75 с.
12. Комячкин С. Н. Микронофоретическое изучение влияния норадреналина на активность нейронов зрительной коры кролика.— Фармакология и токсикология, 37, № 5, с. 549—551.
13. Косенко А. Ф., Бегека А. Д. К вопросу об участии симпатической нервной системы в передаче гипоталамических влияний на деятельность сердца.— В кн.: Материалы четвертой Всесоюз. конф. по физиологии вегетативной нервной системы. Ереван, 1976, с. 162—165.
14. Лосев Н. А., Бородкин Ю. С. Электроэнцефалографический анализ прямого влияния ряда адренергических средств на нейронные популяции ретикулярной формации среднего мозга.— Фармакология и токсикология, 1972, 35, № 5, с. 549—552.
15. Лосев Н. А., Мясникова Е. М. О функциональном значении  $\alpha$ - и  $\beta$ -адренорецепторов в структурах стриопалладиарной системы.— Физиол. журн. СССР, 1976, 62, № 4, с. 510—515.
16. Манухин Б. Н., Волина Е. В., Мелентева А. А. Захват норадреналина — Н<sup>3</sup> изолированными органами крыс при блокаде и активации адренорецепторов.— Физиол. журн. СССР, 1977, 63, № 1, с. 79—85.
17. Майер Дж. С., Отт Э. О., Аояти М., Кавамура И. Двойная — холинергическая и адренергическая регуляция мозгового кровотока.— Физиол. журн. СССР, 1975, 61, № 10, с. 1518—1523.
18. Теллов С. И., Балуева Т. В. О расширении коронарных сосудов при общем рефлекторном торможении сосудистого тонуса.— Физиол. журн. СССР, 1972, 58, № 2, с. 231—239.
19. Atlas D., Sagal M. Simultaneous visualization of noradrenergic fibers and  $\beta$ -adrenoreceptors in pre- and postsynaptic regions in rat brain.— Brain Res., 1977, 135, N 2, p. 347—350.
20. Haggendal G., Malmfors F. The effect of nerve stimulation on the uptake of norepinephrine into the adrenergic nerve terminals.— Acta physiol. scand., 1969, 75, N 1, p. 28—32.
21. Ungerstedt U. Stereotaxic mapping of the monoamine pathways in the rat brain.— Acta physiol. scand., 1971, suppl. 367, 82, N 1, p. 1—29.

Кафедра физиологии  
Ереванского университета

Поступила в редакцию  
3.IV 1980 г.

УДК 616.12—068.46—07—039.11

Э. Ф. Баринов

## ДИАГНОСТИКА СКРЫТОЙ НЕДОСТАТОЧНОСТИ СЕРДЕЧНОГО ТРАНСПЛАНТАТА ПРИ БИОЛОГИЧЕСКОЙ КОНСЕРВАЦИИ

Нами ранее было показано, что в течение первых 60—180 мин аутоперфузии сердечно-легочного препарата (СЛП) представлялось возможным, по комплексной оценке состояния физиологических и биохимических критериев, оценить исходную функциональную активность сердца, изъятого из организма донора, и отдифференцировать группу трансплантатов, которую можно рекомендовать для дальнейшей биологической консервации [2]. В то же время, как показали предшествующие исследования [3, 11, 12], в процессе самой консервации (к 6 ч) может произойти нарушение функционального состояния трансплантата, однако зарегистрировать развитие скрытой сердечной недостаточности в большинстве экспериментов не удавалось.

Для уточнения характера нарушений функциональной активности трансплантата, возникающих в процессе консервации, и оценки его компенсаторных возможностей мы провели изучение ответной реакции левого желудочка СЛП на дозированную нагрузку сопротивлением через 4—5 ч аутоперфузии, т. е. когда наблюдалась стабилизация кардиодинамики и не было данных, свидетельствующих о возникновении сердечной недостаточности.

### Методика исследований

Функционирующий СЛП выделяли из грудной клетки по [15]. Специфику изменений гемодинамики при аутоперфузии изучали методом разведения красителя Т-1824 и катетеризации различных отделов сердца, ствола легочной артерии и восходящей части аорты. Кровяное давление регистрировали с помощью электроманометра с записью на шестиканальном полиграфе «б НЕК-401». Определяли и рассчитывали следующие показатели гемодинамики: МОС — минутный объем сердца, мл/мин; УО — ударный объем, мл; ОЦК — объем циркулирующей крови, мл;  $+dp/dt_{max}$  — максимальную скорость повышения внутрижелудочкового давления, кПа/с, индекс сократимости Зонненблока — ИС,  $s^{-2}$  и индекс расслабления Меерсона — ИР,  $s^{-1}$ .

Фазовый анализ систолы левого желудочка осуществляли по кривым давления, полученным во время катетеризации сердца. Изучали следующие компоненты систолы:  $T$  — период напряжения, с ( $A_s$  — фазу преобразования и  $I_c$  — изометрического сокращения, с),  $E_0$  — период изгнания, с ( $E_m$  — фазу максимального и  $E_p$  — редуцированного изгнания, с),  $S_m$  — механическую систолу. Комплексные показатели (ВСП — внутрисистолический показатель, % и ИНМ — индекс напряжения миокарда, %) рассчитывали по формулам [5]. Поскольку нас интересовала диагностика скрытой сердечной недостаточности, связанной с процессом консервации, а не изоляции СЛП, то для анализа была отобрана группа трансплантатов, у которых при нагрузочных пробах на ранних этапах аутоперфузии данная патология была исключена. С целью ранней диагностики левожелудочковой недостаточности проводили исследование ответной реакции левого желудочка СЛП на дозированную нагрузку сопротивлением [1] через 4—5 ч консервации. Изменяя сопротивление артериальной магистрали, соединяющей «гемобаростат» с другой аортой, путем повышения давления на 35—45 %, создавали на левый желудочек рабочую нагрузку. Сопротивление рассчитывали по уравнению:  $R = P/Q$ , где  $R$  — сопротивление,  $P$  — среднее аортальное давление;  $Q$  — ударный объем сердца.

### Результаты исследований и их обсуждение

По результатам реакции параметров гемодинамики и сократительной способности миокарда левого желудочка все трансплантаты были разделены на две группы (см. таблицу).

### Сравнительные результаты

#### Исследуемые показатели

Период преобразования,  $A_s$ , сПериод изометрического сокращения,  $I_c$ , сФаза напряжения,  $T$ , сПериод максимального изгнания,  $E_m$ , сПериод редуцированного изгнания,  $E_p$ , сФаза изгнания,  $E_0$ , сМеханическая систола,  $S_m$ , с

Коэффициент Блюмбергера,

Внутрисистолический показатель ВСП, %

Индекс напряжения миокарда ИНМ, %

Максимальная скорость повышения внутрижелудочкового давления  $+dp/dt_{max}$ , кПаИндекс сократимости Зонненблока ИС,  $s^{-2}$ Индекс расслабления Меерсона ИР,  $s^{-1}$ 

Частота сердечных сокращений ЧСС, уд/мин

Систолическое давление в левом желудочке,  $P_{l, ж}$ , кПа

Конечно-диастолическое давление в левом желудочке, LVEDP

Ударный объем, УО, мл

Минутный объем сердца, мл/мин

Ударная работа левого желудочка УРЛЖ, г·м

## Диагностика скрытой недостаточности

## НЕДОСТАТОЧНОСТИ ПЛАНТАТА КОНСЕРВАЦИИ

течение первых 60—180 мин рата (СЛП) представлялось явления физиологических и биофункциональную активность отдифференцировать группу для дальнейшей биологии, как показали предшествующей самой консервации (к 6 ч) состояния трансплантированной сердечной недостаточности.

функциональной активности консервации, и оценки его изучение ответной реакции на нагрузку сопротивлением наблюдалась стабилизация кардиальных о возникновении

### заний

клетки по [15]. Специфику изменением разведения красителя T-1824 в легочной артерии и восходящей помостью электроманометра с за-

Определяли и рассчитывали сле-  
ный объем сердца, мл/мин; УО —  
крови, мл;  $+dp/dt_{max}$  — максималь-  
ное давление, кПа/с, индекс сократимости — ИР,  $s^{-1}$ .  
Участвовали по кривым давления, и следующие компоненты систолы:  $I_c$  — изометрического сокращения и  $E_p$  — редуцированных показатели (ВСП — внутреннее давление сердца, %) рассчитывали

стрика скрытой сердечной недостаточности СЛП, то для анализа были грузочных пробах на ранних этапах. С целью ранней диагностики лекарство отвечать реакции левого желудочка [1] через 4—5 ч консервации, соединяющей «гемобаростат» 5%, создавали на левый желудочек уравнению:  $R = P/Q$ , где  $R$  — ударный объем сердца.

### обсуждение

модинамики и сократитель-  
ка все транспланты были

Сравнительные результаты ответной реакции левого желудочка СЛП на нагрузку сопротивлением ( $M \pm m$ )

Исследуемые показатели	Группы СЛП			
	I		II	
	исходный уровень	во время нагрузки	исходный уровень	во время нагрузки
Период преобразования, $A_s$ , с	$0,028 \pm 0,001$	$0,028 \pm 0,001$	$0,031 \pm 0,002$	$0,035 \pm 0,002$
$p$				$<0,05$
Период изометрического сокращения, $I_c$ , с	$0,042 \pm 0,002$	$0,035 \pm 0,002$	$0,048 \pm 0,004$	$0,065 \pm 0,003$
$p$		$>0,02$		$<0,01$
Фаза напряжения, $T$ , с	$0,070 \pm 0,001$	$0,063 \pm 0,002$	$0,080 \pm 0,004$	$0,100 \pm 0,003$
$p$		$<0,01$		$<0,01$
Период максимального изгнания, $E_m$ , с	$0,120 \pm 0,001$	$0,116 \pm 0,003$	$0,121 \pm 0,002$	$0,138 \pm 0,002$
$p$		$>0,1$		$<0,001$
Период редуцированного изгнания, $E_p$ , с	$0,071 \pm 0,001$	$0,087 \pm 0,004$	$0,069 \pm 0,002$	$0,073 \pm 0,003$
$p$		$<0,01$		$>0,1$
Фаза изгнания, $E_o$ , с	$0,191 \pm 0,001$	$0,203 \pm 0,002$	$0,190 \pm 0,003$	$0,211 \pm 0,003$
$p$		$<0,001$		$<0,01$
Механическая систола, $S_m$ , с	$0,233 \pm 0,005$	$0,238 \pm 0,009$	$0,238 \pm 0,003$	$0,275 \pm 0,005$
$p$		$>0,1$		$<0,001$
Коэффициент Блюмбергера, $K$ , с	$2,73 \pm 0,11$	$3,22 \pm 0,12$	$2,39 \pm 0,10$	$2,11 \pm 0,09$
$p$		$<0,01$		$<0,05$
Внутрисистолический показатель, ВСП, %	$82,0 \pm 0,80$	$85,3 \pm 1,0$	$79,8 \pm 1,1$	$76,7 \pm 0,71$
$p$		$<0,05$		$<0,05$
Индекс напряжения миокарда, ИНМ, %	$30,0 \pm 0,77$	$26,4 \pm 1,3$	$33,6 \pm 1,0$	$36,4 \pm 0,81$
$p$		$<0,05$		$<0,05$
Максимальная скорость повышения внутрижелудочкового давления, $+dp/dt_{max}$ , кПа	$210,8 \pm 11,3$	$249,4 \pm 7,7$	$208,4 \pm 0,4$	$174,0 \pm 1,0$
$p$		$<0,02$		$<0,05$
Индекс сократимости Зонненблока, ИС, $s^{-2}$	$802,9 \pm 43,4$	$973,4 \pm 33,3$	$800,7 \pm 51,0$	$558,8 \pm 59,7$
$p$		$<0,01$		$<0,02$
Индекс расслабления Meersona, ИР, $s^{-1}$	$18,2 \pm 0,65$	$21,7 \pm 1,1$	$17,5 \pm 1,0$	$12,8 \pm 1,2$
$p$		$<0,02$		$<0,02$
Частота сердечных сокращений, ЧСС, уд/мин	$78,0 \pm 5,2$	$96,0 \pm 5,5$	$78,0 \pm 5,0$	$83,0 \pm 6,3$
$p$		$<0,05$		$>0,1$
Систолическое давление в левом желудочке, $P_L$ , кПа	$13,0 \pm 0,8$	$19,1 \pm 1,2$	$12,8 \pm 1,1$	$13,4 \pm 0,9$
$p$		$<0,001$		$>0,1$
Конечно-диастолическое давление в левом желудочке, LVEDP, кПа	$1,13 \pm 0,04$	$1,33 \pm 0,07$	$1,16 \pm 0,03$	$1,36 \pm 0,08$
$p$		$<0,02$		$<0,05$
Ударный объем, УО, мл	$3,33 \pm 0,27$	$2,89 \pm 0,34$	$3,31 \pm 0,20$	$2,32 \pm 0,23$
$p$		$>0,1$		$<0,02$
Минутный объем сердца, МОС, мл/мин	$260,0 \pm 20,0$	$278,0 \pm 23,0$	$262,0 \pm 18,0$	$195,0 \pm 20,0$
$p$		$>0,1$		$<0,05$
Ударная работа левого желудочка, УРЛЖ, г·м	$4,38 \pm 0,02$	$5,61 \pm 0,07$	$4,36 \pm 0,09$	$3,2 \pm 0,05$
$p$		$<0,001$		$<0,001$

В I группу вошли 9 трансплантатов. Особенности реакции левого желудочка на нагрузку сводились к увеличению частоты сердечного ритма на 23,1 %, сокращению длительности фазы напряжения на 10 % и некоторому удлинению фазы изгнания (на 6,3 %). Во время нагрузки длительность периода преобразования практически не изменялась. Период изометрического сокращения и показатель  $I_c/A_s$  уменьшились, по сравнению с исходным уровнем соответственно на 16,7 и 16,5 %, что объясняется способностью сердца быстро, за очень короткий промежуток времени повысить внутрижелудочковое давление до величины, превышающей диастолическое давление в аорте. Удлинение периода изгнания левого желудочка во время нагрузки обусловлено изменением условий гемодинамики в «большом» круге кровообращения (увеличение сопротивления току крови в артериальной магистрали СЛП приводило к затруднению изгнания), и его не следует рассматривать как показатель ослабления сократительной функции миокарда. Подтверждением сказанного является увеличение  $+dp/dt_{max}$  на 18,2 %.

Повышение максимальной скорости нарастания внутрижелудочкового давления и уменьшение длительности периода изометрического сокращения свидетельствуют о достаточной сократительной функции миокарда левого желудочка и его резервной возможности [5, 13]. Длительность периода максимального изгнания сохранялась или несколько снижалась (на 3,4 %), редуцированного изгнания — увеличивалась на 22,5 %. В результате отношение этих двух показателей ( $E_m/E_p$ ) уменьшалось до 1,33, в то время как в исходном состоянии  $E_m/E_p = 1,69$ . По-видимому, это объясняется тем, что в исследованных трансплантатах не имелось признаков развивающейся сердечной недостаточности. Индекс напряжения миокарда уменьшался на 12 %, а внутрисистолический показатель и коэффициент Блюмбергера увеличивались соответственно на 4,9 и 17,9 %.

Как видно из таблицы, в среднем по группе отмечалось увеличение конечного диастолического давления на 17,6 %, однако это являлось результатом адаптации сердца к нагрузке, а не признаком слабости (или снижения) сократимости миокарда, поскольку, как уже отмечалось, параллельно растет  $+dp/dt_{max}$ . Кроме того, систолическое давление в желудочке увеличивалось на 47,2 %, индексы сократимости и раслабления возрастили соответственно на 19,2 и 23,1 %, а ударная работа левого желудочка повышалась на 28,1 %.

Отмеченные изменения показателей функционального состояния сердца, согласно существующим представлениям, свидетельствуют об усилении сократительной способности и достаточных резервных возможностях миокарда левого желудочка в условиях адаптации к нагрузке [4, 8, 13].

Во II группу вошло 5 трансплантатов, их реакция на нагрузку существенно отличалась от реакции в I группе. Отмечалось незначительное учащение ритма — всего на 9 % ( $p > 0,1$  разница по сравнению с исходным уровнем статистически недостоверна). Длительность фазы напряжения оказалась отчетливо увеличенной (на 25 %), по сравнению с исходной величиной, причем главным образом за счет увеличения продолжительности периода изометрического сокращения (на 35,4 %). Период преобразования левого желудочка также увеличивался на 9,4 %, отношение длительности этих периодов ( $I_c/A_s$ ) составляло 1,85, что больше этого показателя до нагрузки —  $I_c/A_s = 1,5$ . Длительность фазы изгнания левого желудочка также увеличивалась на 11,1 %, а соотношение составляющих ее периодов было  $E_m/E_p = 1,89$ , что несколько превышало исходную величину  $E_m/E_p = 1,75$ . По-видимому, увели-

чение длительности периода изгнания, а также показатели как критерии перегрузки же сти. Кроме того, отмечалось ИНМ на 8,3 % и понижение замедление максимального давления на 16,6 % и на достаточно высоком уровне желудочек создавалось за и щения. Как только во время необходи мого давления изометрического сокращения рушения сократительной фун

Индекс расслабления — слабления, был уменьшен на лении, что и показатели ско сдвиг может свидетельствовать мощности кальциевого насос связей, т. е. подтверждает ра

Исследование гемодинам в желудочке существенно не как конечное диастолическое объем сердца уменьшался в ско больше — на 30 %. Уменьжалось снижением ударной явленный тип реакции левого ятый и рассматривали как достаточности на фоне сниж

1. Наблюдение за измене дить о функциональном состо своеевременно зарегистрирова недостаточности. Подтвердите лишь, изучив ответную реакцию пробу.

2. Увеличение во время нечного диастолического давления максимальной скорости пов индекса сократимости и рас точности сократительной спос

#### DIAGNOSIS OF CARDIAC FAILURE UNDER BIOLOGICAL TRANSPLANTATION

When studying the functional to find a latent left ventricular failure in cardiac transplant functional state disorders pacity, a study was made of the response of the heart to resistance-induced damped load parameters and left ventricle myocardial function in cardiac transplant latent failure.

Medical Institute, Donetsk

3. Особенности реакции левого сердца на увеличению частоты сердечного ритма фазы напряжения на гнания (на 6,3 %). Во время зования практически не изменения и показатель  $I_c/A_s$  уменьшением соответственно на 16,7 и 10,5 %. Сердце быстро, за очень короткий промежуток времени, давление до давления в аорте. Удлинение времени нагрузки обусловлено «большим» кругом кровообращения артериальной магистрали СЛП. Поэтому не следует рассматривать функцию миокарда. Повышение  $+dp/dt_{max}$  на 18,2 %. Нарастание внутрижелудочковой силы периода изометрической сократительной функции первой возможности [5, 13]. Гнания сохранялись или небольшого изгнания — увеличение этих двух показателей как в исходном состоянии, так и в исследованных развивающейся сердечной недостаточности уменьшился на 12 %, а пациент Блюмбергера увеличил

руппе отмечалось увеличение 17,6 %, однако это являлось не признаком слабости поскольку, как уже отмечало того, систолическое давление индексы сократимости и расширения 9,2 и 23,1 %, а ударная раковина.

функционального состояния лениям, свидетельствуют об достаточных резервных возможностях адаптации к нагрузкам.

и, их реакция на нагрузку выше. Отмечалось незначительное (на 25 %), по сравнению с верной). Длительность фазы ой (на 25 %), по сравнению бразом за счет увеличения го сокращения (на 35,4 %).  
также увеличивался на  $I_c/A_s$ ) составляло 1,85, —  $I_c/A_s = 1,5$ . Длительность величивалась на 11,1 %, а  $E_m/E_p = 1,89$ , что неско-  
 $= 1,75$ . По-видимому, увели-

чение длительности периодов изометрического сокращения и быстрого изгнания, а также показателей  $I_c/A_s$  и  $E_m/E_p$ , следует рассматривать как критерии перегрузки желудочка и свидетельство его недостаточности. Кроме того, отмечалось удлинение механической систолы на 15,5 %, ИНМ на 8,3 % и понижение ВСП на 3,9 %. Обращает на себя внимание замедление максимальной скорости повышения внутрижелудочкового давления на 16,6 % и ИС на 30,3 %. До нагрузки  $+dp/dt_{max}$  была на достаточно высоком уровне, поэтому необходимое давление в левом желудочке создавалось за нормальный период изометрического сокращения. Как только во время нагрузки  $+dp/dt_{max}$  снижалось, достижение необходимого давления обеспечивалось за счет удлинения периода изометрического сокращения. Эта зависимость является признаком нарушения сократительной функции миокарда [7, 9, 10, 14].

Индекс расслабления — параметр, характеризующий процесс расслабления, был уменьшен на 26,6 %, т. е. изменялся в том же направлении, что и показатели скорости сокращения ( $IS$ ,  $+dp/dt_{max}$ ). Этот сдвиг может свидетельствовать о снижении при адаптации к нагрузке мощности кальциевого насоса и темпа ликвидации актомиозиновых связей, т. е. подтверждает развитие недостаточности миокарда [8].

Исследование гемодинамики показало, что систолическое давление в желудочке существенно не изменилось ( $105\% ; p>0,1$ ), в то время как конечное диастолическое давление возрастало на  $17,1\%$ . Минутный объем сердца уменьшался в среднем на  $25,6\%$ , ударный объем несколько больше — на  $30\%$ . Уменьшение МОС во время нагрузки сопровождалось снижением ударной работы левого желудочка на  $26,6\%$ . Выявленный тип реакции левого желудочка расценивали как неблагоприятный и рассматривали как признак скрытой левожелудочковой недостаточности на фоне сниженных резервных возможностей миокарда.

## Выводы

1. Наблюдение за изменением кардиодинамики СЛП позволяет судить о функциональном состоянии сердца и не всегда дает возможность своевременно зарегистрировать развитие скрытой левожелудочковой недостаточности. Подтвердить или отвергнуть ее возникновение можно лишь, изучив ответную реакцию левого желудочка СЛП на нагрузочную пробу.

2. Увеличение во время нагрузки показателей  $I_c/A_s$ ,  $E_M/E_p$  и ко-  
нечного диастолического давления в желудочке, а также снижение  
максимальной скорости повышения внутрижелудочкового давления,  
индекса сократимости и расслабления являются признаками недоста-  
точности сократительной способности миокарда.

E. F. Barinow

## DIAGNOSIS OF CARDIAC TRANSPLANT LATENT FAILURE UNDER BIOLOGICAL PRESERVATION

## Summary

When studying the functional state of the donor heart it does not always work to find a latent left ventricular failure in proper time. To specify the character of the transplant functional state disorders and to estimate the transplant compensating capacity, a study was made of the response of the cardiac-pulmonary preparation left ventricle to resistance-induced dosed loading. Results of the response of hemodynamics parameters and left ventricle myocardium contractility made it possible to judge on the cardiac transplant latent failure.

## Medical Institute, Donetsk

*Список литературы*

1. Амосов Н. М., Лищук В. А., Пацкина С. А. и др. Саморегуляция сердца. Киев: Наук. думка, 1969. 160 с.
2. Баринов Э. Ф. Состояние внутрисердечной гемодинамики при нормотермической перфузии сердца. — Кардиология, 1978, № 7, с. 112—116.
3. Гаджиев А. А. Кратковременное сохранение функции сердца аутоперфузией в условиях изолированного СЛП. Автореф. дис. ... канд. мед. наук. М., 1973. 18 с.
4. Иванщицкая И. И., Сыркин А. Л., Стуклов А. И. Клиническое значение оценки влияния на кардиодинамику велоэргометрических нагрузок в процессе их выполнения больными ишемической болезнью сердца. — Кардиология, 1977, № 5, с. 103—106.
5. Карпман В. Л. Фазовый анализ сердечной деятельности. М.: Медицина 1965. 275 с.
6. Коган В. М., Соколова Д. А., Куломишин Л. Е. Ранняя диагностика сердечной недостаточности у больных ишемической болезнью сердца и гипотермической болезнью в практике врачебно-трудовой экспертизы. — Кардиология, 1977, № 6, с. 116—120.
7. Лукомский П. Е., Меерсон Ф. З., Соловьев В. В. и др. Нарушения сократительной функции сердца при инфаркте миокарда и применении с терапевтической целью кофакторов синтеза и предшественников нуклеиновых кислот. — Кардиология, 1967, № 1, с. 3—10.
8. Меерсон Ф. З. Адаптация сердца к большой нагрузке и сердечная недостаточность. М.: Медицина, 1975. 263 с.
9. Национальный научный институт Г. М. Клинико-инструментальные исследования при сердечной недостаточности. М.: Медицина, 1965. 72 с.
10. Островская В. И. Сравнительные материалы о влиянии острых нагрузок строфертионом и коргрликоном на сократительную функцию миокарда у больных с недостаточностью кровообращения по данным фазового анализа. — Кардиология, 1965, № 5, с. 75—77.
11. Савельев В. С., Ступин И. В. Консервация сердца методом гипербарической оксигенации и гипотермической перфузии. — В кн.: Актуальные проблемы пересадки органов. М., 1974, с. 188—205.
12. Ступин И. В. Оценка методов консервации сердца: Автореф. дис. ... докт. мед. наук. М., 1974. 25 с.
13. Фельдман С. Б. Ранняя диагностика сердечной недостаточности. М.: Медицина, 1976. 290 с.
14. Mitchell J., Wallace A., Skinner N. Relation between end-diastolic pressure and mean rate of ejection of left ventricle. — Amer. J. Physiol., 1966, 211, N 1, p. 83—86.
15. Robicsek F., Lasage A., Sanger P. W. et al. Simple method of keeping the heart «alive» and functioning outside of the body for prolonged periods. — Surgery, 1963, 53, N 4, p. 525—529.

Донецкий медицинский институт

Поступила в редакцию  
17.XII 1979 г.

УДК 612.172

Н. Ф. Пр

**МОРФОЛОГИЯ  
МИОКАРДИАЛЬНЫХ**

Монослоистую культуру в качестве объекта при исследовании активности миокарда, изучения межклеточных обладают основными свойствами возбудимостью, автоматизмом, растворов к их мембранам, лизировать динамику образование преимущества этому в культуре показало, что имеются структурными и функциональными исследования электрофизиологии в культуре показали, что отставанием клеток в интактном состоянии.

Результаты электронно-микроскопических исследований показывают, что у миокарда структура миофibrилл и миофибриллы.

Целью настоящей работы было микроскопическое исследование изменений миокардальных диссоциаций сердечной ткани. При этом мы сравнивали с миокардом, супендированным в заграждении миокарда трипсином.

Ме

Для получения культуры у лягушек извлекали сердца, разрезавшиеся в растворе, содержащем 0,04 % трипсин, в присутствии ионов кальция и магния, ли сывороткой и холода. С помостью ингибиторного фермента и погружением в раствор с концентрацией 20 % сыворотки. Клетки выращивались при температуре 36,5 °C и pH = 7,35 в течение 24 часов.

Для электронномикроскопического изучения извлеченные из культуры клетки фиксировали в течение 1 ч в 2 % ацетонатном буфере (pH = 7,3), вновь концентрировали и заключали в араматическую пленку при температуре, а затем в термостате, полученные на ультрамикротоме с уранил-ацетатом и цитратом ЭМВ-100Л.

тыры

др. Саморегуляция сердца. Киев : однамики при нормотермической

-116.

ции сердца аутоперфузией в усло-

д. мед. наук. М., 1973. 18 с.

Клиническое значение оценки влия-

тизок в процессе их выполнения

иология, 1977, № 5, с. 103—106

льности. М. : Медицина 1965. 275 с.

Ранняя диагностика сердечной не-

рдца и гипертонической болезни

иология, 1977, № 6, с. 116—120.

и др. Нарушения сократительной

меньши с терапевтической целью

ных кислот.— Кардиология, 1967,

узке и сердечная недостаточность.

ования при сердечной недостаточ-

ции при острых нагрузках строфи-

ко миокарда у больных с недоста-

нотиази.— Кардиология, 1965, № 5,

методом гипербарической оксиге-

нальные проблемы пересадки ор-

: Автореф. дис. ... докт. мед. наук.

недостаточности. М. : Медицина,

end-diastolic pressure and mean

l., 1966, 211, N 1, p. 83—86.

method of keeping the heart «cali-

nged periods.— Surgery, 1963, 53,

Поступила в редакцию  
17.XII 1979 г.

УДК 612.172

Н. Ф. Прончук, О. А. Хомутовский

## МОРФОЛОГИЧЕСКАЯ ХАРАКТЕРИСТИКА МИОКАРДИАЛЬНЫХ КЛЕТОК НОВОРОЖДЕННЫХ КРЫСЯТ В КУЛЬТУРЕ

Монослойную культуру миокардиальных клеток часто используют в качестве объекта при исследовании механизмов регуляции сократительной активности миокарда, особенностей генерации сердечного ритма, изучения межклеточных взаимодействий в сердце. Такие клетки обладают основными свойствами сердечной мышцы: сократимостью, возбудимостью, автоматизмом. Отсутствие иннервации, прямой доступ растворов к их мембранам, а также возможность визуально контролировать динамику образования контактов между клетками дают особые преимущества этому объекту. Изучение миокардиальных клеток в культуре показало, что изоляция клетки из организма сопровождается структурными и функциональными сдвигами. Микроэлектродные исследования электрофизиологических свойств миокардиальных клеток в культуре показали, что они близки, хотя и не вполне идентичны свойствам клеток в интактном сердце [2, 6, 9].

Результаты электронномикроскопических исследований свидетельствуют о том, что у миокардиальных клеток в культуре изменяется структура миофibrилл и митохондрий [4, 7].

Целью настоящей работы было светооптическое и электронномикроскопическое исследования функциональных и ультраструктурных изменений миокардиальных клеток, происходящих при ферментативной диссоциации сердечной ткани и культивировании клеток в монослое. При этом мы сравнивали состояние внутриклеточных структур интактного миокарда, супенсированных клеток непосредственно после дезагрегации миокарда трипсином и в культуре.

### Методика исследований

Для получения культуры у 1—2-дневных новорожденных крысят в стерильных условиях извлекали сердца, разрезали на кусочки объемом около 2  $\text{мм}^3$  и подвергали действию 0,04 % раствора трипсина, который готовили на солевом растворе, не содержащем ионов кальция и магния. В получаемой суспензии клеток фермент ингибиравали сывороткой и холодом. С помощью центрифугирования отделяли клетки от раствора ингибиированного фермента и ресусцидировали в питательной среде 199 с добавлением 20 % сыворотки. Клетки культивировали на покровных стеклах при температуре 36,5 °C и pH=7,35 в течение 1—5 сут.

Для электронномикроскопических исследований кусочки интактного миокарда новорожденных крысят объемом 2—3  $\text{мм}^3$ , клеточный осадок, полученный после центрифугирования, и извлеченные из культуральной среды стекла с прикрепившимися к ним клетками промывали какодилатным буфером (0,2 моль, pH=7,3) и фиксировали в 4 % водном растворе глютаральдегида (кусочки миокарда в течение 2 ч, клеточный осадок и культуру — 30 мин). После промывки какодилатным буфером препараты дофиксировали в течение 1 ч в 2 % осмievом фиксаторе, приготовленном на версонал-ацетатном буфере (pH=7,3), вновь промывали, и обезвоживали в спиртах возрастающей концентрации и заключали в араклит. Полимеризацию производили 2 ч при комнатной температуре, а затем в термостате при 37 и 60 °C в течение суток. Ультратонкие срезы, полученные на ультрамикротоме УМПТ-3М, доконструировали 2 % водным раствором уранил-ацетата и цитратом свинца, просматривали в электронном микроскопе ЭМВ-100Л.

Визуальный контроль сократительной активности миокардиальных клеток в культуре производился при помощи фазоконтрастного инвертированного микроскопа с телевизионным устройством [1].

### Результаты исследований и их обсуждение

Миокард новорожденных крысят представлен дифференцированными миокардиальными клетками — миоцитами. Продолговатое ядро находится в центре клетки и ориентировано вдоль ее длинной оси. Около полюсов ядра в цитоплазме располагаются комплекс Гольджи, митохондрии, цистерны эндоплазматического ретикулума и гранулы гликогена. Миофибриллы имеют обычное строение и расположение. Между миофибриллами находятся цепочки митохондрий. Саркоплазматический ретикулум образует сети, наибольшие скопления которых наблюдаются у Z-линий. Преставлена также Т-система (рис. 1).

В интактном миокарде новорожденных крысят часто обнаруживаются незрелые клетки — миобlastы. Цитоплазма таких клеток содержит многочисленные рибосомы и полисомы, элементы гранулярного эндоплазматического ретикулума и митохондрии. В ядрах лопастной формы находятся гранулярный и фибрillярный компоненты хроматина, который распределен неравномерно, преимущественно вблизи ядерной мембраны (рис. 1).

После диссоциации миокарда трипсином клетки приобретают округлую форму с тонкими пальцевидными отростками. Ядро находится в центре клетки или смещается к одному из клеточных краев, часто имеет лопастную форму и тонкие отростки. Митохондрии сгруппированы в центре клетки или возле мембраны. Миофибриллы дезорганизованы, миофиламенты образуют сплошную массу, в которой с трудом различаются тонкие и толстые протофибриллы. Материал Z-линий отсутствует. В цитоплазме, особенно вблизи мембранны, появляются многочисленные вакуоли и пиноцитозные пузырьки (рис. 2). Экстрацеллюлярно вокруг клеток иногда группируются свободные рибосомы и митохондрии, что указывает на повреждение плазматической мембраны некоторых клеток во время диссоциации.

После помещения суспендированных клеток в питательную среду они оседают на поверхность стекла и распластываются, образуя отростки. При исследовании в фазоконтрастном микроскопе в культуре можно различить миобластоподобные и фибробластоподобные клетки. Миобластоподобные клетки имеют полигональную или приближающуюся к круглой форму с несколькими отростками. Цитоплазма оптически довольно плотная, в ней заметны включения, напоминающие саркосомы. Ядро круглое, относительно плотное, располагается в центре клетки (рис. 3). Фибробластоподобные клетки преимущественно удлиненной или неправильной формы с малым количеством отростков. Ядро овальное светлое, с 4—5 ядрышками, расположено в центре клетки. Цитоплазма светлая, с малочисленными гранулярными включениями (рис. 3).

Миобластоподобные клетки спонтанно и ритмично сокращаются. У разных клеток частота варьирует от 10 до 120 сокращений в мин в первые сутки культивирования. Фибробластоподобные клетки в культуре не сокращаются.

На вторые сутки культивирования соседние миобластоподобные клетки, продолжая распластываться, устанавливают контакты друг с другом при помощи отростков. При этом их сокращения синхронизируются, а несколько контактирующих клеток образуют синхронно пуль-

сирующую группу клеток — вирования, наряду с формирование контактов между близкими слоями ритмично сокращающими

При исследовании моноэлектронном микроскопе на клетки, у которых происходит цитоплазма видны пучки митохондрий, а актиновые и тонкие полисомы лишь изредка. В митохондриальный аппарат таких клеток характерен для клеток. Руководствуясь степенью зрелости миокарда, выделяются эти клетки как част

Среди культивируемых не имеющие сократительных свойств миобласты интактного стоподобных клеток обнаруживаются и полисомы и в малом количестве гранулярного ретикулума с расположено крупные. В ядрах находятся и фибрillярный компонент липидные включения (рис. 2).

Довольно часто вокруг клеток, которые, вероятно, являются незрелыми клетками в окружении виброподобных волокон, находятся как фибробластоподобные

У части клеток в культуре повреждены трипсином, таких случаях в цитоплазме миокардиальных клеток можно различить митохондрии с просветленным матриксом. Значительно уменьшаются липидные включения. Ядро

В цитоплазме подвергнутых клеток также можно наблюдать, тогда как элементы матрикса и свободные рибосомы и полисомы. Плотность матрикса и немногочисленные митохондрии с просветленным матриксом. Значительно уменьшаются липидные включения. Ядро

В культуре мы не обнаружили вставочных дисков. Однако, между клетками, находящимися в культуре, не осуществляется через приложение давления на уровне сомы клеток и от

Таким образом, при дифференциации клеток, что ультраструктура клеток, изменяется аппарат клетки, изменяется клеточных структур. Основное явление является разрушение связей межклеточных связей

миокардиальных клеток в культивированном микроскопе с телескопом

### обсуждение

авлен дифференцированный. Продолговатое ядро на поле ее длинной оси. Около комплекс Гольджи, митохондрии и гранулы гликогена и расположение. Между ними. Саркоплазматический мембранный которых наблюдаются с. 1).

крысят часто обнаруживаются таких клеток содержат элементы гранулярного эндоцита. В ядрах лопастной формы компоненты хроматина, преимущественно вблизи ядерной

клетки приобретают отростками. Ядро находится из клеточных краев, часто митохондрии сгруппированы ибриллы дезорганизованы, которой с трудом различима Z-линий отсутствует. являются многочисленные Экстрацеллюлярно вокруг ядра и митохондрии, что мембранные некоторых кле-

ток в питательную среду вытесняются, образуя отростки в микроскопе в культуре могут подобные клетки. Миофибриллы приближающуюся к цитоплазма оптически напоминающие саркосомы. находится в центре клетки преимущественно удлиненной отростков. Ядро овальное в центре клетки. Цитогранулярными включениями

ритмично сокращаются. У сокращений в мин в первые клетки в культуре дние миобластоподобные тивают контакты друг с сокращения синхронизируются, образуют синхронно пульс-

сирующую группу клеток — кластер. На третий — шестые сутки культивирования, наряду с формированием кластеров, происходит установление контактов между близлежащими кластерами, и образуется монолист ритмично сокращающихся клеток.

При исследовании монолистной культуры миокардиальных клеток в электронном микроскопе на срезах обнаруживаются миокардиальные клетки, у которых происходит формирование миофибрилл (рис. 4). В их цитоплазме видны пучки миофибрилл, которые содержат толстые миозиновые и тонкие актиновые протофибриллы; линии Z выявляются лишь изредка. В митохондриях находятся рыхлые кристы. Сократительный аппарат таких клеток не соответствует тому уровню развития, который характерен для клеток рабочего миокарда новорожденных крысят. Руководствуясь степенью сформированности миофибрилл как критерием зрелости миокардиальных клеток в культуре, мы идентифицировали эти клетки как частично дифференцированные миоциты.

Среди культивируемых клеток встречаются также незрелые клетки, не имеющие сократительных структур и напоминающие по ультраструктуре миобlastы интактного миокарда. В цитоплазме незрелых миобластоподобных клеток обнаруживаются свободно расположенные рибосомы и полисомы и в малом количестве — элементы гранулярного и агранулярного ретикулума с расширенными цистернами. Митохондрии довольно крупные. В ядрах находятся равномерно распределенные гранулярный и фибрillлярный компоненты хроматина. В цитоплазме встречаются липидные включения (рис. 5).

Довольно часто вокруг незрелых клеток группируются коллагеновые волокна, которые, вероятно, формируются на их поверхности. Такие незрелые клетки в окружении коллагеновых волокон мы идентифицировали как фибробластоподобные (рис. 6).

У части клеток в культуре, которые, по-видимому, более других были повреждены трипсином, наблюдаются дегенеративные изменения. В таких случаях в цитоплазме частично дифференцированных миокардиальных клеток можно различить подвергающиеся деструкции субмикроскопические структуры — гомогенизирующиеся миофибриллы, митохондрии с просветленным матриксом и почти разрушенными кристами. Значительно уменьшается количество рибосом и полисом, появляются липидные включения. Ядро становится пикнотичным (рис. 7).

В цитоплазме подвергающихся инволюции незрелых миобластоподобных клеток также можно выявить большое число липидных включений, тогда как элементы гранулярного и агранулярного ретикулума, свободные рибосомы и полисомы содержатся в незначительных количествах. Плотность матрикса цитоплазмы понижена. Встречаются мелкие и немногочисленные митохондрии. В довольно крупных ядрах содержится лишь мелкодисперсный хроматин (рис. 8).

В культуре мы не обнаружили специализированных контактов, аналогичных вставочным дискам между клетками интактного миокарда. Однако, между клетками, находящимися в культуре на разных стадиях дифференциации, по-видимому, имеют место взаимодействия, которые осуществляются через прилегающие участки плазматических мембран на уровне ядра и отростков.

Таким образом, при диссоциации миокарда трипсином нарушается ультраструктура клеток, что выражается в дезорганизации сократительного аппарата клетки, изменении формы ядра и передислокации внутриклеточных структур. Основной причиной этих изменений, по-видимому, является разрушение связей между клетками. О важной роли функциональных межклеточных связей в сохранении ультраструктуры миоцитов

тов свидетельствуют данные [3] о том, что если в культуру попадают мелкие агрегаты, состоящие из двух-трех клеток, то клетки в них сохраняют дифференциацию в большей степени, чем изолированные. Следует учитывать также воздействие трипсина на мембрану и внутриклеточные структуры. Есть данные о возможности проникновения трипсина внутрь клеток [5].

Некоторые клетки непосредственно после трипсинизации начинают регенерировать. Об этом свидетельствует наличие вблизи сарколеммы в цитоплазме пиноцитозных пузырьков, появление которых указывает на интенсификацию метаболических процессов. Возможно, некоторая часть группирующихся вблизи мембранных митохондрий и рибосом захватывается пиноцитозными пузырьками и поступает внутрь клетки. Реконструкция клеток в культуре, по-видимому, может происходить иногда путем слияния ядерного материала и элементов цитоплазмы, находящихся во внеклеточной среде. О вероятности такого пути восстановления клеток свидетельствуют, в частности, данные о формировании миобластов из клеточных фрагментов в культуре [8].

Несмотря на несовершенство сократительного аппарата, уже в первые сутки культивирования, по данным световой микроскопии, миокардиальные клетки сокращаются, что также указывает на происходящие в них восстановительные процессы. Поскольку частично дифференцированные миоциты составляют большую часть всех культивируемых клеток, можно полагать, что они являются миоцитами рабочего миокарда, которые восстановили нарушенную при диссоциации ультраструктуру. Не исключена, однако, возможность дифференциации в культуре незрелых миобластоподобных клеток [3].

Таким образом, миокардиальные клетки новорожденных крысят в культуре представляют собой клетки, способные к спонтанным сокращениям, но несколько отличающиеся по внутреннему строению от клеток интактного миокарда.

N. F. Pronchuk, O. A. Khomutovskiy

#### MORPHOLOGICAL CHARACTERISTICS OF NEWBORN RAT MYOCARDIAL CELLS IN CULTURE

##### Summary

Light-optic and electron-microscopic examinations of myocardial cells in culture demonstrate that myocardium dissociation with trypsin induces changes in the shape of isolated cells and disorders in their ultrastructure, which is expressed in disorganization of a contractile apparatus, change in the nucleus shape and redolocation of some intracellular structures. When cultivating cells as a monolayer, a partial restoration of the cell contractile apparatus and ordering of their internal structure are observed. Simultaneously with myocyte regeneration in culture there occurs a differentiation of immature myoblast-like cells. No specialized contacts analogous to intercalated disks are found between cells in the culture. Intercellular interactions and synchronization of contractions may be realized through adjacent parts of plasmatic membranes.

Department of Blood Circulation Physiology,  
A. A. Bogomoletz Institute of Physiology,  
Academy of Sciences, Ukrainian SSR, Kiev

##### Список литературы

- Литовченко Л. П., Прончук Н. Ф. Телевизионная приставка к инвертированному микроскопу для работы с культурой миокардиальных клеток.—Физиол. журн., 1980, 26, № 6, с. 847—848.
- DeHaan R. L., Gottlieb S. H. The electrical activity of embryonic chick heart cells isolated in tissue culture or in interconnected cell sheets.—J. Gen. Physiol., 1968, 52, N 4, p. 643—665.



Рис. 1. Миокард  
1 — миоцит, 2 — миобласт, Я — ядро, чес.



Рис. 2. Миокардиальная клетка в

ядро лопастной формы, миофibrиллы  
м. Вблизи мембранны наход.

то если в культуру попадают клетки, то клетки в них сохраняются, чем изолированные. Следует на мембрану и внутриклеточную проникновения трипсина

после трипсинизации начинают появление вблизи сарколеммы явлений которых указывает процесс. Возможно, некоторая митохондрий и рибосом захватывает внутрь клетки. Реконструкция может происходить иногда путем восстановления формирования миобластов [8].

ельного аппарата, уже в первичной микроскопии, миокард указывает на происходящие в клетке частично дифференцированных всех культивируемых клеток рабочего миокарда, диссоциации ультраструктурную. Дифференциации в культуре не-

такого же строения от кле-

тиковых

СULTURES OF NEWBORN  
CULTURE

ons of myocardial cells in culture sin induces changes in the shape of which is expressed in disorganization and redislocation of some intracellular components, a partial restoration of the initial structure are observed. Simultaneously occurs a differentiation of immature cells to intercalated disks are found and synchronization of contractions of membranes.

и культуры

ая приставка к инвертированному явлению клеток. — Физiol. журн., 1980,

вивития of embryonic chick heart cells in cell sheets. — J. Gen. Physiol., 1968,

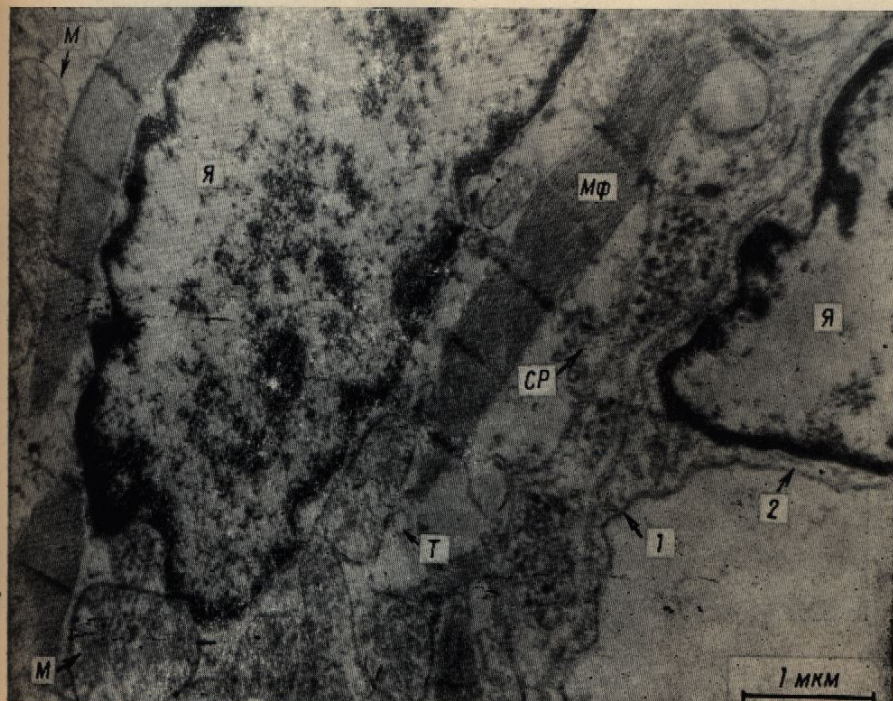


Рис. 1. Миокардиальные клетки новорожденных крысят.  
1 — миоцит, 2 — миобласт, Я — ядро, Мф — миофибриллы, М — митохондрии, СР — саркоплазматический ретикулум, Т — Т-система.

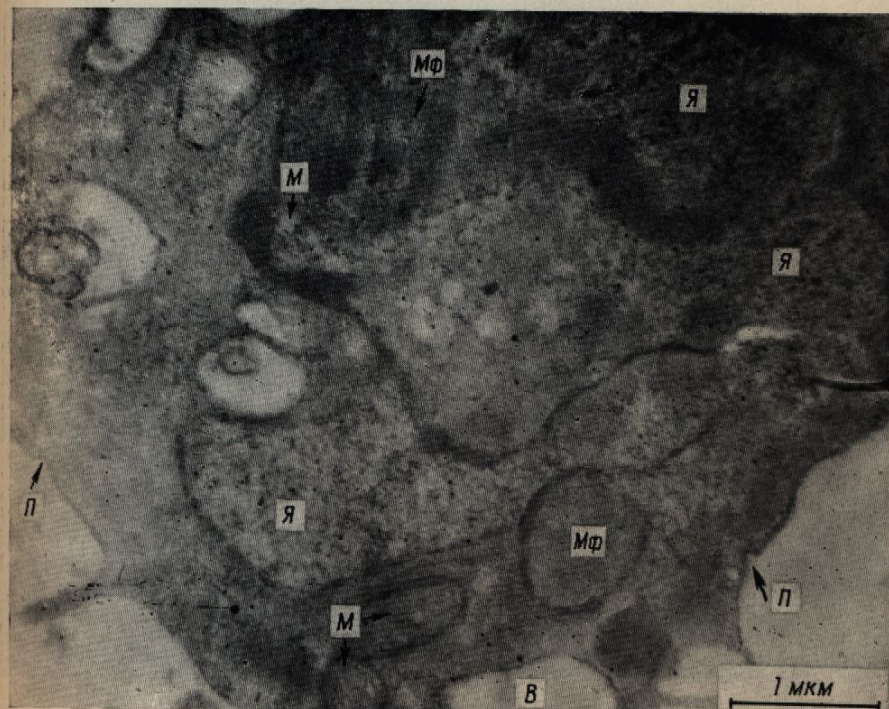


Рис. 2. Миокардиальная клетка в суспензии. Фиксация произведена через 30 мин после диссоциации.

Ядро лопастной формы, миофибриллы слились в комки, митохондрии рассредоточены в цитоплазме. Вблизи мембраны находятся вакуоли (В) и пиноцитозные пузырьки (П).

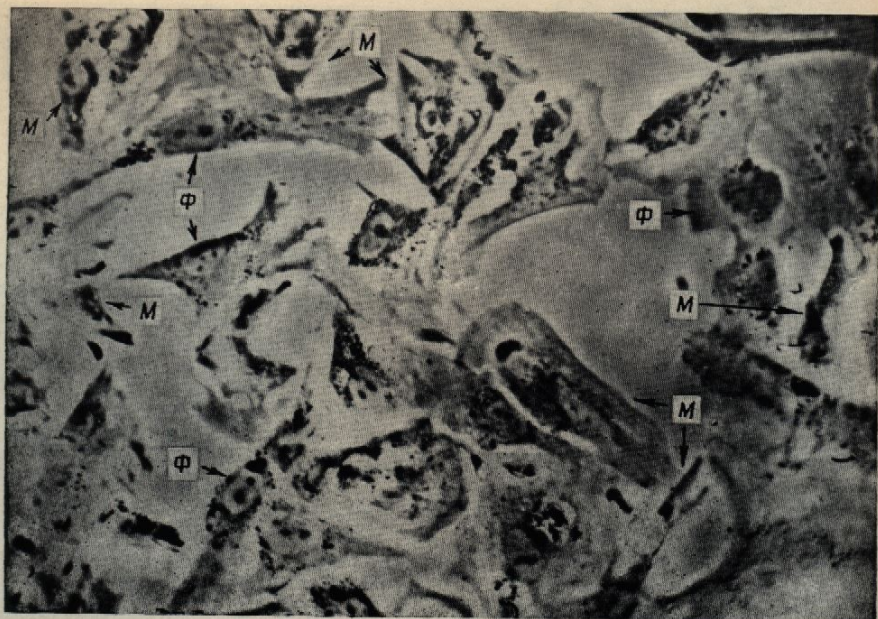


Рис. 3. Миокардиальные клетки в культуре.  
M — миобластоподобные, F — фибробластоподобные.  $\times 400$ .

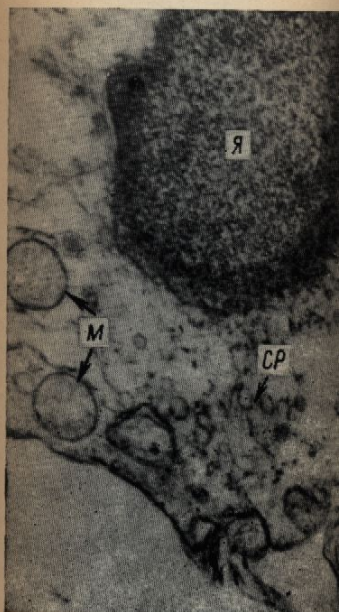


Рис. 5. Нез  
Видно ядро митохондрии, элементы с  
Сократит

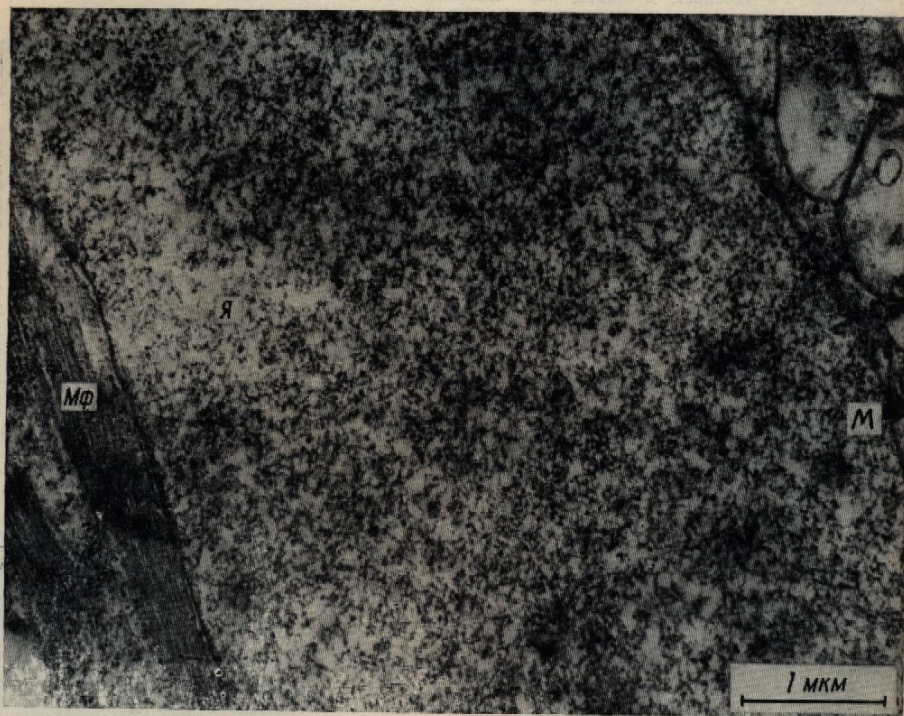


Рис. 4. Частично дифференцированная миокардиальная клетка в культуре (фрагмент).  
Я — ядро. Mф — формирующиеся миофибриллы, M — митохондрии.

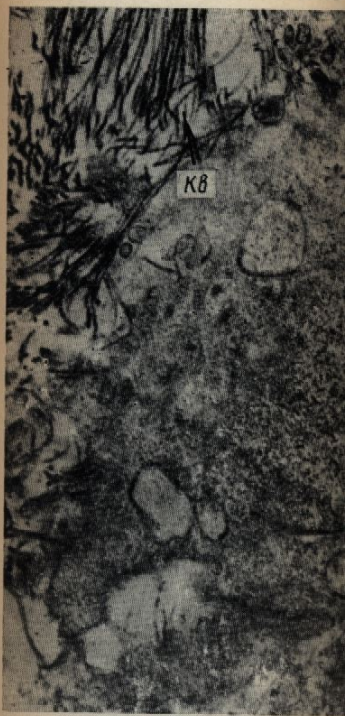
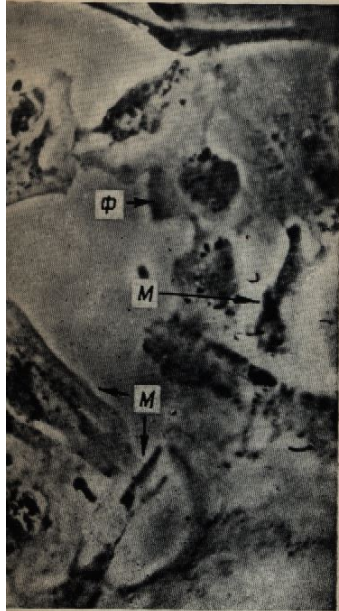


Рис. 6. Ф  
Кв —



ки в культуре.  
стоподобные.  $\times 400$ .

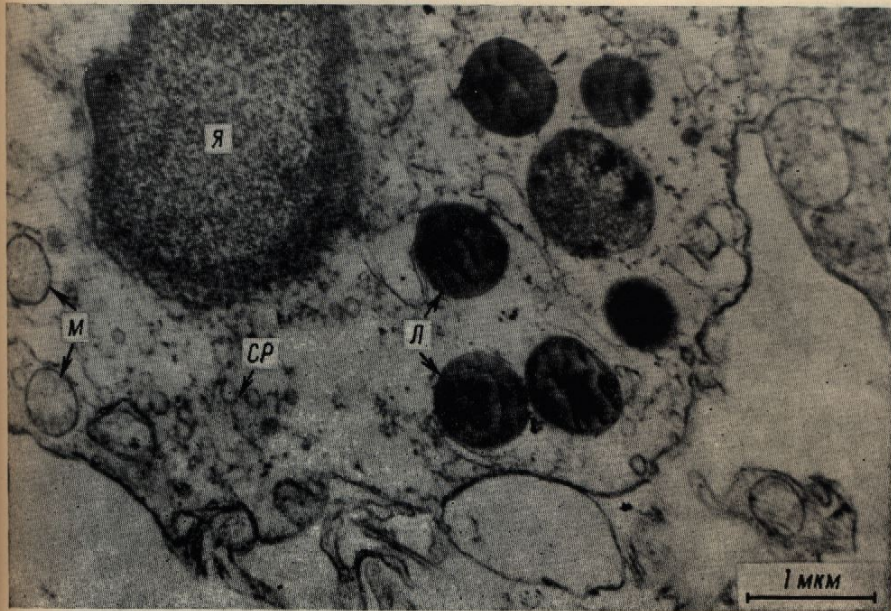
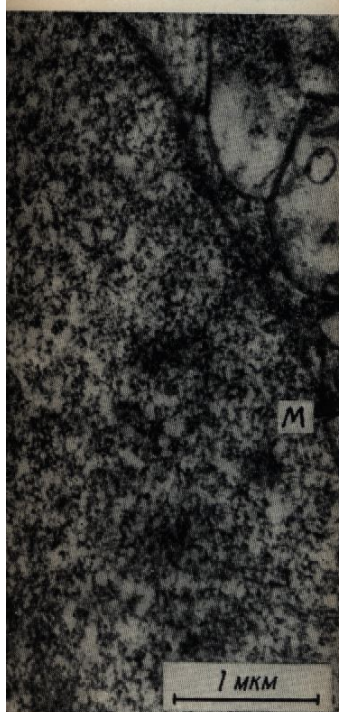


Рис. 5. Незрелая миобластоподобная клетка.  
Видно ядро митохондрий, элементы саркоплазматического ретикулума, липидные включения (Л).  
Сократительные структуры отсутствуют.



ная клетка в культуре (фрагмент).  
рilli, М — митохондрии.

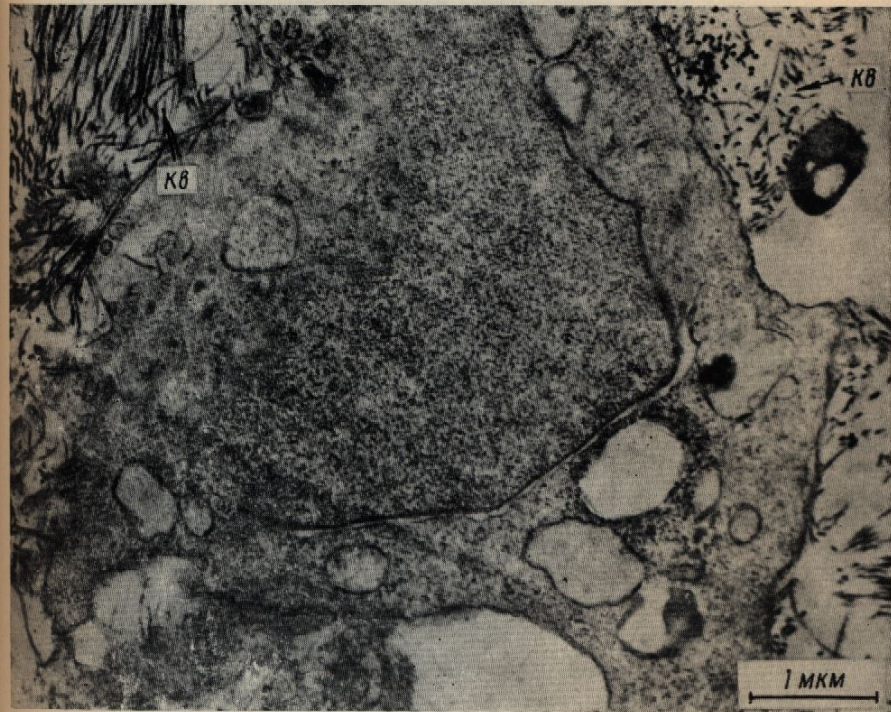


Рис. 6. Фибробластоподобная клетка.  
Кв — коллагеновые волокна.

3. Gross W. O., Müller C. A. M., trypsin separated heart muscle.
4. Halle W., Wollenberger A. Die difinierten nöhrmedium.—Z. Z.
5. Kasten F. H. Mammalian myotonia. New York, 1973, p. 72—81.
6. Lehmkuhl D., Sperelakis N. T. cells.—Amer. J. Physiol., 1963.
7. Périssel B., Pinson A., Padieu rat nouveau—né quelques as 1974, 58, N 2, p. 639—648.
8. Ringertz N. R., Krondahl U., fragments. I. Myogenic expression with mouse fibroblasts (A9).
9. Vernimmen C., Auclair M.-C. cardiomyoblastes de rat nouveau Paris, 1976, 282, N 19, p. 1749—

Отдел физиологии кровообращения  
Института физиологии им. А. Н. Бакулева  
АН УССР, Киев

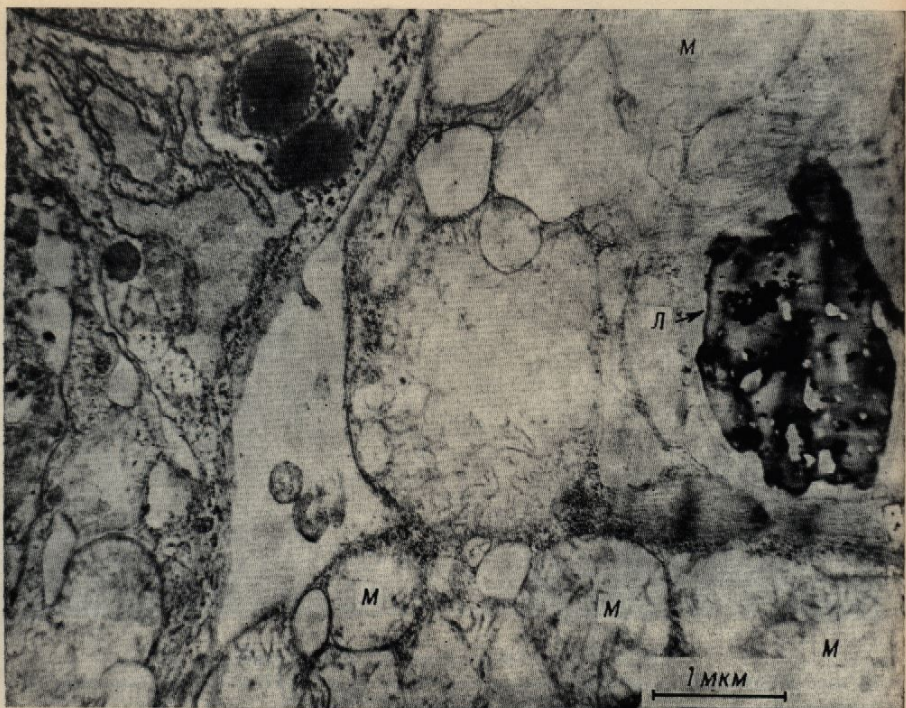


Рис. 7. Инволютивные изменения у частично дифференцированной миокардиальной клетки в культуре. Видны митохондрии с почти разрушенными кристаллами, липидное включение.

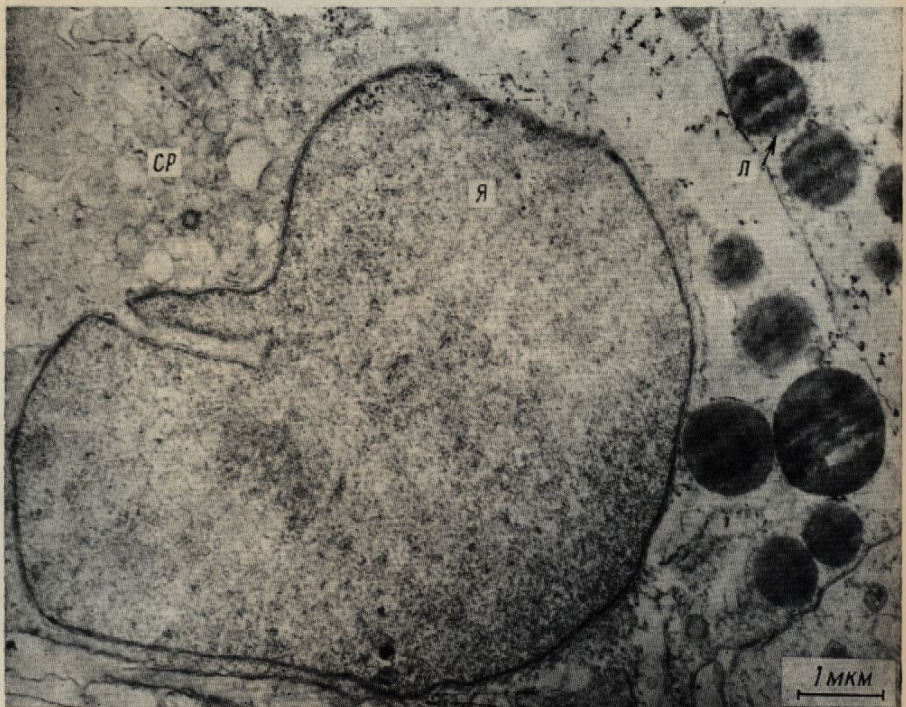
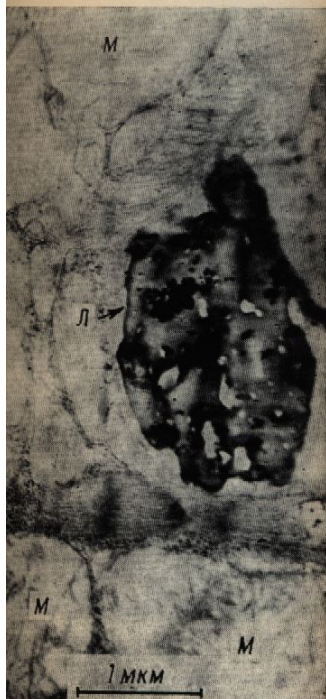


Рис. 8. Незрелая миобластоподобная клетка с инволютивными изменениями. Видно ядро — саркоплазматический ретикулум, липидные включения.

3. Gross W. O., Müller C. A. M., Schlottmann E. H. M. Loss of differentiation features in trypsin separated heart muscle cells.—Anat. and Embryol., 1977, 151, N 3, p. 341—350.
4. Halle W., Wollenberger A. Die Differenzierung isolierter Herzzellen in einem chemisch definierten Nährmedium.—Z. Zellforsch., 1968, 2, N 2, S. 292—314.
5. Kasten F. H. Mammalian myocardial cells.—In: Tissue culture method and application. New York, 1973, p. 72—81.
6. Lehmkuhl D., Sperelakis N. Transmembrane potentials of trypsin-dispersed chick heart cells.—Amer. J. Physiol., 1963, 205, N 6, p. 1213—1220.
7. Périssel B., Pinson A., Padieu P. et al. Culture primaire de cellules myocardiques de rat nouveau-né quelques aspects ultrastructuraux particuliers.—Bull. Assoc. Anat., 1974, 58, N 2, p. 639—648.
8. Ringertz N. R., Krondahl U., Coleman J. R. Reconstitution of cells by fusion of cell fragments. I. Myogenic expression after fusion of minicells from rat myoblasts (L6) with mouse fibroblasts (A9) cytoplasm.—Exp. Cell. Res., 1978, 113, N 2, p. 233—246.
9. Vernimmen C., Auclair M.-C. Caractéristiques des potentiels transmembranaires des cardiomyoblastes de rat nouveau-né, cultivés depuis une semaine.—C. R. Acad. Sc. Paris, 1976, 282, N 19, p. 1749—1752.

Отдел физиологии кровообращения  
Института физиологии им. А. А. Богомольца  
АН УССР, Киев

Поступила в редакцию  
22.II 1980 г.



репцированной миокардальной  
ушенными кристами, липидное



волютивными изменениями.  
липидные включения.

УДК 612.13+612.73+612.59

А. И. Соловьев

## СПОНТАННАЯ И ВЫЗВАННАЯ СОКРАТИТЕЛЬНАЯ АКТИВНОСТЬ СОСУДИСТЫХ ГЛАДКИХ МЫШЦ ПРИ РАЗЛИЧНЫХ ТЕМПЕРАТУРНЫХ РЕЖИМАХ ПЕРФУЗА

Значительная физическая нагрузка, как известно, сопровождается повышением температуры тела на 2—2,5 °С. Естественно, что при этом непосредственно в сокращающихся мышцах температура возрастает в еще большей степени. Роль температурного фактора в протекании химических реакций общеизвестна. При увеличении температуры на 10 °С скорость реакции возрастает приблизительно в два раза. С этим связано предположение, что всякое заметное изменение температуры окружающей среды должно сказываться на скорости метаболизма живых тканей (в том числе и гладких мышц сосудистой стенки), а тем самым и на их функции.

Действительно, по одним данным [4, 5], повышение температуры на 0,7—1,0°C ведет к отчетливой вазоконстрикции сосудов конечности собаки. Этот эффект сохранялся и при денервации сосудов. Результаты другого исследования показывают, что изменение температуры крови, используемой для перфузии боковых ветвей бедренной артерии, в диапазоне 28—43°C практически не сказывалось на величине кровотока [10]. И, наконец, есть данные о том, что снижение температуры перфузата с 37 до 27°C сопровождается гиперполяризацией мембран гладкомышечных клеток воротной вены, резким уменьшением частоты разрядов и амплитуды сокращений [2].

Существует мнение, что из-за малочисленности такого рода данных, «уверенно зачислять температуру в число периферических стимуляторов сосудистой гладкомышечной активности пока оснований мало» [3]. Наряду с этим не исключено, что формирующиеся местно изменения температуры тканей способны влиять на эффективность иных стимуляторов активности, в том числе и нейрогенных.

Мы изучали чувствительность гладких мышц сосудов к симпатической стимуляции при изменениях температуры перфузата.

## Методика исследований

Опыты выполнены на изолированных нервно-мышечных препаратах воротной вены крыс — общепринятой модели спонтанно активных гладких мышц резистивных сосудов. Сократительную активность сосудистых гладких мышц регистрировали с помощью механотронного преобразователя 6МХЗС на электронном самопишуемом потенциометре ЭПП-09М. Исследуемый препарат исходно подвергали пассивному растяжению силой  $3 \cdot 10^{-3}$  Н. Препарат помещали в терmostатированную камеру, температура перфузата изменялась от 34 до 38 °C. Электрическая стимуляция постганглионарных симпатических волокон осуществлялась прямоугольными импульсами постоянного тока амплитудой 5–10 В, длительностью 2 мс, частотой 16 Гц.

## Результаты исследований и их обсуждение

При перфузии нервно-мышечного препарата воротной вены раствором Кребса температурой 36 °С и исходном уровне пассивного растяжения  $4 \cdot 10^{-3}$ Н гладкомышечные клетки сосудистой стенки проявляют

## *Сократительная активность*

спонтанную ритмическую тонусную в среднем  $8,1 \pm 0,8$  Электрическая стимуляция сопровождается повышением гладких мышц на

Снижение температуры плитуды фазовых сокращений частоты до  $4,8 \pm 0,4$  в 1

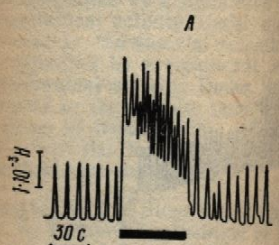


Рис. 1. Ритмическая сократите-  
вены крысы на электрическую  
при перфузии нервно-мышеч-

рост уровня тонического скую стимуляцию оказыв женным (до  $29,4 \cdot 10^{-4} \pm 1$

Повышение температуры жемчига до  $12.1 \pm 1.2$ °С учащением амплитуды фазовых колебаний до  $12.1 \pm 1.2$  н. Электрическая стимуляция жемчига увеличению тониче-  
(на  $8.2 \cdot 10^{-4} \pm 1.6 \cdot 10^{-4}$  Н)

Представленные дан-  
чены недавно [9] п-  
кровым температурой 42,2  
званная электрической ст-  
составляла соответст-  
щейся при 37 °C, а реакция  
на при тех же температурах  
блодавшихся при 37 °C.

слаждавшихся при 37° С. Таким образом, повышенные мышцы сосудов, в тех зиологических условиях (приводить к снижению сокращениям. Пока нет достаточного основой так называемого ря чувствительности сосудисторным адренергич но рассматривать как о гиперемии

Возникает вопрос о ве-  
го явления. В этом плане  
факторов гипертермии и гип-  
отитательный эффект симпати-

спонтанную ритмическую активность в виде фазовых сокращений частотой в среднем  $8,1 \pm 0,8$  в 1 мин и амплитудой  $7,5 \cdot 10^{-4} \pm 0,6 \cdot 10^{-4}$  Н. Электрическая стимуляция постганглионарных симпатических волокон сопровождается повышением уровня тонического напряжения сосудистых гладких мышц на  $17,7 \cdot 10^{-4} \pm 1,7 \cdot 10^{-4}$  Н (рис. 1A).

Снижение температуры перфузата до  $34^{\circ}\text{C}$  приводит к росту амплитуды фазовых сокращений до  $14,1 \cdot 10^{-4} \pm 0,9 \cdot 10^{-4}$  Н и урежению их частоты до  $4,8 \pm 0,4$  в 1 мин ( $p < 0,001$  и  $p < 0,01$ , соответственно). При-

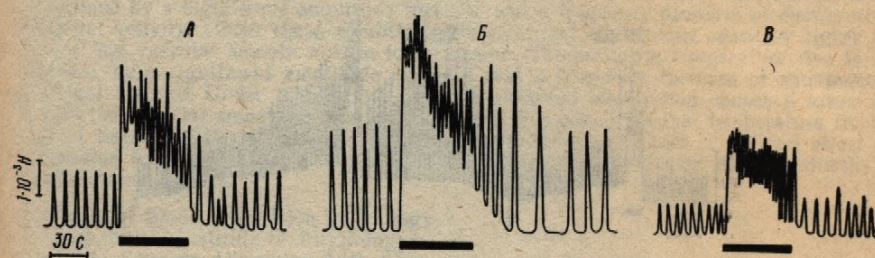


Рис. 1. Ритмическая сократительная активность и реакции гладких мышц воротной вены крысы на электрическую стимуляцию постганглионарных симпатических волокон при перфузии нервно-мышечного препарата раствором Кребса при температуре: А —  $36^{\circ}\text{C}$ ; Б —  $34^{\circ}\text{C}$ ; В —  $38^{\circ}\text{C}$ .

рост уровня тонического напряжения препарата в ответ на электрическую стимуляцию оказывается в этих условиях значительно более выраженным (до  $29,4 \cdot 10^{-4} \pm 1,9 \cdot 10^{-4}$  Н;  $p < 0,01$ , см. рис. 1Б).

Повышение температуры перфузата до  $38^{\circ}\text{C}$  сопровождается снижением амплитуды фазовых сокращений до  $3,9 \cdot 10^{-4} \pm 0,7 \cdot 10^{-4}$  Н и их учащением до  $12,1 \pm 1,2$  в 1 мин ( $p < 0,01$  и  $p < 0,05$ , соответственно). Электрическая стимуляция в этих условиях приводит к заметно меньшему увеличению тонического напряжения сосудистых гладких мышц (на  $8,2 \cdot 10^{-4} \pm 1,6 \cdot 10^{-4}$  Н,  $p < 0,01$ , см. рис. 1В).

Представленные данные хорошо совпадают с результатами, полученными недавно [9] при перфузии латеральной подкожной вены кровью температурой  $42,27$  и  $17^{\circ}\text{C}$ . В этих опытах вазоконстрикция, вызванная электрической стимуляцией поясничных симпатических нервов, составляла соответственно  $40$ ,  $160$  и  $200$  % от констрикции, наблюдавшейся при  $37^{\circ}\text{C}$ , а реакции венозных сосудов на инфузию норадреналина при тех же температурах составляли  $70$ ,  $187$  и  $318$  % от реакций, наблюдавшихся при  $37^{\circ}\text{C}$ .

Таким образом, повышение температуры среды, окружающей гладкие мышцы сосудов, в тех пределах, которые возможны в реальных физиологических условиях (например, при физической нагрузке), может приводить к снижению сократительных эффектов их нейрогенной стимуляции. Пока нет достаточных оснований для признания этого явления основой так называемого эффекта симпатикотолиза, означающего потерю чувствительности сосудов работающих скелетных мышц к вазоконстрикторным адренергическим посылкам. Все же его вполне можно рассматривать как одну из возможных причин функциональной гиперемии.

Возникает вопрос о вероятных механизмах, лежащих в основе этого явления. В этом плане интерес представляет односторонность эффектов гипертермии и гипоксии. Ранее нами было показано, что сократительный эффект симпатической стимуляции сосудистых гладких мыш-

## СОКРАТИТЕЛЬНАЯ АКТИВНОСТЬ ГЛАДКИХ МЫШЦ ВЕЖИМАХ ПЕРФУЗАТА

известно, сопровождается Естественно, что при этом температура возрастает в фактора в протекании химики температуры на  $10^{\circ}\text{C}$  в два раза. С этим связание температуры окружности метаболизма живых тканей стенки), а тем самым

повышение температуры инции сосудов конечности ации сосудов. Результаты измение температуры крови, бедренной артерии, в диа- на величине кровотока. Изменение температуры перфузации мембран гладко- ньшением частоты разря-

ности такого рода дан- то периферических стиму- сти пока оснований мало» рующиеся местно измене- эффективность иных стиму- их. мышц сосудов к симпатиче- перфузата.

ий

ных препаратах воротной вены гладких мышц резистивных сосудов регистрировали с помощью самопишущем потенциометре сивому растяжению силой 3—амеру, температура перфузата постганглионарных симпатических постоянного тока амплитудой 5—

## Обсуждение

г воротной вены растворе пассивного растяже- той стенки проявляют

в условиях гипоксии значительно снижается [1]. Возможно, что увеличение скорости обмена веществ в гладкомышечной ткани сосудов при гипертермии сопровождается усилением потребления кислорода (при постоянстве его доставки) и относительной тканевой гипоксией.

Уменьшение температуры перфузата, снижая скорость метаболизма, приводит и к снижению потребления кислорода. И не случайно, что эффект нейрогенной стимуляции в этом случае заметно возрастает, т. к. в сосудистых мышцах имеется избыток кислорода. Ранее в ряде работ

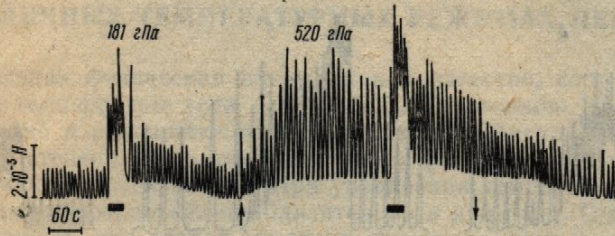


Рис. 2. Ритмическая сократительная активность и реакции гладких мышц воротной вены крысы на электрическую стимуляцию постганглионарных симпатических волокон при перфузии нервно-мышечным препаратом нормоксическим ( $P_{O_2}$  — 181 гПа) и гипероксическим ( $P_{O_2}$  — 520 гПа) раствором Кребса.

Стрелками обозначено начало и конец перфузии гипероксическим раствором Кребса.

[7, 8, 11] было показано, что интенсивность реактивной гиперемии (РГ) в скелетных мышцах после артериальных окклюзий длительностью свыше 30 с существенно зависит от температуры крови. Снижение температуры с 38 до 28°C приводило к уменьшению выраженности РГ более чем в два раза. Если в отношении этих фактов придерживаться гипотезы регуляции кровотока по дефициту кислорода, то они могут быть объяснены наличием в тканях (в условиях сниженного обмена веществ) избыточного по сравнению с уровнем функциональной активности количества кислорода. Это предположение подтверждается сходным с влиянием гипотермии эффектом гипероксии на интенсивность РГ. Ингаляция 96 % кислорода в азоте приводила к снижению выраженности РГ в скелетных мышцах почти в два раза [6, 7]. В этом же плане могут трактоваться и полученные нами недавно данные об увеличении выраженности реакций сосудистых гладких мышц на электрическую стимуляцию при гипероксии в 1,5—2 раза по сравнению с нормоксическим уровнем (рис. 2).

Таким образом, изменения температуры тканей в физиологических пределах могут оказывать как прямое действие на сосудистый тонус, так и косвенное, изменяя чувствительность гладких мышц сосудов к центральным нейрогенным сигналам. Вполне вероятно, что в механизме этого явления определенная роль принадлежит изменениям кислородного режима сосудистых гладких мышц, сопутствующим сдвигам обмена веществ.

## SPONTANEOUS AND SMOOTH MUSCLES

The purpose of the study was to examine the responses of rat portal vein to electrical stimulation at different temperatures. The results showed that the increase in temperature was accompanied by a significant mechanical activity. Under normal conditions, the vascular tone was increased by a significant mechanical activity. Under hyperoxia, the vascular tone was decreased, accompanied by a significant increase in the vascular smooth muscle tone. The latter was due to the release of central nervous signals.

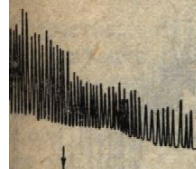
Department of Blood Circulation  
A. A. Bogomoletz Institute  
Academy of Sciences, Ukraine

- Берштейн С. А., Соловьев А. И. Механизмы рефлексов на артериальную и венозную стимуляцию сосудов. — Докл. АН СССР, 1971, 207, № 5, с. 112—115.
- Гурковская А. В. Влияние температуры на деятельность гладких мышц воротной вены крысы. — Бюл. Акад. мед. наук Узбекской ССР, 1971, 57, № 5, с. 712—715.
- Конради Г. П. Регуляция кровообращения. — Физиол. журн. СССР, 1971, 57, № 5, с. 712—715.
- Мануилов И. А. Реакция гладких мышц на артериальные сокращения. — Тез. докл. Всесоюз. конф. по биол. и мед. кибернетике, 1971, с. 93—94.
- Соловьев А. И. Механизмы рефлексов на артериальную и венозную стимуляцию. — Тез. докл. Всесоюз. конф. по биол. и мед. кибернетике, 1971, с. 93—94.
- Соловьев А. И. Идентификация рефлексов на артериальные сокращения. — Тез. докл. Всесоюз. конф. по биол. и мед. кибернетике, 1971, с. 93—94.
- Шеферд Дж. Т. Рефлексы на артериальный сокращение. — Тез. докл. Всесоюз. конф. по биол. и мед. кибернетике, 1971, с. 93—94.
- Murphy J. C., Carrier O. R. Effect of temperature on the contractility of isolated rat mesenteric arteries. — J. Physiol., 1962, 202, N 6.
- Yonce L. R. Effect of temperature on the contractility of isolated rat mesenteric arteries. — J. Physiol., 1962, 202, N 6.

Отдел физиологии кровообращения  
Института физиологии им. А. А. Богомольца

[1]. Возможно, что увеличением ткани сосудов при треблении кислорода (при тканевой гипоксией).

нижая скорость метаболиз-  
слорода. И не случайно, что  
нае заметно возрастает, т. к.  
порода. Ранее в ряде работ



тивность и реакции  
электрическую стиму-  
волокон при перфу-  
моксическим ( $P_O_2$  —  
520 гПа) раствором

и гипероксическим рас-

реактивной гиперемии (РГ)  
окклюзий длительностью  
трубы крови. Снижение тем-  
пературы выраженности РГ бо-  
фактов придерживаться ги-  
слорода, то они могут быть  
ниженного обмена веществ)  
иональной активности коли-  
ерждается сходным с влия-  
интенсивность РГ. Ингаля-  
нижению выраженности РГ  
[7]. В этом же плане могут  
анные об увеличении выра-  
ц на электрическую стиму-  
авнению с нормоксическим

тканей в физиологических  
твие на сосудистый тонус,  
ладких мышц сосудов к цен-  
вероятно, что в механизме  
жит изменениям кислород-  
утствующим сдвигам обме-

A. I. Soloviev

### SPONTANEOUS AND EVOKED CONTRACTILE ACTIVITY OF VASCULAR SMOOTH MUSCLES AT DIFFERENT TEMPERATURES OF PERFUSATE

#### Summary

The purpose of the study was to investigate a spontaneous activity and contractile responses of rat portal vein nerve-muscle preparation to postganglionic sympathetic fibre stimulation at different temperatures of perfusate. The perfusate temperature decrease is accompanied by a significant amplitude increase and a frequency decrease of spontaneous mechanical activity. Under these conditions the electrical stimulation causes a higher increase in the vascular smooth muscle tonic tension. The perfusate temperature rise is accompanied by a significant amplitude decrease and a frequency increase of spontaneous mechanical activity. Under these conditions the electrical stimulation causes a lower increase in the vascular smooth muscle tonic tension. It is concluded that temperature fluctuations of tissues within physiological ranges may have either direct or indirect effect on the vascular tone. The latter changes the sensitivity of the vascular smooth muscle to central nervous signals.

Department of Blood Circulation Physiology,  
A. A. Bogomoletz Institute of Physiology,  
Academy of Sciences, Ukrainian SSR, Kiev

#### Список литературы

- Берштейн С. А., Соловьев А. И., Базилюк О. В. Сократительные эффекты симпатической стимуляции сосудистых гладких мышц при разных уровнях оксигенации перфузата.—Докл. АН СССР, 1980, 250, № 2, с. 491—493.
- Гурковская А. В. Влияние температуры на спонтанную электрическую и сократительную деятельность гладких мышечных клеток воротной вены.—Физiol. журн. СССР, 1971, 57, № 5, с. 712—720.
- Конради Г. П. Регуляция сосудистого тонуса. Л.: Наука, 1973. 325 с.
- Мануйлов И. А. Реакция сосудов конечности собаки на повышение температуры крови.—Физiol. журн. СССР, 1968, 54, № 8, с. 930—937.
- Мануйлов И. А. О механизме констрикторного действия крови повышенной температуры на артериальные сосуды.—Физiol. журн. СССР, 1970, 56, № 5, с. 742—749.
- Соловьев А. И. Реактивная гиперемия в скелетных мышцах при гипероксии.—В кн.: Тез. докл. Всесоюз. конф. «Гиперкарния, гипероксия, гипоксия». Куйбышев, 1974, с. 93—94.
- Соловьев А. И. Механизмы местной регуляции кровотока в скелетных мышцах при артериальной и венозной окклюзии: Автореф. дис. ... канд. мед. наук. Киев, 1977. 17 с.
- Соловьев А. И. Идентификация математической модели реактивной гиперемии с помощью термокинетического критерия Вант-Гоффа.—В кн.: Материалы III Всесоюз. конф. по биол. и мед. кибернетике. Сухуми, 1978, т. 1, с. 227—230.
- Шеферд Дж. Т. Редфлекторная регуляция емкостных сосудов.—В кн.: Труды международного симпозиума по регуляции емкостных сосудов. М., 1977, с. 88—108.
- Murphy J. C., Carrier O., Sahadi I. Effect of temperature on responses of fresh and refrigerated perfused blood vessels.—Amer. J. Physiol., 1973, 225, N 5, p. 1187—1197.
- Yonce L. R. Effect of temperature on reactive hyperemia in skeletal muscle.—Amer. J. Physiol., 1962, 202, N 6, p. 1055—1058.

Отдел физиологии кровообращения  
Института физиологии им. А. А. Богомольца АН УССР, Киев

Поступила в редакцию  
4.VI 1980 г.

УДК 616.073.173

А. В. Потебня

## ЗАВИСИМОСТЬ АМПЛИТУДЫ ИСКУССТВЕННОЙ ИНТРААОРТАЛЬНОЙ РЕОГРАММЫ ОТ АРТЕРИАЛЬНОГО ДАВЛЕНИЯ

Благодаря удобству, сравнительной простоте, безболезненности и возможности не только качественной, но и количественной оценки параметров гемодинамики (производительности сердца), метод реографии завоевал популярность у клиницистов и физиологов. Этот метод имеет еще немало резервов повышения его точности, что обнаруживается при анализе распространенной формулы для расчета систолического объема крови [9].

$$V = \rho \cdot \frac{l^2}{Z_0^2} \cdot \frac{dZ}{dt} \max \cdot T,$$

где  $\rho$  — удельное сопротивление крови,  $l$  — расстояние между реографическими электродами,  $Z_0$  — базисное сопротивление,  $\frac{dZ}{dt}$  — амплитуда дифференциальной реограммы (максимальная),  $T$  — длительность изгнания крови левым желудочком.

В этой формуле не учтены важные факторы, влияющие на динамику реограммы (РГ). Так  $\rho$  зависит не только от состава крови, но и от ее линейной скорости [4, 11]. Произведение  $\frac{dZ}{dt} \cdot T$ , в котором принято допущение, что максимальная скорость изгнания крови в аорту сохраняется на всем протяжении систолы, не вполне адекватно ее реальной временной динамике, которая подразделяется на быструю и медленную фазы. В ряде работ [1, 2] показана существенная значимость изменений артериального давления (АД), особенно обусловленных вариациями тонуса сосудов, в динамике амплитуды РГ. Этот фактор также не учтен в формуле, попытки учесть его наталкиваются на трудности [1, 3, 6]. До сих пор не известен парциальный вклад в амплитуду РГ сосудов различного калибра, в том числе и микрососудов, хотя известно, что колебания внутрисосудистого давления, синхронные с сокращениями сердца, присущи не только артериям, но и капиллярам и венулам [10].

Нами была зарегистрирована в каудальной полой вене кошки интравазальная РГ, на которой хорошо выражена кардиальная ритмика. Причем, если в артериальной системе преобладает кардиальная ритмика с незначительным влиянием дыхания, то в венозной преобладает ритм дыхания, из-за чего внутривенная РГ и регистрируемая с поверхности тела аналогичны. Можно ожидать значительно варьирующего вклада микроциркуляторного русла в динамику амплитуды РГ при изменениях сосудистого тонуса, в связи с чем может оказаться недостаточной оценка упругих свойств сосудов при различных уровнях АД по скорости распространения пульсовой волны [2], определение которой возможно лишь на крупных артериях.

Значительная трудность и сложность математического моделирования РГ, отмечаемая рядом авторов [2, 6], по-видимому может быть

объяснена недостаточно детально-теоретическим обоснованием характеристиками гемодинамики, целесообразным дальнейшим полагая, что между пульсом и производительностью предсказуемость которой обращения на данном этапе вполне удовлетворительна, сопоставляя систолический амплитудой обусловленного.

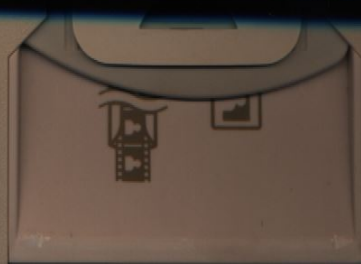
Поскольку величина сопротивления и прямым путем трансформации грудной клетки, венной и достаточно реальное автоматическое интракардиальное (0,5—1,0 мл) в диастолу, описанное ранее [7] автоматическое извлечение порции крови через

Схематическое изображение, представлено на рисунке, посредством двухэлектродной грудной или бедренной артерии РПГ2-02, а от него на один горизонтальной разверткой),альном контроле на экране поступал также на вход энцефалограммы, которая в момент, приуполномочии желудочек, включал сердечник толкал поршень изгнавший через катетер катетера в двух крупных уменьшения гидродинамики (заданный объем кровью задержки во включении достающем для поступления

Схематическое изображение экспериментальной установки.

1 — реоплетизмограф; 2 — ВЭКС, 3 — элементы автоматического устройства для интракардиального извлечения крови в фазу диастолы; 4 — механическая часть автоматического устройства; 5 — ник питания соленоидов

из автоматической системы, и такой же объем крови быстро извлекался из аорты. Объем крови обуславливалась ской волны, приуроченной к тому, что могла быть сопоставлена с устройству задержки в электрическом следовали с частотой пр. Система позволяла следитьниях гемодинамики, постоян

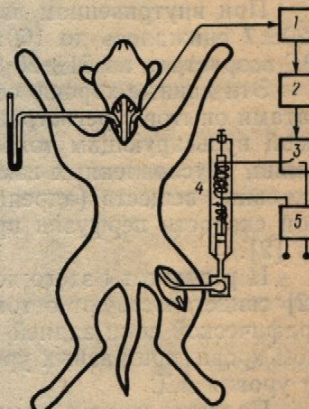


## Зависимость амплитуды

объяснена недостаточно детальным, надежным и глубоким экспериментально-теоретическим обоснованием количественной связи РГ с объемными характеристиками гемодинамики. В связи с этим представляется целесообразным дальнейшее экспериментальное изучение динамики РГ, полагая, что между пульсовыми изменениями электрорезистивности ткани и производительностью сердца имеется вариативная зависимость, предсказуемость которой при динамических сдвигах в системе кровообращения на данном этапе развития теории и практики реографии не вполне удовлетворительна, но которую возможно выявить эмпирически, сопоставляя систолический объем (естественный или искусственный) с амплитудой обусловленного им реографического сигнала.

Поскольку величина систолического объема крови является неизвестной и прямым путем трудно определимой, особенно при сохранении целостности грудной клетки, нами была использована близкая к естественной и достаточно реальная модель систолического выброса — быстрое автоматическое интрааортальное введение малого объема крови (0,5—1,0 мл) в диастолу желудочков. С этой целью было применено описанное ранее [7] автоматическое устройство для такого введения известной порции крови через интрааортальный катетер.

Схематическое изображение установки, включающей это устройство, представлено на рисунке. Реографический сигнал, регистрируемый посредством двухэлектродного гибкого зонда, вводимого в аорту через сонную или бедренную артерию, поступал на вход реоплетизмографа РПГ2-02, а от него на один из каналов ВЭКС-4М (все три канала с горизонтальной разверткой), где РГ записывалась на фотоленте при визуальном контроле на экране ВЭКС. Усиленный реографический сигнал поступал также на вход электронной части автоматического устройства, которая в момент, приуроченный к диастоле желудочков, включала соленоид. Его сердечник толкал поршень шприца, быстро изгонявшим через катетер (или через два катетера в двух крупных артериях для уменьшения гидродинамического сопротивления) заданный объем крови. После короткой задержки во включенном состоянии, достаточном для поступления порции крови



Схематическое изображение экспериментальной установки.

1 — реоплетизмограф; 2 — ВЭКС; 3 — электронная часть автоматического устройства для интрааортального введения заданного объема крови в фазу диастолы желудочков; 4 — механическая часть автоматического устройства; 5 — источник питания соленоида.

из автоматической системы в аорту, соленоид автоматически выключался, и такой же объем крови под действием возвратной пружины и АД быстро извлекался из аорты в разделительную капсулу. Водимый объем крови обусловливал возникновение искусственной реографической волны, приуроченной к диастоле желудочков, амплитуда которой могла быть сопоставлена с водимым объемом крови. Благодаря устройству задержки в электронной схеме автомата модельные «систолы» следовали с частотой примерно 1:5 относительно сердечного ритма. Система позволяла следить за динамикой амплитуды РГ при изменениях гемодинамики, постоянно имея ее объемный эквивалент.

### Методика исследований

Опыты проводились на наркотизированных кошках (хлоралоза 50 мг/кг + нембутал 20 мг/кг в водном растворе внутрибрюшинно). Препаровка состояла в выделении наружной яремной вены, сонных и бедренных артерий. По окончании препаровки вводили внутривенно гепарин. В кардиальные отрезки отпрепарованных сосудов вставляли катетеры для внутривенных вливаний вазоактивного вещества, проведения электродного реографического зонда в аорту и регистрации АД и интранаортальных автоматических введений заданных объемов крови в диастолу, соответственно. До начала регистрации осуществляли регулировку автоматического устройства — подбирали оптимальный временной режим интранаортальных введений в диастолу определенной порции крови, а также устанавливали оптимальную мощность изгиания. Среднее АД определяли в сонной артерии ртутным манометром при установленном на его входе гидродинамическом сопротивлении, чтобы не исажать пульсовых изменений в аорте. В ходе опыта производили искусственные изменения АД посредством извлечения части циркулирующей крови (артериальной), либо внутривенным введением папаверина.

### Результаты исследований и их обсуждение

Основное внимание в данной работе было сосредоточено на динамике амплитуды искусственных реографических волн при направленных изменениях гемодинамики. Запись РГ производилась до и после воздействий (извлечения крови или введения папаверина). Интранаортальная РГ, регистрируемая посредством расположенных друг за другом на тонком (0,5 мм) гибком зонде электродов, по сравнению с РГ, регистрируемой с поверхности тела, имеет то преимущество, что она не осложнена экстравазальными влияниями и отражает пульсовые колебания кровенаполнения аорты, что является важным для экспериментального анализа генеза и динамики РГ. При извлечении 50 мл артериальной крови АД снижалось с  $227 \pm 13$  до  $140 \pm 13$  гПа, при этом амплитуда искусственной РГ возрастала на  $55 \pm 15\%$ .

При внутривенном введении папаверина (1,0—2 % раствор) АД с  $220 \pm 7$  снижалось до  $160 \pm 13$  гПа, при этом амплитуда искусственной РГ возрастала на  $51 \pm 20\%$ .

Эти данные хорошо согласуются с полученными нами ранее результатами опытов с регистрацией РГ задней конечности кошки, перфузируемой пульсирующим током крови при изменениях перфузионного давления, обусловленных изменениями тонуса сосудов под влиянием вазоактивных веществ (адреналина, папаверина), либо изменениями объемной скорости перфузии при неизменном объеме пульсаций тока крови [2].

И результаты этого исследования, и полученные нами ранее данные [2] свидетельствуют о том, что амплитуда как аортальной, так и реографической волн задней конечности, обусловленных стабильным объемом крови, при разных уровнях АД изменяется в обратной зависимости от уровня АД.

Представление об амплитуде РГ как о величине, зависимой и от систолического объема крови, и от АД, должно быть детализировано в дальнейших лабораторных исследованиях и клинических наблюдениях. Перспективным представляется сочетание реографии с методом контрпульсаций подобно тому, как уже реализована комбинация последнего с артериальной тензограммой для определения систолического объема крови [8].

Исследования динамики амплитуд одновременно зарегистрированных искусственных интранаортальной, торакальной и периферической (а возможно и микроциркуляторной) реографических волн при направленных изменениях гемодинамики, вероятно, помогут выявить особенности динамики объемных пульсаций сосудов различного калибра и их парциальный вклад в регистрируемую с поверхности тела РГ.

Для успешного моделирования физического обоснования и более солидная экспериментальная база исследованного объекта.

Таким образом, амплитуда реографической волны определяется объемом крови (0,5—1,0 л) и зависит от уровня артериального давления.

БЫСТРЫЕ ИЗМЕНЕНИЯ  
ВОЛНЫ DEPENDENCE OF THE  
AMPLITUDE OF THE WAVE

Rapid intra-aorta administration of drugs (e.g., papaverine) changes the amplitude of the wave recorded by the catheter in the femoral artery during experiments with anesthetized cats. Diogenic rheographic signals, the amplitude of which depends on the arterial blood volume, are recorded by the artificial intra-aortal rheograph. Problems of experimental and practical application for determining the heart output.

Department of Blood Circulation Prof. A. A. Bogomoletz Institute of Physics of the Academy of Sciences, Ukrainian SSR

Cнижение

1. Волхонская Т. А. Возможности реографии. — В кн.: Математическое моделирование физиологических систем. Кн. 1. М., 1975.
2. Гуревич М. И., Братусь В. В., Ильинский А. А. Изменение артериального давления и супинированного тонуса. — Физiol. журн., 1975, 51, № 10.
3. Гуревич М. И., Соловьев А. И. Тетраполярной импедансной реографии и кардиодинамики. — Физiol. журн., 1975, 51, № 10.
4. Зеликсон Б. Б. Изменения электрической проводимости тканей. — Физiol. журн., 1975, 51, № 10.
5. Мажбич Б. И. Электроплетизмография. — Физiol. журн., 1975, 51, № 10.
6. Науменко А. И., Скотников В. А. Изменение артериального давления при введении малых доз гипотензивных препаратов. — Физiol. журн., 1975, 51, № 10.
7. Потебня А. В., Онищенко А. М. Изменение артериального давления при введении малых дополнительных доз гипотензивных препаратов. — Физiol. журн., 1980, 56, № 10.
8. Herzinger G. Absolute determinants of arterial blood pressure in patients using the radial artery. — Amer. J. Physiol., 1975, 239, H121-H125.
9. Kubicek W., Patterson R., Wilson D. A. A noninvasive technique for monitoring cardiac function. — Ann. N. Y. Acad. Sci., 1970, 170, 170-175.
10. Mahler F., Muheim M. H. Intaglio of nailfold capillaries. — Amer. J. Physiol., 1975, 239, H121-H125.
11. Visser K., Lamberts R., Korstjens H. Electrical impedance changes in the nailfold capillary bed. — Amer. J. Physiol., 1975, 239, H121-H125.

Отдел физиологии кровообращения  
Института физиологии им. А. А. Богомолец  
АН УССР, Киев

ий

(хлоралоза 50 мг/кг + нембутал) состояла в выделении наружокончания препаровки вводили ванных сосудов вставляли катетера, проведения электродного реоортального автоматических ввено. До начала регистрации осу юдибрали оптимальный временемленной порции крови, а также АД определяли в сонной артерии гидродинамическом сопротивлении.

В ходе опыта производили исс и циркулирующей крови (арте-

### Обсуждение

О сосредоточено на динах воли при направленных вились до и после воздействия (хлоралоза). Интрааортальная в друг за другом на тонненюю с РГ, регистрируя, что она не осложнена пульсовые колебания кровоэкспериментального ана-0 мл артериальной крови в этом амплитуда искусствен-

(1,0—2 % раствор) АД с амплитуда искусственной

ными нами ранее результаты кошки, перфузирующих перфузионного давления под влиянием вазо-ти изменением объема пульсаций тока кро-

енные нами ранее данные о аортальной, так и реогенных стабильным объемом в обратной зависимости

личине, зависимой и от быть детализировано внических наблюдениях. графии с методом контр- комбинация последнего и систолического объема

еменно зарегистрированной и периферической ческих волн при направ- помогут выявить особен- азличного калибра и ихности тела РГ.

Для успешного моделирования РГ, для ее более адекватного биофизического обоснования и математического выражения необходима более солидная экспериментальная база. Хорошая модель — это модель хорошо исследованного объекта.

Таким образом, амплитуда искусственной интрааортальной РГ, обусловленной быстрым автоматическим введением в аорту постоянного объема крови (0,5—1,0 мл) в диастолу желудочек, изменяется в обратной зависимости от уровня АД.

### А. В. Потебня

#### DEPENDENCE OF THE ARTIFICIAL INTRA-AORTAL RHEOGRAM AMPLITUDE ON ARTERIAL PRESSURE

##### Summary

Rapid intra-aorta administration of the prescribed blood volume (0.5-1 ml through a catheter in the femoral artery) during the ventricle diastole phase was realized in acute experiments with anesthetized cats using an automatic device triggered by means of caridiogenic rheographic signals. The intra-aortal rheogram was recorded by a flexible probe carrying two electrodes arranged in series. It is shown that changes in the amplitude of the artificial intra-aortal rheographic wave due to automatic administration of the standard blood volume are in an inverse dependence on the systemic arterial pressure level. Problems of experimental and practical rheography are considered as related to its application for determining the heart output.

Department of Blood Circulation Physiology,  
A. A. Bogomoletz Institute of Physiology,  
Academy of Sciences, Ukrainian SSR, Kiev

### Список литературы

1. Волхонская Т. А. Возможности количественной оценки сердечного выброса методом реографии.—В кн.: Математическое моделирование и экспериментальное исследование физиологических систем. Киев, 1973, с. 48—56.
2. Гуревич М. И., Братусь В. В., Потебня О. В. Про залежність амплітуди реограми від судинного тонусу.—Фізіол. журн., 1975, 21, № 5, с. 590—594.
3. Гуревич М. И., Соловьев А. И., Доломан Л. Б. Возможности и перспективы метода тетраполярной импедансной реоплетизмографии для неинвазивного исследования гемо- и кардиодинамики.—Физиол. журн., 1979, 25, № 4, с. 465—471.
4. Зеликсон Б. Б. Изменения электропроводности потока крови, движущейся с переменной скоростью.—Физиол. журн. СССР, 1973, 59, № 10, с. 1508—1515.
5. Мажбич Б. И. Электроплетизмография легких. Новосибирск : Наука, 1969. 184 с.
6. Науменко А. И., Скотников В. В. Основы электроплетизмографии. Л. : Медицина, 1975. 216 с.
7. Потебня А. В., Онищенко А. М. Устройство для автоматического интрааортального введения малых дополнительных объемов крови в определенную фазу сердечного цикла.—Физиол. журн., 1980, 26, № 1, с. 135—137.
8. Herzinger G. Absolute determination of cardiac output in intraaortic balloon pumped patients using the radial arterial pressure trace.—Circulation, 1976, 53, N 3, p 417—421.
9. Kubicek W., Patterson R., Witsoe D. Impedance cardiography as a noninvasive method of monitoring cardiac function and other parameters of the cardio-vascular system.—Ann. N. Y. Acad. Sci., 1970, 170, N 2, p. 724—732.
10. Mahler F., Muheim M. H., Intaglietta M. et al. Blood pressure fluctuations in human nailfold capillaries.—Amer. J. Physiol., 1979, 236, N 6, p. 888—893.
11. Visser K., Lamberts R., Korsten H., Zijlstra W. Observations on blood flow related electrical impedance changes in rigid tubes.—Pflügers Arch., 1976, 336, N 2, p 289—291.

Отдел физиологии кровообращения  
Института физиологии им. А. А. Богомольца  
АН УССР, Киев

Поступила в редакцию  
12.V 1980 г.

УДК 612.741.61:612.261:612.27.2

С. А. Берштейн, Ю. Н. Онопчук, А. И. Соловьев

## ДИНАМИКА КИСЛОРОДНОГО РЕЖИМА СОСУДИСТОЙ СТЕНКИ ПРИ ФУНКЦИОНАЛЬНОЙ ГИПЕРЕМИИ СКЕЛЕТНЫХ МЫШЦ И АРТЕРИАЛЬНОЙ ГИПОКСИИ

Вопрос о роли дефицита кислорода в регуляции сосудистого тонуса все еще остается спорным. Весьма противоречивы представления об участии этого фактора в формировании функциональной гиперемии — от признания ведущего значения [5, 15, 17] до практически полного его отрицания [7, 9, 10, 16, 18]. Один из аргументов сторонников последней точки зрения сводится к тому, что при рабочей гиперемии гладкие мышцы прекапиллярных сосудов оказываются на пути форсированного массопереноса кислорода и, в связи с этим, условия их снабжения кислородом должны становиться более благоприятными [13]. Первая часть этого положения сомнений, по-видимому, не вызывает. Однако, действительно ли при этом улучшается снабжение сосудистых гладких мышц кислородом — не ясно. Многое зависит от того, насколько усиленный поток кислорода через стенку сосуда способен сочетаться с ростом его утилизации гладкими мышцами. Экспериментальных данных по этому поводу нет.

Проблема могла бы быть решена путем прямых измерений параметров, характеризующих кислородный режим стенки резистивных сосудов работающих мышц, но, к сожалению, в настоящее время это практически невыполнимо. В этой связи для получения такого рода информации мы сочли целесообразным обратиться к исследованиям на имитационной математической модели с сосредоточенными параметрами. На этой модели исследовали также изменения кислородного режима сосудистой стенки при артериальной гипоксемии, которая часто используется для выяснения роли дефицита кислорода в регуляции сосудистого тонуса.

Основой математической модели, предназначеннной для изучения динамики массопереноса газов, в том числе и газообмена между кровью и тканями, служит система обычных дифференциальных уравнений, дополненная алгебраическими соотношениями, которые описывают причинно-следственные связи параметров, характеризующих изучаемые процессы [8, 11]. Для исследования динамики кислородного режима сосудистой стенки при изменениях условий жизнедеятельности потребовалось расширить ранее предложенную модель, введя между артериальной кровью и тканью дополнительный элемент — стенку сосуда.

При построении такой модели предполагалось:

— что исследуемая система может быть представлена в виде цилиндрического тканевого резервуара объемом  $V_t$ , с расположенным внутри него «обобщенным» кровеносным сосудом, объем гладких мышц стенки которого равен  $V_{cc}$ , а объем вмещающей им крови —  $V_k$  (рис. 1);

— что для имитации изменений кислородного режима вдоль стенки «обобщенного» сосуда (от его артериальной зоны до венозной) тканевой резервуар может быть условно разбит плоскостями на некоторое число ( $1, 2, \dots, K$ ) слоев  $j$ , причем  $P_{O_2}$  в любой точке рассматриваемого слоя как и в любой точке стенки сосуда на участке, входящем в этот слой, соответственно равны.

С учетом сделанных в системе артериальная быть представлена в вид

$$\frac{dP_{KO_2}}{dt} = \frac{1}{\alpha V_k^i} [\alpha \cdot Q]$$

$$\frac{dP_{CO_2}^i}{dt} = -$$

$$\frac{dP_{TO_2}^i}{dt} = -$$

где  $P_{KO_2}^{i-1}$  и  $P_{KO_2}^i$  — напряжение кислородом в пр  $G_1$  — поток кислорода из тканевой резервуар;  $q_1$  — с ного» сосуда и  $q_2$  — ткане

При этом  $G_1^i + G_2^i = 0$

и

где  $S$  — площадь поверхности

На основе описанной последовательность изменения и напряжения кислород

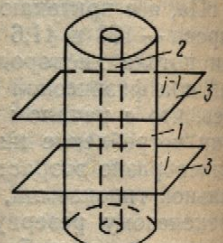


Рис. 1. Модель ци

1 — мышечная ткань; 2 — тканевый резервуар

Рис. 2. Динамика потока  $O_2$  в тканевом резервуаре

По вертикали —  $P_{O_2}$  в сосудисто-тканевом резервуаре

степень физической нагрузки. Степень кислородации

В покое исследуемая следовательно, правые час нулю, в том числе и  $\frac{dP_{CO_2}}{dt} = 0$ .  $G_1^i = q_1^i$  и  $G_2^i = q_2^i$  для любо рода в этих условиях соотв цами, так и сосудистой ст

С учетом сделанных допущений математическая модель газообмена в системе артериальная кровь — сосудистая стенка — ткань может быть представлена в виде:

$$\frac{dP_{\text{ко}_2}^j}{dt} = \frac{1}{\alpha V_k^j} \left[ \alpha \cdot Q \cdot (P_{\text{ко}_2}^{j-1} - P_{\text{ко}_2}^j) + Hb \cdot \gamma_{Hb} \cdot Q \cdot (\eta_k^{j-1} - \eta_k^j) - G^j + Hb \cdot \gamma_{Hb} \cdot V_k^j \frac{d\eta_k^j}{dt} \right]; \quad (1)$$

$$\frac{dP_{\text{ccO}_2}^j}{dt} = \frac{1}{\alpha \cdot V_{\text{cc}}^j} \left[ G_1^j - q_1 + M b_1 \cdot \gamma_{M b} \cdot V_{\text{cc}}^j \frac{d\eta_{\text{cc}}^j}{dt} \right]; \quad (2)$$

$$\frac{dP_{\text{то}_2}^j}{dt} = \frac{1}{\alpha \cdot V_t^j} \left[ G_2^j - q_2 + M b_2 \cdot \gamma_{M b} \cdot V_t^j \frac{d\eta_t^j}{dt} \right]; \quad (3)$$

где  $P_{\text{ко}_2}^{j-1}$  и  $P_{\text{ко}_2}^j$  — напряжение кислорода, а  $\eta_k^{j-1}$  и  $\eta_k^j$  — насыщение гемоглобина кислородом в притекающей и оттекающей крови соответственно;  $G_1$  — поток кислорода из крови в сосудистую стенку и  $G_2$  — из крови в тканевый резервуар;  $q_1$  — скорость утилизации кислорода стенкой «обобщенного» сосуда и  $q_2$  — тканевым резервуаром.

При этом  $G_1^j + G_2^j = G^j$ , где  $G^j$  — суммарный поток кислорода из крови, а

$$G_1 = k \cdot n \cdot S (P_{\text{ко}_2} - P_{\text{ccO}_2}) \quad (4)$$

и

$$G_2 = k \cdot n \cdot S (P_{\text{ко}_2} - P_{\text{то}_2}), \quad (5)$$

где  $S$  — площадь поверхности, через которую осуществляется газообмен.

На основе описанной модели (1—5) рассмотрим возможную последовательность изменений потока кислорода к сосудистой стенке ( $G_1$ ) и напряжения кислорода в ней ( $P_{\text{ccO}_2}$ ) при физической нагрузке.

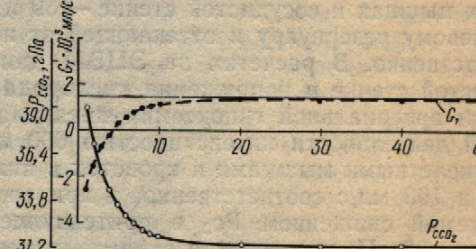
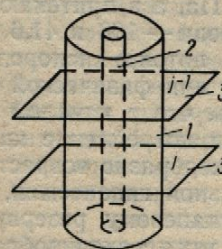


Рис. 1. Модель цилиндрического тканевого резервуара (схема).

1 — мышечная ткань; 2 — «обобщенный» кровеносный сосуд; 3 — секущая плоскость.

Рис. 2. Динамика потока  $O_2$  (черные кружки) и  $P_{\text{ccO}_2}$  (белые кружки) в сосудистой стенке при физической нагрузке.

По вертикали —  $P_{\text{ccO}_2}$  в сосудистой стенке ( $P_{\text{ccO}_2}$ ) и поток  $O_2 (G_1)$ ; по горизонтали — продолжительность физической нагрузки. Сплошная горизонтальная линия соответствует уровню потребления кислорода гладкими мышцами сосудистой стенки.

В покое исследуемая система находится в стационарном состоянии и, следовательно, правые части дифференциальных уравнений (1—3) равны нулю, в том числе и  $\frac{d\eta}{dt} = 0$ . При этом из уравнений (1—3) следует, что  $G_1^j = q_1^j$  и  $G_2^j = q_2^j$  для любого из рассматриваемых  $j$ , т. е. доставка кислорода в этих условиях соответствует его потреблению как скелетными мышцами, так и сосудистой стенкой.

Пусть в момент времени  $t_0$  исследуемая система скачкообразно изменит интенсивность своей функции в связи с началом мышечной деятельности. В этих условиях возрастает скорость утилизации кислорода скелетными мышцами ( $q_2$ ), и по этой причине в них нарушается баланс между доставкой и потреблением кислорода ( $G_2 < q_2$ ). При этом, как следует из уравнения (3), снижается  $P_{O_2}$  в тканевом резервуаре, что в соответствии с уравнением (5) должно привести к росту потока кислорода к скелетным мышцам с последующим (по уравнению (1) неизбежным падением  $P_{O_2}$  в крови. Последнее, в свою очередь, приводит к уменьшению потока кислорода к сосудистой стенке, следующему из уравнения (4), и в результате (см. уравнение (2) в ней также нарушается баланс между доставкой и потреблением кислорода ( $G_1 < q_1$ ).

Согласно основанной на критерии соответствия между доставкой и потреблением кислорода математической модели [11, 12] и полученным нами экспериментальным данным [1—4, 6], дефицит кислорода должен привести к росту кровотока в функционирующей ткани. Вследствие этого наступит усиление потока кислорода к тканевому резервуару и сосудистой стенке и восстановление в них ранее нарушенного кислородного баланса. Вновь устанавливающееся в этих условиях стационарное состояние, как правило, характеризуется более низкими, чем в покое, уровнями напряжения кислорода в тканевом резервуаре и сосудистой стенке.

Приступая к экспериментам на описанной модели (1—5), мы, основываясь на известных данных [14], исходили из того, что общая масса скелетных мышц составляет  $35 \cdot 10^3$  г, а масса гладких мышц включенных в них сосудов — 80 г. К тому же принималось, что в покое суммарное потребление кислорода скелетными и сосудистыми гладкими мышцами равно  $1,41$  и  $1,4 \cdot 10^{-3}$  мл/с соответственно; кровоток в скелетных мышцах равен 19,37 мл/с; напряжение кислорода в скелетных мышцах и сосудистой стенке — 39 и 41,5 гПа, а в притекающей к тканевому резервуару и оттекающей от него крови — 108 и 41,6 гПа соответственно. В расчетах на ЭЦВМ динамики потока кислорода к сосудистой стенке и напряжения кислорода в ней при физической нагрузке и артериальной гипоксемии предполагалось, что с началом мышечной деятельности интенсивностью 600 кгм/мин потребление кислорода скелетными мышцами и кровоток в них скачкообразно возрастают до 25 и 190 мл/с соответственно, а при артериальной гипоксемии, моделируемой снижением  $P_{O_2}$  в притекающей к тканевому резервуару крови до 39 гПа, кровоток в скелетных мышцах также скачкообразно повышается до 50 мл/с. При этом обуславливается, что потребление кислорода стенкой «обобщенного» сосуда как в одном, так и в другом случаях поддерживается неизменным.

Полученные данные указывают на то, что с первой же секунды мышечной деятельности значения потока кислорода к стенке «обобщенного» сосуда становятся отрицательными (рис. 2), т. е. происходит диффузия кислорода из сосудистой стенки в тканевой резервуар и, следовательно, приток кислорода к сосудистой стенке не усиливается, а, напротив, она теряет кислород. Эта ситуация, несмотря на сопутствующее краткое снижение скорости диффузии кислорода из сосудистой стенки, длится примерно до 5 с. Затем она сменяется постепенно возрастающим притоком кислорода к сосудистой стенке, благодаря чему примерно к 30 с мышечной деятельности в ней практически восстанавливается соответствие доставки кислорода уровню его потребления. Такая динамика снабжения кислородом сосудистой стенки находит

вое отражение в вы-  
физической нагрузки  
жается с 39 до 33,8 г  
ния кислорода в ней  
деятельности стабили-  
начале физической на-  
сосудистой стенки ок-  
щий в связи с этим де-  
примерно к 30 с мыш-  
щееся к этому времен-  
низким уровнем  $P_{O_2}$   
«обобщенного» сосуда

Рис. 3. Динамика потока кислорода к сосудистой стенке при артериальной гипоксемии.

Обозначения см. рис.

Результаты иссле-  
дистых гладких мыш-  
том, что по истечении  
к сосудистой стенке ре-  
динамики ее снабже-  
ния потока кислорода в-  
ятся. Сочетающееся с  
способствует последу-  
ки кислорода к сосудисто-  
более длительным, че-  
ливидируется лишь в  
условий снабжения ки-  
монотонное снижение  
восстановления в сосу-  
потреблением кислоро-  
при физической нагру-  
стоянию соответствует

Представленные ре-  
ровать, что при мыш-  
динамика кислородных  
чается. Не исключено,  
что полно воспроизве-  
ных мышц путем их пе-

1. Усиление диффу-  
в переходном периоде  
способствует росту при-  
а, напротив, условия и-  
ются.

2. Установленные  
ки мышц сосудистой  
артериальной гипоксемии и  
реакциях при гипоксемии  
формировании рабочей

система скачкообразно и с началом мышечной деятельности утилизации кислородом в них нарушается равновесие ( $G_2 < q_2$ ). При этом  $P_{O_2}$  в тканевом резервуаре должно привести к росту потребления (по уравнению 6). Последнее, в свою очередь, приводит к доставке кислорода к сосудистой стенке в результате (см. уравнение 6) доставкой и потреблением

доставки между доставкой кислорода [11, 12] и полученным дефицитом кислорода, нарушающей ткань. Вследствие этого к тканевому резервуару, ранее нарушенного в этих условиях, доставка кислорода становится более низкими, чем в тканевом резервуаре и

модели (1—5), мы, освободив из того, что общая масса гладких мышц принималось, что в посттесневом и сосудистых соответственно; кровоток кислорода в скелетных мышцах — 5 г/мин, а в притекающей крови — 108 и 41,6 г/мин потока кислорода к ней при физической нагрузке, что с началом мышечной деятельности потребление кислорода скачкообразно возрастает при артериальной гипоксемии, может тканевому резервуару также скачкообразно возрасти, что потребление кислорода в одном, так и в другом

с первой же секунды доставки к стенке «обобщенного» (рис. 2), т. е. происходит скачкообразное усиление резервуара и, несмотря на сопутствующее из сосудистой стенки, благодаря чему практически восстановлено его потребление. Сосудистой стенки находится

### Динамика кислородного режима

своё отражение в выраженном снижении в ней  $P_{O_2}$ . За первые 4—5 с физической нагрузки напряжение кислорода в сосудистой стенке снижается с 39 до 33,8 гПа. В последующем скорость снижения напряжения кислорода в ней постепенно уменьшается и на 30 с мышечной деятельности стабилизируется на уровне 31,2 гПа. Таким образом, в начале физической нагрузки доставка кислорода к гладким мышцам сосудистой стенки оказывается существенно ограниченной. Возникающий в связи с этим дефицит кислорода в сосудистой стенке устраняется примерно к 30 с мышечной деятельности. Причем вновь устанавливющееся к этому времени стационарное состояние характеризуется более низким уровнем  $P_{O_2}$  в стенке «обобщенного» сосуда.

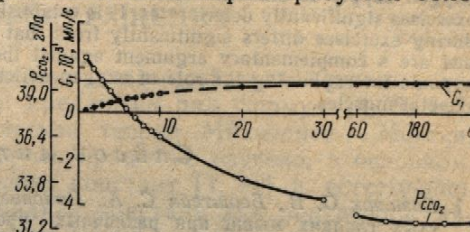


Рис. 3. Динамика потока  $O_2$  и  $P_{O_2}$  в сосудистой стенке при артериальной гипоксемии.

Обозначения см. рис. 2.

Результаты исследований на модели кислородного режима сосудистых гладких мышц при артериальной гипоксемии свидетельствуют о том, что по истечении 1 с гипоксемии интенсивность притока кислорода к сосудистой стенке резко снижается (рис. 3). Однако, в отличие от динамики ее снабжения кислородом при физической нагрузке, значения потока кислорода к сосудистой стенке отрицательными не становятся. Сочетающееся с гипоксемией существенное увеличение кровотока способствует последующему постепенному восстановлению доставки кислорода к сосудистой стенке. Этот процесс оказывается значительно более длительным, чем при физической нагрузке. Дефицит кислорода ликвидируется лишь к исходу 2—3 мин гипоксемии. С изменениями условий снабжения кислородом стенки «обобщенного» сосуда связано монотонное снижение в ней напряжения кислорода. К моменту восстановления в сосудистой стенке соответствия между доставкой и потреблением кислорода значения  $P_{O_2}$  в ней стабилизируются. Как и при физической нагрузке, установившемуся вновь стационарному состоянию соответствует более низкий уровень напряжения кислорода.

Представленные результаты позволяют, таким образом, констатировать, что при мышечной деятельности и артериальной гипоксемии динамика кислородных режимов сосудистой стенки существенно отличается. Не исключено, что именно по этой причине не удается достаточно полно воспроизвести динамику функциональной гиперемии скелетных мышц путем их перфузии кровью со сниженным  $P_{O_2}$ .

### Выводы

1. Усиление диффузии кислорода из крови к скелетным мышцам в переходном периоде от покоя к мышечной деятельности не только не способствует росту притока кислорода к сосудистым гладким мышцам, а, напротив, условия их снабжения кислородом существенно ухудшаются.

2. Установленные отличия динамики кислородных режимов гладких мышц сосудистой стенки при мышечной деятельности и при артериальной гипоксемии не позволяют использовать данные о сосудистых реакциях при гипоксемии для трактовки роли дефицита кислорода в формировании рабочей гиперемии скелетных мышц.

S. A. Bershteyn, Yu. N. Oporchuk, A. I. Soloviev

DYNAMICS OF VASCULAR WALL OXYGEN REGIME UNDER  
FUNCTIONAL HYPEREMIA OF SKELETAL  
MUSCLES AND ARTERIAL HYPOXEMIA

Summary

Experiments on a simulation mathematical model with concentrated parameters shown that intensification of  $O_2$  diffusion from blood to skeletal muscles accompanied by exercises never promotes an increase in oxygen income to smooth vascular muscles. Moreover, oxygen supply to smooth vascular muscles during the transitional period from rest to exercises significantly deteriorates. It is established that the oxygen regime of vascular wall during exercises differs significantly from that under arterial hypoxemia. The data obtained are a complementary argument against the use of data on vascular reactions under hypoxia for explaining the role of oxygen deficiency in formation of exercise hyperemia in skeletal muscles.

*Список литературы*

1. Базилюк О. В., Берштейн С. А., Соловьев А. И. Изменения реактивности сосудистых гладких мышц при различных уровнях оксигенации перфузата.— Физиол. журн., 1980, 26, № 1, с. 27—32.
2. Берштейн С. А. Влияние изменений напряжения кислорода на электрические и сократительные свойства гладких мышц сосудов.— Докл. АН СССР, 1969, 189, № 3, с. 670—673.
3. Берштейн С. А. О механизмах гемодинамических реакций на изменения кислородного баланса организма: Автореф. дис. ... д-ра мед. наук. Киев, 1973. 36 с.
4. Берштейн С. А., Соловьев А. И., Базилюк О. В. Сократительные эффекты симпатической стимуляции сосудистых гладких мышц при разных уровнях оксигенации перфузата.— Докл. АН СССР, 1980, 250, № 2, с. 491—493.
5. Гуревич М. И., Берштейн С. А. Про регуляцию гемодинамики за дефицитом кисню в крові і тканинах.— Фізіол. журн., 1977, 23, № 2, с. 259—265.
6. (Гуревич М. И., Берштейн С. А., Соловьев А. И.) Gurevich M. I., Bershteyn S. A., Soloviev A. I. Dependence of sympathetic stimulation of vascular smooth muscles effects on  $P_{O_2}$  level of perfusate. — In: Physiology and pharmacology of smooth muscle: Abstracts of papers. Sofia, 1979, p. 35.
7. Кан В. Н., Левтov B. A. Влияние артериальной и венозной окклюзии на гемодинамику и потребление кислорода в скелетной мышце.— Физиол. журн. СССР, 1970, 56, № 4, с. 618—624.
8. Колчинская А. З., Пшеничный Б. Н., Милюра А. Г. и др. Моделирование динамики массопереноса газов в организме человека.— Кибернетика и вычислительная техника. Серия Медицинская кибернетика. 1978, вып. 41, с. 54—61.
9. Конради Г. П. Регуляция сосудистого тонуса. Л.: Наука, 1973. 325 с.
10. Левтov B. A. Химическая регуляция местного кровообращения. Л.: Наука, 1967. 198 с.
11. Онопчук Ю. Н. Об одной имитационной модели для исследования сложных физиологических процессов.— Кибернетика, 1979, № 3, с. 66—72.
12. Онопчук Ю. Н., Марченко Д. И. Об одной особенности переходных процессов в системах регионарного кровообращения.— В кн.: Теория оптимальных решений. Киев, 1980, с. 32—38.
13. Хаютик В. М. Функциональная гиперемия скелетных мышц.— Итоги науки и техники. Серия Физиология человека и животных. 1979, 23, с. 46—106.
14. Человек. Медико-биологические данные (Публикация № 23 Международной комиссии по радиологической защите). М.: Медицина, 1977. 496 с.
15. Barcroft H. An enquiry into the nature of the mediator of the vasodilatation in skeletal muscle in exercise and during circulatory arrest.— J. Physiol., 1972, 222, N 2, p. 99—118.
16. Bond R. F., Blachard R. F., Taxis J. A. Evidence against oxygen being the primary factor governing autoregulation.— Amer. J. Physiol., 1969, 216, N 4, p. 788—793.
17. Carrier O., Walker J. R., Guyton A. C. Role of oxygen in autoregulation of blood flow in isolated vessels.— Amer. J. Physiol., 1964, 206, N 5, p. 951—954.
18. Stainsby W. N., Otis A. B. Blood flow, blood oxygen tension, oxygen uptake and oxygen transport in skeletal muscle.— Amer. J. Physiol., 1964, 206, N 4, p. 858—866.

Отдел физиологии и кровообращения  
Института физиологии им. А. А. Богомольца  
АН УССР, Киев

Поступила в редакцию  
15.IX 1980 г.

УДК 612.13—612.213:615:711.7

М. А. Н

КИНЕТИЧЕСКИ  
АДРЕНАЛИНА,  
С АДРЕНОРЕЦЕПТОРЫ  
КРУГА

Несмотря на то, что существуют с сосудистыми рефлексами, в основе которых лежит влияние ряда катехоламинов качественно, без расчета без проведения сравнительного и большого круга. Адренорецепторов малого подобный анализ мог бы. На наш взгляд, применение недостаточной адекватности. Поэтому цель данной работы адекватного метода вычислительную оценку влияния изопропилнорадиена кругов кровообращения.

М

В острых опытах на семи под нембуталовым наркозом (Эпиналия и изадрин) на давление денные в бедренную артерию артериальное давление и давление в легочной артерии на регистраторе физиографа-068 опыте по 8—10 раз в дозах от 0 кинетические константы  $R_m$  и  $K_m$  с сосудистыми рецепторами пропордков:

 $y = K_m$ 

где  $y$  — реакция давления на максимальную возможную реакцию в русле;  $K_m$  — кажущаяся константа рецептором. Кроме того, определено, что  $K_m$  входит в формулу (2) во 2-й член Михаэлиса — Ментен дает величину разницы между давлением до

Для расчета кинетических машинных метод аппроксимации имеет преобразования исходной формулы. Это свойство метода позволяет получить значения констант, т. е. фактически найти истинные  $K_m$  проводили с точностью не менее 10% по критерию знаков и изучали варианты по специальным та-

concentrated parameters shown muscles accompanied by exercises in vascular muscles. Moreover, transitional period from rest to oxygen regime of vascular wall in hypoxemia. The data obtained on vascular reactions under condition of exercise hyperemia in

94

изменения реактивности сосудов на перфузата.—Физиол.

города на электрические и солнечные АН ССР, 1969, 189, № 3,

ций на изменения кислородно-кислородного гомеостаза.—Киев, 1973. 36 с.

кратительные эффекты симпатико-раздражительных уровнях оксигенации 493.

динамики за дефицитом кисню в 265.

Bershtein M. I., Bershtein S. A., et al. Smooth muscles of vascular smooth muscle: pharmacology of smooth muscle:

изменений окклюзии на гемодинамике. Физиол. журн. ССР, 1970, 56,

др. Моделирование динамики тока и вычислительная техника 54—61.

ка, 1973. 325 с.

вращения. Л.: Наука, 1967.

исследования сложных физиологических процессов в 2.

ости переходных процессов в 3. в оптимальных решений. Кинетика мышц.—Итоги науки и техники, с. 46—106.

№ 23 Международной комиссии 496 с.

of the vasodilatation in skeletal muscle. J. Physiol., 1972, 222, N 2,

inst oxygen being the primary 59, 216, N 4, p. 788—793.

in autoregulation of blood flow 951—954.

tension, oxygen uptake and oxygen 206, N 4, p. 858—866.

Поступила в редакцию 15.IX 1980 г.

УДК 612.13—612.213:615:711.7

М. А. Навакатикян, В. А. Цыбенко

## КИНЕТИЧЕСКИЙ АНАЛИЗ ВЗАИМОДЕЙСТВИЯ АДРЕНАЛИНА, НОРАДРЕНАЛИНА И ИЗАДРИНА С АДРЕНОРЕЦЕПТОРАМИ МАЛОГО И БОЛЬШОГО КРУГОВ КРОВООБРАЩЕНИЯ

Несмотря на то, что для описания взаимодействия активных веществ с сосудистыми рецепторами предложен ряд формул [4, 8, 10], в основе которых лежит кинетическая теория Михаэлиса — Ментен, влияние ряда катехоламинов на кровообращение изучено, в основном, качественно, без расчета кинетических констант [1, 11] и, естественно, без проведения сравнительного анализа констант для рецепторов малого и большого круга. В настоящее время есть данные об отличии адренорецепторов малого и большого кругов кровообращения [9], и подобный анализ мог бы помочь в выяснении природы этого различия. На наш взгляд, применение математического аппарата сдерживалось недостаточной адекватностью существующих методов расчета [12]. Поэтому цель данной работы — с помощью предложенного нами более адекватного метода вычисления кинетических констант [5] дать количественную оценку влияния адреналина, норадреналина и изадрина (изопропилнорадреналина) на адренорецепторы малого и большого кругов кровообращения.

### Методика исследований

В острых опытах на семи собаках различного возраста и пола массой 6—30 кг под нембуталовым наркозом (30—40 мг/кг) исследовали влияние адреналина, норадреналина и изадрина на давление в обоих кругах кровообращения. Через катетеры, введенные в бедренную артерию и правый желудочек сердца, регистрировали системное артериальное давление и давление в правом желудочке, по которому судили о системическом давлении в легочной артерии. Запись осуществляли электроманометром ЭМГ-01 на регистраторе физиографа-068. Катехоламины вводили в бедренную вену, в каждом опыте по 8—10 раз в дозах от 0,1 до 100 мкг/кг. Для анализа результатов рассчитывали кинетические константы  $R_m$  и  $K$  по формулам [4] для описания реакции катехоламинов с сосудистыми рецепторами при протекании реакций первого (1) или второго (2) порядков:

$$y = \frac{R_m \cdot x}{K + x} \quad (1), \quad y = \frac{R_m \cdot x^2}{K + x^2}, \quad (2)$$

где  $y$  — реакция давления на введение вещества;  $x$  — доза;  $R_m$  — константа, равная максимально возможной реакции на вещество и пропорциональна количеству рецепторов в русле;  $K$  — кажущаяся константа диссоциации комплекса катехоламина с адренорецептором. Кроме того, определяли эффективность реакции  $E = R_m/K$ . По [4] параметр  $K$  входит в формулу (2) во 2-й степени, однако вывод формул из кинетических уравнений Михаэлиса — Ментен дает выражение в 1-й степени [8]. В качестве реакции  $y$  брали разницу между давлением до введения вещества и после него.

Для расчета кинетических констант был применен предложенный нами ранее [5] машинный метод аппроксимации экспериментальных данных. Поскольку метод не требует преобразования исходной формулы в линейную зависимость, он был назван «прямым». Это свойство метода обуславливает его преимущество перед остальными и позволяет получить значения констант, как угодно близко приближающиеся к истинному, т. е. фактически найти истинные значения параметра. Машинное вычисление параметра  $K$  проводили с точностью не менее чем до 0,001 мкг/кг. Результаты аппроксимации обрабатывали по критерию знаков и по критерию Стьюдента с отбраковкой выскакивающих вариантов по специальным таблицам [7].

Манухин [4] в качестве параметра  $y$  для аппроксимации рекомендует брать абсолютную величину давления на максимуме адренергической реакции, чтобы избежать влияния изменяющейся в процессе опыта фоновой величины давления. Однако такой прием означает, что мы допускаем в отсутствие введенного катехоламина наличие определенной реакции со стороны сосудов (равной фоновой величине давления). Это должно неминуемо нарушить точность расчетов. Мы полагаем, что несмотря на колеблющийся фоновый уровень, правильнее использовать для расчетов прирост давления по отношению к исходному уровню. Для решения этого вопроса было проведено вычисление кинетических констант по экспериментальным точкам, соответствующим абсолютным значениям давления и значениям прироста давления в большом круге кровообращения в ответ на введение адреналина и норадреналина. Для оценки точности аппроксимации рассчитывали суммы квадратов отклонений (СКО) экспериментальных точек от теоретической кривой. Расчеты подтвердили нашу точку зрения: при аппроксимации по изменениям давления точность выше (СКО — меньше) в 1,2—7,4 раза.

Определение порядка реакции для какого-либо процесса сводится к выбору из совокупности формул, описывающих реакции разного порядка, той, которая более точно отражает экспериментальные данные. Для подобного выбора широко используется построение по экспериментальным точкам графика зависимости в преобразованных координатах [4, 8, 10]. Применительно к сосудистым реакциям чаще всего решается вопрос о реакции 1 или 2 порядка (подразумевается, что при реакции 1 порядка сосудистый рецептор активируется одной молекулой вещества, а при реакции 2 порядка — двумя). При этом строится график зависимости в двойных обратных координатах ( $1/y$  от  $1/x$  или от  $1/x^2$ ), соответствующих преобразованию уравнений (1) и (2) в линейную форму методом Лайнувиера — Берка [12]. Уравнение, для которого график в обратных координатах больше походит на прямую линию, и считается описывающим исследуемую экспериментальную зависимость. Такой же метод оценки адекватности теоретической формулы предлагают и некоторые статистики [6]. При этом не учитывается, что из-за разброса экспериментальных точек при переходе к преобразованным координатам исходная зависимость искажается, что ведет к ошибкам при вычислении констант [5] и должно сказаться на определении порядка реакции. Для доказательства этого положения были рассчитаны константы уравнений (1) и (2) методом Лайнувиера — Берка и прямым методом, и определена в каждом случае величина СКО. Наиболее пригодным для описания считали уравнение (1 или 2), расчет по которому давал минимальную СКО. Поскольку предложенный нами прямой метод дает точное решение, (т. е. истинное математически значение порядка), он использовался как эталон для оценки способа Лайнувиера — Берка. Оказалось, что метод Лайнувиера — Берка в 25 % случаев (10 из 40) дает ошибку в определении порядка реакции.

### Результаты исследований и их обсуждение

Использование прямого метода показало, что основная масса реакций (34 из 40) лучше описывается формулой (1). Первоначально мы предположили, что часть реакций в наших исследованиях, как и в экспериментах Турпаева [8], имеет 2-й порядок. Однако, отбросив по 2—3 экспериментальные точки в каждом случае и проводя повторную аппроксимацию, мы получили неожиданный результат. Порядок реакции оказался нестабильным: часть случаев стала лучше описываться формулой (1), а часть — формулой (2), хотя по-прежнему большинство случаев (28 из 40) лучше описывалось выражением (1). По-видимому, вариабельность экспериментальных точек вносит какую-то долю случайности в определение порядка реакции, тем большую, чем меньше число экспериментальных точек, что и обусловливает некоторый процент ошибочных определений порядка. Учитывая это, мы полагаем, что и в наших опытах, и, по-видимому, в опытах Турпаева все реакции в действительности протекают по механизму реакций 1 порядка, и в дальнейшем рассчитывали константы, исходя из формулы (1).

При введении исследуемых катехоламинов в легочном русле развивались выраженные прессорные реакции, сила и длительность которых зависела от дозы вводимого вещества. В большом круге кровообращения изадрин вызывал депрессорный, а адреналин и норадреналин — прессорный эффекты. По экспериментальным точкам были рассчитаны кинетические константы, значения которых приведены в таблице.

Наименьшее значение ратно пропорциональное а на, а наибольшее — для стант  $K$  наблюдалось и в В легочном русле  $K$  для ис ( $t=3,06$ ;  $p<0,05$ ) и нор

Значения кинетических констант

Вещество	Статистические показатели
Изадрин	$M \pm m$ $n$
Адреналин	$M \pm m$ $n$
Норадреналин	$M \pm m$ $n$
Вещество	Статистические показатели
Изадрин	$M \pm m$ $n$
Адреналин	$M \pm m$ $n$
Норадреналин	$M \pm m$ $n$

$K$  — мкг/кг;  $R$  — гПа;  $E$  — гПа·кг/м

В большом круге величина норадреналина ( $t=5,26$ ;  $p<0,001$ ) и адреналина ( $t=1,98$ ;  $p<0,1$ ).

Величина максимально у испытанных нами веществ адреналина и норадреналина. Поскольку изадрин вызывает соответствующее значение  $K$ .

Эффективность реакции для изадрина, чем для адреналина ( $t=2,83$ ;  $p<0,05$ ), а в большом круге кровообращения абсолютной величине и отличается от изадрина. Так и в большом круге кровообращения не отличались по абсолютной величине и норадреналина. Норадреналин должен быть вызваны норецепторами.

Сравнительный анализ сосудистого русла показал, что для изадрина константа  $K$  ниже, а для норадреналина — выше. Однако это различие достоверно не отличается.

ксимации рекомендует брать абсолютной реакции, чтобы избежать величины давления. Однако такой иного катехоламина наличие определяет величине давления). Это должно, что несмотря на колеблющийся счет прирост давления по отношению было проведено вычисление, соответствующим абсолютным в большом круге кровообращения и оценки точности аппроксимации экспериментальных точек от теории: при аппроксимации по изменилось 2—7,4 раза.

процесса сводится к выбору из порядка, той, которая более точно о выбора широко используется висимости в преобразованных коэффициентах чаще всего решается во время реакции 1 порядка сосудистый при реакции 2 порядка — двумя). обратных координатах ( $1/y$  от  $1/x$  единиц (1) и (2) в линейную форму от которого график в обратных координатах описывает исследуемую енки адекватности теоретической и этом не учитывается, что из-за преобразованных координатам иском при вычислении констант [5]. Для доказательства этого положения методом Лайнунгера—Берка и ичина СКО. Наиболее пригодным оторому давал минимальную СКО. иное решение, (т. е. истинное математическое значение для оценки способа Лайнунгера—Берка в 25% случаев (10 из 40)

## Обсуждение

, что основная масса реакции (1). Первоначально мы исследований, как и в экспериментах. Однако, отбросив по 2—3 и проведя повторную аппроксимацию. Порядок реакции лучше описываться формулой, предложенной большинство изменением (1). По-видимому, существует какую-то долю случайной ошибки, чем меньше число идет некоторый процент ошибки, мы полагаем, что и в наивысшей степени все реакции в действии 1 порядка, и в дальнейшем (1).

в легочном русле развивалась длительность которых в большом круге кровообращения адреналин и норадреналин — в точках были рассчитаны приведены в таблице.

Наименьшее значение кажущейся константы диссоциации —  $K$  (обратно пропорциональное адреночувствительности) получено для изадрина, а наибольшее — для норадреналина. Подобное соотношение констант  $K$  наблюдалось и в малом, и в большом кругах кровообращения. В легочном русле  $K$  для изадрина достоверно ниже, чем для адреналина ( $t=3,06$ ;  $p<0,05$ ) и норадреналина ( $p<0,05$  по критерию знаков).

Значения кинетических констант для реакций катехоламинов с адренорецепторами

Вещество	Статистические показатели	Большой круг		
		$K$	$P_m$	$E$
Изадрин	$M \pm m$	$0,37 \pm 0,10$	$-70,9 \pm 6,4$	$-100,7 \pm 22,7$
	$n$	6	6	5
Адреналин	$M \pm m$	$1,46 \pm 0,18$	$118,7 \pm 21,5$	$31,7 \pm 4,0$
	$n$	6	7	7
Норадреналин	$M \pm m$	$4,45 \pm 2,06$	$109,2 \pm 21,3$	$20,5 \pm 4,8$
	$n$	7	7	6
Вещество	Статистические показатели	Малый круг		
		$K$	$P_m$	$E$
Изадрин	$M \pm m$	$0,18 \pm 0,05$	$63,3 \pm 18,1$	$112,5 \pm 36,3$
	$n$	5	6	5
Адреналин	$M \pm m$	$5,26 \pm 1,66$	$84,0 \pm 19,6$	$11,1 \pm 2,9$
	$n$	7	8	6
Норадреналин	$M \pm m$	$12,4 \pm 5,8$	$71,6 \pm 19,5$	$9,6 \pm 3,3$
	$n$	7	7	7

$K$  — мкг/кг;  $P_m$  — гПа;  $E$  — гПа·кг/мкг.

В большом круге величина  $K$  для изадрина отличается от  $K$  для адреналина ( $t=5,26$ ;  $p<0,001$ ), и есть тенденция к отличию от норадреналина ( $t=1,98$ ;  $p<0,1$ ).

Величина максимальной реакции ( $P_m$ ) достоверно не отличалась у испытанных нами веществ для малого круга кровообращения, и у адреналина и норадреналина при действии на системное давление. Поскольку изадрин вызывает депрессорную реакцию в большом круге, соответствующее значение  $P_m$  (как и  $E$ ) отрицательно.

Эффективность реакции  $E$  в легочном русле была на порядок выше для изадрина, чем для адреналина ( $t=2,79$ ;  $p<0,05$ ) и норадреналина ( $t=2,83$ ;  $p<0,05$ ), а в большом — была в несколько раз выше по абсолютной величине и отличалась знаком. Учитывая, что как в малом, так и в большом кругах кровообращения величины  $P_m$  для разных веществ не отличались по абсолютной величине, различия в эффективности должны быть вызваны, в основном, отличием в сродстве с адренорецепторами.

Сравнительный анализ кинетических констант для разных участков сосудистого русла показал следующее. Величина  $K$  для изадрина была ниже, а для норадреналина и адреналина выше, чем в большом круге, однако это различие достоверно только для адреналина ( $t=2,28$ ;

$p < 0,05$ ).  $R_m$  и  $E$  для изадрина в большом и малом круге отличались знаком, но не отличались по абсолютной величине.  $R_m$  для адреналина (как и для норадреналина) достоверно не отличались в разных кругах кровообращения. Эффективность адренергической реакции на адреналин в большом круге была выше ( $t = 4,15$ ;  $p < 0,05$ ), чем в малом. При введении норадреналина  $E$  для большого круга также была выше, но отличие не было достоверным ( $t = 1,90$ ;  $p < 0,1$ ).

Поскольку  $R_m$  и  $E$  вычисляются с учетом величин давления, а не количества комплексов катехоламин — адrenomептор, на их значения влияют механические свойства участков сосудистой системы. Это затрудняет их использование для сравнения адrenomепторов различных участков сосудистого русла. Величина  $K$  при наличии линейной связи между количеством комплексов катехоламин — рецептор и изменением давления не зависит от механических свойств сосудов и пригодна для сравнения адrenomепторов разных участков.

Как уже упоминалось, значения  $K$  для изадрина и норадреналина достоверно не отличались в большом и малом кругах, а для адреналина  $K$  в малом круге была выше. Сравнение выявило значительное сходство между обоими участками сосудистого русла по соотношению констант  $K$ . И в малом, и в большом круге изадрин обладал наибольшим сродством к адrenomепторам, а норадреналин — наименьшим. Такое соотношение характерно и для других органов, обладающих адrenomепцией [2]. Однако реакция на изадрин в разных кругах кровообращения существенно отличается — она имеет противоположную направленность. Обсуждение этого вопроса [9] привело нас к заключению о сосудистом, а не сердечном генезе реакции давления в малом круге. В интактном организме изадрин действовал на  $\beta$ -рецепторы, а норадреналин и адреналин — на  $\alpha$ -рецепторы (эффекты снимались соответственно индералом и фентоламином). При перфузии доли легкого мы обнаружили следующее явление: примерно в 1/3 случаев изадрин уменьшал скорость кровотока, а в 2/3 — увеличивал. Увеличение кровотока блокировалось индералом. Итак, изадрин при действии на  $\beta$ -рецепторы вызывал как сосудосуживающие (у интактных животных), так и сосудорасширяющие (при перфузии) реакции. К сожалению, не удалось подвергнуть анализу с помощью блокаторов феномен снижения скорости кровотока при перфузии в ответ на изадрин. Введение адреналина и норадреналина в условиях перфузии почти всегда давало сосудосуживающую реакцию, блокирующуюся фентоламином [9]. Можно предположить, что при сосудосуживающей реакции, вызываемой изадрином в условиях перфузии, он так же, как в интактном организме, действовал через  $\beta$ -рецепторы сосудов малого круга, но при изменении условий перфузии направленность эффекта менялась. Подобные явления уже описаны в литературе и трактуются как конформационные переходы одного типа рецепторов в другие [13].

Рациональность эффектов в малом и большом кругах кровообращения при стимуляции  $\beta$ -рецепторов изадрином мы пытались объяснить функциональными различиями между легочными и системными  $\beta$ -адrenomепторами [9]. Однако представленный в данной работе материал о сходстве некоторых констант, характеризующих адrenomепторы большого и малого кругов кровообращения, позволил выдвинуть еще одно предположение. Можно допустить, что сосудистые  $\beta$ -рецепторы в обоих кругах кровообращения идентичны, а различие эффектов связано не с различными свойствами  $\beta$ -рецепторов большого и малого кругов, а с различием в функционировании механизма сопряжения  $\beta$ -адренергического стимула с активностью гладкомышечных во-

локон сосудистой стенки. Варианты функционирования в разных режимах в легочных сосудах обеспечивающем сокращение, а в большом круге В случае искусственной перфузии, переводящие первые предположение отчасти совпадают с направленности реакций действуют адrenomептические эффекты адrenomептической локализации причины различия норадреналина, но и в звеньях

M. A. Navakatikyan

### KINETIC ANALYSIS AND NEOEPINEPHRINE OF SYSTEMIC

The changes of blood pressure in response to venous injections of epinephrine, norepinephrine and noradrenaline in anesthetized dog. The difference between values of constants of adrenoreceptors for different vessels was found for N, where N is the studied catecholamines, but N consists of depressor reactions. All reactions are based on the basis of the studied constants' similarity of receptors stimulation in systemic and peripheral circulations of adrenergic stimulus.

### Список литературы

1. Заславская Р. М. Фармакология. Медицина, 1974. 152 с.
2. Комиссаров И. В. Лекарственные средства. М.: Медицина, 1976, 112 с.
3. Лабори А. Регуляция обменных процессов. М.: Медицина, 1976.
4. Манухин Б. Н. Физиология адреналина. М.: Медицина, 1976.
5. Навакатикян М. А. Количественные характеристики адrenomепторов по управляемым тканям. СССР, 1976, 52, № 1, с. 1897—1900.
6. Терентьев П. В., Ростова Н. С. Труды Академии наук СССР, 1977, 152 с.
7. Трахтенберг И. М., Сова Р. Е. Руководство по экспериментальной фармакологии. М.: Изд-во АН СССР, 1962. 140 с.
8. Турпаев Т. М. Медикаторная фармакология. М.: Изд-во АН СССР, 1962. 140 с.
9. Цыбенко В. А., Навакатикян М. А. Адреномепторы и кровообращение. Физиология человека и животных. М.: Наука, 1977, 12, с. 78—82.
10. Ariens E. J. Molecular pharmacology. New York: Academic Press, 1965. 503 p.
11. Hebb C. O., Konzett H. Vasoconstrictor action of epinephrine in isolated perfused dog lungs. J. Physiol. (Lond.), 1958, 140, p. 228—237.
12. Lineweaver H., Burk D. The double reciprocal plot. J. Amer. Chem. Soc., 1934, 56, N 6, p. 6509.
13. Nikerson M. Adrenoreceptors of the lung. J. Physiol. Sci. Paris, 1977, 12, p. 78—82.

Кафедра физиологии человека и животных  
Киевского университета

малом круге отличались чине.  $P_m$  для адреналина отличались в разных кругах ской реакции на адреналин (0,05), чем в малом. При этом также была выше, но).

величин давления, а не рецептор, на их значения дистой системы. Это за- денорецепторов различных наличий линейной связи — рецептор и изменением сосудов и пригодна для

адрина и норадреналина кругах, а для адреналина то значительное сходство соотношению констант ладал наибольшим сродством наименьшим. Такое обладающих аденорецепторах кровообращения оложную направленность. включению о сосудистом, алом круге. В интактном, а норадреналин и адредоответственно индералом мы обнаружили следую- уменьшал скорость кровообращения. блокировалось  $\beta$ -рецепторы вызывал как ак и сосудорасширяющие подвергнуты анализу рости кровотока при пер- перина и норадреналина в досуживающую реакцию, предположить, что при дрином в условиях пер- действовал через  $\beta$ -ре- чении условий перфузии явления уже опи- ционные переходы одного

в большом кругах крово- вадрином мы пытались зу легочными и систем- ставленный в данной раз- характеризующих адре- овобращения, позволил опустить, что сосудистые идентичны, а различие  $\beta$ -рецепторов большого ований механизма сопря- гладкомышечных во-

локон сосудистой стенки. Вероятно, механизм сопряжения может функционировать в разных режимах, т. е. в нормальных условиях кровообращения в легочных сосудах механизм сопряжения работает в режиме, обеспечивающем сокращение мышц в ответ на адренергическую стимуляцию, а в большом круге — в режиме, обеспечивающем расслабление. В случае искусственной перфузии доли легкого могут создаваться условия, переводящие первый режим функционирования во второй. Это предположение отчасти совпадает с концепцией Лабори [3] о зависимости направленности реакций от типа метаболизма клеток, на которые действуют адренергические стимулы. По-видимому, и при оценке других эффектов адренергической стимуляции следует учитывать возможность локализации причины разных по качеству эффектов не только в адено-рецепторах, но и в звеньях механизма сопряжения.

М. А. Навакатикян, В. А. Цыбенко

KINETIC ANALYSIS OF EPINEPHRINE, NOREPINEPHRINE AND NEOEPINEPHRINE INTERACTION WITH ADRENORECEPTORS OF SYSTEMIC AND PULMONARY CIRCULATION

The changes of blood pressure in systemic and pulmonary arteries evoked by intravenous injections of epinephrine, norepinephrine (NE) and neoepinephrine (N-isopropyl-noradrenaline) in anesthetized dogs were used for calculation of the kinetic constants of catecholamine-adrenoreceptor reactions. The maximal affinity for adrenoreceptors in both circulations was found for N, whereas NE showed the least affinity. There was no difference between values of constants that characterized the maximal possible reaction for all studied catecholamines, but N constant in the greater circulation has a negative sign (depressor reactions). All reactions were considered to be the first order reactions. On the basis of the studied constants' similarity it was assumed that different effects of  $\beta$ -adrenoreceptors stimulation in systemic and pulmonary circulation were due to different functioning regimes of adrenergic stimulus and vessel cells reaction coupling mechanism.

Список литературы

1. Заславская Р. М. Фармакологическое воздействие на легочное кровообращение. М.: Медицина, 1974. 152 с.
2. Комиссаров И. В. Лекарственная регуляция адренергических процессов. Киев: Здоров'я, 1976. 112 с.
3. Лабори А. Регуляция обменных процессов. М.: Медицина, 1970. 383 с.
4. Манухин Б. Н. Физиология аденорецепторов. М.: Наука, 1968. 236 с.
5. Навакатикян М. А. Количественная оценка взаимодействия катехоламинов с аденорецепторами по уравнениям типа уравнений Михаэлиса — Ментен. — Физиол. журн. СССР, 1976, 52, № 1, с. 1897—1900.
6. Терентьев П. В., Ростова Н. С. Практикум по биометрии. — Л.: Изд-во Ленингр. ун-та, 1977, 152 с.
7. Трахтенберг И. М., Сова Р. Е., Шефтель В. О., Оникиченко Ф. А. Показатели нормы у лабораторных животных в токсикологическом эксперименте. М.: Медицина, 1978.
8. Турнаев Т. М. Медиаторная функция ацетилхолина и природа холинорецептора. М.: Изд-во АН СССР, 1962. 140 с.
9. Цыбенко В. А., Навакатикян М. А. Влияние некоторых катехоламинов на легочное кровообращение. — Физиол. журн., СССР, 1977, 53, № 5, с. 707—714.
10. Ariens E. J. Molecular pharmacology. New York; London: Acad. Press, 1964, v. 1. 503 p.
11. Hebb C. O., Konzett H. Vaso- and bronchodilator effects of N-isopropyl-norepinephrine in isolated perfused dog lungs. — J. Pharmacol. and Exp. Therap., 1949, 96, N 3, p. 228—237.
12. Lineweaver H., Burk D. The determination of enzyme dissociation constants. — J. Amer. Chem. Soc., 1934, 56, N 6, p. 658—666.
13. Nikerson M. Adrenoreceptors of the cardiovascular system. — In: Proc. 27 Int. Congr. Physiol. Sci. Paris, 1977, 12, p. 78—79.

УДК 617-001.2-036.882-08-07:616.12-008.1-072.7

И. И. Лановенко

## ВЛИЯНИЕ ОБЪЕМНОЙ СКОРОСТИ ПЕРФУЗИИ НА ГЕМОДИНАМИКУ ОРГАНИЗМА, ОЖИВЛЕННОГО ПОСЛЕ ДЛИТЕЛЬНОЙ ФИБРИЛЛАЦИИ СЕРДЦА

Ранее нами были изучены основные закономерности функционирования системной гемодинамики организма, оживленного после прекращения кровообращения различной продолжительности, наступившего в результате фибрилляции, вызванной электротравмой [7, 9]. Целью настоящей работы было изучение зависимости структуры и степени гемодинамических сдвигов оживленного организма от объемной скорости реанимационной перфузии.

## Методика исследований

Эксперименты проведены на 27 собаках обоего пола массой 3,9—11,5 кг под морфинно-нембуталовым наркозом (морфин — 5—10 мг/кг, нембутал — 12—15 мг/кг). Фибрилляцию сердца вызывали пропусканием сетевого электрического тока через грудную клетку, клиническая смерть продолжалась 13—15 мин. Оживление производили с помощью донорского искусственного кровообращения [1]. Дефибрилляцию осуществляли с помощью электрического дефибриллятора ИД-1М-ВЭИ.

В зависимости от объемной скорости проводимой реанимационной перфузии все опыты были разделены на три группы, что позволило дать раздельный анализ гемодинамических сдвигов при оживлении именно в сопоставлении с режимами перфузии. В I группе (17 опытов) скорость перфузии составляла от 100 до 300 мл/мин на 1 кг массы животного, во II (7 опытов) — 60—80 мл/(кг·мин), в III группе (3 опыта) — 40 мл/(кг·мин) и меньше.

Анализ состояния гемодинамики производили на основе комплексного изучения основных гемодинамических показателей: сердечного выброса — СВ, мл/мин, который выражали также через сердечный индекс — СИ, л/(м<sup>2</sup>·мин); систолического (ударного) индекса — УИ, мл/м<sup>2</sup>; среднего артериального давления — САД, кПа; центрального венозного давления — ЦВД, кПа; частоты сердечных сокращений — ЧСС, мин<sup>-1</sup>; рабочего индекса левого желудочка — РИЛЖ, кг·м/(м<sup>2</sup>·мин); рабочего ударного индекса левого желудочка — РУИЛЖ, г·м/м<sup>2</sup>; общего периферического сопротивления — ОПС, кПа·хс<sup>-1</sup>см<sup>-3</sup>. Изучаемые параметры термодинамики определяли в исходном состоянии, в периоде реанимации через 10, 20, и 30 минут после восстановления эффективной сердечной деятельности, в постреанимационном периоде — ежесменно в течение 9 ч.

Методы изучения и обработки информации подробно изложены в предыдущих публикациях [7–9].

## **Результаты исследований и их обсуждение**

Восстановление основных жизненно важных функций с уменьшением скорости проводимой реанимационной перфузии резко ухудшалось: в I группе все собаки были оживлены с полноценным восстановлением; во II группе у двух собак не удалось восстановить роговочные рефлексы, две собаки выжили на длительное время, остальные собаки погибли в течение первых суток; у каждой из собак III группы наблюдалось лишь временное восстановление работы сердца или дыхания, полного оживления не удалось добиться ни в одном случае.

В таблице представлены данные об изменениях гемодинамики у собак, оживленных с применением высоких скоростей перфузии, из которой следует, что в периоде реанимации определялось достоверное уменьшение сердечного выброса — на 30,70—27,08 % в сравнении с исходным значением этого показателя. Уменьшение СВ происходило в ре-

**Изменения системной гемодинамики у собак, перенесших 13—15 мин клиническую смерть, вызванную электротравмой, и оживленных с помощью донорского искусственного кровообращения с прансиенном высоких объемных скоростей перфузии**

## И ПЕРФУЗИИ ОЖИВЛЕННОГО ЯИИ СЕРДЦА

номерности функционированного после прекращенности, наступившего в отравной [7, 9]. Целью эти структуры и степени низма от объемной скопи-

W

а массой 3,9—11,5 кг под морембутал — 12—15 мг/кг). Физиогенетического тока через грудную. Оживление производили с по-Цефилобрилляцией осуществляли с

реанимационной перфузии все-  
ать раздельный анализ гемоди-  
лении с режимами перфузии  
от 100 до 300 мл/мин на 1 кг  
и), в III группе (3 опыта) —

основе комплексного изучения выброса — СВ, мл/мин, который); систолического (ударного) — САД, кПа; центрального ве- щущего — ЧСС, мин<sup>-1</sup>; рабочего ющего ударного индекса левого сопротивления — ОПС, кПа × елии в исходном состоянии, из- вления эффективной сердечной в течение 9 ч.

бно изложены в предыдущих

## обсуждение

ых функций с уменьшением фузии резко ухудшилось: ющенным восстановлением; овить роговичные рефлексы остальные собаки погибли.

III группы наблюдалось ца или дыхания, полного

ениях гемодинамики у состояний перфузии, из которых определялось достоверное 27,08 % в сравнении с исчезновением СВ происходило в ре-

**Изменения системной гемодинамики у собак, перенесших 13–15 мин клиническую смерть, вызванную электротравмой, и оказанных с помощью гипнотического кровообращения с применением высоких объемных скоростей перфузии**

зультате падения систолического объема крови: через 20 мин после оживления до 36,43 % исходного значения, а через 30 мин — до 43,03 %. В свою очередь, уменьшение СВ и УИ приводило к уменьшению работы сердца, о чем свидетельствует корреляционный анализ: для исходного состояния была характерна высокая прямая зависимость между СИ, с одной стороны, и РИЛЖ и РУИЛЖ — с другой ( $r=0,66-0,84$ ;  $p<0,01$ ); в периоде реанимации выявленные корреляционные отношения между этими параметрами оставались стабильными.

Системные реакции кровообращения характеризовались также отчетливым снижением артериального давления, некоторым увеличением (через 20 и 30 мин) общего периферического сопротивления и резким повышением центрального венозного давления, причем, САД и ОПС от 10 к 30 мин после восстановления эффективной сердечной деятельности повышались, а ЦВД — понижались. Отмеченные гемодинамические сдвиги можно, в общем, характеризовать как гиподинамический тип реакций кровообращения.

В постреанимационном периоде в течение первого часа сердечный индекс достигал  $1,538 \pm 0,085 \text{ л}/(\text{м}^2 \cdot \text{мин})$ , затем, в течение 2—3 ч несколько уменьшался, а через 4—5 ч после оживления СИ составлял  $61,29-66,38 \%$  исходного значения. Однако с 6 ч производительность сердца вновь увеличивалась и к 8 ч СИ достигал  $1,68 \pm 0,204 \text{ л}/(\text{м}^2 \cdot \text{мин})$ . Через 1 нед после оживления величина СИ практически соответствовала нормальной —  $2,001 \pm 0,075 \text{ л}/(\text{м}^2 \cdot \text{мин})$ .

Ударный объем крови в течение 1—6 ч постреанимационного периода был низким и в среднем составлял 60 % исходного значения, лишь с 7 ч ударная производительность сердца заметно увеличивалась. Через 1 нед после оживления величина УИ не отличалась от исходной.

Изменения частоты сердечных сокращений характеризовались умеренной тахикардией, причем от 1 к 3 часу восстановительного периода ЧСС уменьшалась со  $156 \pm 9,7$  до  $112 \pm 7,8 \text{ мин}^{-1}$ , затем сердечная деятельность вновь ускорялась.

Несколько иной в эти же временные интервалы была динамика показателей, отражающих работу сердца — выявлено их прогрессирующее увеличение.

Артериальное давление к 3 ч после оживления незначительно повышалось и достигало исходного уровня, с 5 по 9 ч — на  $10,58-16,7 \%$  было выше исходного значения, а через 1 нед после оживления соответствовало ему. Повышение САД сопровождалось увеличением периферического сопротивления системному кровотоку, причем к 5—6 ч восстановительного периода ОПС достигало максимальной величины, более чем в 1,5 раза превышая исходное значение, затем проявляло тенденцию к уменьшению. В то же время достоверных изменений центрально-венозного давления у собак данной группы не наблюдалось.

Таким образом, у собак, оживленных с помощью донорского искусственного кровообращения с применением высоких объемных скоростей перфузии, выраженные гемодинамические расстройства наблюдались только через 4—5 ч после оживления. Эти расстройства были полностью обратимыми — к 9 ч восстановительного периода компенсаторные реакции кровообращения явно преобладали над патологическими, а к концу 1 нед наблюдалось полное восстановление и нормализация гемодинамических сдвигов.

Интересно отметить, что при самопроизвольном восстановлении эффективной сердечной деятельности (которое наблюдалось в 2 опытах из 17) характер гемодинамических реакций значительно отличался от наблюдавшихся после электрической дефибрилляции.

Приведенные факты в случае наступления физиологических резервов миокарда, тем скорее в условиях необходимые для дефибрилляции, тем более полно восстанавливается функциональное состояние сердца [10, 11].

В отношении гемодинамических сдвигов у собак были обнаружены особенности, отличающие их от наблюдавшихся у животных других видов (рис. 2).

В периоде реанимации проявлялось резко выраженное ослабление кровообращения и гиподинамия карда. Так, через 10

Рис. 1. Зависимость структуры гемодинамических сдвигов от скорости реанимационной перфузии и характера восстановления эффективной сердечной деятельности. А — самостоятельное восстановление эффективной сердечной деятельности при реанимации с высокой скоростью перфузии (I группа); Б — восстановление эффективной сердечной деятельности с помощью дефибрилляции при реанимации с высокой скоростью перфузии (II группа); В — самостоятельное восстановление эффективной сердечной деятельности при реанимации со средними скоростями перфузии (III группа). I — исходное состояние; II — через 20 мин после оживления; III — через 5 ч; IV — через 9 ч после оживления; 1 — дыхание (пневматома); 2 — сердечный выброс (терморазведение); 3 — артериальное давление (кПа); 4 — центрально-венозное давление (кПа); 5 — со временем (3 с) и нулевая линия ЦВД.

сле восстановления работы, РИЛЖ — почти в 2 раза. Резкое ускорение сердечной деятельности ударной производилось в относительном сопутствующем увеличении, видно, низкие объемные показатели, но полного восстановления причине, что они не соответствуют общему периферическим изменениям.

В постреанимационном состоянии сердца у этих же собак индекс достигал  $1,276 \pm 0,075$  собак I группы. Отмечено

ови: через 20 мин после — через 30 мин — до 43,03 %. ило к уменьшению работы й анализ: для исходного зависимости между СИ, с другой ( $r=0,66-0,84$ ; корреляционные отноше- бильными.

актеризовались также от- и, некоторым увеличением сопротивления и резким, причем, САД и ОПС от сердечной деятельности енны гемодинамические гиподинамический тип ре-

е первого часа сердечный тем, в течение 2—3 ч не- оживления СИ составлял 6 ч производительность  $1,68 \pm 0,204$  л/( $m^2 \cdot \text{мин}$ ). практически соответствова-

стремлению пери- исходного значения, лишь етно увеличивалась. Чел- личалась от исходной. ений характеризовались восстановительного пери-  $\text{мин}^{-1}$ , затем сердечная

валы была динамика по- злено их прогрессирую-

ления незначительно по- 9 ч — на 10,58—16,7 % после оживления соответ- увеличением перифери- причем к 5—6 ч восста- альной величины, более атем проявляло тенден- измений центрально- не наблюдалось. ющую донорского искус- ких объемных скоростей стройства наблюдались ройства были полностью а компенсаторные реак- гологическими, а к кон- нормализация гемоди-

ном восстановлении эф- людалось в 2 опытах из- ельно отличался от на-

### Влияние объемной скорости

Приведенные факты свидетельствуют, по-видимому, о том, что в случае наступления фибрилляции сохранение функциональных и структурных резервов миокарда зависит, в частности, от ее длительности. И чем скорее в условиях искусственной перфузии достигаются условия, не- необходимые для дефибрилляции, тем более полно восстанавливается функциональное состояние сердца [10, 15, 16].

В отношении гемодинамических сдвигов у собак II группы были обнаружены особенности, отличающие их от наблюдавших у животных I группы (рис. 2).

В периоде реанимации это проявлялось резко выраженным ослаблением кровообращения и гиподинамии миокарда. Так, через 10 мин по-

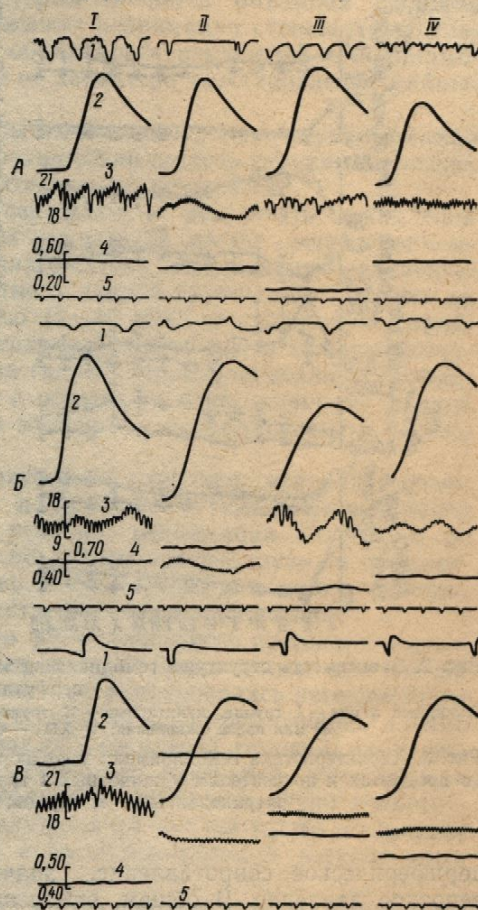


Рис. 1. Зависимость структуры гемодинамических сдвигов от скорости реанимационной перфузии и характера восстановления эффективной сердечной деятельности. А — самостоятельное восстановление эффективной сердечной деятельности при реанимации с высокой скоростью перфузии (I группа); Б — восстановление эффективной сердечной деятельности с помощью дефибрилляции при реанимации с высокой скоростью перфузии (I группа); В — самостоятельное восстановление эффективной сердечной деятельности при реанимации со средними скоростями перфузии (II группа). I — исходное состояние; II — через 20 мин после оживления; III — через 5 ч; IV — через 9 ч после оживления; 1 — дыхание (пневмограмма); 2 — сердечный выброс (кривая терморазведения); 3 — артериальное давление (кПа); 4 — центральное венозное давление (кПа); 5 — отметка времени (3 с) и нулевая линия к АД и ЦВД.

сле восстановления работы сердца СИ был в два раза меньше исходного, РИЛЖ — почти в три раза, а РУИЛЖ — более чем в шесть раз. Резкое ускорение сердечной деятельности не могло компенсировать падения ударной производительности, к тому же сердце у этих собак находилось в относительно неблагоприятных условиях работы вследствие сопутствующего увеличения сопротивления системному кровотоку. Очевидно, низкие объемные скорости перфузии неадекватны для достаточного полного восстановления системного кровообращения, в частности, по той причине, что они не обеспечивают ликвидации нарушений тканевого кровотока и гемомикроциркуляции, — последнее реализуется в увеличенном общем периферическом сопротивлении [8, 10—11].

В постреанимационном периоде в первые два часа производительность сердца у этих животных несколько увеличивалась — сердечный индекс достигал  $1,276 \pm 0,125$  л/( $m^2 \cdot \text{мин}$ ), т. е. уровня, наблюдаемого у собак I группы. Отмечено также увеличение работы сердца, относитель-

ное повышение артериального давления и более резкое понижение—центрального венозного давления. Именно этот этап исследования характеризовался наибольшим сходством структуры гемодинамических сдвигов у собак, оживленных с различными объемными скоростями кровотока.

Однако, как показывает дальнейший анализ, выявленная стабилизация кровообращения достигалась при наличии далеко не одинаковых компенсаторных возможностей. Действительно, у собак II группы в течение 3—6 ч после оживления резко падал сердечный выброс и работа сердца (в 2—2,5 раза в сравнении с исходным значением), почти в два раза увеличивалось общее

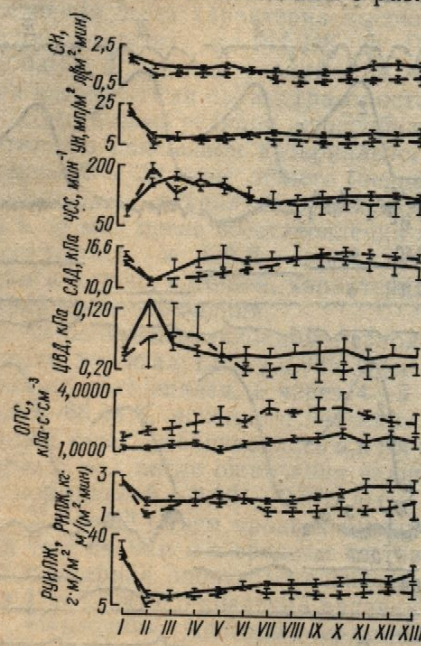
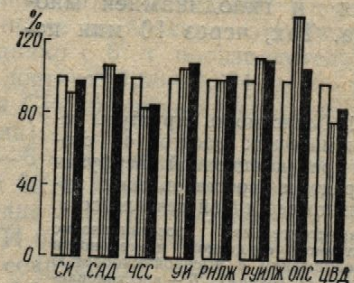


Рис. 2. Зависимость структуры гемодинамических сдвигов от скорости реанимационной перфузии.

Сплошные линии — I группа, пунктирные — II группа. I — исходное состояние; II—IV — через 10—30 мин после оживления; V—XIII — через 1—9 ч после оживления.

Рис. 3. Характеристика гемодинамики у собак трех групп опытов в исходном состоянии (в процентах к показателям у животных I группы). Белые столбики — I группа; заштрихованные — II группа; черные — III группа.



периферическое сопротивление, значительно снижалось центральное венозное давление. В общем, отмеченные гемодинамические расстройства были более глубокими, чем у животных I группы.

Хотя дальнейшие исследования обнаружили у животных II группы тенденцию к усилению системного кровотока, однако очень низкий СВ и большое ОПС делают весьма сомнительным прогноз об обратимости. Все же иногда восстановление кровообращения и последующее полное выживание в таких опытах не исключено.

В одном из опытов II группы (№ 106) наблюдалась самопроизвольная дефибрилляция, однако при этом, в отличие от аналогичного опыта I группы, в периоде реанимации не было зафиксировано гипердинамической реакции кровообращения, через 4—5 ч после оживления определялась сердечная недостаточность, а в конце исследования не было отмечено существенного улучшения гемодинамики (рис. 1).

Следовательно, в случае самостоятельного восстановления работы сердца при реанимации организма после длительной остановки кровообращения, наступившей в результате фибрилляции (электротравма), гипердинамическая реакция системного кровообращения может проявиться только в условиях обеспечения высоких объемных скоростей

перфузии. Вместе с тем с сердечной деятельности пния для последующего восстановления перфузии. При идентичных сдвигах и возможностях в определенной мере з. сердца.

Анализ данных двух объемной скорости перфузии нарушений после оживлен.

Высказанное положение собак с применением очень высоких объемных скоростей кровотока деятельность ни у одного удалось, несмотря на многообразие сердца и стимулирующими лекарственными средствами, хлористый кальций и группы опытов не было о сердечной реанимации.

При анализе результатов экспериментального состояния животных опытом и возможные различия объемной скорости перфузии (степень оксигенации, альной магистрали» система.

Что касается предшествующих различных групп, то, здоровых животных, причем врачом; во-вторых, в исходном состоянии за пределы границы было выявлено изменение, видно из рис. 3, все изучавшие были очень близкими, каких-либо существенных механизмов кровообращения.

Характеризуя режимы работы, что по степени оксигенации составляло 98—100 %), характеризующиеся в «артериальной магистрали» в условиях. Во всех опытах зии по давлению в «венозной объемной скорости перфузии», но значения этих пар физиологическими факторами, искусственного кровообращения, управление которой не в пределах. По этой причине стей достичь не удалось.

В целом, представленные различия в гемодинамических циях различия функционально следовательно, они обусловлены перфузии.

более резкое понижение — этап исследования характера гемодинамических объемными скоростями кровообращения. Однако, как показывает анализ, выявленная степень гемодинамических сдвигов и возможность обратимости нарушений гемодинамики в определенной мере зависят и от характера восстановления работы сердца.

Анализ данных двух групп опытов показывает, что с уменьшением объемной скорости перфузии при реанимации степень гемодинамических нарушений после оживления значительно увеличивается.

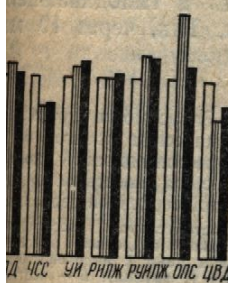
Высказанное положение подтверждают и результаты оживления собак с применением очень низких — менее 60 мл/(кг · мин) — объемных скоростей кровотока (III группа опытов). Эффективную сердечную деятельность ни у одного животного данной группы восстановить не удалось, несмотря на многократную (5—10 раз) электрическую дефибрилляцию сердца и стимуляцию сердечной деятельности сильнодействующими лекарственными средствами (адреналин, норадреналин, строфантин, хлористый кальций и др.), — в общем, ни одно животное данной группы опытов не было оживлено вследствие неэффективности именно сердечной реанимации.

При анализе результатов исследований следовало учитывать функциональное состояние животных и особенно — гемодинамики, перед опытом и возможные различия условий реанимации не только по объемной скорости перфузии, но и по другим контролируемым параметрам (степень оксигенации, характер потока крови, давление в «артериальной магистрали» системы искусственного кровообращения).

Что касается предшествующего функционального состояния животных различных групп, то, во-первых, в опыт брали только клинически здоровых животных, причем все животные осматривались ветеринарным врачом; во-вторых, в исходном состоянии во всех трех группах опытов не было выявлено изменений основных параметров гемодинамики, выходящих за пределы границ физиологических колебаний (рис. 3). Как видно из рис. 3, все изучаемые параметры различных групп количественно были очень близкими; корреляционный анализ также не выявил какой-либо существенной разницы в функционировании регуляторных механизмов кровообращения.

Характеризуя режимы перфузии в трех группах опытов, можно сказать, что по степени оксигенации (насыщение гемоглобина кислородом составляло 98—100 %), характеру потока (пульсирующий), давлению в «артериальной магистрали» все животные находились в идентичных условиях. Во всех опытах мы стремились также к оптимизации перфузии по давлению в «венозной магистрали» (не более — 2—10 кПа) и объемной скорости перфузии (превышающей уровень сердечного выброса), но значения этих параметров обусловливались механическими и физиологическими факторами функциональной системы «аппарат искусственного кровообращения — оживляемый организм», контроль и управление которой не всегда удается поддерживать в необходимых пределах. По этой причине в части опытов адекватных объемных скоростей достичь не удалось.

В целом, представленный фактический материал не позволяет различия в гемодинамических сдвигах после оживления трактовать с позиций различия функционального состояния животных перед опытами, следовательно, они обуславливались лишь неодинаковыми скоростями перфузии.



от скорости реанимационной  
се состояния; II—IV — через 10—  
часов оживления.  
опытов в исходном состоянии  
и столбики — I группа; за-  
II группа.

снижалось центральное  
динамические расстрой-  
группы.

у животных II группы  
днако очень низкий СВ  
результат об обратимости.  
и последующее полное

одалась самопроизволь-  
от аналогичного опыта  
сировано гипердинами-  
сле оживления опреде-  
следования не было от-  
(рис. 1).

восстановления работы  
льной остановки крово-  
яции (электротравма),  
ращения может про-  
к объемных скоростей

Наряду с этим в широком диапазоне применяемых режимов перфузии — от 60 до 300 мл/(кг · мин) и более — гемодинамические сдвиги у оживленных животных, различаясь по степени, отчетливо обнаруживали черты общности, проявляющиеся в их фазности, постепенном переходе одной фазы изменений гемодинамики в другую. В периоде реанимации восстановление кровообращения происходило с явлениями первичной гипофункции и недостаточности, затем в течение первых 2—3 ч после оживления выявлялась фаза стабилизации кровообращения, переходящая в фазу значительных гемодинамических расстройств (4—6 ч после оживления); в конце исследования (7—9 часы после оживления) отмечена относительная нормализация гемодинамических сдвигов.

Нужно сказать, что вопрос о режимах реаниматологической перфузии является одним из наиболее важных в проблеме оживления организма с помощью метода искусственного кровообращения. Еще в первых работах С. С. Брюхоненко [4, 5] было показано положительное значение высоких объемных скоростей кровотока для эффективной реанимации, однако это положение получило дальнейшее развитие и нашло признание экспериментаторов и клиницистов, применяющих искусственное кровообращение в различных модификациях, лишь в последние годы [1—3, 6, 11, 13, 14]. Нами при изучении изменений гемодинамики организма, оживленного после длительной клинической смерти, вызванной кровопотерей и асфиксии [8], было установлено, что в условиях применения высоких скоростей перфузии (превышающих уровень нормального сердечного выброса) развивается первичная гиперфункция сердечно-сосудистой системы, а возникающие после реанимации в ближайшем восстановительном периоде гемодинамические нарушения являются полностью обратимыми. С падением скорости перфузии интенсивность компенсаторных реакций снижается, вплоть до развития первичных нарушений кровообращения необратимого характера. В настоящей работе впервые дана количественная оценка структуры и степени гемодинамических сдвигов в зависимости от скорости реанимационной перфузии при оживлении организма после длительной фибрилляции сердца.

### Выводы

1. С позиций оценки изменений гемодинамики организма, оживленного с помощью донорского искусственного кровообращения после длительной фибрилляции сердца, наиболее приемлемой следует считать форму реанимации с высокими скоростями перфузии, превышающими уровень нормального сердечного выброса.
2. В диапазоне скоростей перфузии от 60 до 300 мл/(кг · мин) характер возобновления эффективной сердечной деятельности (самостоятельное или с помощью дефибрилляции) не имеет решающего значения для последующего восстановления и функционирования системного кровообращения оживленного организма.
3. При реанимации организма с объемной скоростью менее 60 мл/(кг · мин) развиваются тяжелые первичные расстройства гемодинамики необратимого характера.

EFF  
ON HEI

The research was u  
perfusion rate on hemod  
lation 13-15 min after a  
fusion rates exceeding th  
favourable restoration o  
60 ml/(kg · min) causes co  
Department of Hypoxic S

Department of Hypoxic S  
Institute of Physiology, A  
Ukrainian SSR, Kiev

1. Адаменко Н. П. Восс  
тельной электротравмы.—  
1963, 15 с.
  2. Адаменко М. П. Тео  
низму эффективности  
журн., 1974, 20, № 6.
  3. Белоярцев Ф. Ф. Ак  
1975, № 3, с. 84—91.
  4. Брюхоненко С. С. Ис  
ключением сердца.—  
с. 44—72.
  5. Брюхоненко С. С. Ис
  6. Геря Ю. Ф. Оживлен  
виде: Автореф. дис. ...
  7. Лановенко И. И. Изм  
шения вследствие фи  
хиатрии, 1976, № 8, с.
  8. Лановенко И. И. Сист  
ной электротравмы. К
  9. Лановенко И. И. Кро  
электротравмой.—Докт.
  10. Осипов В. П. Основы
  11. Скорик В. И. Некотор  
вообщения (Экспер  
мед. наук. Л., 1973, 31).
  12. Соболева В. И. Божо  
тельного периода у жи  
моцю искусственного  
оживления: Тр. симпоз.
  13. Янковский В. Д. Опыт  
организма при клиничес  
показания и оксигенотера
  14. Янковский В. Д. При  
хоненко и новых вариа  
ках клинической смерти.  
с. 84—97.
  15. Crover F. L. Effects of  
metabolism.—J. Thorac.
  16. O'Connor J., Kamal I.,  
survival of the canine h
- 65, N 6, p. 872—875.

Отдел гипоксических состояний  
Института физиологии им.  
АН УССР, Киев

меняемых режимов перфузии гемодинамические сдвиги ути, отчетливо обнаруживаются, постепенном переходу. В периоде реанимации с явлениями первичного кровообращения, переходных расстройств (4—6 ч — 9 часы после оживления) гемодинамических сдвигов.

анатомологической перфузии проблеме оживления организма. Еще в переказано положительное значение для эффективной реанимации развитие и нашло применявших искусственных, лишь в последние годы изменения гемодинамики гематической смерти, вызваноанованено, что в условиях еывающих уровень нормальной первичная гиперфункция после реанимации в биомеханические нарушения явившегося перфузии интен-

вплоть до развития первого характера. В настоящем сроткутуры и степени скорости реанимационной длительной фибрилляции

гемодинамики организма, оживленного кровообращения после неизменной следует считать перфузии, превышающими

до 300 мл/(кг · мин) характеристики (самостоятельно решают значения приложения системного кро-

жимой скоростью менее расстройства гемоди-

I. I. Lanovenko  
EFFECT OF VOLUMETRIC PERfusion RATE  
ON HEMODYNAMICS OF ORGANISM RESUSCITATED  
AFTER LONG HEART FIBRILLATION

Summary

The research was undertaken with the aim of studying the effect of the volumetric perfusion rate on hemodynamics of dogs resuscitated by means of donor artificial circulation 13–15 min after an electric injury induced clinical death. Application of high perfusion rates exceeding the level of normal cardiac output provides for a relatively most favourable restoration of circulation, while resuscitation with perfusion rate below 60 ml/(kg · min) causes considerable hemodynamic disorders of irreversible character. Department of Hypoxic States, A. A. Bogomoletz

Department of Hypoxic States, A. A. Bogomoletz  
Institute of Physiology, Academy of Sciences,  
Ukrainian SSR, Kiev

Список литературы

- Адаменко Н. П. Восстановление жизненно важных функций организма после смертельной электротравмы в эксперименте: Автореф. дис. ... канд. биол. наук. Киев, 1963. 15 с.
- Адаменко М. П. Теоретичне та экспериментальне обґрунтування загального механізму ефективності методів оживлення і критерії її кількісної оцінки.— Фізiol. журн., 1974, 20, № 6, с. 805—818.
- Белоцерков Ф. Ф. Анестезиология в США.— Эксперим. хирургия и анестезиология, 1975, № 3, с. 84—91.
- Брюхоненко С. С. Искусственное кровообращение целого организма (собаки) с выключением сердца.— Тр. Москов. науч. химико-фармацевт. ин-та, 1928. вып. 20, с. 44—72.
- Брюхоненко С. С. Искусственное кровообращение. М.: Наука, 1964. 283 с.
- Геря Ю. Ф. Оживление организма после клинической смерти от утопления в соленой воде: Автореф. дис. ... канд. мед. наук. Киев, 1969. 20 с.
- Лановенко И. И. Изменения гемодинамики после длительной остановки кровообращения вследствие фибрилляции сердца (экспериментальное исследование).— Клин. хирургия, 1976, № 8, с. 25—30.
- Лановенко И. И. Системная гемодинамика организма, оживляемого после смертельной электротравмы. Киев: Наук. думка, 1977. 174 с.
- Лановенко И. И. Кровообращение у собак, оживленных после смерти, вызванной электротравмой.— Докл. АН УССР, Сер. Б, 1978, № 8, с. 753—756.
- Осипов В. П. Основы искусственного кровообращения. М.: Медицина, 1976. 320 с.
- Скорик В. И. Некоторые реаниматологические аспекты метода искусственного кровообращения (Экспериментально-клиническое исследование): Автореф. дис. ... д-ра мед. наук. Л., 1973. 31 с.
- Соболева В. И., Божьев А. А., Голова С. В. и др. Особенности течения восстановительного периода у животных, перенесших клиническую смерть и оживленных с помощью искусственного кровообращения.— В кн.: Восстановительный период после оживления: Тр. симпоз. 25—28 ноября 1968 г. М., 1970. с. 262—265.
- Янковский В. Д. Опыт применения автожектора С. С. Брюхоненко для оживления организма при клинической смерти.— В кн.: Физиология и патология дыхания, гипоксия и оксигенотерапия. Киев, 1958. с. 399—403.
- Янковский В. Д. Применение метода искусственного кровообращения С. С. Брюхоненко и новых вариантов этого метода для реанимации собак при длительных сроках клинической смерти.— В кн.: Вопросы реактивности в патологии. М., 1968, с. 84—97.
- Crower F. L. Effects of ventricular fibrillation on coronary blood flow and myocardial metabolism.— J. Thorac. and Cardiovasc. Surg., 1977, 73, N 4, p. 616—624.
- O'Connor J., Kamal I., O'Donnell B. The influence of delayed defibrillation on the survival of the canine heart after anoxic arrest.— J. Thorac. and Cardiovasc. Surg., 1973, 65, N 6, p. 872—875.

Отдел гипоксических состояний  
Института физиологии им. А. А. Богомольца  
АН УССР, Киев

Поступила в редакцию  
24.VI 1980 г.

УДК 616.127—005.4—092.9:612.13

И. С. Мудрая

## ИЗМЕНЕНИЯ СИСТЕМНОЙ И РЕГИОНАРНОЙ ГЕМОДИНАМИКИ ПРИ ДОЗИРОВАННОМ ОГРАНИЧЕНИИ КОРОНАРНОГО КРОВОТОКА

Ишемическое повреждение сердечной мышцы может вызвать цепь гемодинамических нарушений, обусловленных как поражением миокарда, так и развитием защитно-компенсаторных реакций сердечно-сосудистой системы. Реакции периферических сосудов при инфаркте миокарда могут оказывать влияние на течение и исход этого процесса. Повышение общего и регионарного сосудистого сопротивления при инфаркте миокарда связывают с компенсаторной реакцией сосудов в ответ на снижение минутного объема крови и артериального давления, которая призвана сохранить кровоснабжение жизненно важных органов на удовлетворительном уровне [1, 6, 7, 13]. Нередкой реакцией периферических сосудов при ишемическом некрозе сердечной мышцы является снижение общего и регионарного сосудистого сопротивления. Такая реакция может играть также защитно-компенсаторную роль, способствуя разгрузке сердца в критический момент перехода на новый уровень работы [2, 3, 17]. В некоторых случаях при инфаркте миокарда катастрофически снижается сосудистое сопротивление, что приводит к резкому падению артериального давления и развитию шока [9, 14].

Мы изучали изменения периферического сосудистого сопротивления и реакций сосудов конечности при ступенчатом дозированном ограничении коронарного кровотока с целью уточнить роль и значение периферических сосудистых реакций на ранних стадиях развития коронарной недостаточности.

### Методика исследований

Исследования проведены в острых опытах на 49 наркотизированных (морфий, хлоралоза) собаках. Для воспроизведения коронарной недостаточности различной степени применяли искусственную перфузию коронарных артерий при закрытой грудной клетке строго дозируемым (по степени и длительности ограничения) количеством крови, поступающей в коронарный сосуд [12]. В проведенных исследованиях вызывали ограничение коронарного кровотока (КК) в бассейне левой отгابщей коронарной артерии на 70 и 90 % от исходного уровня под контролем электромагнитного расходомера *«Nichon Konden»* на протяжении 30 мин. Исходным фоном для воспроизведения коронарной недостаточности служил режим адекватной коронарной перфузии, при котором адекватный коронарный кровоток поддерживался на уровне, обеспечивающем создание перфузионного давления, равного давлению в аорте или превышающего его на 0,7—1,3 кПа.

Показатели системной гемодинамики изучены в условиях катетеризации полостей сердца и магистральных сосудов. Системное артериальное давление (САД), давление в правом желудочке сердца определяли электроманометрами *«Elema-Schönander»*. Для изучения минутного объема крови (МОК) использован метод терморазведения. Регистрируемые параметры записывали на чернильном самописце *«Мингограф-81»*. Общее периферическое сопротивление (ОПС) рассчитывали как частное от деления разницы САД и диастолического давления в правом желудочке сердца на МОК.

Сосудистое сопротивление задней конечности изучено методом резистографии — аутоперфузии бедренной артерии насосом постоянной производительности. Перфузионное давление в бедренной артерии (ПБА) определяли электроманометром и регистрировали на самописце *«УСЧ-8»*. Реакции сосудов конечности исследовали при введении адреналина (1—2 мкг) в перфузионный кровоток и при осуществлении прессорного синокар-

тического рефлекса (зажат вещества и длительность следования оставались по-

Резул

Изменения исследований гемодинамики при ограничении КК САД снизились сердечных сокращений, метить, что изменен индивидуальный характер показателей у некоторых животных. Так, 90 % опытных, в одном опыте ограничении КК в трех случаях оно практически не изменилось.

Изменения настолько тенденцию к снижению двух группах исследований, что тенденция к постепенному снижению его. Все это наблюдалось при некоторый (на 12 %,  $p > 0,1$ ) соответственно.

За 30 мин периода сосудистого сопротивления в группе с 70 % ограничением ПБА ( $-1,3$  кПа,  $p > 0,1$ ). При рассмотрении результатов индивидуальных КК на 70 % снижение в опытах уровня ПБА. При ограничении КК снижение ПБА, в шести опытах, оказалось.

При исследовании конечности во время ограничения КК в ряде опытов (ограничение КК) от составляющая в среднем 23 ± 5 %. Эти реакции развиваются в коронарного кровотока, одновременно с снижением регионарного сопротивления, свидетельствуют о происхождении. Вазодилатация коронарного кровотока [10]. Отмеченные пульсации после атропинизации уменьшились постепенно, что свидетельствовало о рефлексе.

тидного рефлекса (зажатие сонной артерии в течение 20 с). Дозы повторно вводимого вещества и длительность нейрорефлекторного воздействия на протяжении каждого исследования оставались постоянными.

### Результаты исследований и их обсуждение

Изменения исследуемых показателей системной и регионарной гемодинамики при ограничении КК на 70 и 90 % представлены в табл. 1. За 30 мин наблюдения при 70 % ограничении КК изменения САД и других показателей были в среднем несущественными, а при 90 % ограничении КК САД снижалось в среднем на 18 %, а МОК, ОПС и частота сердечных сокращений (ЧСС) достоверно не изменялись. Следует отметить, что изменения показателей системной гемодинамики носили индивидуальный характер (наблюдались и разнонаправленные сдвиги показателей у некоторых животных), а также зависели от степени нарушения. Так, 90 % ограничение КК вызывало снижение САД в 12 из 13 опытов, в одном опыте САД практически не изменялось. При 70 % ограничении КК в трех опытах из 14 происходило повышение САД, в двух оно практически не изменялось, а в остальных — снижалось.

Изменения насосной функции сердца в обеих группах проявляли тенденцию к снижению. Изменения ОПС носили различный характер в двух группах исследований. При 70 % ограничении КК в среднем отмечена тенденция к повышению ОПС, а при 90 % ограничении КК — к снижению его. Все отмеченные изменения системной гемодинамики наблюдались при некотором снижении ЧСС в обеих группах исследований (на 12 %,  $p > 0,1$  и на 14 %,  $p > 0,1$  при 70 и 90 % ограничении КК соответственно).

За 30 мин период ограничения КК выявлено снижение регионарного сосудистого сопротивления задней конечности на 2,5 кПа ( $p < 0,02$ ) в группе с 70 % ограничением КК и отмечена тенденция к снижению ПБА ( $-1,3$  кПа,  $p > 0,1$ ) в группе опытов с 90 % ограничением КК. При рассмотрении результатов отдельных опытов следует указать на наличие индивидуальных реакций сосудов конечности. При ограничении КК на 70 % снижение ПБА отмечено в 16 наблюдениях (из 22), в шести опытах уровень ПБА за период ишемии практически не изменялся. При ограничении КК на 90 % в двух опытах (из 20) отмечено возрастание ПБА, в шести опытах ПБА практически не изменялось, а в 11 — снизилось.

При исследовании изменений регионарного сосудистого сопротивления конечности во время дозированного снижения КК в ответ на ограничение КК в ряде опытов (в 12 из 23 при 70 % и в 14 из 20 при 90 % ограничении КК) отмечена депрессорная реакция сосудов конечности, составляющая в среднем  $-2,93 \pm 0,4$  кПа (или  $-16 \pm 2\%$ ) —  $3,5 \pm 0,7$  кПа (или  $-23 \pm 5\%$ ) при 70 и 90 % ограничении КК соответственно. Эти реакции развивались непосредственно в ответ на уменьшение коронарного кровотока одновременно со снижением САД. Наблюданное снижение регионарного сосудистого сопротивления конечности имеет, как свидетельствуют данные литературы [10, 17, 18], нервно-рефлекторное происхождение. Вазодилататорные реакции в сосудах конечности одновременно со снижением САД отмечены в экспериментах с исключением коронарного кровотока в огибающей ветви левой коронарной артерии [10]. Отмеченные периферические вазодилататорные реакции сохранялись после атропинизации животного и десимпатизации сердца, но резко уменьшались после перерезки блуждающих нервов, что свидетельствовало о рефлекторном механизме наблюдавшихся реакций. Такое мнение

## РЕГИОНАРНОЙ КОМ ОГРАНИЧЕНИИ ТОКА

щцы может вызвать цепь как поражением миокард реакций сердечно-сосудов при инфаркте миокарда этого процесса. Попротивления при инфаркте миокардии сосудов в ответ на падение давления, которая важных органов на уровне реакции периферических мышцы является снижение давления. Такая реакция может быть способствующа разгрузка новый уровень работы миокарда катастрофически приводит к резкому падению [9, 14].

сосудистого сопротивления в дозированном ограничении роль и значение первых стадиях развития коронарных

## и

аркотизированных (морфий, хлоралюсточности различной степени и при закрытой грудной клетке ичения) количеством крови, последовательно вызывали ограничивающей коронарной артерии на 70 % расходомера *Nichon Kohl* (разведение коронарной недостаточности, при котором адекватный коэффициент создание перфузионного давления его на 0,7—1,3 кПа).

словиях катетеризации полостей брюшного давления (САД), давление пометрами *Elema-Schönander*. Описан метод терморазведения. Регистрации «Минграф-81». Общее давление от деления разницы сердца на МОК.

учено методом резистографии — производительности. Перфузионное громанометром и регистрировали следовали при введении адреналина прессорного синокардиального

ние подтверждается также данными других авторов, наблюдавших снижение регионарного сосудистого сопротивления конечности при гипотонии, вызванной окклюзией [17] или эмболизацией [18] коронарных артерий в отличие от повышения сосудистого сопротивления конечности при такой же степени гипотонии, воспроизведенной кровотечением или раздражением периферического конца блуждающего нерва. Эти авторы объясняют депрессорную реакцию сосудов конечности при экспериментальном инфаркте миокарда преобладанием тормозящих влияний рефлекса с сердца, проходящего по восходящим волокнам блуждающего нерва, над другими регуляторными механизмами, обеспечивающими гомеостатическую регуляцию артериального давления.

Проведенные исследования показали, что дозированное ограничение КК в огибающей ветви левой коронарной артерии в первые 30 мин вызывает различные по силе и направленности реакции системной гемодинамики у различных животных. При 70 % ограничении лишь в некоторых случаях выявлены существенные нарушения показателей системной гемодинамики, в основном же САД поддерживалось на стабильном или повышенном уровне. Помимо хорошего функционального состояния миокарда это могло обеспечиваться компенсаторным повышением ОПС при снижении МОК. В остальных опытах более или менее выраженное снижение САД происходило при снижении МОК и отсутствии его адекватной компенсации со стороны ОПС, или при падении ОПС и практически неизменном МОК. 90 % ограничение коронарного кровотока вызывало более закономерное снижение САД. Лишь в одном из этой группы опытов САД поддерживалось постоянным на протяжении исследования, вероятно, благодаря компенсаторному увеличению ЧСС (со 111 до 126 в мин). Изменения регионарной гемодинамики — сосудистого сопротивления конечности — на ранних этапах развития коронарной недостаточности характеризовались преимущественно развитием депрессорных реакций, вероятно, имеющих рефлекторную природу, которые были более выражены при меньшей степени ишемии.

Литературные данные об изменениях показателей системной и регионарной гемодинамики при инфаркте миокарда в клинике и в эксперименте довольно противоречивы. В большинстве случаев при перевязке левой и правой коронарной артерии отмечено снижение суммарного периферического сопротивления [11, 14]. Эти же авторы наблюдали чаще уменьшение сопротивления сосудов конечности при кратковременной ишемии миокарда. В сосудах конечностей с острой локальной ишемией миокарда зарегистрированы вазодилататорные реакции [4, 5, 9, 10]. Более редко при острой кратковременной ишемии миокарда наблюдалось повышение системного и регионарного (сосудов конечности) сопротивления. Отмечено [4, 5] возрастание сосудистого сопротивления конечности при значительном снижении САД, что авторы объясняют включением компенсаторных реакций в ответ на снижение МОК и САД. Повышение периферического сопротивления происходит при более обширных и при повторных поражениях сердечной мышцы [10]. Показано [17, 18], что при остром нарушении коронарного кровотока периферическая компенсаторная вазоконстрикция, вызванная гипотензией и осуществляющаяся в результате деятельности синусных и аортальных барорецепторов, угнетается депрессорными рефлекторными влияниями с сердца. Такой рефлекс может играть защитную роль вследствие снижения посленагрузки на сердце на ранних этапах после коронарной окклюзии [9, 17].

Таким образом, компенсация гемодинамических нарушений при инфаркте миокарда может происходить путем повышения перифери-

Таблица 1

## Изменение некоторых показателей гемодинамики при дозированном ограничении коронарного кровотока

Показатели гемодинамики	Время ограничения коронарного кровотока					
	на 70 %			на 90 %		
	исходное	15 мин	30 мин	исходное	15 мин	30 мин
САД, в кПа	11,9±0,92	11,20±0,67	11,20±0,67	12,9±0,80	9,3±0,93*	9,3±0,80*
МОК, в л/мин	3,4±0,3	2,7±0,2	2,8±0,3	3,0±0,8	2,8±0,4	2,5±0,4
ОПС в кПа·с/л	250,90±32,30	262,60±47,20	282,20±47,60	272,40±19,10	207,80±28,20	236,00±41,30
ЧСС, сокращений/мин	185±10	157±11	162±10	166±10	149±10	143±10
ПБА, в кПа	16,8±0,8	15,7±0,8	14,3±0,9	15,1±0,5	13,7±0,7	13,9±0,7

\* Статистически достоверное различие с исходными показателями.

Таблица 1

## Изменение некоторых показателей гемодинамики при дозированном ограничении коронарного кровотока

Показатели гемодинамики	на 70 %			Время ограничения коронарного кровотока		
	исходное	15 мин	30 мин	исходное	15 мин	30 мин
САД, в кПа	11,9±0,92	11,20±0,67	11,20±0,67	12,9±0,80	9,3±0,93*	9,3±0,80*
МОК, в л/мин	3,4±0,3	2,7±0,2	2,8±0,3	3,0±0,8	2,8±0,4	2,5±0,4
ОПС, в кПа·с/л	250,90±32,30	262,60±47,20	282,20±47,60	272,40±19,10	207,80±28,20	236,00±41,30
ЧСС, сокращений/мин	185±10	157±11	162±10	166±10	149±10	143±10
ПБА, в кПа	16,8±0,8	15,7±0,8	14,3±0,9	15,1±0,5	13,7±0,7	13,9±0,7

\* Статистически достоверное различие с исходными данными.

Таблица 2

## Изменения показателей гемодинамики при дозированном ограничении коронарного кровотока, выраженные в % к исходным (до ограничения)

Показатели гемодинамики	Отравление КК на 70 %			Отравление КК на 90 %		
	I (n=5)			II (n=9)		
	Минуты ограничения коронарного кровотока			II (n=9)		
	15	30	15	30	15	30
САД	-5±2 н/д	+9±9 н/д	-18±4 <0,001	-22±7 <0,01	-23±5 <0,01	-16±6 <0,05
ОПС	+16±5 <0,02	+51±28 н/д	-13±6 н/д	-18±8 н/д	+6±8 н/д	+44±10 <0,02
ПБА	-2±4 н/д	-5±3 н/д	-12±2 <0,001	-18±5 <0,01	+0,1±1,4 н/д	+0,33±2,8 н/д
ЧСС	-11±6 н/д	-9±5 н/д	-18±5 <0,01	-13±5 <0,01	-0,7±16 н/д	-8±7 н/д
МОК	+15±35 н/д	-7±14 н/д	-18±8 н/д	-14±10 н/д	-19±4 н/д	-45±5 <0,001
						+11±10 н/д
						+4±14 н/д

I — подгруппа опытов, в которых ОПС и ПБА повышались или не изменялись, II — подгруппа опытов, в которых происходило снижение общего и регионарного сосудистого сопротивления.

ческого сосудистого сопротивления в ответ на снижение насосной функции сердца [3, 7, 13] и путем рефлекторного ослабления периферического сосудистого сопротивления (или угнетения рефлекторных вазоконстрикторных механизмов) [2, 3, 15, 17]. В связи с такими данными мы сочли целесообразным разбить полученные результаты исследований двух групп с различной степенью ограничения КК условно на две подгруппы по наличию или отсутствию компенсаторного повышения периферического сосудистого сопротивления. Изменения некоторых показателей системной и регионарной гемодинамики в этих группах представлены в табл. 2.

Видно, что в подгруппах опытов, где общее и регионарное сосудистое сопротивление снижалось, были отмечены более существенные сдвиги показателей гемодинамики, прогрессирующие с увеличением степени ограничения КК: более существенное снижение САД, уменьшение ЧСС, снижение МОК. Полученные данные свидетельствуют о важной роли повышения периферического сосудистого сопротивления в компенсаторной реакции системы кровообращения на нарушение коронарного кровотока, в результате чего обеспечивается поддержание важного показателя системного гомеостаза — САД — на более высоком уровне. Развитию этой компенсаторной реакции, как свидетельствуют полученные данные, сопутствует возрастание ЧСС и снижение МОК. В сосудах конечности 70 % ограничение КК вызывает депрессорный ответ, а при 90 % ограничении КК депрессорные реакции уменьшаются, вероятно, в результате большего напряжения компенсаторных вазоконстрикторных механизмов.

Таблица 3  
Изменение реакций сосудов конечности при дозированном ограничении коронарного кровотока (в Па)

Раздражитель	70 % ограничение КК		90 % ограничение КК	
	перед ограничением	в конце ограничения	перед ограничением	в конце ограничения
Адреналин в перфузионный кровоток	2400±267 <i>p&lt;0,05</i>	3333±267	1600±133 <i>p&gt;0,2</i>	2000±400
Прессорный синокардиальный рефлекс	2000±267 <i>p&lt;0,05</i>	1200±267	1333±267 <i>p&lt;0,05</i>	800±133

Результаты исследования реакций сосудов конечности на действие гуморальных и нервно-рефлекторных раздражителей при дозированном снижении КК представлены в табл. 3. Получены данные о возрастании реакций на действие адреналина, вводимого в ток перфузии, на 0,9 кПа ( $p<0,05$ ) при 70 % ограничении КК, а при 90 % ограничении КК выявлена тенденция к их возрастанию (+0,4 кПа,  $p>0,2$ ). При этом следует отметить, что сосудистые реакции на действие адреналина возрастили в среднем на  $2,1\pm0,7$  кПа ( $p<0,02$ ) в группе наблюдений со сниженным исходным уровнем ПБА и ОПС, а в группе с неизменным или повышенным уровнями ОПС и ПБА — на  $0,5\pm0,1$  кПа ( $p<0,01$ ). В группе опытов с 90 % ограничением КК отмечена тенденция к повышению сосудистых реакций конечности на действие экзогенного адреналина в исследованиях, где происходило выраженное снижение общего и регионарного сосудистого сопротивления ( $+1,5\pm0,7$  кПа,

$p>0,05$ ), тогда как в группе возрастали ( $n=4$ ), резкого адреналина в среде

Такие данные можно тельности адренореактивности при начальных степенях. Это подтверждает важную роль мицеларной гемодинамики. Как показали проведенные исследования КК, когда наблюдалось кровообращение, рана сосуды конечности возникают результаты о менее законченности при 90 % ограничении сосудистых реакций на можно объяснить, руководствуясь холаминами [8, 16].

При рассмотрении реагерии выявлена тенденция в обеих группах опытов с опыта в конце периода. Такие данные свидетельствуют о рецепторного сосудистого миокарда.

1. Дозируемое ограничение гемодинамики зависит от степени нарушения

2. При 70 % ограничении показателей системной гемодинамики изменились в среде

3. Компенсация нарушений коронарной недостаточности путем периферического сокращений за счет мобилизации репрессорных механизмов

CHANGES IN HEMODYNAMICS OF

A 70 and 90 % limited coronary artery was studied in a closed chest. Changes in the parameters were of individual character.

7 — Физиологический журнал, № 5.

на снижение насосной ю ослабления периферического тонуса рефлекторных. В связи с такими данными результаты ис- органичения КК условно компенсаторного повышения. Изменения некоторых параметров в этих группах

общее и регионарное со- чены более существен- сирующие с увеличением снижение САД, уменьшные свидетельствуют о судистого сопротивления цения на нарушение ко- личества поддержания АД — на более высоком уровне, как свидетельствуют ЧСС и снижение МОК, вызывает депрессорный рефлекс уменьшаются, компенсаторных вазо-

Таблица 3  
при ограничении коронарного

90 % ограничение КК	
перед ограничением	в конце ограничения
1600±133	2000±400 $p>0,2$
1333±267	800±133 $p<0,05$

конечности на действие тел при дозированном ограничении КК в данных о возрастании ок перфузии, на 0,9 кПа (90 % ограничении КК кПа,  $p>0,2$ ). При этом действие адреналина воз- в группе наблюдений, а в группе с неизмен- на 0,5±0,1 кПа ( $p<0,05$  КК отмечена тенден- сти на действие экзоген- ного выданное сниже- ния (+1,5±0,7 кПа,

$p>0,05$ ), тогда как в группе опытов, где ПВА и ОПС не изменялись или возрастали ( $n=4$ ), реакции сосудов конечности на действие экзогенного адреналина в среднем не изменялись ( $-0,2\pm0,1$  кПа).

Такие данные можно объяснить, вероятно, повышением чувствительности адренореактивных структур сосудистой стенки конечности при начальных степенях возникновения коронарной недостаточности. Это подтверждает важную роль симпато-адреналовой системы в формировании гемодинамических реакций при инфаркте миокарда [7, 13]. Как показали проведенные исследования, при большей степени ограничения КК, когда наблюдаются более выраженные нарушения системного кровообращения, роль вазоконстрикторных гуморальных влияний на сосуды конечности возрастает. Об этом свидетельствуют полученные результаты о менее закономерном снижении сосудистого сопротивления конечности при 90 % ограничении КК и о меньшей степени возрастания сосудистых реакций на действие экзогенного адреналина. Последнее можно объяснить, руководствуясь рецепторной теорией действия катехоламинов [8, 16].

При рассмотрении реакций сосудов конечности на зажатие сонной артерии выявлена тенденция к снижению величин сосудистых ответов в обеих группах опытов с ограничением коронарного кровотока. В части опытов в конце периода ограничения КК эти реакции отсутствовали. Такие данные свидетельствуют об изменении чувствительности барорецепторного сосудистого механизма на ранних стадиях ишемии миокарда.

### Выводы

1. Дозируемое ограничение коронарного кровотока в бассейне левой огибающей коронарной артерии вызывает различные сдвиги показателей системной гемодинамики, направленность и глубина которых зависит от степени нарушения коронарного кровотока.

2. При 70 % ограничении КК не отмечено существенных изменений показателей системной гемодинамики, но наблюдалось снижение регионарного сосудистого сопротивления конечности и возрастание величин сосудистых реакций на действие экзогенного адреналина. При 90 % ограничении КК выявлено снижение САД, другие показатели гемодинамики изменились в среднем недостоверно.

3. Компенсация нарушений кровообращения на ранних стадиях коронарной недостаточности происходит, вероятно, благодаря повышению периферического сосудистого сопротивления и частоты сердечных сокращений за счет мобилизации симпато-адреналовой системы и барорецепторных механизмов регуляции сосудистого тонуса.

I. S. Mudraya

### CHANGES IN THE SYSTEMIC AND REGIONAL HEMODYNAMICS WITH A DOSED LIMITATION OF CORONARY BLOOD FLOW

#### Summary

A 70 and 90 % limited coronary blood flow (CF) in the basin of the left circumflex coronary artery was studied in acute experiments with anesthetized dogs under conditions of a closed chest. Changes in the systemic and regional (extremity vessels) hemodynamics parameters were of individual character and depended on the extent of the CF disturbance.

With a 70 % limitation of CF no essential shifts in the systemic hemodynamics parameters were observed, but a decrease in regional vascular resistance of an extremity and an increase in magnitudes of vascular responses to the epinephrine effect were marked. With a 90 % limitation of CF the systemic arterial pressure is found to be 18 % lower than the initial one. A tendency is observed to a decrease in the development of the pressor sinus reflex in both studied groups.

Laboratory of Experimental Cardiology,  
Ukrainian Institute of Cardiology, Kiev

### Список литературы

1. Виноградов А. В. Острая недостаточность кровообращения при инфаркте миокарда. Л.: Медицина, 1965. 190 с.
2. Гуревич М. И., Ильчевич Н. В. Влияние физической нагрузки на гемодинамику при экспериментальном нарушении венечного кровообращения.—В кн.: Артериальная гипертония и ишемическая болезнь сердца. Киев, 1970, с. 60—63.
3. Докукин А. В., Боравская Е. Б. Гемодинамика при гипоксии и острой недостаточности миокарда.—В кн.: Руководство по патологической физиологии. М., 1966, т. 3, с. 374—393.
4. Кулагина В. П. Сосудистая реактивность при экспериментальной ишемии миокарда.—В кн.: Атеросклероз и коронарная недостаточность. М., 1970, с. 150—156.
5. Кяндужунцева Э. А. Изменения артериального давления и тонуса сосудов при экспериментальном инфаркте миокарда различной величины и локализации.—Кардиология, 1964, № 1, с. 29—34.
6. Кяндужунцева Э. А., Гинзбург Е. М., Васильева Н. И. Состояние капиллярного кровообращения скелетных мышц при экспериментальном кардиогенном шоке по данным двойного индикаторного метода.—Кардиология, 1973, № 10, с. 63—67.
7. Лукомский П. Е. Клинические лекции по кардиологии. М.: Медицина, 1973. 231 с.
8. Манухин Б. Н. Физиология адреаренопрепараторов. М.: Наука, 1968. 236 с.
9. Мдинарадзе Ю. С., Горбаченков Л. Л., Макельский В. В. Изменения гемодинамики у больных инфарктом миокарда.—Терапевт. арх., 1965, № 12, с. 84—91.
10. Мойбенко А. А., Повжитков М. М., Грабовский Л. А., Кузьминский Н. П. Исследование взаимоотношений между функцией сердца и тонусом резистивных сосудов при экспериментальном нарушении коронарного кровообращения.—Кардиология, 1976, № 2, с. 131—137.
11. Поленов С. А. Регионарные и системные сдвиги гемодинамики при рефлексах с сердца: Автореф. дис. ... канд. мед. наук. Л., 1971. 24 с.
12. Орлова Н. Н. Моделирование дозированного ограничения коронарного кровотока.—Кардиология, 1979, № 6, с. 85—87.
13. Сметнев А. С. Кардиогенный шок при инфаркте миокарда. М.: Медицина, 1971. 231 с.
14. Ткаченко Б. И., Поленов С. А., Агаев А. К. Кардио-васкулярные рефлексы. М.: Медицина, 1975. 232 с.
15. Фролькис В. В. Рефлекторная регуляция деятельности сердечно-сосудистой системы. Киев, 1959. 361 с.
16. Hertting G. Effect of drugs and sympathetic denervation on noradrenaline uptake and binding in animal tissues.—In: Pharmacology of Cholinergic and Adrenergic Transmission. Prague, 1965, p. 277—289.
17. Pelletier C. Vagal inhibitory effects on peripheral circulation in acute coronary occlusion.—Can. J. Physiol. and Pharmacol., 1979, 57, N 6, p. 547—555.
18. Toubles D. B., Brody M. J. Inhibition of reflex vasoconstriction after experimental coronary embolization in the dog.—Circulat. Res. 1970, 26, N 2, p. 211—224.

Лаборатория экспериментальной кардиологии  
Украинского института кардиологии, Киев

Поступила в редакцию  
1.IV 1980 г.

### ГИСТОВО ВНУТРЕННЕЙ КРОВОПОТЕРИИ ГЛ

Одним из эффектов терапии при острой кровопотере является заменитель. В на зарекомендовали производство дозах, даже при разовой гипертонии почек и др. [1, 2, 3]. Коллоидные плазмозаменители модифицированные дыхательного пигмента [9, 10, 11]. Для использования они должны быть нейтральными, кумулятивных свойств, регулирования.

Мы изучали морфологические изменения после острой массивной введений плазмы желатиноля.

Исследования выполнены на массивная кровопотеря состояла из заменителя (модифицированной плазмы, состоящей из 15 собак, в первом введении препарата, введенного глубина. Пять других собак вводили в течение 2 заменителя переливали один раз.

Второй группе животных. Три интактные собаки служили для исследования 4 дня после последнего переливания в объеме 10% от массы тела. Введение тиопенталльного формалина, обезвоживали в целлюлозу. Гистологическое исследование легких, печени, почек, селезенки и по Ван-Гизону.

### Результаты

После острой массивной введений модифицированной плазмы (в методике) гистологически гипертрофию мышечных волокон зернами хроматина.

systemic hemodynamics parameters  
stance of an extremity and an in-  
phrine effect were marked. With a  
found to be 18 % lower than the  
development of the pressor sinus

УДК 615.384—611.018.41

К. А. Лобунец

## ГИСТОЛОГИЧЕСКИЕ ИЗМЕНЕНИЯ ВО ВНУТРЕННИХ ОРГАНАХ ЖИВОТНЫХ ПОСЛЕ КРОВОПОТЕРИ И ПЕРЕЛИВАНИЯ МОДИФИЦИРОВАННОГО ГЛОБИНА И ЖЕЛАТИНОЛЯ

Одним из эффективных средств патогенетически обоснованной терапии при острой кровопотере и шоках является переливание крови и ее заменителей. В настоящее время в клинике наиболее хорошо себя зарекомендовали производные декстрана, которые, однако, в больших дозах, даже при разовом введении, отрицательно влияют на иммунологическую реактивность организма, свертывающую систему крови, функцию почек и др. [1, 2, 8, 12]. Поэтому продолжается поиск новых коллоидных плазмозамещающих сред. Создаются и изучаются препараты модифицированных желатины, крахмала, глобина (белковой части дыхательного пигмента эритроцитов), синтетических полимеров [4, 5, 9, 10, 11]. Для использования этих средств в качестве плазмозаменителей они должны быть лишены первичной токсичности, анафилактогенности, кумулятивных свойств и повреждающего воздействия на различные системы регулирования гомеостаза.

Мы изучали морфологическое состояние внутренних органов животных после острой массивной кровопотери и многократных внутривенных введений плазмозаменителей — модифицированного глобина и желатиноля.

### Методика исследований

Исследования выполнены на 33 беспородных взрослых здоровых собаках. Острая массивная кровопотеря составляла 60—65 % общей массы крови животного. Плазмозаменители (модифицированный глобин и желатиноль) переливали через 30—40 мин после кровопускания в объеме, равном потерявшей крови. Пяти животным первой группы, состоящей из 15 собак, в течение месяца, начиная с 5—7 сут после кровопотери и первого введения препарата, каждые 3—4 дня переливали 10—15 мл/кг модифицированного глобина. Пяти другим собакам этой группы такую же дозу модифицированного глобина вводили в течение 2 мес один раз в неделю. Следующим пятью собакам плазмозаменитель переливали один раз в неделю еще 3 мес.

Второй группе животных (15 собак) в аналогичных условиях вводили желатиноль. Три интактные собаки служили контролем. Животных через 1, 3 и 6 мес (спустя 3—4 дня после последнего переливания испытуемых плазмозаменителей) забивали внутривенным введением тиопентала натрия. Материал фиксировали в 10 % растворе нейтрализованного формалина, обезвоживали в этиловом спирте возрастающих концентраций и заливали в целлоидин. Гистологически исследовали ткани внутренних органов — сердца, легких, печени, почек, селезенки — с использованием метода окраски гематоксилин-эозином и по Ван-Гизону.

### Результаты исследований и их обсуждение

После острой массивной кровопотери и кратных внутривенных введений модифицированного глобина в течение месяца (как описано в методике) гистологическими исследованиями органов собак выявлено гипертрофию мышечных волокон миокарда (ядра увеличены в размере, богаты зернами хроматина, волокна интенсивно, но равномерно окра-

уры

ащения при инфаркте миокарда.

Нагрузки на гемодинамику при  
рассечения. — В кн.: Артериальная  
70, с. 60—63.и гипоксии и острой недостаточ-  
ской физиологии. М., 1966, т. 3,экспериментальной ишемии миокар-  
дия. М., 1970, с. 150—156.ния и тонуса сосудов при экспе-  
чины и локализации. — Кардио-И. Состояние капиллярного кро-  
том кардиогенном шоке по дан-  
и, 1973, № 10, с. 63—67.тии. М.: Медицина, 1973. 231 с.  
аука, 1968. 236 с.В. Изменения гемодинамики  
65, № 12, с. 84—91., Кузминский Н. П. Исследова-  
нисом резистивных сосудов при  
 обращения. — Кардиология, 1976,емодинамики при рефлексах с  
с.

чения коронарного кровотока.—

арда. М.: Медицина, 1971. 231 с.

васкулярные рефлексы. М.: Ме-  
ти сердечно-сосудистой системы.ion on noradrenaline uptake and  
olinergic and Adrenergic Trans-culation in acute coronary occlu-  
p. 547—555.constriction after experimental  
26, N 2, p. 211—224.Поступила в редакцию  
1.IV 1980 г.

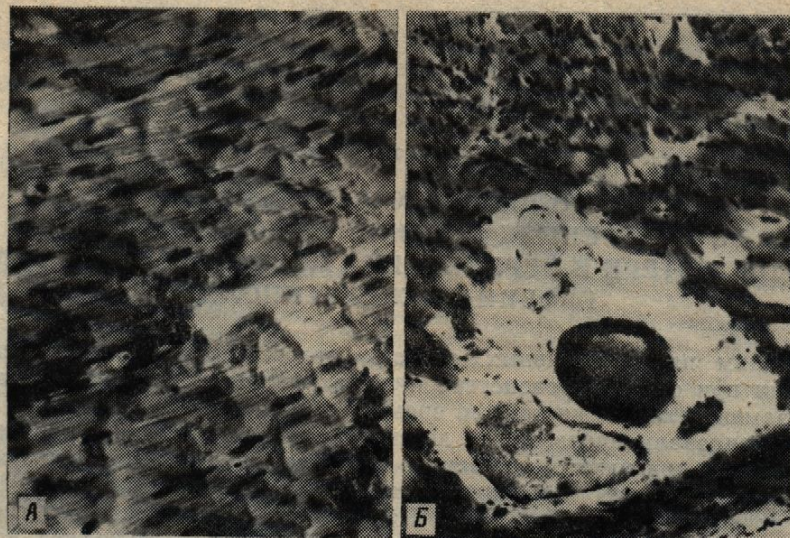


Рис. 1. Гистологические изменения в тканях сердца (собака, срок жизни 1 мес.).

А — структура микрокардиоцитов не изменена, видна поперечная исчерченность. Б — незначительное полнокровие кривеносных сосудов. А, Б — микрофото, целлондин, окраска гематоксилином-эозином, ув. ×115.

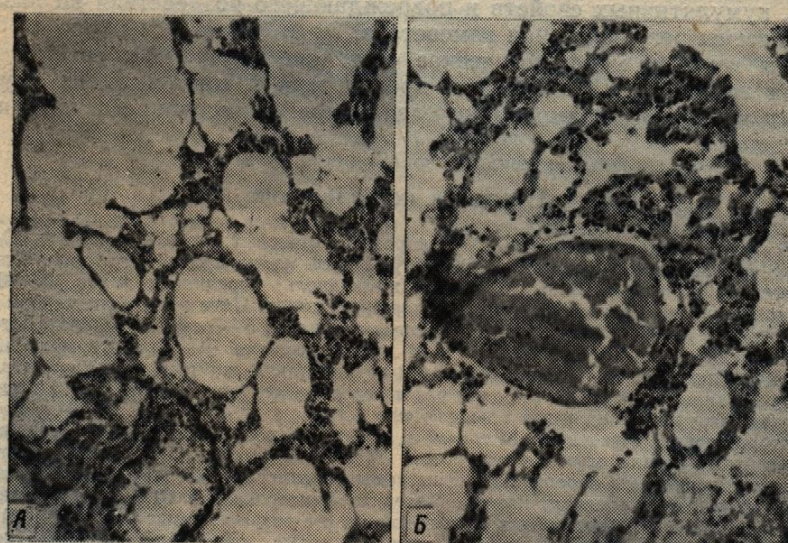


Рис. 2. Гистологические изменения в тканях легких (собака, срок жизни 1 мес.).

А — альвеолы свободны, в межальвеолярных перегородках и бронхе форменные элементы без изменений. Б — полнокровие кровеносного сосуда. А, Б — микрофото, целлондин, окраска гематоксилином-эозином, ув. ×115.

шены эозином) с сохраненной продольной исчерченностью (рис. 1А), активацию клеток ретикулоэндотелия стромы сердечной мышцы (ядра клеток набухшие, увеличены в размере), незначительное полнокровие капилляров и крупных сосудов (рис. 1Б).

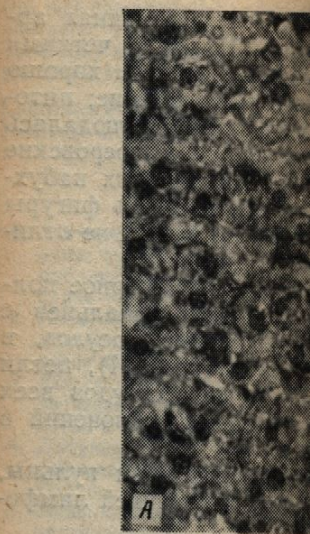


Рис. 3. Гистологичес-

А — гепатоциты с четкими контурами. Б — цитоплазма гепатоцитов, окраска гематоксилином-эозином, ув. ×115.

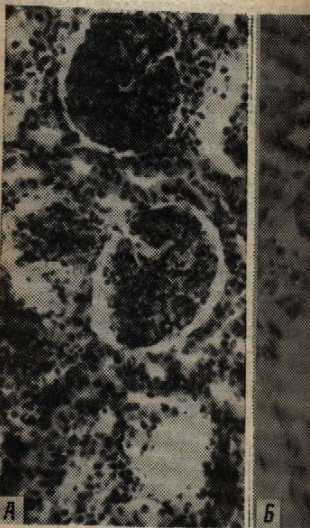


Рис. 4. Гистологические изменения в почке.

А, Б — почка, просвет канальцев свободного от секрета Шумлянского утолщен, кровенаполнение в канальцах отсутствует, в цитоплазме большие и малые лимфоциты, ядра яйцевидные. А, Б — микрофото, целлондин, окраска гематоксилином-эозином, ув. ×115.

Альвеолы легких были свободными, в межальвеолярных перегородках и бронхе форменные элементы без изменений. Б — полнокровие кровеносного сосуда. А, Б — микрофото, целлондин, окраска гематоксилином-эозином, ув. ×115.



собака, срок жизни

исчерченность. Б —

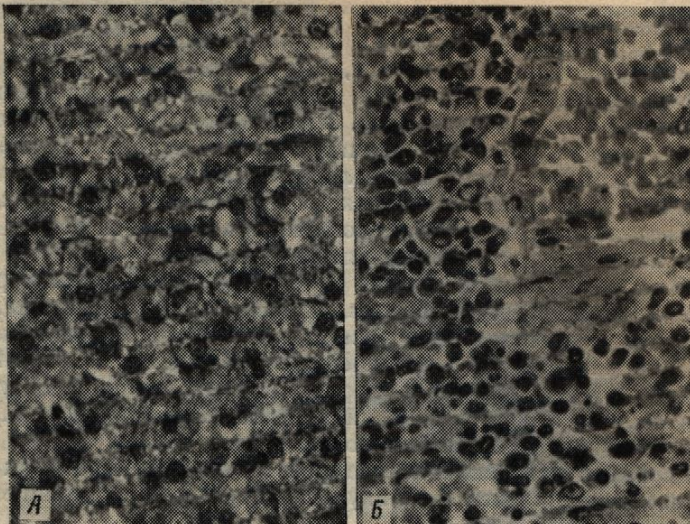


Рис. 3. Гистологические изменения в тканях печени (собака, срок жизни 1 мес).

А — гепатоциты с четкими границами, равномерно окрашены, ядра четко контурированы. Б — активация купферовских клеток. А, Б — микрофото, цепллоидин, окраска гематоксилин-бозином, ув.: А —  $\times 460$ , Б —  $\times 115$ .



собака, срок жизни

исчерченность. А, Б —

иенностью (рис. 1А),  
ечной мышцы (ядра  
тельное полнокровие



Рис. 4. Гистологические изменения в тканях почки и селезенки (собака, срок жизни 1 мес.).

А, Б — почка, просвет канальцев свободный, равномерно расширен, париетальный листок капсулы Шумлянского утолщен, кровенаполнение обычное. В — селезенка, в пульпе в достаточном количестве большие и малые лимфоциты, активация лимфоцитов в пульпе. А, Б, В — микрофото, цепллоидин, окраска гематоксилин-эозином, ув.: А —  $\times 183$ , Б —  $\times 460$ , В —  $\times 115$ .

Альвеолы легких были воздушны, просвет их свободный, межальвеолярные перегородки целые, без признаков отека и инфильтрации (рис. 2А). Отмечено некоторое усиление кровенаполнения крупных транспортных и среднего калибра сосудов (рис. 2Б). Однако, слои со судистой стенки были хорошо различимы и нормально окрашены.

Микроскопически установлена также практически неизменная архитектоника печени. Гепатоциты полигональной формы, с четкими границами, равномерно окрашены, ядра округлой формы с хорошо выраженным ядрышком, хроматин имеет краевое расположение; цитоплазма вакуолей не содержит (рис. 3А). У всех животных наблюдалась небольшая активация ретикулярных клеток стромы (купферовские клетки выходили в просвет межбалочных капилляров, ядра их набухшие, рис. 3Б). У трех из пяти собак в гепатоцитах встречались фигуры митоза. Гистологическая картина сосудистого аппарата печени не отличалась от наблюдавшей у интактных животных.

В почках у собак этой группы зарегистрированы равномерное полнокровие мальпигиевых клубочков, свободные просветы канальцев с равномерным незначительным расширением кровеносных сосудов, в которых просматривались неизмененные эритроциты (рис. 4А), петли Генле нормальной величины и формы. Кровенаполнение сосудов всех калибров было обычное, в строении и состоянии стенки отклонений в сравнении с контролем не выявлено (рис. 4Б).

Изменения в селезенке характеризовались полнокровием пульпы, выраженной гиперплазией фолликулов и некоторой активацией лимфоцитарной ткани (рис. 4В).

Кровоизлияний и воспалительных процессов в исследуемых внутренних органах собак данной группы не обнаружено.

У собак, которым после острой массивной кровопотери на протяжении месяца по идентичной схеме переливали желатинол, при микроскопии внутренних органов, в сравнении с животными первой группы, обращало на себя внимание более рельефное кровенаполнение кровеносных сосудов всех калибров, стенки же были, как правило, обычного тонуса, дистрофические изменения их структурных элементов не определялись. Наблюдалась более выраженная активация клеток ретикулоэндотелиальной системы сердца и печени, кровоизлияния и воспалительные процессы отсутствовали.

Через 3 и 6 мес после острой массивной кровопотери и кратных инфузий плазмозамещающих растворов модифицированного глобина и желатинола гистологическая картина внутренних органов собак в основном не отличалась от наблюдавшей у интактных животных.

Сравнивая полученные результаты с данными [3, 6, 7, 9, 12] по исследованию других коллоидных плазмозаменителей, можно заключить, что выявленные нами после кровопотери и последующих переливаний испытуемых препаратов умеренно выраженное кровенаполнение сосудов внутренних органов, гипертрофия мышечных волокон миокарда, гиперплазия пульпы и фолликулов селезенки, активация ретикулоэндотелиальной системы носят функциональный характер и обратимы.

Отсутствие деструктивных нарушений ядерных элементов клеток, дистрофии тканей и других патологических изменений во внутренних органах свидетельствует о том, что изучаемые плазмозаменители не обладают токсическим действием.

К. А. Лобунец

#### HISTOLOGICAL CHANGES IN ANIMAL VISCERA FOLLOWING HEMORRHAGE AND TRANSFUSION OF MODIFIED GLOBIN AND GELATINOL

##### Summary

After acute massive hemorrhage and multiple intravenous administrations of plasma substitutes (modified globin and gelatinol) moderately expressed hyperemia, hypertrophy of myocardium muscular fibres, hyperplasia of the spleen pulp and follicles, activation of

the reticuloendothelial system character and reversible. The dystrophy and other pathologies under study have no toxic effect.

Laboratory of Blood Protein Fr.  
Institute of Hematology and Biophysics

C 1

1. Арташеский Л. И., Сатиагина, выпускавшего Минск публиканского съезда гематологии, с. 204—207.
2. Игнатов В. Н. Изменение под влиянием трансфузий погоды и переливания крови.
3. Касымхаджаев Э. С. Аверс введение синтетического погоды и переливания крови.
4. Лобунец К. А. Изменение при массивной кровопотери Физиол. журн., 1979, 25, № 1.
5. Мельниковская Н. Н. Козы этилированного амилопектин. Научные труды Всесоюзные кровезаменители». М., 1979.
6. Новикова Т. С., Неменова. Изменения при введении очищенных. — В кн.: Переносчики крови.
7. Туревский А. А., Маслаков. Изменения в печени под влияния крови, 1971, 16, № 10, с. 8.
8. Харомоненко С. С., Лавров. новых плазмозаменителей. — логов и трансфузионологов Белоруссии.
9. Чаплыгина З. А., Седова Л. тетических полимеров как средства трансфузционной терапии.
10. Gries W., Czok G., Lang Ratten nach verabreichung von gelatinol, 1964, N 13, p. 321—324.
11. Zekorn D. Intravascular replacement of plasma substitutes. — Biol. Haemostasis, 1964, N 33, p. 167—197.

Лаборатория фракционирования  
Киевского Института гематологии  
и переливания крови

тически неизменная ар-  
ной формы, с четкими  
той формы с хорошо  
ое расположение; цито-  
животных наблюдалась  
страми (купферовские  
млляров, ядра их набух-  
тах встречались фигуры  
ппарата печени не отли-  
кованы равномерное пол-  
просветы канальцев с  
кровеносных сосудов, в  
оциты (рис. 4A), петли  
аполнение сосудов всех  
и стенки отклонений в  
полнокровием пульпы,  
орой активацией лимфо-  
зов в исследуемых внут-  
гено.

й кровопотери на про-  
ивали желатиноль, при  
и с животными первой  
ьефное кровенаполнение  
же были, как правило,  
структурных элементов  
енная активация клеток  
ечени, кровоизлияния и

кровопотери и кратных  
цированного глобина и  
их органов собак в ос-  
тных животных.  
ыми [3, 6, 7, 9, 12] по-  
енителей, можно заклю-

и последующих перели-  
женное кровенаполнение  
печных волокон миокар-  
ки, активация ретикуло-  
пых элементов клеток,  
зменений во внутренних  
е плазмозаменители не

кровопотери и кратных  
цированного глобина и  
их органов собак в ос-  
тных животных.

ными [3, 6, 7, 9, 12] по-  
енителей, можно заклю-

и последующих перели-  
женное кровенаполнение  
печных волокон миокар-  
ки, активация ретикуло-  
пых элементов клеток,  
зменений во внутренних  
е плазмозаменители не

CERA FOLLOWING  
GLOBIN AND GELATINOL

nous administrations of plasma  
pressed hyperemia, hypertrophy  
pulp and follicles, activation of

the reticuloendothelial system histologically revealed in dogs' viscera are of a functional character and reversible. The absence of destructive disturbances in cell nuclei, tissue

dystrophy and other pathological changes in the viscera testifies that the plasma substitutes under study have no toxic effect.

Laboratory of Blood Protein Fractionating,  
Institute of Hematology and Blood Transfusion, Kiev

### Список литературы

- Арташевский Л. И., Сагитур Е. А. Осложнения при клинической апробации полиглю-  
кина, выпускаемого Минским заводом медпрепаратов.— В кн.: Материалы II рес-  
публиканского съезда гематологов и трансфузионистов Белоруссии. Минск, 1973,  
с. 204—207.
- Игнатов Б. Н. Изменение свертывающей системы крови у больных с кровопотерей  
под влиянием трансфузий реополиглюкина.— В кн.: Современные проблемы гемато-  
логии и переливания крови. М., 1970, с. 47—48.
- Касымходжаев Э. С., Аверьянова С. Г. Морфологические изменения в почках при  
введении синтетического плазмозамещающего раствора пливинола.— Пробл. гемато-  
логии и переливания крови, 1972, 17, № 3, с. 45—46.
- Лобунец К. А. Изменение некоторых показателей гемодинамики у собак после осто-  
рой массивной кровопотери и переливания растворов модифицированного глобина.—  
Физиол. журн., 1979, 25, № 1, с. 47—52.
- Мельниковская Н. Н., Козинер В. Б., Неменова Н. М., Власова А. Г. Изучение окси-  
этилированного амилопектинового крахмала в эксперименте на животных.— В кн.:  
Научные труды Всесоюзного симпозиума «Парентеральное белковое питание и но-  
вые кровезаменители». М., 1977, с. 90—91.
- Новикова Т. С., Неменова Н. М., Мельниковская Н. Н. Патоморфологические иссле-  
дования при введении очищенного раствора гемоглобина в эксперименте на живот-  
ных.— В кн.: Переносчики кислорода. М., 1979, с. 122—124.
- Туровский А. А., Маслаков Д. А., Лагодский Я. В., Шаланда Т. И. Гистохимические  
изменения в печени под влиянием полиглюкина.— Пробл. гематологии и перелива-  
ния крови, 1971, 16, № 10, с. 45—47.
- Харамоненко С. С., Лаврова Л. В. О природе посттрансфузионных реакций декстра-  
новых плазмозаменителей.— В кн.: Материалы II республиканского съезда гемато-  
логов и трансфузионистов Белоруссии. Минск, 1973, с. 272—276.
- Чаплыгина З. А., Седова Л. А., Михайлова Л. Г. Первичная оценка некоторых син-  
тетических полимеров как возможных кровезаменителей.— В кн.: Современные  
средства трансфузионной терапии при травме и кровопотере. Л., 1978, с. 31—39.
- Griem W., Czok G., Lang K. Histologische und Phisiologische Untersuchungen an  
Ratten nach verabreicherung des Plasmaexpanders Gelifundol (OPG).— Anaesthesia-  
logy, 1964, N 13, p. 321—324.
- Zekorn D. Intravascular retention, dispersal excretion and break-down of gelatin  
plasma substitutes.— Biol. Haematol., 1969, N 33, p. 131—140.
- Larcan A., Stoltz J. F. Macromolecules et paramètres sanguins.— Therapie, 1978,  
N 33, p. 167—197.

Лаборатория фракционирования белков крови  
Киевского Института гематологии  
и переливания крови

Поступила в редакцию  
29. VII 1980 г.

УДК 616.831.4:616.12—009.86

Е. А. Ващенко, Л. Б. Доломан

## ОСОБЕННОСТИ ГЕМОДИНАМИКИ У БОЛЬНЫХ С ГИПОТАЛАМИЧЕСКИМ СИНДРОМОМ

Гипоталамус играет важную роль в регуляции кровообращения, осуществляющей посредством нервных, гуморальных и нейрогормональных механизмов [1, 2, 5, 7, 8, 9]. Нарушение функций гипоталамуса сопровождается развитием вегетативно-сосудистого гипоталамического синдрома, в клиническом проявлении которого преобладают сердечно-сосудистые нарушения в виде болей и неприятных ощущений в области сердца, сердцебиения, нередко по типу пароксизмальной тахикардии, реже урежения сердечного ритма, головной боли, головокружения, артериальной гипо- или гипертонии и т. д. [5, 8, 9]. Ранее проведенные нами реоэнцефалографические исследования церебрального кровообращения позволили выявить особенности и различия в состоянии тонуса и кровенаполнения сосудов каротидного и вертебро-базилярного бассейнов при гипо- и гипертоническом гипоталамическом синдроме [3, 4].

Для более полного понимания генеза гемодинамических сдвигов при поражении гипоталамуса мы провели исследования центральной гемодинамики.

### Методика исследований

Обследовано 64 больных (53 женщины и 11 мужчин) с вегетативно-сосудистым гипоталамическим синдромом в возрасте от 20 до 45 лет. Для контроля обследовало 24 практически здоровых (16 женщин и 8 мужчин) такого же возраста.

Параметры центральной гемодинамики (ударного — УОК, минутного — МОК объемов крови, общего периферического сопротивления — ОПС, периода изгнания крови —  $T_{изгн}$ , определяли методом тетраполярной грудной реографии [6, 10]. В качестве регистрирующего прибора использовали реоплетизмограф РПГ2-02, запись проводили на электрокардиографе ЭК-4Т и «Салют». Определяли также систолическое, максимальное (АД<sub>max</sub>), диастолическое, минимальное (АД<sub>min</sub>) и среднединамическое (СДД) артериальное давление, частоту сердечных сокращений (ЧСС).

### Результаты исследований и их обсуждение

Анализ основных показателей центральной гемодинамики (см. таблицу) у больных с вегетативно-сосудистым гипоталамическим синдромом позволил выделить два типа гемодинамических сдвигов. Первый тип наблюдался у 28 (I группа), второй — у 36 (II группа) больных.

У 70 % больных I группы системное артериальное давление было несколько выше, чем в контроле и у больных II группы. В среднем систолическое (АД<sub>max</sub>) давление составляло  $16,8 \pm 0,53$  кПа (колебания от 19,9 до 14,6 кПа), диастолическое давление (АД<sub>min</sub>) —  $10,5 \pm 0,27$  кПа (колебания от 13,3 до 9,3 кПа), что на 11 % превышало их контрольные показатели. Среднее динамическое давление (СДД) составляло в среднем  $12,6 \pm 0,34$  кПа и было большим, чем в контроле на 12 %. Частота сердечных сокращений (ЧСС —  $75,4 \pm 3,42$  уд/мин) выше, чем в контроле на 14 %, но ниже, чем во II группе на 6 %. Удар-

ный (УОК) и минутные группы ниже, чем в контроле:  $37,5 \pm 1,24$  мл и  $2,77 \pm 0,07$  тройной группе. Общее этой группы значительны.

### Основные гемодинамические

Гемодинамические показатели	Здоровые лица
АД <sub>max</sub> , кПа	$15,2 \pm 0,3$
АД <sub>min</sub> , кПа	$9,4 \pm 0,2$
СДД, кПа	$11,3 \pm 0,2$
ЧСС, уд/мин	$65,7 \pm 1,6$
УОК, мл	$54,1 \pm 1,7$
МОК, л/мин	$3,55 \pm 0,1$
ОПС, кПа·с	$19,86 \pm 0,8$
$T_{изгн}$ , с	$0,30 \pm 0,0$

на 41 % и составляла изгнания крови здоровых лиц.

Изменения параметры группы (36 человек) сных I группы и носили характер. У 50 % бол на нижней границе либ возрастных колебаний. В среднем систолическое от 15,9 до 12,6 кПа от 10,6 до 7,9 кПа) и личин. Среднее динам контроля, но было на группы отмечалась от 21 % превышала контрою к увеличению, а величину, составляя в

При анализе индивидуальных общее периферическое контрольного, а у 22 % составляло  $18,02 \pm 0,54$ . Длительность периода равной величины.

Таким образом, при гемодинамики у больных I группы имелись два типа изменений. У больных II группы общего периферического давления при снижении.

У больных II группы характер: обнаружено увеличение минутного периферическом сопро-

## Особенности гемодинамики

ный (УОК) и минутный (МОК) объемы крови у всех больных данной группы ниже, чем в контроле. В среднем они составляли, соответственно,  $37,5 \pm 1,24$  мл и  $2,77 \pm 0,10$  л/мин, что на 31 и 22 % ниже, чем в контрольной группе. Общее периферическое сопротивление (ОПС) у больных этой группы значительно превышало его величину в контроле в среднем

Основные гемодинамические показатели у больных с гипоталамическим синдромом ( $M \pm m$ )

Гемодинамические показатели	Здоровые $n=24$	Больные с вегетативно-сосудистым гипоталамическим синдромом			
		I группа, $n=28$	$p <$	II группа, $n=36$	$p <$
АД <sub>max</sub> , кПа	$15,2 \pm 0,33$	$16,8 \pm 0,53$	0,01	$15,5 \pm 0,24$	0,5
АД <sub>min</sub> , кПа	$9,4 \pm 0,24$	$10,5 \pm 0,27$	0,01	$9,9 \pm 0,19$	0,2
СДД, кПа	$11,3 \pm 0,25$	$12,6 \pm 0,34$	0,01	$11,8 \pm 0,20$	0,5
ЧСС, уд/мин	$65,7 \pm 1,65$	$75,4 \pm 3,42$	0,01	$79,7 \pm 1,67$	0,01
УОК, мл	$54,1 \pm 1,76$	$37,5 \pm 1,24$	0,001	$56,07 \pm 1,49$	0,5
МОК, л/мин	$3,55 \pm 0,14$	$2,77 \pm 0,10$	0,001	$4,05 \pm 0,13$	0,02
ОПС, кПа·с	$19,86 \pm 0,80$	$28,05 \pm 1,08$	0,001	$18,02 \pm 0,54$	0,05
Т <sub>изн.</sub> , с	$0,30 \pm 0,003$	$0,29 \pm 0,005$	0,2	$0,31 \pm 0,004$	0,2

на 41 % и составляло  $28,05 \pm 1,08$  кПа·с. Длительность периода изгнания крови не отличалась от исследуемых показателей здоровых лиц.

Изменения параметров центральной гемодинамики у больных II группы (36 человек) существенно отличались от наблюдавших у больных I группы и носили разнонаправленный, нередко противоположный характер. У 50 % больных этой группы артериальное давление было на нижней границе либо ниже нормы, у 37 % — в пределах нормальных возрастных колебаний и только у 13 % — несколько выше нормы. В среднем систолическое давление составляло  $15,5 \pm 0,24$  кПа (колебания от 15,9 до 12,6 кПа), диастолическое —  $9,9 \pm 0,19$  кПа (колебания от 10,6 до 7,9 кПа) и существенно не отличались от контрольных величин. Среднее динамическое давление в среднем не отличалось от контроля, но было на 7 % ниже, чем в I группе. У 66 % больных II группы отмечалась отчетливая тахикардия, средняя величина ЧСС на 21 % превышала контрольную. Ударный объем крови проявлял тенденцию к увеличению, а минутный объем на 14 % превышал контрольную величину, составляя в среднем  $4,05 \pm 0,13$  л/мин.

При анализе индивидуальных показателей обнаружено, что у 63 % больных общее периферическое сопротивление было значительно ниже контрольного, а у 22 % несколько его превышало. В среднем ОПС составляло  $18,02 \pm 0,54$  кПа·с и было на 10 % ниже, чем в контроле. Длительность периода изгнания существенно не отличалась от контрольной величины.

Таким образом, при исследовании основных параметров центральной гемодинамики у больных с гипоталамическим синдромом отмечено два типа изменений. У больных I группы установлено повышение общего периферического сопротивления и системного артериального давления при сниженных ударном и минутном объемах крови.

У больных II группы указанные изменения носили противоположный характер: обнаружено отчетливое учащение сердечных сокращений и увеличение минутного объема крови чаще при сниженном общем периферическом сопротивлении и системном артериальном давлении.

Наблюдаемые у наших больных изменения общего периферического сопротивления как в сторону повышения, так и понижения связаны, по-видимому, с изменением тонуса резистивных сосудов, в том числе и мелких церебральных сосудов, что подтверждается данными реоэнцефалографических исследований [3, 4]. Наблюдаемая у больных II группы тахикардия и увеличение МОК, возможно, является компенсаторно-приспособительной реакцией организма для поддержания артериального давления и линейной скорости кровотока. Однако склонность к артериальной гипотонии у данных больных свидетельствует о нарушении гемодинамического равновесия. Увеличение МОК в этих условиях не приводит к нормализации пониженного артериального давления, вызванного, очевидно, нарушением гипоталамической кардиоваскулярной регуляции. Снижение УОК и МОК у больных I группы следует расценивать как адаптационную реакцию организма на повышение периферического сопротивления.

Проведенными в нашем отделе исследованиями показана зависимость характера вегетативно-сосудистых реакций от активности симпато-адреналовой и гипоталамо-гипофизарно-надпочечниковой систем: преимущественно симпатическая их направленность при повышении активности этих систем и парасимпатическая — при понижении, предопределившая расщепление вегетативно-сосудистого гипоталамического синдрома на гипер- и гипотонический [8, 9].

В свете изложенных данных у обследованных нами больных I группы при клинико-физиологическом сопоставлении классифицируется гипертонический вегетативно-сосудистый гипоталамический синдром с превалированием сердечно-сосудистых реакций преимущественно симпатической направленности в виде повышения общего периферического сопротивления и системного артериального давления.

У больных II группы соответственно — гипотонический гипоталамический синдром с доминированием сердечно-сосудистых сдвигов парасимпатической направленности, а именно снижение общего периферического сопротивления и артериального давления.

Таким образом, при поражении гипоталамуса у человека в зависимости от функционального состояния выявлены два типа изменений центральной гемодинамики, что способствует пониманию патогенетических механизмов кардиоваскулярных расстройств при гипоталамическом синдроме.

Е. А. Ващенко, Л. Б. Доломан

### PECULIARITIES OF HEMODYNAMICS IN PATIENTS WITH HYPOTHALAMIC SYNDROME

#### Summary

The method of tetrapolar thoracic rheography was applied to study central hemodynamics in patients with a vegetovascular hypothalamic syndrome. Two types of hemodynamic changes are revealed. When the hypothalamic functional activity is intensified, an increase in the total peripheral resistance and systemic arterial pressure is observed against a background of certain reduction in the stroke and minute blood volumes. A weakened hypothalamic function is characterized by a distinct quickening of systoles and by an increase in the minute blood volume usually with a decrease in the total peripheral resistance and arterial pressure. The data obtained contributed to comprehension of pathogenetic mechanisms of cardiovascular disorders with hypothalamic syndromes.

Department of Physiology of Brain Stem,  
A. A. Bogomoletz Institute of Physiology,  
Academy of Sciences, Ukrainian SSR, Kiev

- Баклаваджян О. Г. Механика физиологии, 1979, 10.
- Вальдман А. В. Нейроэнцефалография. Л.: Медицина, 1976. 325.
- Ващенко Е. А. Состояние гипоталамуса при поражении гипоталамуса у человека. — Проблемы гипоталамии. Гращенко Н. И. Гипоталамус. 368 с.
- Гуревич М. И., Фесенко А. Ф. О методе гипоталамического выброса. — Журн. физиологии, 1978, 24, № 6, с. 8.
- Гуревич М. И., Берштейн А. А. О гипоталамическом выбросе методом гипоталамического выброса. — Журн. физиологии, 1978, 24, № 6, с. 8.
- Макарченко А. Ф., Динарова Е. А. Гипоталамус в физиологии. Киев: Наук. думка, 1979.
- Макарченко А. Ф., Динарова Е. А. О гипоталамусе в физиологии. — Журн. физиологии, 1979, 24, № 6, с. 8.
- Пушкарь Ю. Т. Определение гипоталамической функции по гипоталамографии и его метрология. — Канд. дисс. Киев, 1979.
- Хаюгин В. М. Развитие гипоталамической функции. — Физиология гипоталамуса в физиологии. — Журн. физиологии, 1978, 24, № 6, с. 8.
- Хаюгин В. М. О гипоталамической функции. — Канд. дисс. Киев, 1979.
- Шик Л. Л. О регуляции гипоталамической функции сердечного выброса. — Журн. физиологии, 1958. 271 р.

Отдел физиологии ствола мозга  
Института физиологии им. А. А. Богомолец  
АН УССР, Киев

щего периферического понижения связаны, судов, в том числе и ся данными реоэнцефаломиографии у больных II О, является компенсация поддержания артерии. Однако склонность к гипоталамусу о нарушении МОК в этих условиях периферического давления, ской кардиоваскулярных I группы следует изизма на повышение

ими показана зависимость активности симпато-адреналовой системы: при повышении активности понижении, предопределяющей гипоталамического

нами больных I группы классифицируется гипоталамический синдром с преимущественно симметрическим периферическим

и нейрогормональным механизмом регуляции кровообращения у человека в зависимости от двух типов изменений: интенсификации патогенетических процессов при гипоталамическом

и гипоталамической гипоталамии. Установлено, что при гипоталамии у больных I группы отмечается усиление периферического кровообращения, что выражается в увеличении минутного объема крови, а также в уменьшении времени систолы и удлинении диастолы. При этом общее время кровообращения остается практически неизмененным. У больных II группы отмечается снижение периферического кровообращения, что выражается в уменьшении минутного объема крови, а также в удлинении времени систолы и укорочении диастолы. При этом общее время кровообращения остается практически неизмененным.

ed to study central hemodynamics. Two types of hemodynamic activity are intensified: arterial pressure is observed and minute blood volumes. The quickening of systoles and a decrease in the total contributed to comprehend the hypothalamic syndromes.

### Список литературы

- Баклаваджян О. Г. Механизмы гипоталамической регуляции гемодинамики. — Успехи физиол. наук, 1979, 10, № 3, с. 26—43.
- Вальдман А. В. Нейрофармакология центральной регуляции сосудистого тонуса. Л.: Медицина, 1976. 325 с.
- Ващенко Е. А. Состояние гемодинамики в каротидном и вертебробазилярном бассейне при поражении гипоталамуса. — Физиол. журн., 1978, 24, № 5, с. 699—704.
- Ващенко Е. А. О состоянии мозгового кровообращения при поражении гипоталамуса у человека. — Пробл. физиологии гипоталамуса, 1979, вып. 13, с. 60—67.
- Гращенков Н. И. Гипоталамус, его роль в физиологии и патологии. М.: Наука, 1964. 368 с.
- Гуревич М. И., Фесенко Л. Д., Филиппов М. М. О надежности определения сердечного выброса методом тетраполярной грудной импедансной реографии. — Физиол. журн., 1978, 24, № 6, с. 849—851.
- Гуревич М. И., Берштейн С. А. Основы гемодинамики. Киев: Наук. думка, 1979. 228 с.
- Макарченко А. Ф., Динабург А. Д. Межуточный мозг и вегетативная первая система. Киев: Наук. думка, 1971. 323 с.
- Макарченко А. Ф., Динабург А. Д., Ляута А. Д. Роль нейрогормональных систем гипоталамуса в физиологии и патологии. Киев: Наук. думка, 1978. 217 с.
- Пушкарь Ю. Т. Определение сердечного выброса методом тетраполярной грудной реографии и его метрологические возможности. — Кардиология, 1977, № 7, с. 85—90.
- Хаюгин В. М. Развитие представления о функции кардио-аортальной и синокардиальных зон. — Физиол. журн. СССР, 1967, 53, № 11, с. 1469—1475.
- Хаюгин В. М., Едемский М. Е. Гипотеза об основной задаче нервной регуляции кровообращения — поддержании оптимальной линейной скорости течения крови в капиллярах. — Бюл. эксперим. биологии и медицины, 1967, 64, № 11, с. 43—46.
- Шик Л. Л. О регуляции величины сердечного выброса. — В кн.: Материалы «Физиология сердечного выброса». К., 1968, с. 79—80.
- Heymans C., Neil E. Reflexogenic areas of the cardio-vascular system. London: Churchill, 1958. 271 p.

Отдел физиологии ствола мозга  
Института физиологии им. А. А. Богомольца  
АН УССР, Киев

Поступила в редакцию  
29. XII 1980 г.

УДК 616.127—005.8

С. Г. Казьмин, А. А. Мойбенко

## ЭКСПЕРИМЕНТАЛЬНАЯ ТАМПОНАДА СЕРДЦА КАК МОДЕЛЬ ДЛЯ ИССЛЕДОВАНИЯ ВЗАИМОДЕЙСТВИЯ ОСНОВНЫХ МЕХАНИЗМОВ РЕГУЛЯЦИИ ДЕЯТЕЛЬНОСТИ СЕРДЦА

Тампонада сердца — патологическое состояние организма и, прежде всего, системы кровообращения, возникающее вследствие увеличения объема внутриверикардиального содержимого и связанного с ним повышения внутриверикардиального давления, наиболее существенным моментом которого является ограничение диастолического наполнения камер сердца. Тампонада уменьшает активность и резерв функционирования фундаментального механизма регуляции сердечной деятельности — механизма Франка — Старлинга, что приводит к компенсаторному усилиению воздействий симпата-адреналовой системы на сердце.

Современные методы оценки изменений сократимости миокарда [9] дают возможность использовать экспериментальную тампонаду сердца для изучения взаимодействия двух основных механизмов регуляции сократительной активности сердечной мышцы — изменения ее пресистолической длины и нейрогуморальных адренергических влияний — в условиях целостного организма. Несмотря на обилие литературы, посвященной выяснению различных сторон патогенеза тампонады сердца, такой аспект изучения тампонады не рассматривался.

Начало экспериментальному изучению тампонады сердца положили исследования Конгейма [19], Франсуа — Франка [30], Старлинга [49], в которых были получены основные сведения об изменении кровообращения при тампонаде сердца. В работе Гончарова [5] были заложены основы системного подхода к исследованию тампонады сердца как сложного явления, при котором изменяется функция не только сердца, но и других систем организма. К настоящему времени изучены многие аспекты тампонады сердца как патологического состояния всего организма — выяснены основные закономерности нейрорефлекторной компенсации гемодинамических нарушений при тампонаде [5, 12, 32, 33 и др.], связь нарастания внутриверикардиального давления с изменением кровообращения в различных отделах сосудистого русла [5, 14, 17, 22, 23, 24, 41], изменением показателей микроциркуляции, физико-химическими и биохимическими свойствами крови [40, 45], функцией почек [5, 45], изменением показателей внешнего дыхания и газообмена в организме [5, 15, 23], изменением функции надпочечников [3, 12] и т. д. В последние 20 лет основное внимание уделяли изучению нарушений кардиодинамики и энергетики миокарда при тампонаде сердца, в связи с чем исследовали изменения коронарного кровотока [20, 37, 43, 53], кислородного обеспечения сердечной мышцы и его адекватность энергетическим запросам миокарда [23, 36, 53], сократимости сердечной мышцы [31, 32, 53], действия адренореактивных веществ [16, 25, 29, 33], влияния нервной системы на сократительную активность миокарда и сбалансированность энергетических процессов в нем при тампонаде сердца [20, 32, 42].

Исходя из результатов экспериментальных и теоретических исследований, можно схематически представить механизмы развития и компенсации гемодинамических нарушений при тампонаде сердца следующим образом.

Основной патогенетический фактор тампонады — ограничение диастолического наполнения желудочков. Вероятные механизмы его возникновения: а) ограничение перикардиального пространства, необходимого для диастолического расширения желудочков [5, 36, 49] и связанное с ним уменьшение эффективного давления наполнения желудочков (разницы между конечно-диастолическими желудочковым и интраперикар-

диальным давлениями) [36]; вследствие сочетания тахика наполнения желудочков являет и фракции выброса, которая на уменьшение конечно-диаст

Дополнительный патогенетический фактор — коронарного кровотока. Его венарных сосудов вследствие уменьшения давления в полости кового давления, а также в ухудшения лимфотока [21] зии в результате падения а предсердия [16]; 3) усиление наружных артериол [20]. След а) уменьшение сократительна уменьшение фракции выброса карда и, следовательно, диаст к дополнительному уменьше

Третий патогенетический Ее возможные механизмы: 1) ишемия стволовых структур г

Основным гемодинамиче минутного объема крови, уху достаточности кровообращени его функциональное состояни неза тампонады сердца: умен аортального давления — умен сти миокарда — уменьшение м

Основа компенсации нара активности симпата-адреналог генеза, а именно: 1) повыша цию выброса за счет усиления ление вследствие увеличения скорость расслабления миокар чит и эффективное давление и лическое присасывание крови возврат к сердцу, поддержив ударный объем [4, 5, 33].

Возможные причины и ме мы на гемодинамику: 1) рефл жение пульсового и среднего а жима работы левого желудоч полых и легочных вен [39]; 4 карда [5, 11, 12]; 5) анемичес дении среднего аортального давительности артериолярных сфер в организме [45]. Задержка и зультате активации юкста-глос лического давления и влечет за увеличению объема циркулирующей сердца) вместе с гипопротеинемией причиной отечности тканей. Венозный и сдавливание сосудов отечности сосудистой системы кровью, как среднее системное давление кр

диальным давлениями) [36]; б) уменьшение скорости и степени расслабления миокарда вследствие сочетания тахикардии с ишемией миокарда [33]. Следствием ограничения наполнения желудочков является уменьшение пресистолической длины сердечной мышцы и фракции выброса, которая уменьшается в соответствии с законом Старлинга в ответ на уменьшение конечно-диастолического объема желудочков сердца.

Дополнительный патогенетический фактор тампонады сердца — уменьшение коронарного кровотока. Его возможные механизмы: 1) повышение сопротивления коронарных сосудов вследствие увеличения интрамурального давления, связанного с повышением давления в полости перикарда и диастолического внутривалостного желудочкового давления, а также вследствие ограничения расслабления сердечной мышцы и ухудшения лимфооттока [21]; 2) уменьшение градиента давления коронарной перфузии в результате падения артериального давления и увеличения давления в правом предсердии [16]; 3) усиление нейрогенных  $\alpha$ -адреноэргических влияний на тонус коронарных артериол [20]. Следствием уменьшения коронарного кровотока может быть: а) уменьшение сократительной активности миокарда и, следовательно, дальнейшее уменьшение фракции выброса; б) уменьшение скорости и степени расслабления миокарда и, следовательно, диастолической растяжимости стенки желудочка, что приводит к дополнительному уменьшению пресистолической длины сердечной мышцы.

Третий патогенетический фактор тампонады сердца — нейрогенная брадикардия. Ее возможные механизмы: 1) вагусный рефлекс с растянутого перикарда [5, 12, 32] ишемия стволовых структур головного мозга [5].

Основным гемодинамическим следствием тампонады сердца является уменьшение минутного объема крови, ухудшение кровоснабжения органов, развитие синдрома недостаточности кровообращения. Понижение перфузии миокарда еще больше ухудшает его функциональное состояние, что замыкает основной «патологический круг» патогенеза тампонады сердца: уменьшение минутного объема крови — уменьшение среднего аортального давления — уменьшение коронарного кровотока — уменьшение сократимости миокарда — уменьшение минутного объема крови.

Основа компенсации нарушений гемодинамики при тампонаде сердца — усиление активности симпато-адреналовой системы, которая воздействует на все звенья патогенеза, а именно: 1) повышает частоту сердечных сокращений; 2) увеличивает фракцию выброса за счет усиления сократимости миокарда; 3) повышает артериальное давление вследствие увеличения общего периферического сопротивления; 4) увеличивает скорость расслабления миокардиальных волокон [10]; 5) повышает тонус вен, а значит и эффективное давление наполнения желудочков; 6) стимулирует активное диастолическое присасывание крови сердцем [26, 28] и таким образом увеличивает венозный возврат к сердцу, поддерживает конечно-диастолическую длину волокон миокарда и ударный объем [4, 5, 33].

Возможные причины и механизмы увеличения влияния симпато-адреналовой системы на гемодинамику: 1) рефлекс с каротидного синуса и дуги аорты в ответ на снижение пульсового и среднего аортального давления [5]; 2) рефлекс на ослабление режима работы левого желудочка [7, 8]; 3) рефлекс на растяжение устьевых отделов полых и легочных вен [39]; 4) рефлекс на умеренное раздражение рецепторов перикарда [5, 11, 12]; 5) анемическое возбуждение стволовых ядер при значительном падении среднего аортального давления [5]; 6) адреналинemia [12]; 7) усиление чувствительности артериолярных спазмиков к катехоламинам вследствие задержки натрия в организме [45]. Задержка натрия возникает даже при легкой тампонаде [45] в результате активации юкста-гломеруллярного аппарата снижением пульсового и диастолического давления и влечет за собой задержку воды в организме. Это приводит к увеличению объема циркулирующей крови, а (при хроническом течении тампонады сердца) вместе с гипопротеинемией и нарушением проницаемости капилляров является причиной отечности тканей. Веноконстрикция, увеличение объема циркулирующей крови и сдавливание сосудов отечными тканями повышают степень заполнения сердечно-сосудистой системы кровью, количественной мерой которого служит так называемое среднее системное давление крови, т. е. давление, которое устанавливается в сосудах

после остановки сердца и перераспределения крови между артериями, капиллярами и венами с выравниванием давления во всех участках сердечно-сосудистой системы [4]. Теоретический анализ патофизиологии тампонады сердца, проведенный Гайтоном [4], показал, что повышение среднего системного давления наряду с увеличением сократимости и частоты сокращения миокарда является важнейшей компенсаторной реакцией организма на сдавливание сердца перикардиальным содержимым.

Необходимо отметить, что все механизмы компенсации тампонады сердца могут вызывать и эффекты, усугубляющие действие патогенетических факторов. Так, например, повышение венозного давления, увеличивая конечно-диастолический объем желудочков, увеличивает давление в перикарде, повышает желудочковое интрамуральное давление и давление в коронарном синусе, что затрудняет перфузию миокарда [20, 21]; поддержание высокого артериального давления в условиях ишемии миокарда приводит к падению ударного объема и ударной работы [25, 46]; тахикардия укорачивает диастолу и тем самым уменьшает наполнение желудочков и ухудшает восстановительные процессы в сердечной мышце, к тому же увеличивает потребность миокарда в кислороде и ухудшает условия коронарного кровотока [51]. Сама по себе частичная замена одного механизма регуляции ударного объема (механизма Франка — Старлинга) другим, энергетически менее выгодным, аварийным по своей природе симпато-адреналовым механизмом обостряет дефицит энергообеспечения миокарда при тампонаде сердца.

В то же время факторы, нарушающие кровообращение при тампонаде, могут вызывать положительные гемодинамические эффекты. Например, понижение артериального давления может облегчать работу желудочков, уменьшая фазу изометрического напряжения, и увеличивать скорость и объем выброса крови [27, 46]; недостаточное снабжение миокарда кислородом приводит к повышению концентрации метаболитов в периваскулярной зоне и уменьшению сопротивления коронарных сосудов; само уменьшение работы сердца понижает потребности его метаболизма в кислороде и тем самым смягчает эффект ограничения перфузии миокарда [30]; усиление влияний блуждающего нерва на сердце в поздних стадиях тампонады может оказывать защитное влияние на миокард, нормализуя его энергетический баланс [32, 33, 34].

Двойственность эффектов патогенетических и компенсаторных механизмов при тампонаде сердца усложняет и без того сложную для понимания картину изменений гемодинамики. Некоторую ясность в понимание природы изменений гемодинамики при тампонаде сердца может, видимо, внести количественное изучение динамических аспектов действия рассмотренных выше факторов нарушений кровообращения и их компенсации, если исходить из весьма вероятного предположения, что наблюдаемая в эксперименте динамика параметров кровообращения отражает процесс решения организмом задачи оптимального управления гемодинамикой при тампонаде сердца.

Динамика основных показателей кровообращения, определяемая ростом перикардиального давления, изображена на рис. 1. Сопоставление экспериментальных данных, представленных на этом рисунке, позволяет прежде всего констатировать наличие существенных различий как в величинах, так и в направленности изменения тех параметров, которые более других зависят от активности симпатической нервной системы: частоты сердечных сокращений, общего периферического сопротивления, артериального давления. Это, видимо, означает, что выраженность основного фактора компенсации — активности симпатической нервной системы — существенно зависит от условий эксперимента. Весьма показательны в этом плане крайние и противоположные положения кривых изменения частоты сокращений сердца у бодрствующих собак (рис. 1, 1) и у собак с открытой грудной клеткой (рис. 1, 12). Однако результаты измерения аортального давления в обсуждаемых опытах очень близки, и что особенно важно — демонстрируют поддержание нормального уровня артериального давления на значительном участке роста перикардиального давления.

Исходя из динамики артериального давления, большинство авторов выделяют две фазы в развитии тампонады сердца: фазу «компенсации», в пределах которой артериальное давление практически не зависит от изменения давления в полости перикарда, и фазу «декомпенсации», во время которой артериальное давление круто падает с

ростом перикардиального ния на графиках 5, 8, 9, 10 — точек исследования, сердечных сокращений присительно медленного смен

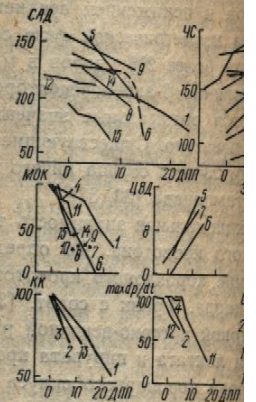


Рис. 1. Динамика основных показателей кровообращения при тампонаде сердца. По горизонтали: ДП — давление аортальное (мм рт. ст.), ЛВД — давление наполнения левого желудочка (мм рт. ст.), ЧС — частота сердечных сокращений (в/мин). 1 — [31], 2 — [20], 3 — [33], 4 — [34], 5 — [27], 6 — [46], 7 — [1], 8 — [12], 9 — [11], 10 — [10], 11 — [9], 12 — [13].

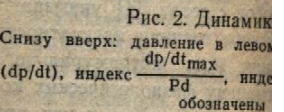


Рис. 2. Динамика основных показателей кровообращения при тампонаде сердца.

Снизу вверх: давление в левом желудочке (ЛВД), максимальная скорость нарастания давления ( $dp/dt_{max}$ ), индекс  $\frac{dp}{dt_{max}}$ , индекс  $P_d$ , индекс  $P_d$  обозначены

ных сокращений. Фазность желудочков и объема коронарных сосудов, опосредованному воздействию которых в некоторых случаях возможно поддаваться тампонаде сердца [18], сердечных сокращений минутного объема, физиологического раствора в 90 мл физиологического раствора.

Увеличение венозного давления, поскольку становится причиной интрамурального давления, ж

Функциональная значимость объема крови в условиях ограничения тампонады сердца, так как, не превышая оптимальные, приводит не к увеличению вследствие того, что укорочение сокращения за счет уменьшения конечно-диастолический объема возникает энергетический дисбаланс потребности сердечной мышцы и новательных процессов в сердце.

ртериями, капиллярами и веносудистой системы [4]. Освещенный Гайтоном [4], у с увеличением сократительной компенсаторной реакцией.

Тампонады сердца могут быть вызваны различными факторами. Так, например, стоматический объем желудочковое интрамуральное физиологическое давление миокарда [20, 21]; гемии миокарда приводят к аритмии, укорачивает диастолу и восстанавливает частоту сокращений миокарда в кислороде по себе. Частичная замена Франка — Старлинга (другие симптомо-адреналовыми) при тампонаде сердца.

При тампонаде, могут выявляться, понижение артериальной фазу изометрического [27, 46]; недостаточное центрирование метаболитов венных сосудов; само уменьшение в кислороде и тем самым влияние влияний блуждающие вызывать защитное влияние.

Вторых механизмов применения картины изменений гемодинамики при изучении динамических аспектов кровообращения и их компенсации наблюдалась в экспериментальном процессе решения организма сердца.

Делаемая ростом перикарда экспериментальных данных, констатировать наличие существенных изменений тех параметров нервной системы: частоты сокращений, артериального фактора компенсации — зависит от условий экспериментальных положений собак (рис. 1, 1) и результаты измерения аортального давления особенно важно — демонстрируют на значительном

Иногда авторов выделяют в пределах которой артериальное давление в полости перикарда падает с

ростом перикардиального давления. Отсутствие фазы поддержания аортального давления на графиках 5, 8, 9, 14 (рис. 1), очевидно, объясняется отсутствием «промежуточных точек» исследования. Наличие фаз можно также заметить в динамике частоты сердечных сокращений при тампонаде — с ростом давления в перикарде период относительно медленного сменяется периодом быстрого нарастания частоты сердеч-

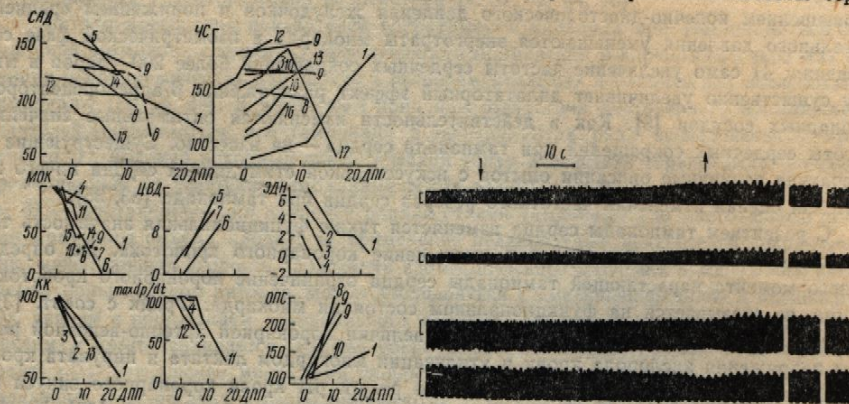


Рис. 1. Динамика основных показателей кровообращения при тампонаде сердца. По горизонтали: ДПП — давление в полости перикарда (мм рт. ст.). По вертикали: САД — среднее аортальное давление (мм рт. ст.), ЧС — частота сердечных сокращений (мин<sup>-1</sup>), МОК — минутный объем крови (%), ЦВД — центральное венозное давление (мм рт. ст.), ЭДН — эффективное давление наполнения левого желудочка (мм рт. ст.), КК — коронарный кровоток (%),  $dp/dt_{\max}$  — максимальная скорость нарастания давления в полости левого желудочка (%), ОПС — общее периферическое сопротивление сосудов (%). Соответствие графиков литературным источникам: 1 — [37], 2 — [31], 3 — [20], 4 — [33], 5 — [54], 6 — [41], 7 — [23], 8 — [35], 9 — [29], 10 — [50], 11 — [32], 12 — [42], 13 — [43], 14 — [25], 15 — [17].

Рис. 2. Динамика индексов сократимости при тампонаде сердца. Снизу вверх: давление в левом желудочке, первая производная давления в левом желудочке ( $dp/dt_{\max}$ ), индекс  $\frac{dp/dt_{\max}}{P_d}$ , индекс  $\frac{dp/dt_{\max}}{IP}$ . Справа — остановки записи на 3 мин. Стрелками обозначены начало и конец введения жидкости в перикард.

ных сокращений. Фазность обычно не прослеживается в динамике ударного объема желудочков и объема коронарного кровотока, т. е. параметров, подверженных непосредственному воздействию повышения перикардиального давления. Однако в некоторых случаях возможно поддержание и даже увеличение ударного объема при начальной тампонаде сердца [18]. В опытах Фридмана и соавт. [33] с фиксацией частоты сердечных сокращений минутный объем крови не изменялся после введения 30 мл физиологического раствора в перикард и был на 5 % меньше исходного после введения 90 мл физиологического раствора.

Увеличение венозного давления постепенно превращается в фактор патогенеза, поскольку становится причиной значительного роста интраперикардиального давления, интрамурального давления желудочков сердца и давления крови в коронарном синусе.

Функциональная значимость тахикардии как фактора поддержания минутного объема крови в условиях ограничения ударного объема тоже изменяется с развитием тампонады сердца, так как, начиная с некоторого момента, частота сокращений сердца превышает свои оптимальные величины. Дальнейший рост частоты сердечных сокращений приводит не к увеличению, а к уменьшению сердечного выброса. Это происходит вследствие того, что укорочение диастолы желудочков, вызванное тахикардией, осуществляется за счет уменьшения фазы быстрого наполнения, что заметно ограничивает конечно-диастолический объем желудочков. Кроме того, при чрезмерной тахикардии возникает энергетический дисбаланс миокарда вследствие значительного повышения потребности сердечной мышцы в кислороде, уменьшения времени диастолических восстановительных процессов в сердечной мышце. Тампонада сердца, ограничивая коронарный

кровоток, видимо, уменьшает оптимальную частоту сокращений миокарда. Однако имеется ряд факторов, препятствующих этому уменьшению: 1) непосредственное действие симпато-адреналовой системы на миокард увеличивает относительное время диастолы [2]; 2) при тампонаде наблюдается уменьшение относительного времени систолического выброса, даже если частота сердечных сокращений не повышается [26]; 3) в связи с повышением конечно-диастолического давления желудочков и понижением среднего аортального давления уменьшаются энерготраты миокарда в изометрической фазе сокращения; 4) само увеличение частоты сердечных сокращений более 200 ударов в минуту существенно увеличивает дилататорный эффект раздражения  $\beta$ -адренорецепторов коронарных сосудов [8]. Как в действительности изменяются оптимальные значения частоты сердечных сокращений при тампонаде сердца — не известно. Существующие в литературе единичные описания опытов с искусственной стимуляцией сердца ничего не дают для оценки изменений частотного резерва сердца при тампонаде [33, 35].

С развитием тампонады сердца изменяется также функциональная значимость такого патогенетического фактора как уменьшение коронарного кровотока. До определенного момента нарастающей тампонады сердца ограничение коронарного кровотока, видимо, не оказывается на функциональном состоянии миокарда. Франк с соавт. [31] продемонстрировал сохранение нормальных величин коронарной артерио-венозной разницы напряжения кислорода крови и утилизации миокардом лактата и пищевата крови при давлении в полости перикарда 5—10 мм рт. ст. pH крови коронарного синуса не изменяется при увеличении давления в полости перикарда до 6,5 мм рт. ст. [20]. Наиболее вероятное объяснение этих фактов состоит в том, что коронарный кровоток при тампонаде уменьшается пропорционально снижению потребности миокарда в кислороде [31]. Следует, однако, заметить, что и нормально работающее сердце не сразу заметно реагирует на постепенное уменьшение коронарного кровотока. Виатт с соавт. [55] показали, что уменьшение давления коронарной перфузии не ниже 55 мм рт. ст. и коронарного кровотока не ниже 25—55 мл/мин на 100 г массы миокарда не сопровождается значительным ухудшением функции сердца. Амосов с соавт. [1] указывают на 50 мм рт. ст. среднего аортального давления как нижнюю границу адекватности энергии сокращения миокарда уровню аортального давления. Рост интрамурального давления при тампонаде, вероятно, сдвигает эту нижнюю границу физиологических колебаний давления коронарной перфузии в сторону больших значений, так как при большем сопротивлении сдавленной коронарной сосудистой системы требуется большее давление перфузии для обеспечения того же кровотока. Этому сдвигу препятствуют развивающиеся в ответ на ишемию местные метаболические механизмы расширения сосудов. В опытах Дебресцени с соавт. [21] увеличение экстракардиального давления с 5 до 50 мм рт. ст. уменьшило проводимость коронарного русла на 80 %, однако через 60 с компрессии проводимость была вдвое, а через 5 мин — втрое больше, чем на 15 с. По мнению Кристал с соавт. [20], местная метаболическая дилатация коронарных артериол аннулирует эффект механического сдавления более крупных сосудов умеренно повышенным перикардиальным давлением (около 6 мм рт. ст.). Вехслер с соавт. [53], используя функциональные, гистологические и гистохимические тесты, показал, что вплоть до существенного падения артериального давления признаки ишемии миокарда отсутствуют. Отсюда можно заключить, что период поддержания нормального аортального давления совпадает по времени с периодом адекватной перфузии миокарда.

Функциональным признаком адекватности кровоснабжения миокарда при компенсированной тампонаде, по-видимому, может служить сохранение нормальных показателей сократимости сердечной мышцы, отмеченное рядом авторов [31, 33, 36]. Вместе с тем следует учитывать, что при тампонаде сердца сохранение нормальных показателей сократимости миокарда может быть обусловлено усилением влияний симпато-адреналовой системы на миокард, так как на фоне действия адреноблокаторов даже минимальная тампонада (30 мл физиологического раствора в полости перикарда) вызывает достоверное снижение максимума  $dp/dt$ , в то время как введение 90 мл физиологического раствора в перикард интактным собакам может не вызывать достоверного изменения максимума  $dp/dt$  [33].

Результаты исследований кратимости миокарда при тампонаде на исходном уровне [2] соответствуют представлениям о мах регуляции организмом ударогуморальных адренергических

To, что повышение показа принципе возможно, следует из рекции гемодинамических нарушений тампонады [16, 25, 29]. К вероятности сократимости при тампонаде относят: 1) высокий исходный сократимости (премедикации); 2) угнетение гемодинамики; 3) отсутствие изучения наивысшей минутного объема крови). Так, максимальная скорость нарастания большинством авторов, и [9], причем с понижением артериального давления максимум  $dp/dt$  усиливается. И соавт. [31] (отношение максимуму изведению максимального изоволюционного радиуса желудочка), зависит от этого индекса сократимости проще всего повлиять на результат этого индекса сократимости при максимальном левожелудочковом давлении  $dp/dt$  (20 мм рт. ст.).

В наших экспериментах на перикарда полимеризованного устройства «Индекс» показывает сократимости миокарда и приводит к активности миокарда регистрирован значительный и достоверно увеличенное давление в полости дифицированного индекса Зонне давления в полости желудочка (максимума) при аортальное давление достоверно не снижается в перикарде 0,8 кПа) и делается в среднем 80 % от исходного 1,2 кПа). Типичная динамика и опыта при моделировании умеренно выраженной тампонады

Поскольку существует только один фактор на ударную разницу объема и инотропные воздействия одного из них вызывает компенсаторную физическую нагрузку в сочетании с обычным увеличением конечно-диастолического объема, что исключает другой путь — возмож-

Казьмин, А. А. Мойбенко

миокарда. Однако импульсивное действие гемодинамических нарушений в экспериментальных и клинических исследованиях тампонады [26; 3] в связи с понижением среднего изометрической фазе со более 200 ударов в минуту  $\beta$ -адренорецепторов и оптимальные значения вестно. Существующие в лягушке сердца ничего не изменяют [33, 35].

Интернальная значимость тампонады кровотока. До определения коронарного кровотока, Франк с соавт. [31] нашел артерио-венозной разности пульса и пульсатии кровотока и коронарного синуса не более 55 мм рт. ст. [20]. Наиболее коронарный кровоток присти миокарда в кислородном сердце не сразу застопоряется. Виатт с соавт. [1] указывают на границу адекватности не ниже 55 мм рт. ст. Ассы миокарда не сопровождаются синусами миокарда [1] указывают на границу адекватности не ниже 55 мм рт. ст.

Рост интрамурального давления в полости миокарда в кислородных сосудах умеренно (т.). Вехслер с соавт. [53], проводя тесты, показал, что признаки ишемии миокарда при нормальном аортальном перфузии миокарда.

При компенсации миокарда при нормальных показателях [31, 33, 36]. Вместе с нормальными показателями влияния симпато-адреноблокаторов даже минимумы перикарда вызывает достоверное изменение 90 мл физиологического объема за счет увеличения

результаты исследований ряда авторов, указывающие на то, что показатели сократимости миокарда при тампонаде сердца не увеличиваются, а только лишь поддерживаются на исходном уровне [29, 33, 36], имеют принципиальное значение, так как не соответствуют представлениям о некоторой взаимозаменяемости двух основных механизмов регуляции организма — изменения преднагрузки и нейрогуморальных адренергических воздействий [4, 31, 32, 44, 48].

То, что повышение показателей сократимости миокарда при тампонаде сердца в принципе возможно, следует из эффективности применения  $\beta$ -адреномиметиков для коррекции гемодинамических нарушений в экспериментальных и клинических исследованиях тампонады [16, 25, 29]. К вероятным причинам отсутствия достоверного повышения показателей сократимости при тампонаде в экспериментах ряда исследователей можно отнести: 1) высокий исходный симпатический тонус вследствие торакотомии, отсутствие премедикации; 2) угнетение гемодинамических рефлексов вследствие применения наркоза; 3) отсутствие изучения наиболее ранних стадий тампонады (до достоверного снижения минутного объема крови); 4) применение неадекватных показателей сократимости. Так, максимальная скорость нарастания изометрического давления в желудочке, используемая большинством авторов, может уменьшаться с уменьшением пост- и преднагрузки [9], причем с понижением артериального давления влияние изменения постнагрузки на максимум  $dp/dt$  усиливается. Индекс сократимости миокарда, примененный Франком с соавт. [31] (отношение максимума скорости нарастания давления в желудочке к произведению максимального изоволюмического давления на  $2\pi r^2$ , где  $r$  — экваториальный радиус желудочка), зависит от изменения аортального давления [47], что могло существенно повлиять на результаты обсуждаемых экспериментов, так как измерения этого индекса сократимости проводились при довольно выраженной тампонаде сердца, когда максимальное левожелудочковое давление в среднем составляло 68 % от исходных значений. При умеренной тампонаде сердца Вехслеру с соавт. удалось зарегистрировать достоверное увеличение практически независимого от пред- и постнагрузки [53] индекса сократимости миокарда  $V_{ce_{20}}$  (скорость увеличения развиваемого внутриполостного желудочкового давления  $dp/dt$  регистрировалась в момент равенства этого давления 20 мм рт. ст.).

В наших экспериментах на собаках с предварительно имплантированным в полость перикарда полимерным катетером применение специализированного вычислительного устройства «Индекс» [13] для непрерывной автоматической регистрации индексов сократимости миокарда позволило проследить за изменениями показателей сократительной активности миокарда в динамике развития тампонады сердца. Был зарегистрирован значительный и достоверный рост индекса Верагута ( $\frac{dp/dt_{max}}{Pd}$ , где  $Pd$  — развивающее давление в полости желудочка, соответствующее максимуму  $dp/dt$ ) и модифицированного индекса Зонненблока ( $\frac{dp/dt_{max}}{IP}$ , где  $IP$  — интеграл развивающего давления в полости желудочка к моменту достижения производной внутрижелудочкового давления максимума) при развитии компенсированной тампонады (среднее аортальное давление достоверно не отличалось от исходного уровня при среднем давлении в перикарде 0,8 кПа) и декомпенсированной тампонады сердца (САД составляло в среднем 80 % от исходного уровня при среднем давлении в полости перикарда 1,2 кПа). Типичная динамика индексов сократимости миокарда, полученная в наших опытах при моделировании умеренной тампонады сердца, представлена на рис. 2.

Поскольку существует только два пути воздействия экстракардиальных регуляторных факторов на ударную работу сердца — изменение его конечно-диастолического объема и инотропные воздействия на миокард, можно предположить, что ограничение одного из них вызовет компенсаторное усиление активности другого. Действительно, физическая нагрузка в сочетании с  $\beta$ -адреноблокадой вызывает гораздо большее (чем обычно, увеличение конечно-диастолического объема желудочков для обеспечения необходимого минутного кровотока [2]. Экспериментальная тампонада сердца постепенно выключает другой путь — возможность увеличения ударного объема за счет увеличения

конечно-диастолического объема, т. е. возможность использования диастолического резерва сердца в нагрузочных ситуациях. Более того, тампонада уменьшает конечно-диастолический объем, существующий в покое, и таким образом обуславливает необходимость постоянной компенсации уменьшения ударного объема за счет использования систолического резерва сердца путем дополнительной инотропной стимуляции сердца.

Возможность некоторой взаимозаменяемости двух путей регуляции организмом ударного объема сердца основана на различии молекулярных механизмов действия катехоламинов и изменений исходной линии сердечной мышцы, состоящем, главным образом, в существовании физических эффектов изменения длины [2, 10, 38]. С другой стороны, механизмы активационных эффектов, вызванных увеличением длины мышцы и действием катехоламинов, при всем своем своеобразии имеют много общего [38], что предполагает их взаимозависимость. Поэтому в условиях целостного организма при изменении пресистолической длины сердечной мышцы возможно не только изменение активности воздействий симпато-адреналовой системы на миокард, но и изменение эффективности этих воздействий. Тампонада сердца позволяет изучать такого рода взаимоотношения двух основных механизмов регуляции ударной работы сердца в условиях целостного организма экспериментально.

Джевелл [38], анализируя динамику нормализованных кривых длины — изометрическое напряжение изолированных папиллярных мышц, приходит к выводу, что при малой длине мышцы инотропные воздействия более эффективны, чем при  $L_{max}$  судя по относительному приросту развиваемого напряжения. Необходимость анализа относительных параметров реактивности сердечной мышцы к инотропным воздействиям для изучения свойств изолированной мышцы очевидна. Однако не менее очевидна необходимость изучения абсолютных показателей реактивности сердца к инотропным воздействиям для оценки эффективности регуляторных влияний симпато-адреналовой системы на миокард в условиях целостного организма, так как нет никаких оснований полагать, что первная регуляция процессов в организме осуществляется не по абсолютным, а по относительным изменениям рецептируемых параметров.

Тампонада сердца уменьшает конечно-диастолическую емкость желудочков и, следовательно, может уменьшать абсолютные показатели эффективности инотропных воздействий, что, видимо, является основной причиной отсутствия ожидаемого повышения сократимости миокарда на ранних стадиях тампонады сердца. В поздних стадиях тампонады сердца эффективность симпато-адреналовой стимуляции сердца может понижаться вследствие ишемии. Следует при этом заметить, что нарастающая ишемия миокарда при тампонаде сердца, видимо, не оказывает существенного влияния на степень уменьшения абсолютных показателей реактивности миокарда к инотропным воздействиям, определяемого уменьшением исходной длины сердечной мышцы. Это следует из данных Вебера и Янишки [52], согласно которым с увеличением исходной длины сердечной мышцы на 7,2 % прирост максимума развиваемой желудочком силы в ответ на инотропную стимуляцию увеличился в 3,7 раза (с 200 до 750 г) и в 3 раза после ишемии миокарда (со 150 до 450 г), в то время как максимум развиваемой желудочком силы при одинаковой исходной длине сердечной мышцы (17 см) уменьшился после ишемии в 5 раз (с 600 до 130 г).

Изменение показателей реактивности миокарда к инотропным воздействиям при ограничении диастолического наполнения камер сердца в условиях целостного организма остается практически не изученным. В частности, не исследована динамика резерва увеличения сократимости сердечной мышцы при уменьшении ее пресистолической длины. Очевидно, величина этого функционального резерва и эффективность его использования во многом определяют возможность компенсации нарушений гемодинамики при тампонаде. Систематического изучения динамики функциональных резервов сердца и степени их реализации при ограничении диастолического наполнения камер сердца до сих пор не проводилось. В частности, не исследованы соотношения различных механизмов регуляции сердечной деятельности в условиях ограничения пресистолической длины сердечной мышцы при физических и гравитационных нагруз-

### Экспериментальная тампонада

ках, хотя именно в этих для повышения ударного объема

Экспериментальная тампонада

вопросов взаимодействия в условиях целостного организма

1. Амосов Н. М., Лищук Е. И. Наук. думка, 1969. 160 с.
2. Браунвальд Е., Росс Дж. М. и при недостаточности сердца. — М.: Медицина, 1969. 472 с.
3. Васильев Ж. Х., Волков А. А. Комендации. Чебоксары: Удмурт. изд-во, 1969.
4. Гайтон А. Физиология сердца. — М.: Медицина, 1969. 472 с.
5. Гончаров П. П. О тампонаде в военно-медицинской академии. — М.: Воениздат, 1969.
6. Казьмин С. Г. Кардиогенная тампонада сердца. — Киев: Наук. думка, 1979.
7. Мойбенко А. А. Роль рефлексов в регуляции сердечной мышцы. — Киев: Наук. думка, 1979.
8. Мойбенко А. А. Кардиогенная тампонада сердца. — Киев: Наук. думка, 1980.
9. Мойбенко А. А., Орлова Е. А. О тампонаде сердца. — Киев: Наук. думка, 1980.
10. Меерсон Ф. З., Брегер А. А. Изменение реактивности сердечной мышцы при тампонаде сердца. — М.: Медицина, 1972. 258 с.
11. Попов В. И. К физиологии тампонады сердца. — М.: Медицина, 1972.
12. Попов В. И. К физиологии тампонады сердца. — М.: Медицина, 1972.
13. Синьков М. В. Закидальская оценка показателей сократительной способности сердечной мышцы. — М.: Медицина, 1972.
14. Alexander J. K., Dennis E. Res., 1958, 6, N 2, p. 216—220.
15. Alpert N. R. Effect of acute tamponade on myocardial oxygen consumption in the dog. — Amer. J. Physiol., 1965, 208, 1, 103—107.
16. Binion J. T., Morgan W. I. Acute experimental cardiac tamponade. — J. Clin. Invest., 1966, 35, 1, 103—107.
17. Carey J. S., Yao S. T., Kho C. H. Cardiac compression by balloon. — J. Theor. Cardiov. Surg., 1968, 1, 103—107.
18. Coleman B., Worthen M. Circular compliance of the heart. — J. Biomed. Mater. Res., 1970, 4, 103—107.
19. Cohnheim J. F. [цит. по 5].
20. Crystal G. J., Bashour F. A. Oxygen consumption during tamponade. — Prog. Soc. Exp. Biol., 1970, 21, 103—107.
21. Debrezeni L. A. Effect of tamponade on coronary blood flow. — J. Biomed. Mater. Res., 1978, 12, 103—107.
22. De Cristofaro D., Liu C. K. Hemodynamic changes in dogs during tamponade. — J. Biomed. Mater. Res., 1978, 12, 103—107.
23. Dellenback R. J., Chien S. J. Hemodynamic changes in dogs during tamponade. — Proc. Soc. Exp. Biol. Med., 1978, 157, 103—107.
24. Evans J. M., Washington D. C. Hemodynamic changes in dogs during tamponade. — J. Biomed. Mater. Res., 1978, 12, 103—107.
25. Finegan R. E. Action of pharyngeal pressure on the heart. — Amer. Heart J., 1971, 81, N 2, 103—107.
26. Fowler N. O., Shabetai R. B. Hemodynamic changes in dogs during tamponade. — J. Biomed. Mater. Res., 1978, 12, 103—107.
27. Fowler N. O. Physiology of tamponade. — J. Biomed. Mater. Res., 1978, 12, 103—107.

ользования диастолической тампонады уменьшает конечно-изометрическим образом обуславливает небольшое увеличение объема за счет использования интропной стимуляции.

Учет регуляции организмом различных механизмов действия мышцы, состоящем, главным образом, в увеличении длины [2, 10, 38]. С другими же образом имеют много общего в условиях целостного организма мышцы возможно не только системы на миокард, но и сердца позволяет изучать регуляции ударной работы

к кривых длина — изометрическая — приходит к выводу, что при активности, чем при  $L_{max}$  судя о необходимости анализа отклика интропным воздействиям. Однако не менее очевидна активность сердца к интропным линий симпато-адреналовой, как нет никаких оснований осуществляется не по абсолютным параметрам.

Емкость желудочков и, эффективности интропных действий ожидаемого повышения сердца. В поздних стадиях стимуляции сердца можно заметить, что нарастающая активность миокарда к иной длине сердечной мышцы, в которой с увеличением коэффициента развиваемой силы достигается в 3,7 раза (с 200 до 0 до 450 г), в то же время однаковой исходной длине раз (с 600 до 130 г). Интропным воздействиям при условиях целостного организма исследована динамика изменения ее пресистолического резерва и эффективность компенсации нарушений гемодинамики функциональных рециклирования диастолического наполнения и исследованы соотношения в условиях ограничения и гравитационных нагрузок.

ках, хотя именно в этих ситуациях использование механизма Франка — Старлинга для повышения ударного объема сердца проявляется наиболее отчетливо [4, 48].

Экспериментальная тампонада сердца дает возможность изучать эти и ряд других вопросов взаимодействия основных механизмов регуляции сердечной деятельности в условиях целостного организма.

### Список литературы

- Амогов Н. М., Лищук В. А., Пацкина С. А. и др. Саморегуляция сердца. Киев: Наук. думка, 1969. 160 с.
- Браунвальд Е., Росс Дж., Зонненблек Е. Х. Механизмы сокращения сердца в норме и при недостаточности. М.: Медицина, 1974. 270 с.
- Васильев Ж. Х., Волков В. Е., Васильев Р. Х. Тампонада сердца. Методические рекомендации. Чебоксары: Тип. Чуваш. ун-та им. И. Н. Ульянова, 1979. 36 с.
- Гайтон А. Физиология кровообращения. Минутный объем сердца и его регуляция. М.: Медицина, 1969. 472 с.
- Гончаров П. П. О тамподе сердца (экспериментальное исследование). Л.: Издание военно-медицинской академии РККА им. С. М. Кирова, 1936. 100 с.
- Казьмин С. Г. Кардиогемодинамика и сократительная активность миокарда при тампонаде сердца. — Физiol. журн., 1981, 27, № 2, с. 260—261.
- Мойбенко А. А. Роль рецепторных зон сердца в регуляции кровообращения: Автoref. дис. ... д-ра мед. наук. Киев, 1973. 74 с.
- Мойбенко А. А. Кардиогенные рефлексы и их роль в регуляции кровообращения. Киев: Наук. думка, 1979. 263 с.
- Мойбенко А. А., Орлова Н. Н. Индексы сократимости. — Физiol. журн., 1978, 24, № 6, с. 839—848.
- Меерсон Ф. З., Брегер А. М. Сопряжение возбуждения с сокращением и расслаблением сердечной мышцы. — Ижевск: Изд-во Удмурт. ун-та, 1976. 90 с.
- Кулаев Б. С. Рефлексогенная зона сердца и саморегуляция кровообращения. Л.: Наука, 1972. 258 с.
- Попов В. И. К физиологическому механизму нарушения функций кровообращения при тампонаде сердца. — Тр. Свердл. мед. ин-та и научн.-исслед. ин-тов Свердл. облздрава, 1941, т. 15, с. 193—273.
- Синьков М. В., Закидальский А. И., Мойбенко А. А. и др. Автоматизированная оценка показателей сократимости миокарда в эксперименте и клинике с помощью специализированного вычислительного устройства «Индекс». — Бюл. ВКНЦ / Всесоюз. кардиол. науч. центр АМН СССР, 1978, № 2, с. 111—115.
- Alexander J. K., Dennis E. W. Hemodynamic studies in cardiac tamponade. — Clinic. Res., 1958, 6, N 2, p. 216—217.
- Alpert N. R. Effect of acute cardiac tamponade upon respiratory metabolism of the dog. — Amer. J. Physiol., 1952, 168, N 3, p. 565—574.
- Binion J. T., Morgan W. J., Welch G. H. et al. Effect of sympatho-mimetic drugs in acute experimental cardiac tamponade. — Circulat. Res., 1956, 4, N 11, p. 705—709.
- Carey J. S., Yao S. T., Kho L. K. et al. Cardiovascular responses to acute hemopericardium compression by balloon tamponade, and acute coronary artery occlusion. — J. Theor. Cardiov. Surg., 1967, 54, N 1, p. 65—80.
- Coleman B., Worthen M. C., McCanon D. M. et al. Sympathetic influence on ventricular compliance. — Jap. Heart J., 1976, 17, N 2, p. 222—232.
- Cohnheim J. F. [цит. по 5].
- Crystal G. J., Bashour F. A., Downey H. F., Parker P. E. Myocardial blood flow and oxygen consumption during moderate cardiac tamponade: role of reflex vasoconstriction. — Prog. Soc. Exp. Biol. and Med., 1979, 160, N 1, p. 65—68.
- Debrezeni L. A. Effect of experimental compression on the postocclusion hyperemic response of the coronary arteries in the isolated fibrillating dog heart. — Acta physiol. Acad. sci. hung., 1978, 52, N 1, p. 1—10.
- De Cristofaro D., Liu C. K. The hemodynamics of cardiac tamponade and blood volume overload in dogs. — Cardiov. Res., 1969, 3, N 3, p. 292—298.
- Dellenback R. J., Chien S., Usami S. et al. Hemodynamic effects of pericardial tamponade. — Proc. Soc. Exp. Biol. and Med., 1966, 123, N 2, p. 623—627.
- Evans J. M., Washington D. C., Walter C. W., Hellums H. K. Alterations in the circulation during cardiac tamponade due to pericardial effusion. — Amer. Heart J., 1950, 39, N 2, p. 181—187.
- Finegan R. E. Action of pharmacologic agents in experimental cardiac tamponade. — Amer. Heart J., 1971, 81, N 2, p. 220—226.
- Fowler N. O., Shabetai R., Braunstein J. R. Transmural ventricular pressures in experimental cardiac tamponade. — Circulat. Res., 1959, 7, N 9, p. 733—739.
- Fowler N. O. Physiology of cardiac tamponade and pulsus paradoxus. II. Physiolo-

- gical, circulatory and pharmacological responses in cardiac tamponade.—Mod. Conc. Cardiov. Dis., 1978, 47, N 12, p. 115—118.
28. Fowler N. O. Ventricular filling by diastolic suction.—Amer. Heart J., 1960, 59, N 6, p. 934—936.
  29. Fowler N. O., Holmes J. S. Hemodynamic effects of isoproterenol and norepinephrine in acute cardiac tamponade.—J. Clin. Juvest., 1969, 48, N 3, p. 502—507.
  30. Francois-Francq. F. [цит. по 5].
  31. Frank J. M., Nadimi M., Lesmok L. J. et al. Effects of cardiac tamponade on myocardial performance, blood flow, and metabolism.—Amer. J. Physiol., 1971, 220, N 1, p. 179—185.
  32. Friedman H. S., Lajam F., Gomes J. A. et al. Demonstration of a depressor reflex in acute cardiac tamponade.—J. Thor. Cardiov. Surg., 1977, 73, N 2, p. 278—286.
  33. Friedman H. S., Lajam F., Zaman Q. et al. Effect of autonomic blockade on the hemodynamic findings in acute cardiac tamponade.—Amer. J. Physiol., 1977, 232, N 1, p. H5—H11.
  34. Friedman H. S., Sacurai H., Choe S. S. et al. Changes in coronary blood flow and myocardial energetics in experimental acute cardiac tamponade: role of vagus nerve.—Bull. NY Acad. Med., 1978, 54, N 2, p. 314.
  35. Graig R. J., Whalen R. E., Behar V. S., McIntosh M. D. Pressure and volume changes of the left ventricle in acute pericardial tamponade.—Amer. J. Cardiol., 1968, 22, N 1, p. 65—74.
  36. Isaacs J. P., Berglung E., Sarnoff S. J. Ventricular function. III. The pathologic physiology of acute cardiac tamponade.—Amer. Heart J., 1954, 48, N 1, p. 66—76.
  37. Jarmakani J. M. M., McHall P. A., Greenfield J. C. The effect of cardiac tamponade on coronary haemodynamics in the awake dog.—Cardiov. Res., 1975, 9, N 6, p. 112.
  38. Jewell B. R. A reexamination of the influence of muscle length on myocardial performance.—Circulat. Res., 1977, 40, N 3, p. 221—230.
  39. Linden B. J. Function of cardiac receptors.—Circulation, 1973, 48, N 3, p. 278—286.
  40. Mandin H., Davidman M. Renal function in dogs with acute cardiac tamponade.—Amer. J. Physiol., 1978, 3, N 2, p. F117—F122.
  41. Martin J. M., Schenk W. G. Pericardial tamponade. Newer dynamic concepts.—Amer. J. Surg., 1960, 99, N 5, p. 782—787.
  42. Nakano J., McCuroy J. R., Darrow B. A. Effect of acute cardiac tamponade on the cardiovascular dynamics.—Cardiology, 1968, 53, N 4, p. 249—252.
  43. O'Rourke R. A., Fischer D. P., Escolar E. E. et al. Effect of acute pericardial tamponade on coronary blood flow.—Amer. J. Physiol., 1967, 212, N 3, p. 549—552.
  44. Pegram B. L., Kardon M. B., Bishop V. S. Changes in left ventricular internal diameter with increasing pericardial pressure.—Cardiov. Res., 1975, 9, N 6, p. 707—714.
  45. Post R. S. Decrease of cardiac output by acute pericardial effusion and effect on renal hemodynamics and electrolyte excretion.—Amer. J. Physiol., 1951, 165, N 2, p. 278—284.
  46. Ross J. Afterload mismatch and preload reserve: a conceptual framework for the analysis of ventricular function.—Prog. Cardiov. Dis., 1976, 28, N 4, p. 255—264.
  47. Ross J., Sobel B. E. Regulation of cardiac contraction.—Ann. Rev. Physiol., 1972, 34, N 1, p. 47—97.
  48. Rushmer R. F. Cardiovascular dynamics. Philadelphia; London: W. B. Saunders company, 1961. 503 p.
  49. Starling E. H. Some points in the pathology of heart disease. Lancet., 1897, 1, N 10, p. 652—655.
  50. Treister B., Gianelly R. E., Cohn K. E., Harrison D. S. The circulatory effects of isoproterenol, acetylstrophantidin and volume loading in acute pericardial tamponade.—Cardiov. Res., 1969, 3, N 3, p. 299—305.
  51. Vatner S. F., Braunwald E. Cardiac frequency: control and adjustments to alterations.—Prig. Cardiov. Dis., 1972, 14, N 5, p. 431—445.
  52. Weber K. T., Janicki J. S. Interdependence of cardiac function, coronary flow, and oxygen extraction.—Amer. J. Physiol., 1978, 235, N 6, p. H784—H793.
  53. Wechsler A. S., Anerbach B. J., Graham T. C. et al. Distribution of intramyocardial blood flow during pericardial tamponade.—J. Thor. Cardiov. Surg., 1974, 68, N 6, p. 847—856.
  54. Wertheimer M., Bloom S., Hughes R. K. Myocardial effects of pericardial tamponade.—Ann. Thor. Surg., 1972, 14, N 5, p. 494—503.
  55. Wyatt H. L., Forrester J. S., Tyberg J. V. et al. Effect of graded reduction on regional and coronary perfusion of regional and total cardiac tamponade.—Amer. J. Cardiol., 1975, 36, N 3, p. 185—192.

Отдел экспериментальной кардиологии  
Института физиологии им. А. А. Богомольца  
АН УССР, Киев

Поступила в редакцию  
16.II 1981 г.

УДК 612.810

М. И. Гуре

## О ВЛИЯНИИ КЛЕ

Действие инсулина оный и жировой обмен, сти белка, транспорта веществ эргических соединений и в крови постоянно циркулиру действовать на гладкомышли заболевание сахарным диабетом в крови, сопровождае [3, 5, 6].

Мы изучали влияние

Исследования проводили 1—1,5 мм бедренной артерии мальшим раствором Кребса рата регистрировались в изватель 6МХ1С и самопишущий общалось предварительное дились на фоне установив взвешивали. Для учета индидеты проводились на 1 мг ве

Исследовали реакции 2 мин. Как видно из рис. бедренной артерии на инсулин воздействие инсулином вынуждается некоторое время возвращения гладкомышечных для развития расслабления в концентрации 600 мкг/мл в

На рис. 2 дана сравнение вызываемого инсулином в концентрации 600 мкг/мл в действие инсулином в более слабление препарата.

В следующей серии опыта при температуре 38° препаратор снижался, а затем мышечных клеток бедренной и при температуре 36°C, о воздействие инсулина в концентрации 600 мкг/мл в среде слабление препарата в среде вызванное то

## КРАТКИЕ СООБЩЕНИЯ

Г. Казьмин, А. А. Мойбенко

cardiac tamponade.—Mod. Conc. Amer. Heart J., 1960, 59, N 6, proterenol and norepinephrine 3, p. 502—507.

cardiac tamponade on myocardial. J. Physiol., 1971, 220, N 1, ration of a depressor reflex 1977, 73, N 2, p. 278—286.

tomic blockade on the hemodynamics. J. Physiol., 1977, 232, N 1, s in coronary blood flow and tamponade: role of vagus nerve. D. Pressure and volume changes.—Amer. J. Cardiol., 1968, 22, cation. III. The pathologic physiology 1954, 48, N 1, p. 66—76.

effect of cardiac tamponade on Res., 1975, 9, N 6, p. 112. ple length on myocardial per-

on, 1973, 48, N 3, p. 278—286. th acute cardiac tamponade.—

wer dynamic concepts.—Amer. acute cardiac tamponade on the 249—252.

ect of acute pericardial tamponade, 212, N 3, p. 549—552.

in left ventricular internal dia-Res., 1975, 9, N 6, p. 707—714.

rdial effusion and effect on re- J. Physiol., 1951, 165, N 2,

conceptual framework for the 1976, 28, N 4, p. 255—264.

on.—Ann. Rev. Physiol., 1972,

London: W. B. Saunders com- disease. Lancet., 1897, 1, N 10,

S. The circulatory effects of g in acute pericardial tampona- control and adjustments to altera- ac function, coronary flow, and p. H784—H793.

Distribution of intramyocardial Cardiov. Surg., 1974, 68, N 6,

effects of pericardial tamponade of graded reduction on regio- cardiac tamponade.—Amer. J.

УДК 612.810

М. И. Гуревич, И. Р. Евдокимов, И. В. Фролькин

### О ВЛИЯНИИ ИНСУЛИНА НА ГЛАДКОМЫШЕЧНЫЕ КЛЕТКИ БЕДРЕННОЙ АРТЕРИИ

Действие инсулина очень многообразно и включает в себя влияние на углеводный и жировой обмен, стимуляцию синтеза нуклеиновых кислот, активацию биосинтеза белка, транспорта веществ через мембранные клетки, способствует образованию макроэргических соединений и поддержанию энергетического баланса клетки [7, 8]. В крови постоянно циркулирует определенное количество инсулина, который может воздействовать на гладкомышечные клетки сосудов. С другой стороны, известно, что заболевание сахарным диабетом, характеризующееся пониженным содержанием инсулина в крови, сопровождается нарушениями деятельности сердечно-сосудистой системы [3, 5, 6].

Мы изучали влияние инсулина на гладкие мышцы бедренной артерии крыс.

#### Методика исследований

Исследования проводились на изолированных кольцевых препаратах шириной 1—1,5 мм бедренной артерии зрелых (6—8 мес) крыс. Препарат перфузировался нормальным раствором Кребса температурой 36 и 38 °C. Сократительные реакции препарата регистрировались в изометрических условиях с помощью электронного преобразователя 6МХ1С и самопишущего электронного потенциометра КСП-4. Препарату сообщалось предварительное натяжение  $8 \cdot 10^{-3}$ — $1 \cdot 10^{-2}$  Н. Воздействия инсулином проводились на фоне установившегося тонуса препарата. После эксперимента препарат взвешивали. Для учета индивидуальных колебаний толщины сосудистой стенки все расчеты проводились на 1 мг веса исследуемой ткани.

#### Результаты исследований

Исследовали реакции на инсулин в концентрациях 400 и 600 ме./мл в течение 2 мин. Как видно из рис. 1, на котором приведены типичные реакции гладких мышц бедренной артерии на инсулин в изучаемых концентрациях (при температуре 36 °C), воздействие инсулином вызывает выраженное расслабление препарата, которое продолжается некоторое время и после прекращения перфузии раствором с инсулином. Для возвращения гладкомышечных клеток в исходное состояние требуется больше времени, чем для развития расслабления под действием этого гормона. Воздействие инсулина в концентрации 600 ме./мл вызывает более выраженную реакцию.

На рис. 2 дана сравнительная характеристика средних величин расслабления, вызываемого инсулином в концентрациях 400 и 600 ме./мл при температуре 36 °C. Воздействие инсулином в более высокой концентрации вызывало достоверно большее расслабление препарата.

В следующей серии опытов исследовали влияние инсулина в тех же концентрациях при температуре 38 °C. Обычно при повышении температуры перфузата тонус препарата снижался, а затем устанавливался на постоянном уровне. Реакции гладкомышечных клеток бедренной артерии в этих условиях имели тот же характер, что и при температуре 36 °C, однако были более выраженным. Как видно из рис. 3 воздействие инсулина в концентрации 400 ме./мл при температуре 38 °C вызывало расслабление препарата в среднем на  $3,7 \cdot 10^{-3} \pm 1,4 \cdot 10^{-3}$  Н, что достоверно больше, чем расслабление, вызванное той же концентрацией инсулина при температуре 36 °C. Воз-

действие инсулина в концентрации 600 мкг./мл при температуре 38 °С также вызывало более значительное расслабление ( $5,6 \cdot 10^{-3} \pm 1,5 \cdot 10^{-3}$  Н;  $p < 0,05$ ), по сравнению с исследованиями при температуре 36 °С.

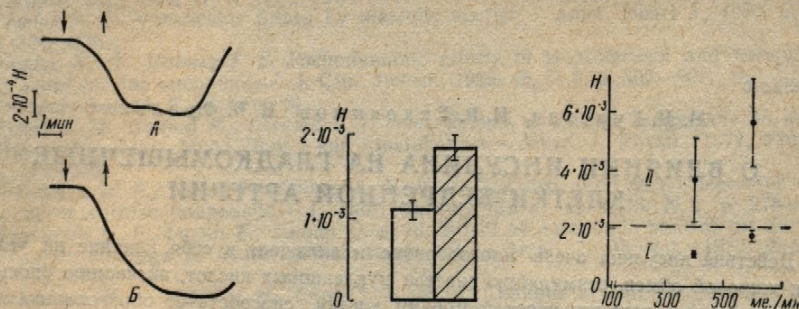


Рис. 1. Реакции гладкомышечных клеток бедренной артерии на воздействие инсулина в концентрации 400 мкг./мл. (А) и 600 мкг./мл. (Б).

Стрелками указаны начало и конец воздействия.

Рис. 2. Расслабление гладких мышц бедренной артерии (на 1 мг веса препарата) под влиянием инсулина в концентрации 400 мкг./мл (белый столбик) и 600 мкг./мл (заштрихованный столбик).

Рис. 3. Влияние температуры на реакции гладких мышц бедренной артерии на инсулин. I — 36 °С; II — 38 °С. По вертикали — величина расслабления препаратов (на 1 мг веса препарата), по горизонтали — концентрация инсулина.

Следует отметить, что при повышении температуры перфузата зависимость степени расслабления от концентрации инсулина становится менее выраженной. Это, возможно, связано с тем, что само повышение температуры вызывает определенное расслабление препарата. Наблюдаемый больший разброс величин расслабления в этих условиях может быть обусловлен рядом факторов, в том числе и конформационными изменениями рецепторов инсулина, вызванными более высокой температурой перфузата.

### Обсуждение результатов исследований

Проведенные исследования показали, что инсулин оказывает выраженное влияние на гладкомышечные клетки бедренной артерии, приводя к их расслаблению. Степень расслабления возрастает с увеличением концентрации инсулина и с повышением температуры перфузата. Для объяснения возможных причин такого эффекта инсулина следует обсудить некоторые стороны механизма его действия. Прямые и косвенные данные свидетельствуют о том, что первой стадией действия инсулина на клетку, также, как и других полипептидных гормонов, является связывание гормона со специфическим рецептором клеточной плазматической мембранны [3, 6]. В результате взаимодействия гормона с рецептором стимулируются такие мембранные процессы, как активный перенос глюкозы и некоторых аминокислот внутрь клетки и такие внутриклеточные метаболические процессы, как синтез нуклеотидов, биосинтез белка, нормальный ход окислительного фосфорилирования, поддержание энергетического баланса клетки [1, 7, 8].

Можно предположить несколько возможных причин расслабления гладкомышечных клеток бедренной артерии под влиянием инсулина. Инсулин стимулирует образование гликогена в клетках и тормозит процесс его распада [2, 11]. В этих условиях использование клеткой глюкозы может быть временно затруднено, что и вызовет расслабление гладкомышечных клеток.

Под влиянием инсулина содержание кальция в некоторых тканях уменьшается [12], что также может играть роль в развитии описанного расслабления.

Привлекает внимание то обстоятельство, что под действием инсулина в жировой

и мышечной ткани развивается повышение внутриклеточной концентрации биосинтеза белка [1], а усиление метаболизма [9]. По данным Фролькиса [1] для бедренной артерии под действием инсулина развивается расслабление.

Более выраженные реакции на инсулин наблюдаются в условиях повышения температуры тела. Установлено, что в условиях повышения температуры тела о тесной связи между развитием гладких мышц с метаболизмом.

Известно, что в условиях повышения температуры тела инсулин в крови, часто наблюдаются гипогликемии [3, 5]. Возможно, это в какой-то мере связано с блокированием действия инсулина.

Сп

- Германюк Я. П. Роль инсулина в регуляции метаболизма. Киев: Наук. думка, 1970.
- Гордиенко О. Е. Влияние инсулина на киназы и ферментативные процессы в клетках. Кандидатская диссертация. Краснодарский государственный университет, 1974.
- Гроллман А. Клиническая гормонология. М.: Медицина, 1969. 510 с.
- Джейкобс С., Куатракасас А. Инсулин и его рецепторы. М., 1979.
- Мажораков Г. Болезни поджелудочной железы. М., 1962. 186 с.
- Поповичи Д., Сэхляну В. Г. Инсулин и гормональная регуляция. М., 1969. 391 с.
- Старосельцева Л. Г. Гормоны и гормональная регуляция. М., 1974.
- Степанова Н. А. Роль гормонов в регуляции обмена веществ. — В кн.: Физиология человека. Т. 1. М., 1970.
- Фролькис В. В. Образование белка в клетках печени. Кандидатская диссертация. М., 1970.
- Jarett L. Pathophysiology of diabetes mellitus. — Amer. J. Med., 1962, 31—311.
- Lerner J. Insulin and glycogen metabolism. — Dan. Med. Bull., 1974, 21, N 1.
- Mellerup E. Lithium and insulin. — Dan. Med. Bull., 1974, 21, N 1.
- Zeirler R. Effect of insulin on glucose uptake in absence of glucose. — Amer. J. Physiol., 1974, 226, 1033—1037.

Отдел физиологии кровообразования  
Института физиологии им. А. А.  
АН УССР, Киев

УДК 612.172.2:612.273.2—092.9

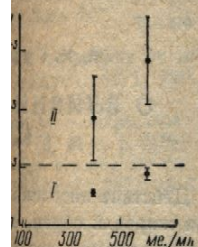
Е. А. Гуревич

### ОСОБЕННОСТИ РЕГУЛЯЦИИ У КРЫС С РАЗЛИЧНЫМИ ФИЗИОЛОГИЧЕСКИМИ ПРОПРИЕТИЯМИ

В литературе описаны различные особенности регуляции у крыс с различными генетическими гипоплазиями [5, 6, 9, 10, 11].

Мы изучали нейрогуморальную регуляцию у крыс с различными генетическими гипоплазиями [5, 6, 9, 10, 11].

е 38°C также вызывало  
), по сравнению с иссле-



на воздействие инсулина  
(Б).

мг веса препарата) под  
и 600 ме./мл (заштри-

ной артерии на инсулин.  
(на 1 мг веса препарата),

зата зависимость степе-  
выраженной. Это, воз-  
вает определенное рас-  
расслабления в этих ус-  
е и конформационными  
кой температурой пер-

ний

ает выраженное влияние  
расслаблению. Степень  
а и с повышением тем-  
кого эффекта инсулина  
т. Прямые и косвенные  
инсулина на клетку, так  
е гормона со специфиче-  
]. В результате взаимо-  
ные процессы, как ак-  
етки и такие внутрикле-  
осинтез белка, нормаль-  
нергетического баланса

лабления гладкомышеч-  
ин стимулирует образо-  
2, 11]. В этих условиях  
удено, что и вызывает  
их тканях уменьшается  
расслабления.  
ем инсулина в жировой

и мышечной ткани развивается гиперполяризация клеточных мембран [13] вследствие повышения внутриклеточной концентрации калия. Инсулин значительно стимулирует биосинтез белка [1], а усиление биосинтеза белка ведет к гиперполяризации клеточной мембранны [9]. По данным наших исследований, в гладкомышечных клетках бедренной артерии под действием инсулина развивается гиперполяризация.

Более выраженные реакции гладкомышечных клеток бедренной артерии на инсулин в условиях повышения температуры могут быть определенным подтверждением предположения о тесной связи развивающегося под действием этого гормона расслабления гладких мышц с метаболизмом клеток.

Известно, что в условиях целостного организма, при пониженном содержании инсулина в крови, часто наблюдаются спастические реакции сосудов почек, конечностей [3, 5]. Возможно, это в какой-то степени связано со снижением отмеченного нами расслабляющего эффекта инсулина на гладкомышечные клетки сосудов.

### Список литературы

- Германюк Я. П. Роль инсулина в биосинтезе нуклеотидов, нуклеиновых кислот и белков. Киев : Наук. думка, 1973, 138 с.
- Горденко О. Е. Влияние многократных инъекций инсулина на активность гексокиназы и пируваткиназы в различных тканях белых крыс.—Изв. Сиб. отд. АН СССР. Сер. биол. наук, 1974, 5, вып. 1, с. 126—129.
- Гроллман А. Клиническая эндокринология и ее физиологические основы. М.: Медицина, 1969. 510 с.
- Джейкобс С., Куатраказас П. Рецептор инсулина.—В кн.: Взаимодействие гормонов с рецепторами. М., 1979, с. 40—53.
- Маждраков Г. Болезни поджелудочной железы. София: Медицина и физкультура, 1962. 186 с.
- Поповичи Д., Сэхляну В. Гормоны и сердечно-сосудистая система. М.: Медицина, 1969. 391 с.
- Старосельцева Л. Г. Гормоны поджелудочной железы.—В кн.: Биохимия гормонов и гормональная регуляция. М., 1976, с. 93—128.
- Степанова И. А. Роль гормонов островкового аппарата в регуляции обмена веществ.—В кн.: Физиология эндокринной системы. Л., 1979, с. 217—251.
- Фролькис В. В. Об образовании гиперполяризующего фактора при активации биосинтеза белка в клетках печени.—Физиол. журн., 1980, 26, № 4, с. 558—560.
- Jarett L. Pathophysiology of the insulin receptor.—Hum. Pathol., 1979, 10, N 3, p. 301—311.
- Larner J. Insulin and glycogene synthetase.—Diabetes, 1972, 21, N 3, p. 428—438.
- Mellerup E. Lithium and insulin effect on carbohydrate and electrolyte metabolism.—Dan. Med. Bull., 1974, 21, N 1, p. 88—92.
- Zeirler R. Effect of insulin on potassium efflux from rat muscle in the presence and absence of glucose.—Amer. J. Physiol., 1960, 198, N 4, p. 1066—1070.

Отдел физиологии кровообращения  
Института физиологии им. А. А. Богомольца  
АН УССР, Киев

Поступила в редакцию  
16. X 1980 г.

УДК 612.172.2:612.273.2—092.9

Е. А. Маркова, С. Н. Вадзюк

### ОСОБЕННОСТИ РЕГУЛЯЦИИ СЕРДЕЧНОГО РИТМА У КРЫС С РАЗЛИЧНОЙ УСТОЙЧИВОСТЬЮ К ГИПОКСИИ

В литературе описаны различия метаболизма в тканях высоко- и низкоустойчивых к гипоксии животных [5, 6, 9, 11, 12]. Однако особенности нейрогуморальной регуляции функций в организме таких животных изучены еще недостаточно.

Мы изучали нейрогуморальную регуляцию сердечного ритма у животных с различной устойчивостью к гипоксии.

### Методика исследований

Опыты проведены на беспородных белых крысах-самцах массой 160—190 г. Выделение высокоустойчивых (ВГ) и низкоустойчивых (НГ) к острой гипоксической гипоксии животных производили по [4]. Для исследования особенностей нейрогуморальной регуляции сердечного ритма у животных с различной устойчивостью к гипоксии использовали вариационную пульсометрию [2], которая, исходя из концепции о сердечно-сосудистой системе как индикаторе адаптационно-приспособительной деятельности целостного организма, позволяет оценивать состояние вегетативного баланса (соотношение активности симпатического и парасимпатического отделов вегетативной нервной системы) [1, 3, 4, 14]. Электрокардиограмму регистрировали на чернильно-пишущем осциллографе со скоростью движения бумажной ленты 120 мм/с. Строили индивидуальные графики распределения динамического ряда 100 последовательных интервалов  $RR$ . Длительность каждого кардиоинтервала измеряли с точностью до десятых долей мс. Определяли следующие показатели функции распределения: мода ( $Mo$ ) — значение наиболее часто встречающихся интервалов  $RR$ ; амплитуда моды ( $AMo$ ) — число интервалов  $RR$  (в %), соответствующих значениям моды; вариационный размах ( $\Delta x$ ) — разница между максимальным и минимальным значением интервалов  $RR$  в анализируемом массиве; отношение  $AMo/\Delta x$ ; индекс напряжения (ИН) вычисляли по формуле:  $IN = \frac{AMo}{2Mo\Delta x}$ . Достоверность различий показателей определяли с помощью непараметрических методов статистики, вычисляя критерий  $U$  Вилкоксона — Манна — Уитни [7].

### Результаты исследований и их обсуждение

Показатели математического анализа сердечного ритма высоко- и низкоустойчивых к гипоксии животных представлены в таблице, из которой видно, что между величинами обнаружены достоверные различия. Так, значения  $\Delta x$  достоверно больше у ВГ, чем у НГ крыс.

Показатели математического анализа сердечного ритма низкоустойчивых и высокоустойчивых к гипоксии животных

Показатели	Серия	Число опытов	Пределы колебаний	Средние арифметич.	$p_U$	Критерий
$\Delta x$ , мс	НГ	10	3,2—10,4	6,64	—	—
	ВГ	9	8,0—11,2	9,42	<0,05	U
$Mo$ , мс	НГ	10	96—110,4	103,28	—	—
	ВГ	9	106,4—124	114,48	<0,05	U
$AMo$ , %	НГ	10	17—34	24,8	—	—
	ВГ	9	14—22	18,2	<0,05	U
$AMo/\Delta x$	НГ	10	2,36—7,50	4,06	—	—
	ВГ	9	1,43—2,75	1,56	<0,05	U
$IN = \frac{AMo}{2Mo\Delta x}$	НГ	10	0,0166—0,000340	0,0196	—	—
	ВГ	9	0,0061—0,0000123	0,0087	<0,05	U

Обнаружены также существенные различия показателей  $Mo$  и  $AMo$ . У ВГ животных отмечено увеличение значений  $Mo$ , уменьшение  $AMo$  по сравнению с наблюдаемыми у НГ — крыс. Такие изменения могут указывать на более высокую активность симпатической нервной системы низкоустойчивых к гипоксии животных. На рисунке представлены средние величины вариационных пульсограмм у ВГ и НГ крыс. Более высокая и узкая, сдвинутая влево, кривая НГ животных указывает на усиление влияния симпатической нервной системы, а более уплощенная и сдвинутая вправо у ВГ животных о преобладании парасимпатических влияний.

Таким образом, математический анализ сердечного ритма у животных с различной устойчивостью к острой гипоксии позволяет проанализировать состояние нейрогумораль-

ной регуляции, «...извлечения звеньев управления изображения регулярных механизмов».

Обнаруженный нами пульсометрии сдвиг в парасимпатическую сторону к гипоксии животных исследователей, которых методик установили преобладания топографии первой системы на устойчивость острому недостатку кислорода.

Графическое изображение вариационных пульсограмм животных

Проведенные нами и устойчивостью к гипоксии состоянию нейрогуморально-ленную роль в резистентные изменения показывают, что использован для прогноза.

- Баевский Р. М. К проблеме гипоксии. — В кн.: Адатология. — Адатология, 44—48.
- Баевский Р. М. Кибернетика. — В кн.: Актуальные проблемы. — с. 161—175.
- Баевский Р. М. Прогнозирование. — Книга, 1979. 295 с.
- Березовский В. А. Ритмы. — 1975, 21, № 3, с. 371—375.
- Березовский В. А., Березовская В. А. Особенности реактивности организма на гипоксию. — В кн.: Адатология. — с. 161—175.
- Бойко О. А., Рильева Т. А. Адатология низкоконтрастных изображений. — В кн.: Адатология. — с. 161—175.
- Гублер Е. В., Генкин Л. А. Адатология медикобиологических изображений. — В кн.: Адатология. — с. 161—175.
- Гуревич И. Б., Гарфункель А. А. Адатология. — В кн.: Адатология. — с. 161—175.
- Клименко К. С. Влияние гипоксии на субклеточные фракции белых крыс. — Книга, 1978, с. 7—10.
- Маркова Е. А. Нейроадаптация. — Автореф. дис. ... д-ра биол. наук. — Книга, 1978, с. 7—10.
- Назаренко А. И., Мелитин С. А. Адатология низкоконтрастных изображений. — В кн.: Адатология. — с. 161—175.
- Назаренко А. И. Исследование генеза гипоксии в тканях крыс. — Физиология, 1978, № 1, с. 1—10.
- Никитин Я. Т. Коррекция изображения при гипоксии. — В кн.: Адатология. — с. 161—175.
- Парин В. В. Избранные

х массой 160—190 г. Высокую остроту гипоксической особенности нейрогуморальной устойчивости к гипоксии, исходя из концепции остро-приспособительной деятельности вегетативного балансирующего отдела вегетативной нервной системы, зарегистрировали на чернильных картинах сердца крыс. Строили интегральные последовательные интервалы до десятых долей секунды: мода ( $M_o$ ) — значение моды ( $A_{Mo}$ ) — число интервалов ( $\Delta x$ ) — разброс  $R_R$  в анализируемом интервале по формуле: ИН =  $\frac{A_{Mo}}{\Delta x} \cdot 10^3$  — Манн — Уитни [7].

#### Изложение

На высоко- и низкоустойчивых животных видно, что между величинами достоверно больше у ВГ,

#### Сердечный ритм низкоустойчивых животных

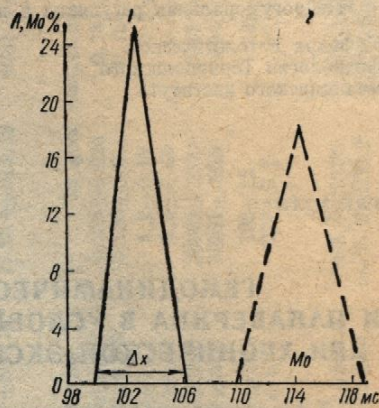
№	$P_U$	Критерий
1	—	—
2	$<0,05$	U
3	—	—
4	$<0,05$	U
5	—	—
6	$<0,05$	U
7	—	—
8	$<0,05$	U
9	—	—
10	$<0,05$	U
11	—	—
12	$<0,05$	U
13	—	—
14	$<0,05$	U

и  $M_o$  и  $A_{Mo}$ . У ВГ животные с наблюдаемыми высокой активностью симпатических. На рисунке представлены вариации НГ крыс. Более высокая и усиленная влияние симпатических на ВГ животных о пре-

важение животных с различной степенью нейрогуморальной

регуляции, «...извлечь скрытую информацию, понять характер текущего взаимодействия звеньев управления ритмом сердца и тем самым оценить состояние и степень напряжения регуляторных механизмов целостного организма» [3].

Обнаруженный нами методом вариационной пульсометрии сдвиг вегетативного баланса в парасимпатическую сторону у высокоустойчивых к гипоксии животных согласуется с данными исследователей, которые с помощью других методик установили благоприятное влияние преобладания тонуса парасимпатической нервной системы на устойчивость животных к острому недостатку кислорода [8, 10, 15, 16].



Графическое изображение средних величин вариационных пульсограмм НГ (1) и ВГ (2) животных.

Проведенные нами исследования свидетельствуют о том, что животные с различной устойчивостью к гипоксии характеризуются значительными различиями в исходном состоянии нейрогуморальной регуляции сердечного ритма, что играет, очевидно, определенную роль в резистентности организма к острому недостатку кислорода. Обнаруженные изменения показывают, что математический анализ сердечного ритма может быть использован для прогнозирования устойчивости организма к острой гипоксии.

#### Список литературы

- Баевский Р. М. К проблеме оценки степени напряжения регуляторных систем организма.— В кн.: Адаптация и проблемы общей патологии. Новосибирск, 1974, т. 1, с. 44—48.
- Баевский Р. М. Кибернетический анализ процессов управления сердечным ритмом.— В кн.: Актуальные проблемы физиологии и патологии кровообращения. М., 1976, с. 161—175.
- Баевский Р. М. Прогнозирование состояний на грани нормы и патологии. М.: Наука, 1979. 295 с.
- Березовский В. А. Риси індивідуальності в реакції на гіпоксію.— Фізiol. журн., 1975, 21, № 3, с. 371—376.
- Березовский В. А., Бойко К. А., Клименко К. С. и др. Гипоксия и индивидуальные особенности реактивности. Киев: Наук. думка, 1978. 215 с.
- Бойко О. А., Рильева С. О. Особливості азотного обміну в організмі високостійких та низькостійких до гіпоксії тварин. Фізiol. журн., 1976, 22, № 3, с. 310—316.
- Гублер Е. В., Генкин А. А. Применение непараметрических критериев статистики в медикобиологических исследованиях. Л: Медицина, 1973. 141 с.
- Гуревич И. Б., Гарфункель М. Л. Изменения сердца при острой кровопотере.— Патол. физиология, 1959, 6, № 1, с. 39—44.
- Клименко К. С. Влияние пониженного атмосферного давления на активность АТФаз субклеточных фракций головного мозга высокостойких и низкоустойчивых к гипоксии белых крыс.— В кн.: Кислородный гомеостазис и кислородная недостаточность. Киев, 1978, с. 73—82.
- Маркова Е. А. Нейрогуморальная регуляция функций при кислородном голодании: Автореф. дис. ... д-ра мед. наук. Киев, 1968. 34 с.
- Назаренко А. И., Мелихова Т. В. Особливості тканинного дихання у високо- та низькостійких до гіпоксії білих щурів.— Фізiol. журн., 1977, 23, № 4, с. 499—503.
- Назаренко А. И. Исследование активности изоцитратдегидрогеназы и малатдегидрогеназы в тканях крыс с различной устойчивостью к острой гипоксической гипоксии.— Физiol. журн., 1978, 24, № 3, с. 348—352.
- Никитин Я. Т. Корреляционно-спектральный анализ баллистокардиограмм при помощи ЭЦВМ: Автореф. дис. ... канд. мед. наук. Минск, 1971. 21 с.
- Парин В. В. Избранные труды. В 2-х т. М.: Наука, 1974, т. 2, с. 87—88.

15. Розанова В. Д., Уголбаева И. С. К сравнительноонтогенетическому сопоставлению устойчивости и выносливости к гипоксической гипоксии.— В кн.: Материалы конф. «Высокогорный климат и большой организм». Фрунзе, 1965, с. 77—78.  
 16. Стец В. Р. К вопросу о повышении устойчивости животных к гипоксии.— В кн.: Нейрогуморальная регуляция в норме и патологии. Ужгород, 1965. с. 194.

Кафедра патологической  
физиологии Тернопольского  
медицинского института

Поступила в редакцию  
31. III 1980 г.

УДК 612.141

Л. И. Казак

## ГЕМОДИНАМИЧЕСКИЕ ЭФФЕКТЫ ДИБАЗОЛА И ПАПАВЕРИНА В УСЛОВИЯХ АДРЕНЕРГИЧЕСКОЙ БЛОКАДЫ ПРИ ХРОНИЧЕСКОЙ ЭКСПЕРИМЕНТАЛЬНОЙ ГИПЕРТЕНЗИИ

В фармакотерапии гипертонической болезни значительное место занимают миотропные средства — папаверин и дигидроэфедрин. Нами ранее были показаны особенности влияния дигидроэфедрина и папаверина на деятельность сердца и состояние гемодинамики в условиях блокады адренергических структур у интактных животных [3, 4]. Целью настоящей работы является изучение действия исследуемых веществ на деятельность сердца и системную гемодинамику при селективной блокаде адренорецепторов у животных с экспериментальной хронической гипертензией.

### Методика исследований

Опыты проведены на 20 кроликах массой 2,5—3 кг. Животным в течение 2—3 нед внутривенно вводили питуитрин (1 ед/кг), вызывающий повышение артериального давления [10]. Затем под уретаповым наркозом (1 г/кг) у них определяли основные показатели гемодинамики методом термодилатации [2]. Одновременно с записью кривой термодилатации регистрировали системное артериальное давление и ЭКГ в стандартном отведении. Папаверин (1 мг/кг), дигидроэфедрин (0,5 мг/кг) и анаприлин (0,3 мг/кг) вводили внутривенно. Показатели работы сердца и состояния гемодинамики регистрировали до инъекции папаверина и дигидроэфедрина, на фоне их максимального гипотензивного эффекта и после восстановления давления до исходного уровня. Затем вводили исследуемые вещества на фоне действия альфа-адренолитика фентоламина или через 10 мин после инъекции бета-адреноблокатора анаприлина и в течение 30 мин наблюдали их эффект.

### Результаты исследований

Под влиянием длительного введения питуитрина у животных развилась хроническая гипертензия. Наряду с повышением системного артериального давления и общего периферического сопротивления (ОПС) наблюдалось уменьшение минутного (МОК) и ударного (УОК) объема крови (см. таблицу). Полученные экспериментальные данные согласуются с описанием в литературе [1, 7]. После инъекции папаверина, дигидроэфедрина и фентоламина МОК, УОК и частота сердечных сокращений почти не изменялись. Гипотензивный эффект их обусловлен в основном снижением ОПС. У больных с эссенциальной гипертензией фентоламин и сосудорасширяющие средства понижали артериальное давление также вследствие снижения ОПС [12].

В условиях блокады альфа-адренорецепторов папаверин и дигидроэфедрин в исследуемых дозах не вызывали дальнейшего снижения артериального давления. Снижение артериального давления и ОПС наблюдалось под влиянием фентоламина, папаверин такого действия не оказывал. Подобные результаты получены и в опытах с дигидроэфедрином. Фентоламин снижал давление на 28 %, а после инъекции дигидроэфедрина на фоне фентоламина давление снизилось на 39 %. Однако эта разница статистически недостоверна.

		Влияние дигидроэфедрина (A), папаверина (B) на деятельность сердца и гемодинамику у кроликов с экспериментальной гипертензией на фоне блокады альфа- и бета-адренорецепторов			
Гемодинамические показатели	Исходные данные	После введения дигидроэфедрина (A), папаверина (B)		После введения	
		1 мин	5 мин	1 мин	5 мин
У интактных животных					
Группа опытов	1	2	3	4	5

		Блокада альфа-адренорецепторов на фоне фентоламина			
Гемодинамические показатели	Исходные данные	После введения дигидроэфедрина (A), папаверина (B)		После введения	
		1 мин	5 мин	1 мин	5 мин
У интактных животных					
Группа опытов	1	2	3	4	5

ческому сопоставлению  
ки: Материалы конф.  
77—78.

х к гипоксии.— В кн.:  
ц. 1965. с. 194.

Поступила в редакцию  
31. III 1980 г.

## БАЗОЛА СКОЙ БЛОКАДЫ ГИПЕРТЕНЗИИ

Что занимают миотропные особенности влияния гемодинамики в условиях гипертензии [4]. Целью настоящей работы было изучение деятельности сердца и синуса у животных с экспериментальной гипертензией на фоне блокады альфа- и бета-адренорецепторов.

В течение 2—3 недели основные показатели гемодинамики в условиях гипертензии не изменились. Гипертония с эссенциальными сокращениями артериального давления в течение 30 мин на-

чала развилась хронического давления и общего сокращения минутного (МОК) и периферийные данные папаверина, дибазола и фентоламина не изменились. Гипертонии с эссенциальными сокращениями артериального давления в исследуемых

группах. Снижение артериального давления с дибазолом. Фентоламин на фоне фентоламина давление в исследуемых

**Влияние дибазола (А), папаверина (Б) на деятельность сердца и гемодинамику у крысиков с экспериментальной гипертензией на фоне блокады альфа- и бета-адренорецепторов**

Гемодинамические показатели	Исходные данные		После введения дибазола (А), папаверина (Б)		После введения дибазола (А), папаверина (Б)		
	Группа опытов	1	У интактных животных		1 мин	5 мин	6 мин
			2	3			
Блокада альфа-адренорецепторов							
МОК, л/мин	0,337±0,044 0,249±0,022	0,299±0,073 0,201±0,01	A B	0,277±0,022 0,239±0,011	0,302±0,027 0,198±0,02	0,264±0,024 0,179±0,02	0,311±0,038 0,179±0,015
УОК, мл	1,29±0,07 1,06±0,08	1,07±0,1 0,72±0,03*	A B	1,0±0,09 0,9±0,03	1,14±0,16 0,72±0,06	0,96±0,1 0,65±0,06	1,11±0,13 0,7±0,06
ОПС, дин·с·см <sup>-5</sup>	19588±3077 25505±1378	28704±1964* 39802±3754*	A B	27024±2715 26634±1645*	29268±3600 39331±3577	24161±2573 25721±3506*	17373±1803 24253±2367
Частота сердечных сокращений, уд./мин	269±15 248±12	276±23 276±5,7	A B	282±23 276±5,8	276±23 276±5,3	282±23 282±5,8	282±11,5 276±5,8
АД, Па	9491±746,5 9797,55±466,55	14263,1±799,8* 12796,8±933,1*	A B	12090,3±973,1 10397,4±866,45	19263,1±773,14 11997,0±866,45	10330,75±773,14 7864,7±506,54*	8664,5±346,58 7731,4±613,18
Блокада бета-адренорецепторов							
МОК, л/мин	0,213±0,014 0,239±0,017	0,231±0,017* 0,204±0,013	A B	0,283±0,03 0,210±0,013	0,221±0,015 0,187±0,014	0,215±0,024 0,172±0,007	0,256±0,026 0,156±0,011
УОК, мл	0,77±0,05 0,9±0,05	0,7±0,12 0,7±0,04*	A B	1,1±0,15 0,9±0,17	0,8±0,07 0,6±0,06	1,0±0,12 0,7±0,04	1,2±0,17 0,6±0,06
ОПС, дин·с·см <sup>-5</sup>	28550±1922 27446±1820	38122±272* 38982±4846	A B	27986±2928 33650±1025	42316±1496 41428±4529	46124±3248 44290±2936	35653±3039* 39361±3023
Частота сердечных сокращений, уд./мин	267±2,9 240±12	282±17 270±0*	A B	270±17 276±5,7	264±12 217±7*	204±12* 217±5,7	198±12 217±5,7
АД, Па	10264,1±479,88 9331,0±399,9	13596,6±933,1 12796,8±766,41	A B	11463,8±146,63 10930,6±533,2	14796,3±766,41 12530,2±666,5	14396,4±1599,6 12663,5±933,1	12396,9±613,18 11197,2±533,2
на фоне анастазина							
МОК, л/мин	0,239±0,017 0,249±0,022	0,231±0,017* 0,201±0,01	A B	0,283±0,03 0,210±0,013	0,221±0,015 0,187±0,014	0,215±0,024 0,172±0,007	0,256±0,026 0,156±0,011
УОК, мл	0,77±0,05 0,9±0,05	0,7±0,12 0,7±0,04*	A B	1,1±0,15 0,9±0,17	0,8±0,07 0,6±0,06	1,0±0,12 0,7±0,04	1,2±0,17 0,6±0,06
ОПС, дин·с·см <sup>-5</sup>	28550±1922 27446±1820	38122±272* 38982±4846	A B	27986±2928 33650±1025	42316±1496 41428±4529	46124±3248 44290±2936	35653±3039* 39361±3023
Частота сердечных сокращений, уд./мин	267±2,9 240±12	282±17 270±0*	A B	270±17 276±5,7	264±12 217±7*	204±12* 217±5,7	198±12 217±5,7
АД, Па	10264,1±479,88 9331,0±399,9	13596,6±933,1 12796,8±766,41	A B	11463,8±146,63 10930,6±533,2	14796,3±766,41 12530,2±666,5	14396,4±1599,6 12663,5±933,1	12396,9±613,18 11197,2±533,2
на фоне фентоламина							
МОК, л/мин	0,337±0,044 0,249±0,022	0,299±0,073 0,201±0,01	A B	0,277±0,022 0,239±0,011	0,302±0,027 0,198±0,02	0,264±0,024 0,179±0,02	0,311±0,038 0,179±0,015
УОК, мл	1,29±0,07 1,06±0,08	1,07±0,1 0,72±0,03*	A B	1,0±0,09 0,9±0,03	1,14±0,16 0,72±0,06	0,96±0,1 0,65±0,06	1,11±0,13 0,7±0,06
ОПС, дин·с·см <sup>-5</sup>	19588±3077 25505±1378	28704±1964* 39802±3754*	A B	27024±2715 26634±1645*	29268±3600 39331±3577	24161±2573 25721±3506*	17373±1803 24253±2367
Частота сердечных сокращений, уд./мин	269±15 248±12	276±23 276±5,7	A B	282±23 276±5,8	276±23 276±5,3	282±23 282±5,8	282±11,5 276±5,8
АД, Па	9491±746,5 9797,55±466,55	14263,1±799,8* 12796,8±933,1*	A B	12090,3±973,1 10397,4±866,45	19263,1±773,14 11997,0±866,45	10330,75±773,14 7864,7±506,54*	8664,5±346,58 7731,4±613,18
на фоне папаверина							
МОК, л/мин	0,213±0,014 0,239±0,017	0,231±0,017* 0,204±0,013	A B	0,283±0,03 0,210±0,013	0,221±0,015 0,187±0,014	0,215±0,024 0,172±0,007	0,256±0,026 0,156±0,011
УОК, мл	0,77±0,05 0,9±0,05	0,7±0,12 0,7±0,04*	A B	1,1±0,15 0,9±0,17	0,8±0,07 0,6±0,06	1,0±0,12 0,7±0,04	1,2±0,17 0,6±0,06
ОПС, дин·с·см <sup>-5</sup>	28550±1922 27446±1820	38122±272* 38982±4846	A B	27986±2928 33650±1025	42316±1496 41428±4529	46124±3248 44290±2936	35653±3039* 39361±3023
Частота сердечных сокращений, уд./мин	267±2,9 240±12	282±17 270±0*	A B	270±17 276±5,7	264±12 217±7*	204±12* 217±5,7	198±12 217±5,7
АД, Па	10264,1±479,88 9331,0±399,9	13596,6±933,1 12796,8±766,41	A B	11463,8±146,63 10930,6±533,2	14796,3±766,41 12530,2±666,5	14396,4±1599,6 12663,5±933,1	12396,9±613,18 11197,2±533,2

Примечание. Сопоставляются группы: 1 и 2; 2 и 3; 4 и 5; 5 и 6; 5 и 7; \* — статистически достоверные отличия между сравниваемыми группами.

Подобные результаты получены в опытах на сосудах кишечника, где показано [5], что на фоне снижения сосудистого тонуса под влиянием папаверина реакция на ацетилхолин уменьшается в 10 раз по сравнению с исходной. Таким образом, по [5] характер реакции сосуда на раздражитель зависит от исходного тонуса сосудистой мускулатуры. При низком тонусе сосудов уменьшается способность мышц расслабляться. Это отмечается и в наших исследованиях: на фоне фентоламина, снижающего исходный сосудистый тонус, сосудистая стенка также не реагировала на последующее введение папаверина.

После введения анаприлина в обеих сериях опытов наблюдалась тенденция к снижению артериального давления вследствие частичного уменьшения МОК и замедления частоты сердечных сокращений, хотя через 10 мин отмечалось постепенное повышение ОПС. Блокада бета-адренореактивных структур способствует превалированию функции альфа-адренорецепторов, чем и объясняется повышение ОПС [6, 8]. Зарегистрированные нами изменения гемодинамики под влиянием бета-адреноблокаторов согласуются с экспериментальными и клиническими данными [9, 14].

На фоне анаприлина папаверин снижал артериальное давление на 11,6 %, а сам папаверин — на 14,6 %. В обоих случаях гипотензивный эффект обусловлен снижением ОПС.

Дибазол снижал артериальное давление на 15,7 %, а при блокаде бета-адренорецепторов — на 13,9 %. Депрессорное действие также зависит от снижения ОПС. Несмотря на кратковременное снижение ОПС миотропными средствами, через 30 мин после их инъекции на фоне бета-адреноблокады отмечается тенденция к повышению ОПС. У больных гипертонической болезнью введение диазоксида на фоне пропранолола приводило к такому же снижению артериального давления, как и до пропранолола [13].

На кольцеобразных изолированных сегментах коронарной артерии установлено [11], что дилататорные эффекты папаверина не опосредуются через бета-адренорецепторы.

Таким образом, у интактных животных [4] и у животных с хронической питуитриновой гипертензией гипотензивный эффект миотропных средств при полном выключении функциональной активности бета-адренорецепторов одинаков, т. е. усиления их гипотензивного действия в условиях бета-адренергической блокады не наблюдается. Однако, при этом не отмечается неблагоприятных нарушений гемодинамики. Не исключено, что длительное сочетанное применение бета-адреноблокаторов и миотропных средств будет предупреждать повышение ОПС, возникающее при применении одних бета-блокаторов.

### Выводы

1. Папаверин (1 мг/кг), дибазол (5 мг/кг) снижают артериальное давление у кроликов с хронической питуитриновой гипертензией в результате уменьшения ОПС.
2. В условиях блокады альфа-адренорецепторов папаверин и дибазол не вызывают дальнейшего снижения артериального давления. На фоне полной блокады бета-адrenoструктур гипотензивное действие папаверина и дибазола сохраняется и обусловлено уменьшением ОПС.

### Список литературы

1. Абиндер А. А., Митин К. С., Мещерякова С. А., Бескровная Н. Н. К вопросу о механизме отрицательного инотропного эффекта действия питуитрина на интактную сердечную мышцу. — Физиол. журн. СССР, 1971, 17, № 10, с. 1491—1497.
2. Гуревич М. И., Берштейн С. А. Исследование гемодинамики методом разведения индикаторов. — В кн.: Методы исследования кровообращения. Л., 1976, с. 34—51.
3. Казак Л. И. Влияние папаверина и дибазола на работу сердца и состояние гемодинамики в условиях блокады альфа-адренорецепторов. — Физиол. журн., 1977, 23, № 2, с. 247—249.
4. Казак Л. И. Влияние папаверина и дибазола на работу сердца и состояние гемодинамики в условиях блокады бета-адренорецепторов. — Физиол. журн., 1979, 25, № 4, с. 453—456.

### Влияние гипоксических тре-

5. Конради Г. П. Зависимость тонуса. — В кн.: Регуляция. Аминокетоны. М., 1970.
6. Кудрин А. Н., Воробьев А. А. Гипоксии и гипоксические тренировки. — Саноцкая Н. В. Влияние гипоксии на миокард. — Физиол. журн., 1979, 25, № 4, с. 453—456.
7. Саноцкая Н. В. Влияние гипоксии на миокард. — Физиол. журн., 1979, 25, № 4, с. 453—456.
8. Сафонников Л. В. Сдвиги гемодинамики при гипоксии и гипоксической депервации сердца первой стадии. — В кн.: Регуляция. Аминокетоны. М., 1970.
9. Чекман И. С. Влияние гипоксии на миокард. — Врачеб. дело, 1979, 25, № 4, с. 453—456.
10. Шадовская А. Д. Влияние гипоксии на миокард. — Фармакология и экспериментальная медицина. — Казань, 1979.
11. Шишгин С. Б. Влияние гипоксии на миокард. — Фармакология и экспериментальная медицина. — Казань, 1979.
12. Mehta J. Adrenergic blockade by diazoxide. — Br. J. Pharmacol., 1960, 17, 1759—1760.
13. Mroczek W. J., Lee V. J. Effect of diazoxide on blood pressure in the presence of beta-adrenergic blockade. — J. Clin. Endocrinol., 1976, 81, 101, N 4.
14. Schnurr E. Neue Gesichtspunkte zur Pathophysiologie der Hypertonie. — Dtsch. med. Wochenschr., 1976, 101, N 4.

Кафедра фармакологии и научно-исследовательская лаборатория Киевского медицинского ин-

УДК 612.824.2—001.81:612.766.1

Н. П. Красников, Н.

### ВЛИЯНИЕ ГИПОКСИЧЕСКИХ ТРЕНИРОВОК НА ПОКАЗАТЕЛИ ГИМНОЛОГИЧЕСКОЙ ПОДГОТОВКИ

В последние годы появление новых методов гипоксических упражнений на гемодинамическую подготовку спортсменов не является новостью. Однако, несмотря на то что гипоксия является важным фактором, способствующим повышению выносливости, ее роль в гимнологической подготовке спортсменов недостаточно изучена.

Учитывая, что центральная гипоксия, вызванная недостаточным содержанием кислорода в крови, является важным фактором, способствующим повышению выносливости, мы исследовали гипоксическую подготовку спортсменов в период специальной подготовки к соревнованиям.

Обследовано 10 легкоатлетов, которые в течение 5 нед ежедневно проводили гипоксическую подготовку. Для этих целей нами созданы специальные лабораторные установки, позволяющие проводить гипоксическую подготовку в условиях, имитирующих высокогорье. Для этого используется специальный гипоксический кабинет, состоящий из двух камеры, одна из которых имеет давление 1000 мм рт. ст., другая — 760 мм рт. ст. В кабине установлены специальные устройства для измерения артериального давления, пульса, температуры тела, а также для измерения выдохаемого газа. В кабине проводятся различные физические упражнения, такие как бег на месте, прыжки в длину, скакание на канате и т. д. Время проведения гипоксической подготовки составляет 30 минут.

Гемодинамику головного мозга изучали с помощью метода реоэнцефалографии РГ-4-01. Реоэнцефалография позволяет изучать гемодинамику головного мозга в различных положениях, а также изучать гемодинамику головного мозга в различные временные периоды.

## Влияние гипоксических тренировок

- ищечника, где показано [5], аверина реакция на ацетилом образом, по [5] характера сосудистой мускулатуры. ассилируется. Это отмечается исходный сосудистый ющее введение папаверина. наблюдалась тенденция к уменьшения МОК и замедляется постепенное по- способствует превалированиюышение ОПС [6, 8]. Зарегистрировано бета-адреноблокаторов [9, 14]. давление на 11,6 % а сам фикт обусловлен снижением при блокаде бета-адренорецит от снижения ОПС. Несколько средствами, через 30 мин ся тенденция к повышению склада на фоне пропранолола как и до пропранолола [13]. арной артерии установленоются через бета-адренорецит с хронической питутит- средствами при полном выключении одинаков, т. е. усиления их блокады не наблюдается. ений гемодинамики. Не испытано блокаторов и миотропных веществ при применении одних
- т артериальное давление ультате уменьшения ОПС. Ерин и дигидроэпоксид не вызывают полной блокады бета-адре- сохраняется и обусловлено
- иная Н. Н. К вопросу о ме- я питутитина на интактную Ф. 10, с. 1491—1497.
- амики методом разведения шения. Л., 1976, с. 34—51.
- ту сердца и состояние гемо- в.—Физиол. журн., 1977, 23,
- ту сердца и состояние гемо- в.—Физиол. журн., 1979, 25,
5. Конради Г. П. Зависимость сосудистых реакций от исходного уровня сосудистого тонуса.— В кн.: Регуляция сосудистого тонуса. Л., 1973, с. 134—142.
  6. Кудрик А. Н., Воробьев В. Г. Аминокетоны с адраполитическим действием.— В кн.: Аминокетоны. М., 1970, с. 29—43.
  7. Саноцкая Н. В. Влияние питутитина на кровоснабжение и напряжение кислорода в миокарде.— Физиол. журн. СССР, 1973, № 3, с. 450—459.
  8. Сафонников Л. В., Семенов М. Е., Катюхин В. Н. Изучение влияния фармакологической денервации сердца на гемодинамику у больных гипертонической болезнью первой стадии.— В кн.: Гемодинамика в норме и патологии. Л., 1978, с. 18—25.
  9. Чекман И. С. Влияние антиадренергических средств на показатели общей гемодинамики.— Врачеб. дело, 1975, № 3, с. 9—12.
  10. Шадовская А. Длительная экспериментальная питутитиновая гипертония у кроликов.— Фармакология и токсикология, 1966, 29, № 1, с. 108.
  11. Шишкин С. Б. Влияние некоторых фармакологических веществ на механическую активность гладкомышечных клеток коронарных артерий: Автореф. дис. ... канд. мед. наук. Казань, 1979. 22 с.
  12. Mehta J. Adrenergic blockade in hypertension.— J. Amer. Med. Asso. 1978, 240, N 16, p. 1759—1760.
  13. Mroczek W. J., Lee V. R., Davidov M. E., Finnerly F. A. Vasodilator administration in the presence of beta-adrenergic blockade.— Circulation, 1976, 53, N 6, p. 985—988.
  14. Schnurr E. Neue Gesichtspunkte zur Behandlung der Hypertonie.— Dtsch. med. Wo- chenschr., 1976, 101, N 48, S. 1779—1780.

Кафедра фармакологии и Центральная научно-исследовательская лаборатория  
Киевского медицинского института

Поступила в редакцию  
23.X 1979 г.

УДК 612.824.2—001.81:612.766.1

Н. П. Красников, Н. А. Агаджанян, А. М. Ефименко, В. В. Ширяев

## ВЛИЯНИЕ ГИПОКСИЧЕСКИХ ТРЕНИРОВОК НА ПОКАЗАТЕЛИ РЕОЭНЦЕФАЛОГРАММЫ У СПОРТСМЕНОВ

В последние годы получено много экспериментальных данных о влиянии физических упражнений на гемодинамику головного мозга [5, 6]. Однако исследование мозгового кровообращения методом реоэнцефалографии в условиях дефицита кислорода недостаточно, хотя гипоксические тренировки прочно вошли в практику большого спорта [3].

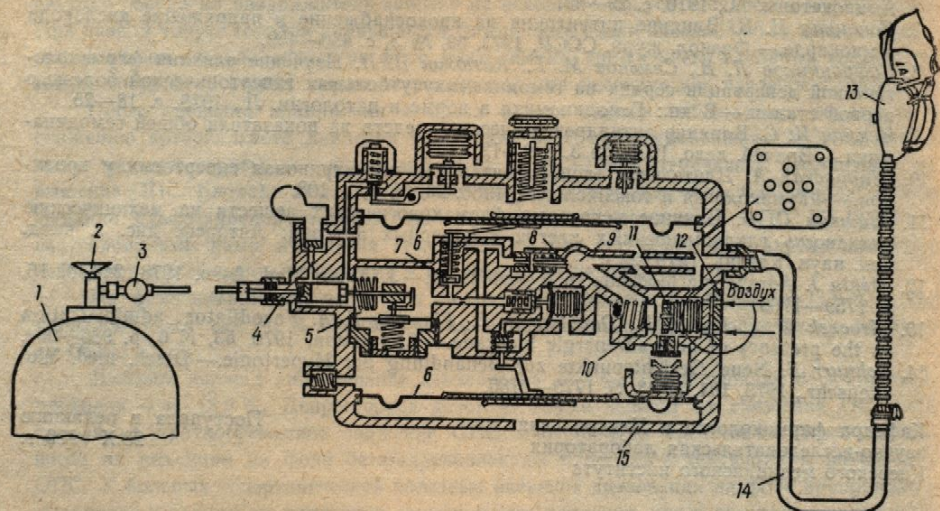
Учитывая, что центральная первая система наиболее чувствительна к недостатку кислорода, мы исследовали динамику основных параметров реоэнцефалограммы у спортсменов в период специальных гипоксических тренировок.

### Методика исследований

Обследовано 10 легкоатлетов-стайеров младших разрядов в возрасте 20—23 лет, которые в течение 5 нед ежедневно перед физическими тренировками по 30 мин вдыхали гипоксическую смесь, содержащую 15,5—16,5 % кислорода ( $P_{O_2}$  153—159 гПа). Для этих целей нами создана специальная установка (см. рисунок), позволяющая в лабораторных условиях с помощью модифицированных кислородных приборов КП-24 М с достаточной точностью обеспечить одномоментную подачу обедненной кислородом газовой смеси сразу для всей группы обследуемых. Приборы подключали к баллону с чистым азотом. В момент вдоха определенное количество азота проходило по трубопроводам прибора, перемешивалось с подсасываемым через отверстия специального фланца воздухом. Концентрация кислорода регулировали перекрытием отверстий 12 (см. рисунок). Анализ газовой смеси на содержание кислорода проводили в аппарате Холдена.

Гемодинамику головного мозга регистрировали на четырехканальном реографе РГ-4-01 и электроэнцефалографе ЭЛКАР-6 в фронтально-мостоидальном отведении. Использовали общепринятые методы регистрации, оценки и анализа реограмм [10, 11]. Во время записи реограмм обследуемые находились в экранированной комнате в лежачем положении. Реоэнцефалограммы регистрировали до и после гипоксических тренировок

и на 15—17 день реадаптации. Сравнивали параметры РЭГ на различных этапах гипоксической тренировки и в период реадаптации. Одномоментно с реоэнцефалограммой записывали интегральную реограмму и рассчитывали систолический и минутный



Принципиальная схема гипоксической установки.  
1 — баллон с азотом емкостью 40 л, давлением 98—1470 Н; 2 — вентиль баллона; 3 — редуктор КР-24; 4 — входной штуцер прибора; 5 — редуктор прибора; 6 — мембрана; 7 — клапан легочного автомата; 8 — сопло эжектора; 9 — смесительная камера; 10 — клапан автомата подсоса воздуха; 11 — анероид автомата подсоса воздуха; 12 — фланец с отверстиями; 13 — кислородная маска КМ-32; 14 — шланг КШ-24.

объем крови по формуле А. А. Кедрова с поправкой на коэффициент Базетта [9]. Физическую работоспособность определяли методом PWC<sub>170</sub> по степ-тесту. Полученный материал обрабатывали статистически методом вариационных рядов [2].

### Результаты исследований и их обсуждение

Результаты исследования динамики мозгового и центрального кровообращения, полученные на различных этапах гипоксических тренировок, приведены в таблице, из которой видно, что относительный объем пульса (ОПП), отражающий прирост объема крови в момент максимального кровенаполнения сосудов по отношению к общему объему исследуемого участка, за период гипоксических тренировок уменьшился на 16,8 %. Длительность реографической волны (T) возросла на 12 %, а в период реадаптации — на 13 %. Интервал «ав», отражающий период изгнания крови из левого желудочка, увеличился на 8 %, а интервал «аб» — период быстрого изгнания — на 49 %. Амплитуда систолической волны ( $A_s$ ), характеризующая интенсивность кровенаполнения исследуемых сосудов головного мозга, существенно не изменилась.

Таким образом, экспериментально установлено уменьшение относительного объема пульса под влиянием гипоксических тренировок. Демпфирующей реакцией при искусственной гипоксии являлось уменьшение периферического сопротивления, повышение эластичности и растяжимости стенок исследуемых сосудов, что подтверждается абсолютным увеличением интервалов «ав» и «аб». Вследствие включения указанных механизмов автономной регуляции кровообращения гемодинамика головного мозга сохраняет свое постоянство при дефиците кислорода во вдыхаемом воздухе. Аналогичные реакции отмечались и в работах других авторов [10].

По данным литературы [4], с ростом тренированности спортсменов увеличиваются абсолютные значения сердечного цикла, периода изгнания, уменьшается время изгнания минутного объема в состоянии мышечного покоя. Эти изменения возникают параллельно увеличению физической выносливости и спортивных результатов. При этом

### Влияние гипоксических

период изгнания относительного цикла уменьшается

За 5 нед специальной тренировки удлинение сердечного цикла на 29 % ( $p < 0,01$ ). Интервал

### Динамика мозгового и центрального кровообращения

Исследуемые параметры	Исходные данные
ОПП, %	9,84
T, с	1,015
ав, с	0,310
ав/T, %	30,7
аб, с	0,100
аб/T, %	9,9
$A_s$ , Ом	0,152
СО, мл	74,4
ЧСС, уд/мин	59,0
МОК, л/мин	4,35

увеличился на 0,026 с — среднеквадратическое отклонение реоволны (ав/T=30 %); уменьшение «ав» относительно увеличения «ав» свидетельствует о снижении функции миокарда на 0,049 с, что указывает на адаптацию стенок исследуемых сосудов аппарата кровообращения. Подобный характер изменения может быть обусловлен адаптивными изменениями гемодинамики в период гипоксии и оптимальные изменения периода изгнания являются признаком парастазии физиологических и амплитудных параметров функционирования механизма кровообращения в период реадаптации.

Исследования ряда авторов показывают, что общая резистентность сосудов в том числе и в большем количестве с литературными и вместе с тем, наблюдаемых в центре тренировки.

Таким образом, результаты вдыхания газовых смесей при гипоксии. Анализ полученных данных при гипоксических тренировках

## Влияние гипоксических тренировок

период изгнания относительно должных величин для соответствующего значения сердечного цикла уменьшается.

За 5 нед специальных гипоксических тренировок в наших наблюдениях произошло удлинение сердечного цикла и его фаз, физическая работоспособность увеличилась на 29% ( $p < 0,01$ ). Интервал «ав», совпадающий с продолжительностью систолы сердца,

## Динамика мозгового и центрального кровообращения под влиянием пятинедельного курса гипоксических тренировок

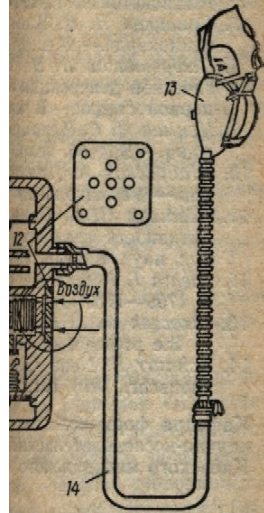
Исследуемые параметры	Период обследования								
	Исходные данные	После гипоксических тренировок	M	m	p	На 17-й день реадаптации	M	m	p
ООП, %	9,84	8,16	1,61	0,72	<0,05	8,76	1,54	1,72	>0,05
T, с	1,015	1,137	0,128	0,05	<0,05	1,162	0,142	0,01	<0,01
ав, с	0,310	0,336	0,026	0,01	<0,05	0,334	0,024	0,01	<0,05
ав/T, %	30,7	30,00	0,90	1,40	>0,05	29,1	1,00	1,05	>0,05
аб, с	0,100	0,149	0,050	0,02	<0,05	0,141	0,040	0,01	<0,01
аб/T, %	9,9	13,1	3,25	2,07	>0,05	12,1	2,25	1,05	>0,05
A <sub>s</sub> , Ом	0,152	0,139	0,013	0,01	>0,05	0,153	0,020	0,02	>0,05
СО, мл	74,4	84,1	8,43	2,37	<0,05	88,4	12,9	3,95	<0,01
ЧСС, уд/мин	59,0	53,0	6,33	2,42	<0,05	52,7	6,02	2,50	<0,05
МОК, л/мин	4,35	4,48	0,10	0,20	>0,05	4,64	0,23	0,20	>0,05

увеличился на 0,026 с — это физиологически устойчивый показатель, имеющий малое среднеквадратическое отклонение ( $m \pm 0,01$ ) и занимающий постоянную долю периода реоволны ( $\text{ав}/T = 30\%$ ) при его возрастании. Наряду с возрастанием «Т» происходило уменьшение «ав» относительно должных величин, рассчитанных по [7]. Абсолютное увеличение «ав» свидетельствует об уменьшении периферического сопротивления, усилении функции миокарда и увеличении ударного объема. Интервал «ав» увеличился на 0,049 с, что указывает на снижение упруговязких свойств и повышение растяжимости стенок исследуемых сосудов [10]. Систолический объем, как показатель экономизации аппарата кровообращения в условиях покоя, увеличился на 18% при неизменном МОК. Подобный характер изменений периода реоволны и его интервалов свидетельствует об адаптивных изменениях гемодинамики мозговых сосудов, об эффективности тренировочного режима и оптимальном функциональном состоянии кровообращения [6]. Выявленные изменения периода изгнания — как и всего сердечного цикла, считаются классическим признаком нарастания физической тренированности [4], а наблюданная динамика временных и амплитудных параметров реоэнцефалограммы свидетельствует о включении и функционировании механизмов автономной регуляции при длительном воздействии кратковременных периодов вдохания гипоксических газовых смесей в комплексе с последующей физической тренировкой.

Исследования ряда авторов [1, 8] показали, что при адаптации организма к дефициту кислорода при барокамерной тренировке или в условиях высокогорья повышается общая резистентность организма к целому комплексу экстремальных факторов, в том числе и к большим физическим нагрузкам. Полученные нами данные согласуются с литературными и вместе с тем позволяют вскрыть физиологический механизм изменений, наблюдавшихся в центральной гемодинамике при длительной 35 сут гипоксической тренировке.

Таким образом, результаты наших исследований свидетельствуют об эффективности вдохания газовых смесей, обедненных кислородом, в процессе тренировочного периода. Анализ полученных данных показывает, что адаптация мозгового кровообращения при гипоксических тренировках спортсменов происходит при существенном возра-

различных этапах гипо-  
с реоэнцефалограммой  
толический и минутный



ионики.  
иль баллона; 3 — редуктор  
ана; 7 — клапан легочного  
автомата подсаса воздуха;  
13 — кислородная маска

эффективность Базетта [9].  
степ-тесту. Полученный  
ядов [2].

## дение

ального кровообращения, приведены в таблице, из-  
кающий прирост объема  
тощению к общему объему  
уменьшился на 16,8 %.  
в период реадаптации —  
з левого желудочка, уве-  
на — на 49 %. Амплитуда  
овенаполнения исследуе-

е относительного объема  
ней реакцией при искусственном  
противления, повышение  
о подтверждается абсолютным  
указанных меха-  
оловного мозга сохраняется  
ду. Аналогичные реак-

ортсменов увеличиваются  
зывается время изгнания  
нения возникают парал-  
результатов. При этом

стании периода реографической волны, за счет увеличения периода изгнания, при значительном удлинении периода быстрого изгнания крови. С помощью реографии исследование гемодинамики головного мозга дает определенную информацию о включении и функционировании механизмов регуляции мозгового кровообращения и об эффективности специальных гипоксических тренировок.

УДК 616.127—005.8—073.97

### Список литературы

- Агаджанян Н. А., Миррахимов М. М. Горы и резистентность организма. М.: Наука, 1970. 184 с.
- Венчиков А. И., Венчиков В. А. Основные приемы статистической обработки результатов наблюдений в области физиологии. М.: Медицина, 1974. 151 с.
- Геселевич В. А. Некоторые особенности тренировки в горах.—В кн.: Медицинский справочник тренера. М., 1976, с. 252—253.
- Граевская Н. Д. Влияние спорта на сердечно-сосудистую систему. М.: Медицина, 1975. 277 с.
- Иванов М. П., Михайлов В. В., Чернашкін В. В. Изменение электро и реоэнцефалограммы у спортсменов при истощающей работе.—Теория и практика физ. культуры, 1973, № 12, с. 28—31.
- Луканина Л. В., Синельникова Э. М. Особенности мозговой гемодинамики у спортсменов с различной направленностью тренировочного процесса.—Теория и практика физ. культуры, 1979, № 6, с. 22—23.
- Карпман В. Л. Фазовый анализ сердечной деятельности. М.: Медицина, 1965. 276 с.
- Сиротинін М. М. Життя на висотах і хвороба висоти. Київ: Вид-во АН УССР, 1939. 225 с.
- Шершинев В. Г., Дзяк Г. В., Герман А. К. Реографический метод оценки интегральной гемодинамики.—В кн.: Клиническая реография. Киев, 1977, с. 79—86.
- Энцина Г. И. Реография как метод оценки мозгового кровообращения. Рига: Зиннатне, 1973. 124 с.
- Яруллин Х. Х. Клиническая реоэнцефалография. Л.: Медицина, 1967. 276 с.

Кафедра биомеханики и физиологии спорта Симферопольского университета

Поступила в редакцию  
24. XII 1979 г.

### УСТРОЙСТВО ДЛЯ С

Электрокардиография по кардиологии как один из методов исследования сердца.

Регистрация множественных электрокардиограмм (ЭКГ) необходимость метода электрокардиографии инфаркта миокарда, а также ции больных, перенесших инфаркт

Рис. 1. Пояс с электродами

1 — основа пояса из прорезиненной ткани, 2 — электроды, 3 — эластичная лента, 4 — лента-застежка.

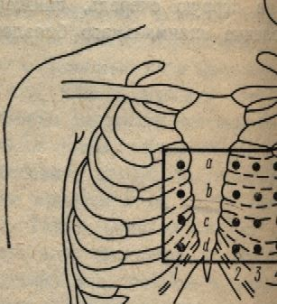


Рис. 2. Положение электродов

1 — корпус, 2 — защитный бортик, 3 — клемма с резьбой, 7 — гайка, 8 — отверстие для прохода провода, 10

Используемый нами метод регистрации ЭКГ в 36 точках с помощью рядов электродов по девяти местах на теле обследуемого в виде электродов, быстрой и удобной является устройство, состоящее из

Основа пояса, на которой прорезиненной тканью и фиксируется застежкой ТУ-1782-74. Расстояние

9 — Физиологический журнал, № 5.

периода изгнания, при знан-  
помощью реографии иссле-  
информацию о включении и  
обращении и об эффектив-

ность организма. М.: Наука,  
авистической обработки ре-  
ппа, 1974. 151 с.  
орах.— В кн.: Медицинский

ую систему. М.: Медицина,  
ение электро и реоэнцефало-  
и практика физ. культуры,  
овой гемодинамики у спор-  
тсмена.— Теория и практика

М.: Медицина, 1965. 276 с.  
ив: Вид-во АН УССР, 1939.

ий метод оценки интеграль-  
ев, 1977, с. 79—86.

ообщения. Рига : Зинатне,  
едицина, 1967. 276 с.

Поступила в редакцию  
24. XII 1979 г.

## МЕТОДИКА

УДК 616.127—005.8—073.97

В. В. Бугаенко

### УСТРОЙСТВО ДЛЯ СНЯТИЯ ЭЛЕКТРОКАРДИОПОГРАММЫ

Электрокардиография получила всеобщее признание и широко используется в кардиологии как один из методов распознавания различных форм ишемической болезни сердца.

Регистрация множественных электрокардиографических отведений (36 и более), электрокардиотопограмма (ЭКТГ) позволяет не только повысить диагностическую ценность метода электрокардиографии, но и приблизиться к оценке обширности острого инфаркта миокарда, а также следить за динамикой зоны ишемии в период реабилитации больных, перенесших инфаркт миокарда.

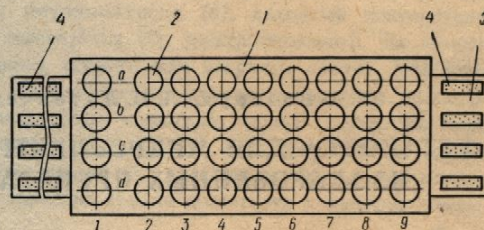


Рис. 1. Пояс с электродами.  
1 — основа пояса из прорезиненной ткани, 2 — электроды, 3 — эластичная лента, 4 — лента-застежка.

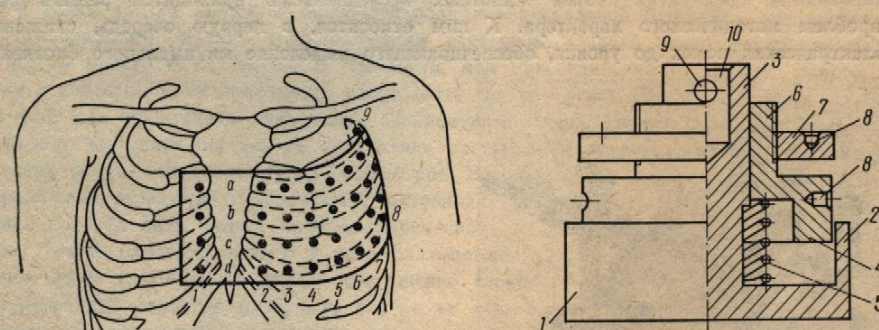


Рис. 2. Положение электродов на передне-боковой поверхности грудной клетки.

Рис. 3. Конструкция электрода.

1 — корпус, 2 — защитный бортик, 3 — шток, 4 — прижим, 5 — спиральная пружина, 6 — шейка прижима с резьбой, 7 — гайка, 8 — отверстия для ключа; 9 — попечерное сверление для соединительного провода, 10 — продольная вытаска для впаивания провода.

Используемый нами метод ЭКТГ состоит в последовательной регистрации электрокардиограмм (ЭКГ) в 36 точках передне-боковой поверхности грудной клетки (четыре ряда электродов по девять в каждом горизонтальном ряду). Электроды накладывают на тело обследуемого в виде сетки. Для обеспечения надежного контакта всех электродов, быстрой и удобной фиксации их на теле обследуемого, нами сконструировано устройство, состоящее из пояса с электродами и коммутатора.

Основа пояса, на которой жестко закреплены электроды, изготовлена из двух слоев прорезиненной ткани и фиксируется на теле с помощью эластичной ленты и ленты застежки ТУ-1782-74. Расстояние между первым и вторым вертикальными рядами

электродов — 7 см, между всеми последующими как вертикальными, так и горизонтальными электродами — 4 см. Применяемые нами электроды могут быть изготовлены из латуни, бронзы, меди, анодированной серебром. Для обеспечения надежного контакта корпус электрода подвижный и отжимается от прижима спиральной пружиной. Контактная поверхность электрода смещается вдоль продольной оси, в результате чего обеспечивается постоянный надежный контакт. Диаметр электрода 10 мм, высота штока 25 мм. Пояс подключается к регистрирующему прибору с помощью коммутатора с клавишным переключателем. К четырем гнездам коммутатора подключаются вводные гнезда регистрирующего прибора той же маркировки.

Съемка ЭКТГ производится последовательным нажатием клавишей от 1 до 9.

Опыт показал, что метод ЭКТГ заслуживает внимания, а предлагаемое устройство крайне просто в изготовлении, обслуживании и надежно в работе.

Отдел клинической реабилитации  
Украинского института кардиологии

Поступила в редакцию  
15.V 1981 г.

УДК 612.821

И. А. Назарук, Л. П. Литовченко, И. Р. Евдокимов

## УСТАНОВКА ДЛЯ МИКРОЭЛЕКТРОДНЫХ ИССЛЕДОВАНИЙ ИЗОЛИРОВАННЫХ ПРЕПАРАТОВ ТЕПЛОКРОВНЫХ

При подготовке к проведению электрофизиологических экспериментов на изолированных препаратах тканей животных исследователю приходится решать ряд проблем методического характера. К ним относятся, в первую очередь, снижение электрических помех до уровня, обеспечивающего выделение минимального биоэлект-

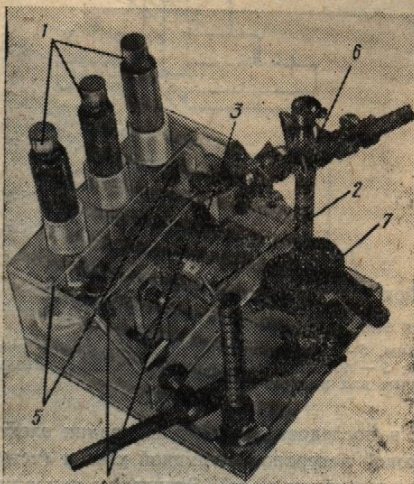


Рис. 1. Общий вид экспериментальной установки.

1 — емкости для различных растворов; 2 — ванночка с препаратом; 3 — датчик температуры; 4 — регулируемые нагревательные элементы; 5 — опорные нагревательные элементы; 6 — манипулятор для подачи микроэлектрода; 7 — стереоскопический микроскоп МБС-2.

тического сигнала, создание условий для постоянного визуального контроля за положением кончика микроэлектрода и объекта, непрерывное измерение температуры объекта и омывающих его растворов (или их термостабилизация), насыщение растворов газовыми смесями, установка объекта в положение, удобное для введения микроэлектрода и подключения механоэлектрического преобразователя в случае иссле-

## Установка для микроэлектродных

дований сократимых тканей [3] ройства, удовлетворяющие поста

Предлагаемая установка ных исследователей и дополне ляет собой универсальную ко зиологических исследований, к при изучении биологических объ

В установке применен сп омывающих растворов и газов жания заданного температурног ранее разработанной в нашем гладких мыши [1]. Внутри кам проточная ванночка с объектом электрический преобразователь чик температуры (3), регулиру элементы опорного теплового реж

Снаружи термостатируемое гидравлическим манипулятором стереоскопический микроскоп М установлены воронки Либиха с вода газовых смесей на задней под небольшим давлением че газовой смеси. Благодаря нале статируемых объема, довольно давлений газов вне и в растворя того типа.

Наиболее удачным расположением с точки зрения введения м полного покрытия объекта перф не всегда просто осуществить. трону с помощью нити приходит ной оси, или пропускать нить неизбежно вызывает постоянные ических помех, передаваемых в запрессованная втулка из гидроф втулке продета нить, одним кон троне. Таким образом, объект и причем нить движется во втулке и гидрофобные свойства материаляем в исследованиях раствора

Микроэлектрод подводится в ном стекле, расположенном в Разм размер отверстия выбран так, время не нарушать теплового ре ческими свойствами дает возмож электрода через микроскоп МБС допускает оперативную смену к проводить исследования самых раз

Исходя из требуемой для э держания температуры, равной окружющей среды от 18 до 30 создана специальная система т низкий уровень электрических и от контактных и тиристорных с выбрана автоматическая система

льными, так и горизонтальными, могут быть изготовлены из сечения надежного контакта контактной пружиной. Контакты, в результате чего обеспечены 10 мм, высота штока 25 мм. коммутатора с клавишным вводом гнезда разме-

м клавишей от 1 до 9. а предлагаемое устройство работе.

Поступила в редакцию  
15.V 1981 г.

Евдокимов

## ИССЛЕДОВАНИЙ ИЛОКРОВНЫХ

их экспериментов на изолированных объектах приходится решать ряд первых задач, снижение минимального биоэлект-

ный вид экспериментальной установки.

и различных растворов; 2 — аппаратом; 3 — датчик температуры; 4 — управляемые нагревательные элементы; 5 — инструмент для подачи микроэлектрода; 6 — стереоскопический микроскоп МБС-2.

ального контроля за положением измерение температуры (термодатчик), насыщение раствором для введения микроэлектрода в случае исследо-

дований сократимых тканей [3]. Это заставляет экспериментаторов создавать устройства, удовлетворяющие поставленным требованиям.

Предлагаемая установка сохранила преимущества многих разработок различных исследователей и дополнена нашими оригинальными решениями. Она представляет собой универсальную конструкцию, пригодную для разноплановых электрофизиологических исследований, которая может иметь широкую область применения при изучении биологических объектов.

В установке применен способ закрытого терmostатирования кюветы с объектом, омывающих растворов и газовой среды, обеспечивающий высокую точность поддержания заданного температурного режима. Прозрачная пленка-стекловидная камера подобна ранее разработанной в нашем институте для изучения сократительной активности гладких мышц [1]. Внутри камеры помещены три емкости для растворов (рис. 1, 1), проточная ванночка с объектом (2), емкость для отработанных растворов, механоэлектрический преобразователь с системой градуированного натяжения объекта, датчик температуры (3), регулируемые нагревательные элементы (4), нагревательные элементы опорного теплового режима (5).

Снаружи терmostатируемой камеры находятся: штанга с укрепленным на ней гидравлическим манипулятором подачи микроэлектрода (6), катодный повторитель, стереоскопический микроскоп МБС-2 с осветителем (7), электротермометр. На камере установлены воронки Либиха с растворами, герметически закрытые сверху. Для подвода газовых смесей на задней стенке камеры имеется штуцер, с помощью которого под небольшим давлением через водяной затвор возможна подача соответствующей газовой смеси. Благодаря наличию больших поверхностей растворов внутри терmostатируемого объема, довольно быстро происходит уравновешивание парциальных давлений газов вне и в растворах, что довольно трудно достигнуть в камерах открытого типа.

Наиболее удачным расположением объекта в кювете является горизонтальное, как с точки зрения введения микроэлектрода в вертикальной плоскости, так и для полного покрытия объекта перфузирующим раствором. Однако такое расположение не всегда просто осуществить. В частности, при присоединении объекта к механотрону с помощью нити приходится располагать его под углом 20—30° к горизонтальной оси, или пропускать нить через сделанную в стенке кюветы прорезь, которая неизбежно вызывает постоянное подтекание растворов и является источником механических помех, передаваемых на механотрон. В данном устройстве в стенку кюветы запрессована втулка из гидрофобного материала (фторопластика). Через отверстие во втулке продета нить, одним концом закрепленная на объекте, а другим на механотроне. Таким образом, объект и нить оказываются расположеными горизонтально, причем нить движется во втулке совершенно свободно. Подбор размера отверстия и гидрофобные свойства материала внутри не дают возможность вытекать применяемым в исследованиях растворам, хотя препарат полностью погружен в раствор.

Микроэлектрод подводится к объекту извне через небольшое отверстие в покровном стекле, расположенном в непосредственной близости над кюветой с объектом. Размер отверстия выбран так, чтобы свободно пропускать электрод и в то же время не нарушать теплового режима камеры. Покровное стекло с высокими оптическими свойствами дает возможность хорошего обзора объекта и кончика микроэлектрода через микроскоп МБС-2. Взаимное расположение элементов в установке допускает оперативную смену кювет без конструктивных изменений, что позволяет проводить исследования самых различных объектов.

Исходя из требуемой для электрофизиологических исследований точности поддержания температуры, равной  $\pm 0,1^{\circ}\text{C}$  в диапазоне 35—37°C [2] при температуре окружающей среды от 18 до 30°C и среднего рабочего объема камеры 12 л была создана специальная система терморегулирования, обеспечивающая исключительно низкий уровень электрических и механических помех. Для этого пришлось отказаться от контактных и тиристорных систем управления мощностями нагревателей. Была выбрана автоматическая система с плавным терморегулированием. В качестве нагре-

вательных элементов применены лампы накаливания, закрытые алюминиевыми радиаторами с прорезями для теплообмена.

Электрическая принципиальная схема устройства (рис. 2) состоит из мостовой измерительной схемы, усилителя, регулируемого источника питания нагревателей, нагревателей опорного теплового режима, нагревателей форсированного нагрева и блока питания. В измерительную схему входят: датчик температуры, стрелочный прибор, проградуированный в градусах Цельсия, элементы моста. Датчиком температуры является терморезистор кожного датчика, используемого в медицинских электротермометрах.

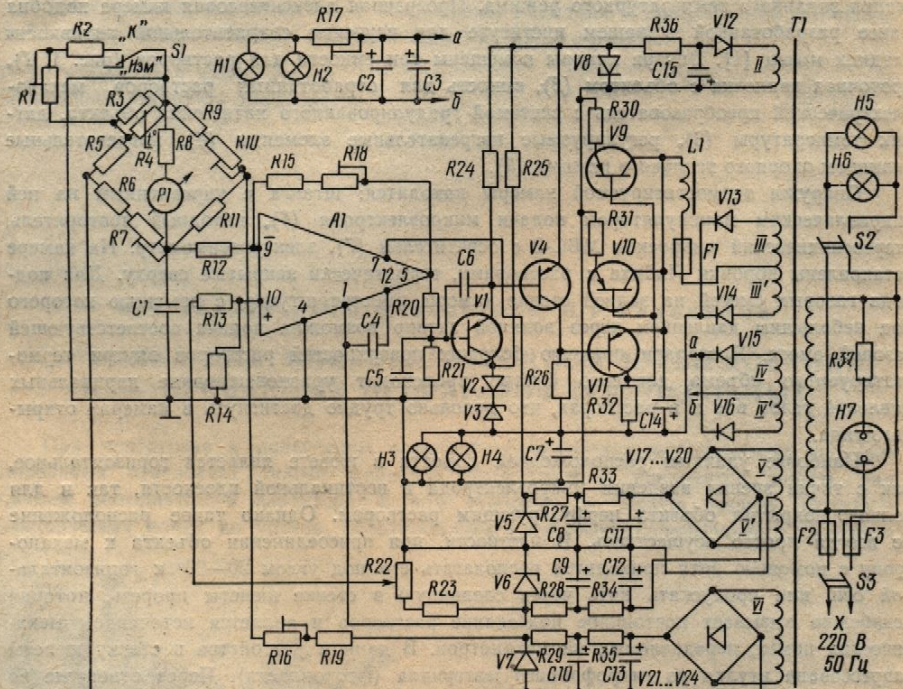


Рис. 2. Электрическая принципиальная схема установки.

Резисторы R (2, 3, 5, 6, 8, 9, 11–15, 19–21, 23–29, 32–35, 37) типа МЛТ 0,5 соответственно в кОм: 1,6; 15; 0,68; 0,12; 2; 0,12; 30; 120; 30; 2200; 0,68; 0,2; 3,3; 7,5; 2,7; 2,7, 0,22, 0,33, 0,22; 1,2; 0,39; 0,39; 0,39; 680; резистор R36 типа МЛТ-2 1,5 кОм; резисторы R30, 31 типа УЛИ 0,5 Ом; 1 Ом; резисторы R (1, 7, 10, 16, 22) — потенциометры типа ППЗ 220 Ом; 22 Ом; 220 Ом; 1 КОм; 1 кОм; резистор R18 — потенциометр типа СП1 МОм; резистор R17 — потенциометр типа ПП25 51 Ом; резистор R4 — терморезистор кожного датчика 0,815,5.182.002 медицинского термометра типа ТПМ-1. Конденсаторы C (1, 5, 6) — типа МБМ 1 мкФ (2 штуки параллельно); 0,1 мкФ; 0,05 мкФ, конденсатор C1 типа КМ 0,022 мкФ; конденсаторы C (2–3, 7, 8–13, 14, 15) типа К50-12 2000 мкФ, 25 В; 1000 мкФ, 25 В; 100 мкФ, 25 В; 200 мкФ, 50 В; 20 мкФ, 50 В. Диоды V (12, 13–16, 17–24) — типов КД105Б; Д242; Д226. Стабилитроны V (2–3, 5–6, 7, 8) — типа Д814А; Д814Б; Д814Е; Д814А. Транзисторы V (1, 4, 9–10, 11) — типа МП14; МП14; П216Б; П213Б. Микросхема A1 типа 1У7401Б. Лампы накаливания H (1–2; 3–4; 5–6) — 8 В, 15 Вт; 12 В, 15 Вт; 220 В, 15–25 Вт. Лампа неонаовая TH-02-Р10. Предохранители F (1, 2–3) типа ПМ-3 и ПМ-1. Дроссель L1 типа Д34-0,08-1. Переключатели S (1, 2–3) типа ТП1-2.

На одну диагональ моста подается стабилизированное напряжение питания со стабилитроном Д818Е, имеющего малый температурный коэффициент. С другой диагонали снимается напряжение разбалансировки моста, которое подается на усилитель, представляющий интегральную схему операционного усилителя. Переменным резистором R18, включенным в цепь обратной связи усилителя, устанавливают его коэффициент усиления, определяющий в конечном счете точность поддержания температуры. Источник питания нагревателей H3, H4 представляет собой электронный стабилизатор напряжения компенсационного типа с последовательным включением

с нагрузкой регулируемых трехполюсных обратных связей. Регулятор усиления поступает на вход опорным, полученным от пара

Источник обеспечивает плавных, не превышающих единиц элементов обладают тепловыми боянами к высокой температуре

В систему терморегулирования называемого теплового опоры теплоты, необходимой для подогрева нагревателями. Остальное включено в систему регулирования условий теплообмена и нового теплового режима улучшает пазон мощностей, подводимые к регулирования для модернизации температуры. Для ускоренного нагреваются две лампы форсированного тока через двойной тумб их отключения подводящие не создают.

Блок питания устройства и фильтрации. Полученного стабилизатора, нагревателя и измерительного моста переключатель S3, индикатором включением управления и регулирования переключатель S1 «калибрована» и служащие для градуировки устанавливают заданный температурный реостат R17, необходимый для имеет шкалу с отметками, позволяющим более оперативно регулятора достигается в течение 3

Опыт работы с предлагающим устройством показывает, что оно обладает высокими эксплуатационными характеристиками.

C

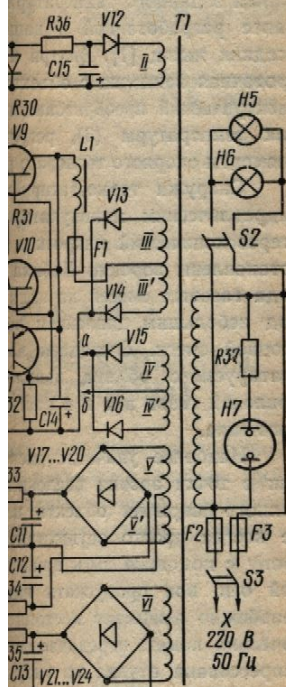
1. Нацук В. И., Кузнецов В. Ческих объектов. — Физиол.
2. Утямшиев Р. И. Радиоэлементы процессов. М.: Энергия, 1963.
3. Bonkowski I., Runion H. A. Biology. — Experientia, 1976, 32

Отдел физиологии кровообразования Института физиологии им. А. АН УССР, Киев

Литовченко, И. Р. Евдокимов

крыты алюминиевыми радиа-

рис. 2) состоит из мостовой цепи питания нагревателей, форсированного нагрева и индикатора температуры, стрелочный моста. Датчиком температуры в медицинских электротер-



ема установки.

ча MЛТ 0,5 соответственно в кОм: 2; 2,7; 0,22; 0,33; 0,22; 1,2; 0,39; R30,31 типа УЛИ 0,5 Ом; 1 Ом; 22 Ом; 220 Ом; 1 КОм; 1 кОм; потенциометр типа ПП25 51 Ом; медицинского термометра типа параллельно); 0,1 мкФ; 0,05 мкФ, -13, 14, 15) типа К50-12 2000 мкФ, 0 В. Диоды V (12, 13—16, 17—24) типа D814A; D814B; D818E; D814A. 13Б. Микросхема А1 типа 1У7401Б. Вт; 220 В, 15—25 Вт. Лампа неоновая H5, H6. Лампа накаливания H7.

анное напряжение питания со коэффициентом. С другой стороны, которое подается на усиленного усилителя. Переменный усилителя, устанавливают его в точность поддержания температуры представляет собой электронный последовательным включением

с нагрузкой регулируемых транзисторов V9, V10 и усилителем постоянного тока в цепи обратной связи. Регулирующее напряжение с выхода (R21) операционного усилителя поступает на вход усилителя постоянного тока, где оно сравнивается с опорным, полученным от параметрического стабилизатора (V2, V3).

Источник обеспечивает напряжение на нагревателях от 6 до 12 В при пульсациях, не превышающих единиц мВ. Лампы накаливания в качестве нагревательных элементов обладают тепловой инерционностью, достаточной для удовлетворения требований к высокой температурной стабильности в различных точках камеры.

В систему терморегулирования введены также лампы накаливания H1, H2 так называемого теплового опорного режима. При этом примерно половина количества теплоты, необходимой для поддержания теплового баланса камеры, создается этими нагревателями. Остальное количество теплоты поступает от нагревателей, которые включены в систему регулирования для поддержания теплового режима при изменениях условий теплообмена или температуры окружающей среды. Применение опорного теплового режима улучшает условия регулирования, позволяет увеличить диапазон мощностей, подводимых к нагревателям H3, H4, а также иметь резерв в системе регулирования для модернизации камеры без изменений в системе поддержания температуры. Для ускоренного приведения установки в рабочую готовность используются две лампы форсированного нагрева H5, H6, которые включаются в сеть переменного тока через двойной тумблер S2, находящийся за пределами камеры, так что после их отключения подводящие провода не находятся под напряжением и наводок не создают.

Блок питания устройства состоит из силового трансформатора T1, схем выпрямления и фильтрации. Полученные напряжения используются для питания регулируемого стабилизатора, нагревателей опорного теплового режима, операционного усилителя и измерительного моста. Включение установки в сеть осуществляется тумблером S3, индикатором включения служит неоновая лампа H7. Основными органами управления и регулирования являются: переменные резисторы R1, R7, R10, R16, переключатель S1 «калибровка — измерение», входящие в схему измерительного моста и служащие для градуировки шкалы стрелочного прибора, резистор R22, которым устанавливают заданный тепловой режим регулирования, а также переменный резистор R17, необходимый для установки опорного теплового режима. Резистор R17 имеет шкалу с отметками, соответствующими температуре окружающей среды, что позволяет более оперативно устанавливать тепловой режим камеры. Заданная температура достигается в течение 30—40 мин.

Опыт работы с предлагаемой установкой в течение двух лет показал, что она обладает высокими эксплуатационными свойствами и вполне отвечает своему назначению.

#### Список литературы

- Нацук В. И., Кузнецов В. В. Термостабилизированная камера для исследований биологических объектов. — Физиол. журн., 1979, 25, № 3, с. 323—324.
- Утямышев Р. И. Радиоэлектронная аппаратура для исследования физиологических процессов. М.: Энергия, 1969. 348 с.
- Bonkowski I., Runion H. A heated stage and tissue culture chamber for electrophysiology. — Experientia, 1976, 32, N 12, p. 1619—1622.

Отдел физиологии кровообращения  
Института физиологии им. А. А. Богомольца  
АН УССР, Киев

Поступила в редакцию  
18. X 1979 г.

МЕЕРСОН Ф. З.

## АДАПТАЦИЯ, СТРЕСС И ПРОФИЛАКТИКА

М.: Наука, 1981. 278 с.

Проблема адаптации животных и человека к условиям существования — одна из центральных проблем биологии. Особую актуальность приобрела она в последние десятилетия, в связи с расширением сферы деятельности человека, выходом в необычные условия среды. Исследования и использование естественных путей и механизмов фенотипической (в отличие от генотипической) адаптации организма к факторам среды являются необходимой предпосылкой и условием расширения области человеческой деятельности в экстремальных условиях.

Анализу и раскрытию механизмов долговременной фенотипической адаптации животного организма к факторам среды и посвящена рецензируемая монография, являющаяся итогом многолетних исследований автора и руководимого им коллектива учеников. Сложившаяся в итоге этих исследований концепция автора исходит из того, что формирующаяся в ответ на воздействие новых средовых факторов или ситуаций функциональная система обеспечивает лишь приблизительную, незэкономную несовершенную первоначальную адаптацию организма. Более совершенная адаптация формируется (при продолжающемся или повторном воздействии соответствующих средовых агентов) при возникновении и закреплении структурных изменений соответствующих систем организма, так называемого системного структурного следа, существенно увеличивающего физиологические ресурсы системы.

Автор исходит из того, что до начала действия на организм того или иного фактора среды отсутствует готовый, унаследованный во всех деталях адаптивный механизм. Генетическая программа организма детерминирует лишь предпосылки формирования такого механизма, которые не реализуются, если агент не подействовал. Такое взаимодействие гено- и фенотипических механизмов обеспечивает экономное, направляемое средой расходование энергетических и пластических ресурсов организма и в конечном счете — совершенство адаптации и ее перестройку по мере изменения условий существования.

Центральное место в концепции механизма адаптации, предложенной Ф. З. Мерсоном, занимает расшифровка способа воздействия увеличенной функции на генетический аппарат клеток, приводящего к формированию структурного следа. Под влиянием действующего фактора среды возрастает интенсивность функционирования соответствующих структур; при этом расход АТФ и других макроэргов увеличивается и превышает их ресурс. Снижение концентрации макроэргов активирует процесс окислительного фосфорилирования, образования цАМФ и простагландинов, повышает внутриклеточную концентрацию ионов магния и активирует синтез алифатических аминов. Все эти биохимические сдвиги обеспечивают усиление синтеза РНК и белков (процессов транскрипции и трансляции) и в конечном счете — формирование структурного следа. Концепция автора убедительно аргументирована, опирается на достаточно надежный и методически адекватный массив фактических данных, в значительной части полученных автором и его сотрудниками.

Существенно, что структурный след не сводится к простому увеличению массы органа; происходит избирательное увеличение биосинтеза и массы ключевых структур — мембранных, обеспечивающих утилизацию и ресинтез АТФ, транспорт ионов, рецепцию управляющих сигналов, а также внеклеточных (капилляры), обеспечивающих усиление кровоснабжения и интенсификацию метаболизма.

Наряду со специфическим, описанным выше механизмом адаптации всегда имеется и неспецифический компонент реакции — стресс-синдром, роль которого, по данным автора, состоит, в частности, в «стирании» старых структурных следов и в своего

рода переналадке, обусловленной низма на формирование существования рассматривается, таким образом, механизма адаптации, который устранимого раздражителя.

Оригинальной и правдоподобной является возможность адаптации организма (в зависимости от наличия раздражителя) — путем включения в центрации в крови катехоламинов, смотря на продолжающееся согласно суммированным и интегрирующим на разных уровнях.

Подавление функции симпатической нервной системы. На ткань и высвобождение простагландинов по принципу отрицательной обратной связи — расшифрование запускается при повышении концентрации катехоламинов из симпатической нервной системы антистрессорную мембранный ингибиторную протеинкиназу.

Расшифровка механизма действия стрессорным агентом открывает новые и значительные возможности для лечения различных заболеваний, связанных с повышением концентрации катехоламинов из симпатической нервной системы антистрессорную мембранный ингибиторную протеинкиназу.

Не все положения книги поддаются проверке на основе фактических материалов книги и освещения (1961, 1963, 1965, 1967, 1970). Необходимо повторять в полном объеме введения 1, 2 и 3; это и придает книге большую научную ценность, не умаляя, однако, ее достоверности.

Некоторые звенья концепции полностью расшифрованы в частности, о деталях механизма РНК и белков, о регуляции которых автор говорит в полной объективной картине.

Рассматривая механизмы (29—30), что при этом усиливается и репликация ДНК, с участием митохондрий клеток. Здесь говорится о скелетных мышцах и миокарде (где его эквивалентом, вероятно, является миокард).

Есть в книге и некоторые логичные моменты, убедительные тем, что в ней изложена одна из единиц позиций интересующих нас вопросов.

## ПРАКТИКА

ловиям существования — одна приобрела она в последние годы человека, выходом в неестественных путей и механизмах адаптации организма к фактическим расширениям области

и фенотипической адаптации рецензируемая монография, руководимого им коллектива позиция автора исходит из того, что факторов или ситуаций личную, незакономную несовершенную адаптацию формируют соответствующих средовых изменений соответствующего следа, существенно уве-

личение организма того или иного из всех деталиах адаптационной моделирует лишь предпосылки, если агент не подействует на организм и пластических ресурсов и ее перестройку по мере

и, предложенной Ф. Э. Мечниковской функции на генетико-структурного следа. Под влияние функционирования соотношения акроэргов увеличивается акроэргов активирует процесс простагландинов, повышает синтез алифатических аминов синтеза РНК и белков счете — формирование структурирована, опирается на до- фактических данных, в зна-

честву увеличению массы и массы ключевых структур АТФ, транспорт ионов, (капилляры), обеспечивающие.

Этому адаптации всегда имеется, роль которого, по данному следов и в своего

рода переналадке, обусловливающей направление высвободившихся ресурсов организма на формирование нового структурного следа, необходимого в изменившихся условиях существования для адаптации к новым агентам среды. Стресс-синдром рассматривается, таким образом, как необходимое неспецифическое звено целостного механизма адаптации, которые в определенных ситуациях (при действии сильного и неустранимого раздражителя) может превратиться в звено патогенеза.

Оригинальной и практически чрезвычайно важной является идея автора о возможности адаптации организма к, казалось бы, безвыходным ситуациям (когда невозможны устранение или уход от сильного и длительно действующего раздражителя) — путем включения антистрессорных систем, обеспечивающих снижение концентрации в крови катехоламинов и глюкокортикоидов до исходного уровня, несмотря на продолжающееся действие стрессорного агента. По данным автора, а также согласно суммированным им литературным сведениям, антистрессорные системы функционируют на разных уровнях организации живых систем.

Подавление функции стресс-реализующих систем может быть достигнуто включением центральных тормозных механизмов, в частности, как показано, ГАМК-эргической системы. На тканевом уровне аналогичную роль играет, видимо, активация и высвобождение простагландинов группы Е в ответ на высокий уровень катехоламинов по принципу отрицательной обратной связи. Хотя этот механизм не может считаться расшифрованным полностью, но несомненно, что синтез простагландинов Е запускается при повышении уровня катехоламинов и, в свою очередь, тормозит выход норадреналина из симпатических нервных окончаний. Наконец, на уровне клеточных мембран антистрессорную функцию реализует система биоантисидантов, непосредственно ингибирующая процесс перекисного окисления липидов.

Расшифровка механизма адаптации организма к сильным и длительнодействующим стрессорным агентам при включении антистрессорных систем, несомненно, открывает новые и значительные перспективы лечения и профилактики стрессорных поражений сердечно-сосудистой системы, пищеварительного тракта, а также поражений ионизирующей радиацией и злокачественных новообразований путем дополнительной экзогенной стимуляции антистрессорных систем введением антиоксидантов, простагландинов, стимуляторов ГАМК-эргической системы. Наш экспериментальный опыт подтверждает перспективность антиоксидантной терапии стрессорных повреждений.

Не все положения книги подкреплены достаточно надежным и детально рассмотренным фактическим материалом. В большой мере это вызвано ограниченностью размеров книги и освещением ряда ее положений в предыдущих монографиях автора (1961, 1963, 1965, 1967, 1968, 1973 гг). Очевидно, поэтому автор счел возможным не повторять в полном объеме обоснования ряда своих положений, изложенных в главах 1, 2 и 3; это и придает соответствующим главам несколько декларативный характер, не умаляя, однако, ни в коей мере их убедительности и значимости.

Некоторые звенья концепции автора до настоящего времени остаются еще не полностью расшифрованными, что и нашло отражение при их изложении. Речь идет, в частности, о деталиах механизма передачи сигнала повышенной функции на синтез РНК и белков, о регуляции синтеза простагландинов и т. п. Однако во всех подобных случаях автор оговаривает состояние разработки вопроса, давая, таким образом, вполне объективную картину.

Рассматривая механизм формирования структурного следа, автор указывает (с. 29—30), что при этом увеличивается скорость не только транскрипции и трансляции, но и репликации ДНК, с увеличением количества хромосомных наборов, т. е. полипloidизацией клеток. Здесь следовало бы указать, что этот процесс, характерный для скелетных мышц и миокарда, в меньшей степени для печени, нетипичен для других тканей (где его эквивалентом, видимо, выступает пролиферация клеток).

Есть в книге и небольшое число досадных опечаток. Однако в целом книга написана логично, убедительно, хорошим языком. Ее научная значимость определяется тем, что в ней изложена новая, глубокая и достаточно аргументированная гипотеза, с единичных позиций интерпретирующую такие фундаментальные понятия физиологии,

как адаптация, компенсация функций, стресс и стрессорные повреждения, адаптация, профилактика и лечение стрессорных повреждений и, что особенно важно, содержащая современный анализ лежащих в основе этих понятий физиологических механизмов. Шаг вперед в разработке теоретических проблем создает предпосылки к решению ряда практических проблем кардиологии и других отраслей внутренней медицины и неврологии.

Книга с интересом и пользой будет прочитана как специалистами — биологами, физиологами, патофизиологами, так и широкими кругами врачей и может быть использована в качестве учебного пособия к курсам физиологии, патофизиологии, кардиологии, нейрофизиологии на биологических факультетах и в медицинских институтах.

В. А. Барабой.

ЗАХАРЖЕВСКИЙ В. Б.

**НЕРВНЫЙ КОНТРОЛЬ КОРОНАРНОГО КРОВООБРАЩЕНИЯ.  
УЧАСТИЕ КОРТИКАЛЬНЫХ МЕХАНИЗМОВ  
В РЕГУЛЯЦИИ КРОВОСНАБЖЕНИЯ СЕРДЕЧНОЙ МЫШЦЫ.**

Л.: Наука, 1979. 172 с.

В течение многих десятилетий сформировалось эмпирически подкрепляемое убеждение о значительной роли психоэмоционального стресса в патогенезе ишемической болезни и, в особенности, стенокардии и инфаркта миокарда. Возможность изменения коронарного кровотока в течение стресса и условнорефлекторных реакций была констатирована в ряде специальных работ (Грегг Д., 1950, Марчетти Г., 1968, Аронова Г. М., 1970) и не вызывает сомнений. Однако физиологическая роль прямого коркового контроля кровоснабжения миокарда, независимо от регуляции деятельности сердца, никогда не была доказана либо теоретически обоснована. Поэтому публикация рецензируемой монографии является событием, обострившим старые проблемы. Автор справедливо считает, что влияние высших отделов центральной нервной системы может реализоваться только через базовые механизмы регуляции тонуса коронарных сосудов. В монографии приведены некоторые литературные данные о роли ауторегуляторных, метаболических механизмов и вегетативных нервов в регуляции тонуса коронарных сосудов. Однако читатель не сможет получить четкого представления о механизмах регуляции коронарного кровообращения, в особенности, об их удельной роли и взаимодействии. Данные различных авторов изложены фрагментарно, без глубокого критического анализа. Как правило, приводятся различные точки зрения, в некоторых случаях отдано предпочтение одной из них без убедительной аргументации. Так, например, обсуждаются различные варианты действия симпатических нервов на тонус коронарных сосудов, но не расшифровывается взаимодействие между бета-адренергическими, альфа-адренергическими, холинергическими и метаболическими механизмами регуляции. Утверждение со ссылкой на работы Е. Б. Новиковой о том, что вазодилататорное действие симпатических нервов превосходит по интенсивности метаболический эффект, не аргументировано. Механизмы метаболической регуляции рассматриваются в монографии поверхностно. В числе метаболитов, расширяющих коронарные сосуды, упоминаются только аденоzin и фосфор, а роль углекислоты, молочной кислоты, калия и концентрации водородных ионов не обсуждается.

При описании роли блуждающих нервов рассмотрена возможность вторичного изменения коронарного кровотока в зависимости от деятельности сердца, но не приведены конкретные данные о вагусных реакциях сосудов. Напротив, без критического анализа приведены противоречивые данные о холинергических симпатических вазодилататорах.

Центральные механизмы регуляции коронарного кровообращения характеризуются на основании результатов экспериментов с электрическим раздражением и экстирпацией коры головного мозга, раздражением бульбарных центров и гипоталамуса. Недостатки

этих экспериментов упомянуты: изучения центрального кровообращения методом регистрации коронарного кровообращения введенной исключительно коронарного кровообращения.

Заслуживают уважения попытки провести исследование автором разработанной регистрацией коронарного кровообращения и технику экспериментации, они уступили изотопным методам и вращения не применяется в виде непрерывной синхронизации в полостях сердца не от контролирована в карда дистальное давление коронарных сосудов и может перерождении тканей было немало курьезов, ныне после перерезки коронарной области.

В выполненных автором кровотока при помощи сильном звуковом раздражении коронарной электростимул рефлексов на эти раздражители уменьшение коронарными эмоциональными и увеличением частоты коронарного рефлекса было нарушено. Установлено, что стабильную установку условнорефлекса. Положительные для заключения, что «его кровотока, частоты характеристики и путей условнорефлекторной несовпадения во времени и артериального затраты» умозрительный, не определялись. Различия в данных об уменьшении сокращений после введения сосудов после введения

В проведенных исследованиях условиями применения «кортикальных» механизмов рассматривается как серию исследований при различных вариантах изменений, в том числе и уменьшении номерностей не установлены.

ные повреждения, адаптация, особенно важно, содержащая физиологических механизмов, предпосылки к решению ряда внутренней медицины и невро-

к специалистами — биологами, врачей и может быть используя патофизиологии, кардиоло- медицинских институтах.

В. А. Барабой.

## КРОВООБРАЩЕНИЯ. ХАНИЗМОВ РДЕЧНОЙ МЫШЦЫ.

ически подкрепляемое убеждение о генезе ишемической болезни — возможность изменения коронарных механизмов была констатирована в Аронова Г. М. (1970) и не выдерживала контроля кровоснабжения, никогда не была доказана. Известна монография, явившаяся ведущим исследованием, что влияние изоморфизма только через базомонографии приведены неконтролируемых механизмов и вен. Однако читатель не сможет коронарного кровообращения, различных авторов изложено правило, приводятся различия одной из них без убедительных вариантов действия симпатиков, выявляется взаимодействие симпатическими и метаболическими механизмами работы Е. Б. Новиковой оправдано по интенсивности метаболической регуляции болит, расширяющих коронарные сосуды, углекислоты, молочной кислоты, кислоты.

возможность вторичного изоморфизма сердца, но не приведены в, без критического анализа патологических вазодилататорах, кровообращения характеризуются измежением и экстирпацией гипоталамуса. Недостатки

этих экспериментов упомянуты, но основные их результаты автором принятые. Перспективы изучения центральной регуляции коронарного кровообращения автор видит в использовании метода условных рефлексов. Монография является итогом большой работы, проведенной исключительно с целью доказательства условнорефлекторной регуляции коронарного кровообращения и роли ее нарушений в патологии.

Заслуживают уважительного отношения методические разработки, которые позволили провести исследования в хронических опытах на собаках. В сотрудничестве с инженерами автор разработал термоэлектрические, фотоэлектрические и реографические методы регистрации коронарного и миокардиального кровотока, конструкции датчиков, их вживление и технику экспериментов. К сожалению, эти методы не дают количественной информации, они уступили место более совершенным электромагнитным, ультразвуковым и изотопным методам и в современных лабораториях для изучения коронарного кровообращения не применяются. Большим методическим недостатком работы является отсутствие непрерывной синхронной регистрации диастолического артериального давления, давления в полостях сердца и, главное, потребление миокардом кислорода. Методически не от контролирована возможность нарушения иннервации коронарных сосудов и миокарда дистальнее датчика. Известно, что первые сплетения проходят в adventции коронарных сосудов и могут повреждаться под датчиком, дегенерировать при фиброзном перерождении тканей стенки сосудов. В практике изучения коронарного кровообращения было немало курьезов, когда «нейрогенные вазомоторные реакции» были зарегистрированы после перезагрузки коронарной артерии в практически дениервированной сосудистой области.

В выполненных автором экспериментах получены данные об увеличении коронарного кровотока при кормлении животных, электрическом раздражении кожи, сверхсильном звуковом раздражении, стимуляции синокаротидных рефлексогенных зон, локальной электростимуляции стенки коронарной артерии и при выработке условных рефлексов на эти раздражители. В некоторых случаях сильные раздражители вызывали уменьшение коронарного кровотока. Все воздействия сопровождались выраженным эмоциональными реакциями животных, повышением артериального давления и увеличением частоты сокращений сердца. Воспроизведение синокаротидного прессорного рефлекса было наименее «эмоциональным». Несмотря на большое количество сочетаний условных и безусловных раздражителей (более 400), не удалось вызвать стабильную условнорефлекторную реакцию на базе прессорного синокаротидного рефлекса. Положительные результаты в других случаях использованы как аргументы для заключения, что «несмотря на односторонний характер изменений коронарного кровотока, частоты сердцебиений и артериального давления, различия временных характеристик и путей реализации позволяют говорить об известной независимости условнорефлекторной регуляции коронарного кровоснабжения» (с. 67). Некоторое несовпадение во времени изменений коронарного кровотока, частоты сердечных сокращений и артериального давления при этом рассматривается как «шизокинез» и доказательство независимости регуляции коронарного кровообращения. Конечно, это «шизокинез» умозрительный, так как ни потребление кислорода миокардом, ни работа сердца не определяются. Различные пути реализации эффектов констатированы на основании данных об уменьшении прироста либо отсутствии изменений частоты сердечных сокращений после введения атропина и условнорефлекторного расширения коронарных сосудов после введения пропранолола.

В проведенных исследованиях не получены сколько-нибудь надежные доказательства условнорефлекторной, независимой от деятельности сердца регуляции коронарного кровообращения. Но автор развивает представление о доминирующей роли «кортикальных» механизмов в регуляции коронарного кровообращения, а их нарушения рассматривает как основу патогенеза ишемической болезни сердца и проводит серию исследований при нарушении высшей нервной деятельности. Описаны различные варианты изменений коронарного кровотока в условных и безусловных реакциях, в том числе и уменьшение коронарного кровотока. Каких-либо строго определенных закономерностей не установлено.

У собак в состоянии невроза описано повышение чувствительности к катехоламинам и усиление их констрикторного влияния на коронарные сосуды. Выделены три фазы действия катехоламинов на коронарные сосуды. Первую фазу автор «связывает» с гемодинамическим эффектом (увеличение кровотока), вторую — с местным действием на стенку сосуда (уменьшение кровотока) и третью — с метаболическим эффектом (увеличение кровотока). К числу факторов, способствующих изменению реакций на катехоламины при неврозах, отнесены увеличение поступления катехоламинов в кровь, нарушения их обмена в ткани миокарда и симпатотонический сдвиг нервных регуляторных влияний на сердце. Каких-либо фактических данных, подтверждающих упомянутое разделение действия катехоламинов на фазы либо оценку изменений реактивности коронарных сосудов в монографии нет. Указано лишь, что «действие этих факторов оказывается эффективным только в сочетании с местной ирритацией, создаваемой нахождением датчика на коронарной артерии» (с. 123). В опытах со стимуляцией интерорецепторов раздуванием баллона в прямой кишке на фоне нарушения высшей нервной деятельности автор наблюдал уменьшение реакций коронарного кровотока, увеличение порога реакций, появление «уравнительной и парадоксальной фаз», диссоциацию различных компонентов реакции и ее извращение в части случаев. Интересно, что реакции на пережатие сонных артерий при этом мало изменились.

Наиболее определенные устойчивые результаты были получены в опытах с образованием условных реакций на прямое электрическое раздражение стенки коронарной артерии. У трех собак из четырех условные и безусловные реакции вызывали уменьшение коронарного кровотока. Если исключить артефакты, то уменьшение коронарного кровотока может быть результатом сужения сосудов, увеличения их экстраваскулярного сжатия, уменьшения потребности миокарда в кислороде и др. Автор не располагал данными для анализа природы уменьшения коронарного кровотока. В последние годы установлено, что альфа-адренергическое сужение коронарных сосудов после блокады М-холинорецепторов и бета-адренорецепторов может привести к некоторому ограничению коронарного кровотока и снижению насыщения крови коронарного синуса кислородом. Автор, однако, не воспользовался альфа-адреноблокаторами для установления роли альфа-адреноергических механизмов в уменьшении коронарного кровотока.

Несмотря на очевидную ненадежность критериев нарушения кровоснабжения миокарда, в монографии очень смело развиваются представления о кортикальных механизмах генеза ишемической болезни сердца, о нарушении регуляции коронарного кровоснабжения как ее патогенетической основе. Гипотетически и клиницисты, и экспериментаторы не раз обсуждали эту патогенетическую схему. Но в монографии В. Б. Захаржевского нет никаких новых данных, развивающих эту гипотезу. В частности, не приведены доказательства, что уменьшение кровотока достигало уровня, при котором кровоснабжение оказывалось неадекватным потребностям миокарда, и возникала коронарная недостаточность. Приведена одна лишь электрокардиограмма в двух неизвестных отведениях, где прослеживается инверсия зубца *T* в течение реакции. Инверсия зубца *T* у собак может возникать при перемене положения тела и в других реакциях и не является надежным критерием ишемии. Отсутствие смещения сегмента *S—T* позволяет полагать, что в реакциях со снижением коронарного кровотока, абсолютная величина которого неизвестна, не было ишемии и сохранялось адекватное кровоснабжение миокарда.

В клинических исследованиях, в том числе в прижизненных исследованиях с применением ангиографии, установлено, что патогенетической основой ишемической болезни сердца является атеросклероз и тромбоз коронарных сосудов. Установлена роль эмоциональных и физических напряжений, катехоламинов, изменений метаболизма и др. (Чазов Е. И. и сотр. 1976. Швацабая И. К., 1978; Ганелина И. Е., и сотр., 1978; Малая Л. Т., 1979; Грицюк Л. М. и сотр. 1979 и др.). В отдельных случаях при ангиографии констатировано функциональное уменьшение диаметра крупных коронарных артерий и даже прекращение их контрастирования, что рассматривается как спазм. Расшифровка патогенеза «спазма коронарных сосудов» является

чрезвычайно важной проблемой, требующей дальнейших исследований для анализа карда.

Весь комплекс исследований содержит много ошибок. Монография привлекается как описание впечатлений автора. Лишь в отдельных случаях хранятся в процентах, а кровотока в состоянии животных в течение суток приводится уменьшение прироста на 10% во внимание, что исходно

Много частных методических ошибок в монографии. Примечание о том, что продолжительность пульса и длительность интервала между сердечными сокращениями не были учтены автором, не соответствует действительности.

Воспроизведение условных рефлексов сопровождается засечками на карте, что свидетельствует о деятельности сердца. Коррекция длительности сердца и метаболических возможностей для разделения коронарных сосудов, и последующая коррекция коронарного кровообращения, не соответствует действительности. Основное содержание работы, описание условнорефлекторной рефлексии, не было учтено автором.

Теоретически и методически монография не соответствует реальности. Не смотря на это, что монография не содержит данных автора и фактические данные о поведении животных коронарной артерии предстают только для критического анализа.

звитительности к катехоламинам сосуды. Выделены три фазу автор «связывает» орую — с местным действием с метаболическим эффектом щих изменению реакций нания катехоламинов в кровь, еский сдвиг первых регулянных, подтверждающих упомянуто оценку изменений реакции лишь, что «действие этих с местной ирритацией, соз. с. 123). В опытах со стимулом кишке на фоне нарушения реакций коронарного кровью и парадоксальной фаз», щение в части случаев. Ин- этом мало изменились.

и получены в опытах с об- раздражение стенки коро- кровоснабжения сосуды вызывали факты, то уменьшение коро-ния сосудов, увеличения миокарда в кислороде уменьшения коронарного энергическое сужение коро- адренорецепторов может ока и снижению насыщения воспользовался альфа-адре- нических механизмов в умень-

нарушения кровоснабжения явления о кортикальных ме- жни регуляции коронарного чески и клиницисты, и экспе- схему. Но в монографии щих эту гипотезу. В част- отока достигало уровня, при- бенностям миокарда, и воз- шь электроэнергия в положения тела и в других сутствие смещения сегмента коронарного кровотока, абсо- хранилось адекватное кро-

жизненных исследованиях с ской основой ишемической прых сосудов. Установлена инов, изменений метаболиз- Ганелина И. Е., и сотр., 1978; дельных случаях при ангио- диаметра крупных коро- рования, что рассматривая- парных сосудов» является

чрезвычайно важной проблемой. К сожалению, в монографии нет сколько-нибудь убедительных данных для анализа роли сосудистых реакций в патогенезе ишемии миокарда.

Весь комплекс исследований проведен со значительным количеством методических ошибок. Монография практически не содержит количественных данных и воспринимается как описание впечатлений автора. Статистический анализ не использован. Лишь в отдельных случаях характеристика реакций дана по изменениям частоты пульса в процентах, а кровотока в микровольтах. Мало учитывались изменения исходного состояния животных в течение опыта. После введения атропина, например, констатировано уменьшение прироста частоты сердечных сокращений в реакциях, но не приведено внимание, что исходная частота резко возросла.

Много частных методических ошибок. Так, например, ошибочно рассчитана скорость распространения пульсовой волны в коронарной артерии. Расчет проведен по продолжительности интервала от зубца *O* электрокардиограммы до начала симметрической кривой. Длина коронарных сосудов невелика, и основные изменения этого интервала происходят за счет колебаний периода изометрического сокращения в результате изменений сократимости миокарда и диастолического давления. Эти изменения не были учтены автором.

Воспроизведение условных рефлексов, включающих эмоциональные реакции, не-пременно сопровождаются значительными системными изменениями кровообращения и деятельности сердца. Коронарное кровообращение теснейшим образом связано с деятельностью сердца и метаболизмом миокарда. Автор не располагал методическими возможностями для разделения безусловно- и условнорефлекторных реакций сердца и коронарных сосудов, и поэтому выводы о независимой условнорефлекторной регуляции коронарного кровообращения нельзя считать сколько-нибудь обоснованными. Основное содержание работы, таким образом, составляет неаргументированное обсуждение условнорефлекторной регуляции коронарного кровообращения.

Теоретически и методически монография соответствует уровню 50-х и начала 60-х годов. Несмотря на это, с нашей точки зрения, нельзя категорически утверждать, что монография не содержит никакой полезной информации. Некоторые соображения автора и фактические данные могут быть предметом дискуссионного обсуждения. Данные о поведении животных и характере реакций кровообращения при раздражении коронарной артерии представляют некоторый интерес. Но эта информация пригодна только для критического анализа в узком кругу специалистов.

А. И. Хомазюк,

## РЕФЕРАТЫ

УДК 616.12—008.3—07

Диагностика логической № 5, с. 640—

УДК 616.124—008.3—07

**Сократительная функция сердца и липидный обмен в миокарде при дозированном ограничении коронарного кровоснабжения.** Орлова Н. Н., Гаркуша Л. Н., Братусь В. В.—Физиол. журн., 1981, т. 27, № 5, с. 617—622.

Развитие коронарной недостаточности, подтвержденное выраженным изменениями ЭКГ, сопровождается закономерным ухудшением сократительной активности сердца и значительным достоверным накоплением в миокарде СЖК. Однако прямой корреляционной связи между показателями функционального состояния сердца и изменениями обмена липидов в нем не выявлено. Накопление СЖК в миокарде не является единственным патогенетическим фактором нарушения сократительной функции сердца при развитии коронарной недостаточности. Табл. 2. Библиогр. 15.

УДК 612.172

**Эффекты инотропных воздействий на папиллярную мышцу кролика при изменениях ее начальной длины и температуры.** Казьмин С. Г., Изаков В. Я., Проценко Ю. Л., Бершицкая О. Н., Бляхман Ф. А.—Физиол. журн., 1981, т. 27, № 5, с. 623—627.

Амплитуду силы изометрических сокращений папиллярной мышцы кролика регистрировали при изменении концентрации внеклеточного кальция и парной стимуляции. Получены кривые доза — эффект, которые свидетельствуют об увеличении чувствительности папиллярной мышцы к инотропным воздействиям при уменьшении ее начальной длины. Изменение начальной длины папиллярной мышцы оказывало аналогичное действие на инотропные эффекты уменьшения температуры раствора. Ил. 1. Библиогр. 14.

УДК 616.1:612.127—008:616.13—004.6—092

**Сократительная функция миокарда левого желудочка сердца при экспериментальной гиперхолестеринемии.** Стroganova Н. П., Шаваран С. С.—Физиол. журн., 1981, т. 27, № 5, с. 628—632.

Исследовали показатели липидного обмена, системной гемодинамики и сократительной функции миокарда у 20 интактных животных и 24 кроликов с экспериментальной гиперхолестеринемией. У животных с гиперхолестеринемией отмечена зависимость изменений параметров, характеризующих сократительную функцию миокарда от уровня АД. Изменения индексов сократимости ( $t-dp/dt_{max}$ ,  $P-dp/dt_{max}$ ,  $V_{pm}$ ) свидетельствуют о некотором снижении сократительной функции миокарда уже на ранних этапах развития экспериментальной гиперхолестеринемии. Изменение индексов сократимости в группе экспериментальных животных с повышенным уровнем АД отражает разнонаправленные влияния на сократительную функцию миокарда повреждающего действия избытка холестерина (снижение  $V_{pm}$ ) и положительного инотропного действия высокого АД (повышение  $dp/dt_{max}$ ). Табл. 3. Библиогр. 16.

УДК 615.217.22.017:612.127.2

**Действие адренергических веществ на сердечную деятельность и электрическую активность мозга кроликов при гипоксии.** Акопян Н. С., Бакладжян О. Г., Вартанян Г. С., Огмранян С. К.—Физиол. журн., 1981, т. 27, № 5, с. 633—639.

Сдвиги сердечной деятельности и электрической активности мозга в различные фазы гипоксии свидетельствуют об изменении чувствительности центральных и периферических  $\beta$ -адренорецепторов. Сравнительный анализ влияния  $\alpha$ - и  $\beta$ -адренергических веществ показал более сильное воздействие их на сердечную деятельность и электрическую активность мозга в условиях гипоксии. При этом до «подъема» действия изадрина было более выраженным, чем пропранолола, однако в условиях «высоты» повышался и эффект блокирующего влияния пропранолола. При гипоксии выявлялось возбуждающее действие изадрина на электрическую активность коры больших полушарий. Ил. 2. Библиогр. 21.

УДК 612.13+  
Спонтанная мышь при вьев А. И

Исследование мышечного постганглиофизата. С амплитуды увеличение в ответ на приводят к ий, значи судистого вод, что из оказывать ния чувств сигналам. I

УДК 616.073  
Зависимость териального с. 654—657

В остро интрааорт тер в бедр матической палами. Р зонда, нес что ампли условленно иняется в о проблема зование лиогр. 11.

При изу  
удается сво  
ность. Для  
транспланта  
ную реакци  
ванную пагр  
модинамики  
удавалось с  
транспланта

УДК 612.172  
Морфологич  
крысят в ю  
журн., 1981,

В резу  
дования ми  
миокарда т  
и нарушени  
тительного  
триклеточн  
наблюдается  
упорядочен  
культуре пр  
подобных к  
рованных  
взаимодейс  
через приле

УДК 616.12—068.46—07—039.11

**Диагностика скрытой недостаточности сердечного трансплантата при биологической консервации.** Баринов Э. Ф.—Физиол. журн., 1981, т. 27, № 5, с. 640—644.

При изучении функционального состояния донорского сердца не всегда удается своевременно выявить скрытую левожелудочковую недостаточность. Для уточнения характера нарушений функционального состояния трансплантата и оценки его компенсаторных возможностей, изучали ответную реакцию левого желудочка сердечно-легочного препарата на дозированную нагрузку сопротивлением. По результатам реакции параметров гемодинамики и сократительной способности миокарда левого желудочка удавалось судить о возникновении скрытой недостаточности сердечного трансплантата. Табл. 1. Библиогр. 15.

УДК 612.172

**Морфологическая характеристика миокардиальных клеток новорожденных крысят в культуре.** Прончук Н. Ф., Хомутовский О. А.—Физиол. журн., 1981, т. 27, № 5, с. 645—649.

В результате светооптического и электронномикроскопического исследования миокардиальных клеток в культуре показано, что при диссоциации миокарда трипсином происходят изменения формы изолированных клеток и нарушения их ультраструктуры, что выражается в дезорганизации сократительного аппарата, изменении формы ядра и передислокации ряда внутриклеточных структур. При культивировании клеток в виде монослоя наблюдается частичное восстановление сократительного аппарата клеток и упорядочение внутреннего строения. Наряду с регенерацией миоцитов в культуре происходит, по-видимому, дифференциация незрелых миобластоподобных клеток. Между клетками в культуре не обнаружено специализированных контактов, аналогичных вставочным дискам. Межклеточные взаимодействия и синхронизация сокращений осуществляются, вероятно, через прилегающие участки плазматических мембран. Ил. 8. Библиогр. 9.

УДК 612.13+612.73+612.59

**Спонтанная и вызванная сократительная активность сосудистых гладких мышц при различных температурных режимах перфузата.** Соловьев А. И.—Физиол. журн., 1981, т. 27, № 5, с. 650—653.

Исследовали спонтанную активность и сократительные реакции первично-мышечного препарата воротной вены крыс на электрическую стимуляцию постганглионарных симпатических волокон при различной температуре перфузата. Снижение температуры перфузата сопровождается увеличением амплитуды и уменьшением частоты фазовых сокращений, значительным увеличением прироста тонического напряжения сосудистых гладких мышц в ответ на электрическую стимуляцию. Повышение температуры перфузата приводит к снижению амплитуды и увеличению частоты фазовых сокращений, значительно меньшему приросту уровня тонического напряжения сосудистого препарата в ответ на электрическую стимуляцию. Делается вывод, что изменения температуры тканей в физиологических пределах могут оказывать как прямое действие на сосудистый тонус, так и косвенное, изменения чувствительность гладких мышц сосудов к центральным нейрогенным сигналам. Ил. 2. Библиогр. 11.

УДК 616.073.173

**Зависимость амплитуды искусственной интрааортальной реограммы от артериального давления.** Потебия А. В.—Физиол. журн., 1981, т. 27, № 5, с. 654—657.

В острых опытах на наркотизированных кошках производили быстрое интрааортальное введение заданного объема крови (0,5—1,0 мл через катетер в бедренной артерии) в фазу диастолы желудочков посредством автоматического устройства, запускаемого кардиогенными реографическими сигналами. Регистрировали интрааортальную реографическую волну, обусловленной автоматическим введением стандартного объема крови, изменяется в обратной зависимости от уровня системного АД. Рассматриваются проблемы экспериментальной и практической реографии в связи с использованием ее для определения производительности сердца. Ил. 1. Библиогр. 11.

УДК 615.384-611.018.41

**Гистологические изменения во внутренних органах животных после кровопотери и переливания модифицированного глобина и желатинолия.** Лобунец К. А.—Физиол. журн., 1981, т. 27, № 5, с. 683—687.

После острой массивной кровопотери и многократных внутривенных введений плазмозаменителей (модифицированного глобина и желатинолия) гистологически выявленные во внутренних органах собак умеренно выраженное кровенаполнение сосудов, гипертрофия мышечных волокон миокарда, гиперплазия пульпы и фолликулов селезенки, активация ретикулоэндотelialной системы носят функциональный характер и обратимы. Отсутствие деструктивных нарушений ядерных элементов клеток, дистрофии тканей и других патологических изменений во внутренних органах свидетельствует о том, что токсическим действием изучаемые плазмозаменители не обладают. Ил. 4. Библиогр. 12.

УДК 612.741.61:61

**Динамика кислородперемии скелетных мышц.** Онопчук Ю. С.—Биохимия кислорода, 1981, № 5, с. 658—662.

В экспериментальных парах усиление диффузии не способствует, а, напротив, уменьшает кислородперемицию скелетных мышц. Также, что при нормике кислорода полученные результаты использования диффузии не зависят от роли дефицита кислорода. Ил. 3. Библиогр. 12.

УДК 616.831.4:616.12—009.86

**Особенности гемодинамики у больных с гипоталамическим синдромом.** Ващенко Е. А., Доломан Л. Б.—Физиол. журн., 1981, т. 27, № 5, с. 688—691.

Методом тетраполярной грудной реографии исследовали центральную гемодинамику у больных с вегетативно-сосудистым гипоталамическим синдромом. Выявлены два типа гемодинамических изменений. При усиении функциональной активности гипоталамуса наблюдается повышение общего периферического сопротивления и системного артериального давления на фоне некоторого снижения ударного и минутного объемов крови. Ослабление функции гипоталамуса характеризуется отчетливым учащением сердечных сокращений и увеличением минутного объема крови обычно при сниженном общем периферическом сопротивлении и артериальном давлении. Полученные данные способствовали пониманию патогенетических механизмов кардиоваскулярных расстройств при гипоталамических синдромах. Табл. 1. Библиогр. 14.

УДК 612.13—612.14

**Кинетический анализ с адренорегуляцией в анатрикиси.** С. 663—667.

На основе кинетического анализа давления артерии кинетические параметры Адреналина и Гипоталамуса, а также в малом. Изменение обоих кругов кровообращения характеризуют катехоламиновыми протекающими соотношениями в различных режимах функционирования мозга с реакциями на давление.

УДК 612.810

**О влиянии инсулина на гладкомышечные клетки бедренной артерии.** Гуревич М. И., Евдокимов И. Р., Фролькис И. В.—Физиол. журн., 1981, т. 27, № 5, с. 701—703.

Исследовали влияние различных концентраций инсулина на гладкомышечные клетки бедренной артерии крыс. Установлено, что инсулин вызывает расслабление колыцевых препаратов сосуда, увеличивающееся с повышением концентрации гормона. Показана зависимость этого эффекта от температуры. Высказывается предположение о связи развивающегося под действием инсулина расслабления гладких мышц с метаболизмом гладкомышечных клеток сосудов. Ил. 3. Библиогр. 13.

УДК 617—001.21—002.9

**Влияние объема легенного после Физиол. журн.**

Изучали влияние объема легенного после Физиол. журн. на кровообращение и выделение кислорода. Установлено, что с 13—15 мин кислородного выброса, повышение кровообращения на 60 мл/(кг·мин) не обратимо.

УДК 612.172.2:612.273.2—092.9

**Особенности регуляции сердечного ритма у крыс с различной устойчивостью к гипоксии.** Маркова Е. А., Вадзюк С. Н.—Физиол. журн., 1981, т. 27, № 5, с. 703—706.

В опытах на крысах с различной устойчивостью к острой гипоксической гипоксии методом математического анализа исследовано влияние вегетативной нервной системы на сердечный ритм. Выявлены различия в исходном состоянии нейрогуморальной регуляции сердечного ритма у исследованных животных. Установлено, что у высокоустойчивых к гипоксии животных по сравнению с низкоустойчивыми вегетативный баланс сдвигнут в парасимпатическую сторону. Математический анализ сердечного ритма может быть использован для прогнозирования устойчивости животных к острому недостатку кислорода. Ил. 1. Табл. 1. Библиогр. 16.

УДК 616.127—005

**Изменения сис-**

тических коронарных артерий у крыс с различной устойчивостью к гипоксии. В остром опыте на крысах с различной устойчивостью к гипоксии изучены коронарные артерии. Установлено, что у крыс с высокой устойчивостью к гипоксии коронарные артерии имеют более выраженную коронарную перфузию, чем у крыс с низкой устойчивостью к гипоксии. Установлено, что у крыс с высокой устойчивостью к гипоксии коронарные артерии имеют более выраженную коронарную перфузию, чем у крыс с низкой устойчивостью к гипоксии. Установлено, что у крыс с высокой устойчивостью к гипоксии коронарные артерии имеют более выраженную коронарную перфузию, чем у крыс с низкой устойчивостью к гипоксии.

УДК 612.741.61:612.261:612.27.2

**Динамика кислородного режима сосудистой стенки при функциональной гиперемии скелетных мышц и артериальной гипоксемии.** Берштейн С. А., Онопчук Ю. Н., Соловьев А. И.—Физiol. журн., 1981, т. 27, № 5, с. 658—662.

В экспериментах на имитационной математической модели с сосредоточенными параметрами показано, что связанное с физической нагрузкой усиление диффузии кислорода из крови к скелетным мышцам не только не способствует росту притока кислорода к сосудистым гладким мышцам, а, напротив, условия их снабжения кислородом в переходном периоде от покоя к мышечной деятельности существенно ухудшаются. Установлено также, что при мышечной деятельности и при артериальной гипоксемии динамика кислородного режима сосудистой стенки существенно различается. Полученные результаты служат дополнительным аргументом против использования данных о сосудистых реакциях при гипоксии для трактовки роли дефицита кислорода в формировании рабочей гиперемии скелетных мышц. Ил. 3. Библиогр. 18.

УДК 612.13—612.213:615:711.7

**Кинетический анализ взаимодействия адреналина, норадреналина и изадрина с адренорецепторами малого и большого кругов кровообращения.** Навакатикян М. А., Цыбенко В. А.—Физiol. журн., 1981, т. 27, № 5, с. 663—667.

На основании данных о влиянии адреналина, норадреналина и изадрина на давление в большом и малом кругах кровообращения рассчитывали кинетические константы реакции катехоламинов с адренорецепторами. Адреналин и норадреналин повышали давление в обоих кругах кровообращения, а изадрин снижал давление в большом круге, но повышал его в малом. Изадрин проявлял максимальное средство с адренорецепторами обоих кругов кровообращения, норадреналин — минимальное. Константы, характеризующие максимально возможную реакцию ( $R_m$ ) для разных катехоламинов по величине не отличались. Реакции со всеми адренорецепторами протекали по уравнению реакции 1 порядка. На основании сходства соотношения констант предполагается, что различные эффекты стимуляции  $\beta$ -рецепторов большого и малого кругов обусловлены различием в режимах функционирования механизма сопряжения адренергического стимула с реакцией сосудистых клеток. Табл. 1. Библиогр. 13.

УДК 617—001.21—036.882—08—07:616.12—008.1—072.7

**Влияние объемной скорости перфузии на гемодинамику организма, оживленного после длительной фибрилляции сердца.** Лановенко И. И.—Физiol. журн., 1981, т. 27, № 5, с. 668—675.

Изучали влияние объемной скорости перфузии на гемодинамику собак, оживленных с помощью донорского искусственного кровообращения после 13—15 мин клинической смерти, вызванной электротравмой. Применение высоких скоростей перфузии, превышающих уровень нормального сердечного выброса, обеспечивает относительно наиболее благоприятное восстановление кровообращения, а при реанимации со скоростью перфузии менее 60 мл/(кг·мин) развиваются значительные гемодинамические расстройства необратимого характера. Ил. 3. Табл. 1. Библиогр. 16.

УДК 616.127—005.4—092.9:612.13

**Изменения системной и регионарной гемодинамики при дозированном ограничении коронарного кровотока.** Мудрая И. С.—Физiol. журн., 1981, т. 27, № 5, с. 676—682.

В острых опытах на наркотизированных собаках в условиях закрытой грудной клетки коронарный кровоток (КК) в бассейне левой огибающей коронарной артерии ограничивали на 70 и 90 %. Изменения показателей системной и регионарной (сосуды конечности) гемодинамики носили индивидуальный характер, а также зависели от степени нарушения КК. При 70 % ограничения КК существенных сдвигов показателей системной гемодинамики не наблюдалось, но отмечено снижение регионарного сосудистого сопротивления конечности и возрастание величин сосудистых реакций на действие адреналина. При 90 % ограничении КК выявлено снижение системного артериального давления на 18 % от исходного. Отмечена тенденция к снижению выраженности прессорного синокаротидного рефлекса в обеих группах исследований. Табл. 3. Библиогр. 18.

УДК 612.141

**Гемодинамические эффекты дигазола и папаверина в условиях адренергической блокады при хронической экспериментальной гипертензии.** Казак Л. И.—Физиол. журн., 1981, т. 27, № 5, с. 707—709.

Изучали влияние папаверина и дигазола на деятельность сердца и системную гемодинамику в условиях адренергической блокады при хронической питуитриновой экспериментальной гипертензии. Гипотензивное действие папаверина и дигазола обусловлено снижением общего периферического сопротивления. В условиях блокады альфа-адрепрецепторов папаверина и дигазол не вызывают дальнейшего снижения артериального давления. На фоне полной блокады бета-адреноструктур гипотензивное действие папаверина и дигазола не отличается от их действия до введения аниприлина и тоже обусловлено уменьшением общего периферического сопротивления. Табл. 1. Библиогр. 14.

УДК 612.824.2—007.81:612.766.1

**Влияние гипоксических тренировок на показатели реоэнцефалограммы у спортсменов.** Красников Н. П., Агаджанян Н. А., Ефименко А. М., Ширяев В. В.—Физиол. журн., 1981, т. 27, № 5, с. 709—712.

Показана динамика основных параметров реоэнцефалограммы у спортсменов при вдыхании гипоксической газовой смеси в течение 5 нед. Выявлены достоверные изменения временных и амплитудных показателей реоэнцефалограммы. К концу гипоксических тренировок отмечено возрастание периода реоволны и его фаз. На основе экспериментальных данных делается вывод об адаптивных изменениях гемодинамики мозга под влиянием специальных гипоксических тренировок. Ил. 1. Табл. 1. Библиогр. 11.

УДК 616.127—005.8—073.97

**Устройство для снятия электрокардиотопограммы.** Бугаенко В. В.—Физиол. журн., 1981, т. 27, № 5, с. 713.

Описана конструкция пояса с 36 электродами для снятия ЭКТГ. Для обеспечения непрерывного надежного контакта с поверхностью кожи электроды подпружинены и выполнены в виде корпуса с рабочей контактной поверхностью, шток которого, отжимаясь пружиной, перемещается в отверстии прижима, закрепленного на пояске. Для подключения регистрирующего аппарата к поясу с электродами используется приставка с клавишным переключателем. Ил. 3.

УДК 612.821

**Установка для микроэлектродных исследований изолированных препаратов теплокровных.** Назарук И. А., Литовченко Л. П., Евдокимов И. Р.—Физиол. журн., 1981, т. 27, № 5, с. 714.

Описаны схема и конструкция установки для проведения внутриклеточных элекрофизиологических исследований на изолированных препаратах тканей животных. Оригинальная автоматическая система производит плавное бесконтактное регулирование нагревателями, питаемыми постоянным током, что обеспечивает высокую точность поддержания заданной температуры в растворах, омывающих препарат, и снижение электрических помех до уровня, обеспечивающего выделение минимального биоэлектрического сигнала. Установка снабжена микроманипулятором для введения стеклянных микроэлектродов и стереоскопическим микроскопом для визуального контроля, электротермометром для непрерывного измерения заданной температуры, включенного в систему регулирования, устройствами для подключения механоэлектрического преобразователя и насыщения растворов различными газовыми смесями. Ил. 2. Библиогр. 3.

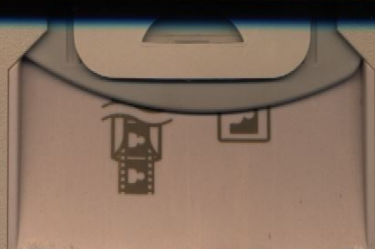
Мойбенко А. А., Бутенко Г. А., Гуревич М. И. Экспериментальные представления Мчедлишвили Г. И. Изучение и патологическая Фуркало Н. К. Патогенетика Бутылин Ю. П. Спортивный Орлова Н. Н., Гаркуша липидный обмен в восстановлении . Казьмин С. Г., Изаков Е. Эффекты интрапищевидных менениях ее началь Строганова Н. П., Шавадзе лудочка сердца при Акопян Н. С., Баклавадзе гических веществ на га кроликов при г Баринов Э. Ф. Диагностика при биологической Прончук Н. Ф., Хомуте диальных клеток Соловьев А. И. Спонтанное гладких мышц при Потебня А. В. Зависимость от артериального Берштейн С. А., Онопчишина сосудистой структуры артериальной гип Навакатиян М. А., Чечиналина, наорадренальная кругов кровообращения Пановенко И. И. Влияние ма, оживленного п Мудрая И. С. Изменение в Лобунец К. А. Гистология после кровопотери ноля Ващенко Е. А., Доломан ламическим синдромом

Казьмин С. Г., Мойбенко для исследования деятельности сердца

Гуревич М. И., Евдокимов комыческие клетки Маркова Е. А., Вадзюк различной устойчивости Казак Л. И. Гемодинамика периферической блокады Красников Н. П., Агаджанян гипоксических тренировок

Бугаенко В. В. Устройство Назарук И. А., Литовченко различных исследований

Барабай В. А. Мережки Хомазюк А. И. Захаровские. Участие сердечной мышцы



## СОДЕРЖАНИЕ

<i>условиях адренергической гипертензии. Ка-</i>	
<i>льность сердца и склады при хроническом гипертензионном действии периферического рецептора папаверина. Внешнее действие падения анатриллина на сопротивления.</i>	
<i>щефалограммы у А., Ефименка В. Б.—</i>	
<i>иции ЭКТГ. Для частию кожи электробочей контактной используется в отверстиях регистрирующего ка с клавишным</i>	
<i>иных препаратов П., Евдокимова Е. А.—</i>	
<i>ния внутриклеточных препаратах производит плавными постоянным адаптацией температурных помех мозговому электрического ведения стеклянных для визуального заданной температуры для поддержания растворов</i>	
<b>Мойбенко А. А., Бутенко Г. М. Иммунные повреждения сердца и сосудов . . . . .</b>	587
<b>Гуревич М. И. Экспериментальные модели артериальной гипертензии и современные представления о патогенезе гипертонической болезни . . . . .</b>	595
<b>Мчедлишвили Г. И. Изучение сосудистых эффекторов—ключевая проблема нормальной и патологической физиологии кровообращения . . . . .</b>	603
<b>Фуркало Н. К. Патогенетические механизмы ишемической болезни сердца . . . . .</b>	607
<b>Бутылин Ю. П. Спорные вопросы патогенеза инфаркта миокарда . . . . .</b>	611
<b>Орлова Н. Н., Гаркуша Л. Н., Братусь В. В. Сократительная функция сердца и липидный обмен в миокарде при дозированном ограничении коронарного кровоснабжения . . . . .</b>	617
<b>Казьмин С. Г., Изаков В. Я., Проценко Ю. Л., Бершицкая О. Н., Бляхман Ф. А. Эффекты ипотропных воздействий на папиллярную мышцу кролика при изменениях ее начальной длины и температуры . . . . .</b>	623
<b>Строганова Н. П., Шаваран С. С. Сократительная функция миокарда левого желудочка сердца при экспериментальной гиперхолестеринемии . . . . .</b>	628
<b>Акопян Н. С., Бакладжян О. Г., Вартанян Г. С., Омарян С. К. Действие адренергических веществ на сердечную деятельность и электрическую активность мозга кроликов при гипоксии . . . . .</b>	633
<b>Баринов Э. Ф. Диагностика скрытой недостаточности сердечного трансплантата при биологической консервации . . . . .</b>	640
<b>Прончик Н. Ф., Хомутовский О. А. Морфологическая характеристика миокардиальных клеток новорожденных крысят в культуре . . . . .</b>	645
<b>Соловьев А. И. Спонтанная и вызванная сократительная активность сосудистых гладких мышц при различных температурных режимах перфузата . . . . .</b>	650
<b>Потебня А. В. Зависимость амплитуды искусственной интрааортальной реограммы от артериального давления . . . . .</b>	654
<b>Берштейн С. А., Онопчук Ю. Н., Соловьев А. И. Динамика кислородного режима сосудистой стенки при функциональной гиперемии скелетных мышц при артериальной гипоксии . . . . .</b>	658
<b>Навакатикян М. А., Цыбенко В. А. Кинетический анализ взаимодействия адреналина, норадреналина и изадрина с адренорецепторами малого и большого кругов кровообращения . . . . .</b>	663
<b>Лановенко И. И. Влияние объемной скорости перфузии на гемодинамику организма, оживленного после длительной фибрилляции сердца . . . . .</b>	668
<b>Мудрая Н. С. Изменения системной и регионарной гемодинамики при дозированном ограничении коронарного кровотока . . . . .</b>	676
<b>Лобунец К. А. Гистологические изменения во внутренних органах животных после кровопотери и переливания модифицированного глобина и желатина . . . . .</b>	683
<b>Вашенко Е. А., Доломан Л. Б. Особенности гемодинамики у больных с гипоталамическим синдромом . . . . .</b>	688
<b>Обзоры</b>	
<b>Казьмин С. Г., Мойбенко А. А. Экспериментальная тампонада сердца как модель для исследования взаимодействия основных механизмов регуляции деятельности сердца . . . . .</b>	692
<b>Краткие сообщения</b>	
<b>Гуревич М. И., Евдокимов И. Р., Фролькис И. В. О влиянии инсулина на гладкомышечные клетки бедренной артерии . . . . .</b>	701
<b>Маркова Е. А., Вадзюк С. Н. Особенности регуляции сердечного ритма у крыс с различной устойчивостью к гипоксии . . . . .</b>	703
<b>Казак Л. И. Гемодинамические эффекты дигидазола и папаверина в условиях адренергической блокады при хронической экспериментальной гипертензии . . . . .</b>	706
<b>Красников Н. П., Агаджанян Н. А., Ефименко А. М., Ширяев В. В. Влияние гипоксических тренировок на показатели реоэнцефалограммы у спортсменов . . . . .</b>	709
<b>Методика</b>	
<b>Бугаенко В. В. Устройство для снятия электрокардиотопограммы . . . . .</b>	713
<b>Назарук И. А., Литовченко Л. П., Евдокимов И. Р. Установка для микроэлектродных исследований изолированных препаратов теплокровных . . . . .</b>	713
<b>Рецензии</b>	
<b>Барабай В. А., Меерсон Ф. З. Адаптация, стресс и профилактика . . . . .</b>	718
<b>Хомазюк А. И., Захаржевский В. Б. Нервный контроль коронарного кровообращения. Участие кортикоальных механизмов в регуляции кровоснабжения сердечной мышцы . . . . .</b>	720

90 коп.

74523

«НАУКОВА ДУМКА»

Физиол. журн., 1981, т. XXVII, № 5, 525—728